

وزارة التعليم والبحث العلمي
MINISTERE DE L'ENSEIGNEMENT ET DE LA RECHERCHE SCIENTIFIQUE

lex

ECOLE NATIONALE POLYTECHNIQUE

DEPARTEMENT : **GÉNIE CIVIL**

PROJET DE FIN D'ETUDES

NATIONALE POLYTECHNIQUE
BIBLIOTHÈQUE

SUJET

" KASMA "

- BATIMENT ADMINISTRATIF (R+2)

- LOGEMENTS D'ACCOMPAGNEMENT
(R+1)

Proposé par :

S.E.P.W.I.B.
(BLida)

Etudié par :

H. IHOUT
H. MAMED

Dirigé par :

R. BOOSBAINE



PROMOTION :

(Janvier)
1984 ?

Remerciements.

Nous tenons à remercier notre promoteur M^e Bousbainz-R qui il trouve dans ce mémoire de fin d'études toute notre gratitude pour ces conseils précieux et son soutien moral et matériel.

Nous remercions également tous ceux de près ou de loin qui ont contribué à notre formation

H. Thout
M. Maged.



• • • • Dédicaces • • • •

A la mémoire de ma mère,
et mon père
et mes frères SALAH et Achour
Pour
leur soutien moral et matériel,
et toute ma famille,
et Melle M. O; à tous mes amis,
Je dédie ce modeste travail

H. IHOUT.

A la mémoire de mon frère regretté
MOHAMED.

A mon père qui a tant souhaité
ma réussite

A mes frères et à ma sœur NOUARA

A ma mère pour son soutien moral

A tous mes Amis

Je dédie ce modeste travail.

M MAZED.

SOMMAIRE

1^{ère} PARTIE (BLOC -A-)

Introduction	1
Caractéristiques des matériaux	4
Calcul des éléments	10
Étude au seisme	28
Étude de la torsion	35
Calcul des portiques sous les forces horizontales	42
Détermination des charges Verticales	53
Calcul des portiques sous les charges Verticales	63
Ferraillage des poutres	97
Ferraillage des poteaux	116
Fondations	127

2^{ème} PARTIE (BLOC -B-)

Charges et Surcharges , calcul des éléments	138
Calcul des Portiques transversaux (porteurs)	148
Calcul des poutres Longitudinales (chainage)	179
Étude des Poteaux	194
CALCUL SISMIQUE	196
Étude de la torsion	200
Répartition des efforts Sismiques sur les Voiles	204
Efforts sous les charges Verticales (↓)	214
Supposition des efforts	220
Ferraillage des Voiles	222
Fondations	237

.... INTRODUCTION

Cette thèse de fin d'études porte sur l'étude et le calcul des éléments résistants de deux (02) blocs qui font partie d'un projet de "Karma" qui sera réalisée dans la Wilaya de Blida sous la direction de la SEPWIB (Société de Wilaya de Blida).

Ce projet se compose de :

- Bloc A : à usage d'habitation (logements de fonction) R+1 + vide sanitaire.
- Bloc B : administratif (R+2) séparé d'une salle de conférence par un joint de dilatation.
- Salle de conférence (confiée à deux autres étudiants de l'école)

*- Caractéristiques du bloc "A":

Ce bloc est à deux niveaux (4 appartements) avec un vide sanitaire de 0,75 m de hauteur.

- Longueur totale : 23,10 m.
- Largeur totale : 9,85 m.
- Hauteur totale : 8,26 m (ascenseur compris).
- Le contreventement est assuré par des portiques longitudinaux et transversaux avec une voile périphérique entourant le vide sanitaire de 1,80 m de hauteur à partir de la remise la plus haute.
- Planchers : -

1^{ère} PARTIE

BLOC - A - R+1

LOGEMENTS
DE FONCTION

- Les planchers seront à corps creux : hourdis et dalle de compression reposant sur des poutrelles préfabriquées. Conformément aux règlements du C.T.C., le plancher du rez-de chaussée aura une épaisseur de (16+6) cm, les autres niveaux étant de (16+4) cm.

* Caractéristiques du bloc "B"

Ce bloc est à usage administratif (R+2) avec un décrochement dans le sens transversal, ce bloc est séparé de la salle de conférence par un joint de dilatation.

- Longueur totale : 25,90 m
- Largeur totale : 18,30 m (décrochement compris).
- Hauteur totale : 14,80 m (acrotière comprise).
- L'ossature est réalisée en système mixte : poteaux, poutres et voiles, ces derniers au nombre de quatre (04) (2 dans le sens longitudinal et deux (2) autres dans le sens transversal) assureront le contreventement.
- Le remplissage sera fait en maçonnerie.
- Planchers :

Les planchers seront en corps creux : hourdis et dalle de compression reposant sur des poutrelles préfabriquées, et ayant tous une épaisseur de (16+4) cm, sauf le rez-de chaussée qui est réalisé en belliis armés.

- Escaliers :

Pour les deux bâtiments, les escaliers seront construits en béton armé, la réalisation s'effectuera par étage afin de limiter l'emploi des échelles.

Les marches seront revêtues de carrelage.

*- Maçonnerie :

Toute la maçonnerie s'effectuera en briques creuses, les murs extérieurs seront constitués de 2 cloisons séparées par un rideau de 5 cm, tandis que les murs intérieurs seront de cloisons de séparation de 5 à 10 cm suivant les blocs.

*- Revêtement : - céramique dans les salles d'eau

- carrelage granit dans les autres pièces. (salles).

*- Éau de travail du sol :

- La charge admissible du sol $\bar{\sigma}_s = 1.5 \text{ kg/cm}^2$ à 1.5 m de profondeur à partir du talus naturel.

*- Béton armé :

Le béton entrant dans la construction sera conforme aux règles CCBA 68 et tous règlements en vigueur applicables en Algérie.

La composition du béton sera en principe pour 1m³ de :

- 800 l de gravier de $5 \leq \phi \leq 20 \text{ mm}$

- 350 à 400 l de sable de rivière à l'exclusion de tout agrégat de carrière non tenace ne dépassant pas 5 mm de diamètre.

- Un dosage de ciment de l'ordre de 350 kg de C.P.A. 325.

*- Acier :-

Pour utiliserons les deux sortes d'acier FeE 40(HA) et FeE 24 dit acier doux, et sera conforme aux normes, propre, débarrassé de toute trace de rouille non adhérente, de peinture ou de graisse.



ε dépend de la forme de la section et de la position de l'axe Neutre

$\varepsilon = 1$ en Compression Simple
 $0,5 < \varepsilon < 1$ dans les autres cas avec $\sigma_m \leq \bar{\sigma}'_b$

σ'_m : étant la Contrainte du béton de la section rendue homogène si elle est entièrement Comprimée, ou du béton de la zone Comprimée de la section homogène réduite.

Récapitulatif :

- Compression Simple -

Sous SP₁ $\bar{\sigma}'_b = 1,5 \cdot 1,03 \cdot 270 = 67,5 \text{ bars} (68,8 \text{ kg/cm}^2)$

Sous SP₂ $\bar{\sigma}'_b = 1,5 \cdot 68,8 = 103,2 \text{ kg/cm}^2$.

- Flexion Simple -

Sous SP₁ $\bar{\sigma}'_b = 2 \cdot \bar{\sigma}'_{28} = 137,6 \text{ kg/cm}^2$.

Sous SP₂ $\bar{\sigma}'_b = 1,5 \cdot 137,6 = 206,4 \text{ kg/cm}^2$.

Contrainte de traction de référence : (CCBA 68 Art 9.5)

$$\bar{\sigma}_b = \alpha \cdot \beta \cdot \gamma \cdot \bar{\sigma}'_{28}$$

α, β, γ prennent les mêmes valeurs que précédemment

$$\theta = 0,018 + \frac{2,1}{\bar{\sigma}'_{28}} \quad (\bar{\sigma}'_{28} \text{ en bars})$$

Sous SP₁: $\bar{\sigma}_b = 5,8 \text{ bars} = 5,9 \text{ kg/cm}^2$

Sous SP₂: $\bar{\sigma}_b = 1,5 \cdot 5,9 = 8,85 \text{ kg/cm}^2$.

ACIERS : on a 2 catégories d'acières :

- Acier doux ou fonds lisses:

Nuance: Fe E22.

$$\sigma_{en} = 2400 \text{ kg/cm}^2$$

Contraintes admissibles:

Sous SP₁: $\bar{\sigma}_a = \frac{2}{3} \sigma_{en} = 1600 \text{ kg/cm}^2$

Sous SP₂: $\bar{\sigma}_a = \sigma_{en} = 2400 \text{ kg/cm}^2$

Caractéristiques des Matériaux

Béton :

Le béton utilisé est dosé à 350 Kg/m³ de CPA 325
Contrôle atténué.

La grosseur des granulats : Cg = 5 / 15 mm

La résistance nominale de compression $\sigma'_{28} = 270$ bars

La résistance de traction : $\tau'_{28} = 23,2$ bars

La composition de 1m³ de béton est la suivante

800 l de gravillon

400 l de sable

350 Kg de ciment CPA 325

175 l d'eau.

Contrainte de compression admissible : (CCBA 68 art 9.4)
elle est donnée par :

$$\sigma'_b = f'_b \cdot \tau'_{28}$$

avec $f'_b = \alpha \cdot \beta \cdot \gamma \cdot \delta \cdot \epsilon$.

α : classe du ciment utilisé : pour notre cas ($\alpha=1$) - CPA 325

β : dépend de l'efficacité de contrôle :

Contrôle atténué : $\beta = 5/6$.

γ : dépend des épaisseurs relatives des éléments et des dimensions des granulats : $\gamma = 1$

δ : dépend de la nature de la sollicitation

$\delta = 0,3$ en compression simple

$\delta = 0,6$ en flexion simple ou en flexion composée lorsque l'effort normal est une traction.

$$\delta = \min \begin{cases} 0,3 \left(1 + \frac{e_0}{3e_1}\right) & \text{flexion composée} \\ 0,6 & \text{si } N \text{ est un effort} \end{cases}$$

e_0 : écentricité de la force résultante par rapport au centre de gravité de la section du béton.

e_1 : distance de la limite du noyau central au centre de gravité de la section du béton dans le plan radial passant par le centre de pression

Quand il s'agira d'une sollicitation pondérée de 2^{ème} genre, les valeurs de δ seront multipliées par 1,5

Acier à haute adhérence ou acier Tor:

Nuance: Fe. E40

$$\sigma_{\text{en}} = 4200 \text{ kg/cm}^2 \quad \text{si } \phi \leq 20 \text{ mm}$$

$$\sigma_{\text{en}} = 4000 \text{ kg/cm}^2 \quad \text{si } \phi > 20 \text{ mm}$$

Contraintes admissibles:

$$\phi \leq 20 \text{ mm}$$

$$\begin{cases} \bar{\sigma}_a = 2800 \text{ kg/cm}^2 & SP_1 \\ \bar{\sigma}_a = 4200 \text{ kg/cm}^2 & SP_2 \end{cases}$$

$$\phi > 20 \text{ mm}$$

$$\begin{cases} \bar{\sigma}_a = 2665 \text{ kg/cm}^2 & SP_1 \\ \bar{\sigma}_a = 4000 \text{ kg/cm}^2 & SP_2 \end{cases}$$

Treillis Soudés:

$$\text{si } \phi \leq 6 \text{ mm} \quad \sigma_{\text{en}} = 5300 \text{ kg/cm}^2.$$

$$\text{si } \phi > 6 \text{ mm} \quad \sigma_{\text{en}} = 4500 \text{ kg/cm}^2.$$

Contraintes admissibles:

$$\phi \leq 6 \text{ mm}$$

$$\begin{cases} \bar{\sigma}_{a_1} = 3533 \text{ kg/cm}^2 & SP_1 \\ \bar{\sigma}_{a_2} = 5300 \text{ kg/cm}^2 & SP_2 \end{cases}$$

$$\phi > 6 \text{ mm}$$

$$\begin{cases} \bar{\sigma}_{a_1} = 2940 \text{ bars} = 3000 \text{ kg/cm}^2 & SP_1 \\ \bar{\sigma}_{a_2} = 4410 \text{ bars} = 4500 \text{ kg/cm}^2 & SP_2 \end{cases}$$

Armatures transversales:

$$\bar{\sigma}_{at} = f_{at} \cdot \sigma_{\text{en}} \quad \text{avec} \quad f_{at} = 1 - \frac{\bar{\epsilon}_b}{g \bar{\epsilon}_b}.$$

- et cela si f_{at} est supérieur à $\frac{2}{3}$ et si la section ne comporte pas des reprises $\frac{2}{3}$ de bétonnage

$$- \text{ si non: } f_{at} = \frac{2}{3}$$

Contrainte de traction imposée par la condition de fissuration les contraintes admissibles doivent rester inférieures ou égales à:

$$\max \begin{cases} \sigma_1 = K \cdot \frac{n}{\phi} \frac{\bar{\omega}_f}{1 + 10 \bar{\omega}_f} & \cdot \text{fissuration systématique} \\ \sigma_2 = 2,4 \sqrt{K \cdot \frac{n}{\phi} \bar{\sigma}_b} & \cdot \text{fissuration accidentelle.} \end{cases}$$

$$\gamma: \text{coefficient de fissuration} = \begin{cases} 1 & \text{acier doux} \\ 1,6 & \text{acier Tor} \end{cases}$$

ϕ : diamètre de la plus grosse barre (en mm)

$$\bar{\omega}_f = \frac{A}{B_f} \quad \text{pourcentage de fissuration}$$

A : Section d'acier tendue

B_f : Section du béton enrobant les barres tendues.

$\bar{\sigma}_b$: Contrainte de référence du béton.

K: Coefficient caractérisant le préjudice des fissures sur l'ouvrage

$$K = \begin{cases} 1,5 \cdot 10^6 & \text{fissuration peu préjudiciable} \\ 1 \cdot 10^6 & \text{fissuration préjudiciable} \\ 0,5 \cdot 10^6 & \text{fissuration très préjudiciable} \end{cases}$$

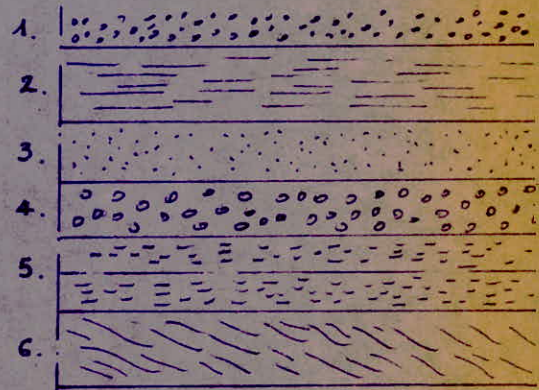
Charges - 8. Surcharges

I Charges permanentes :

I₁ - Niveau Terrasse

a)

1. Gravier	68	kg/m^2	isolation
2. Isolation hydrofuge	6	—	
3. Chape de protection	63	—	
4. Isolation ther. et phon.	16	—	
5. barrière, diffusion : vapeur	5	—	
6. béton de pente :	90	—	
		248 kg/m^2	



b) Plancher :

table de compression

$$+ Hourdis (\text{corps creux}) : 16 + 4 \quad 265 \text{ kg/m}^2$$

enduit

13

$$\underline{\underline{278 \text{ kg/m}^2}}$$

Charges permanentes totales :

$$\underline{\underline{CP = 248 + 278 = 526 \text{ kg/m}^2}}$$

c) Acrotère :

épaisseur : 10 cm.

hauteur : 50 cm

$$(0,1 \times 0,5 + 0,1 \times 0,1) 2500$$

$$G_A = 150 \text{ kg/m}^2$$

I₂ - Niveau Courant :

a)	• carrelage	44	kg/m^2	{ isolation : 208 kg/m^2
	• chape	63	—	
	• liège	16	—	
	• cloison	75	—	

b) plancher :

$$\left. \begin{array}{l} \text{Corps creux } (16 + 4) : 265 \text{ kg/m}^2 \\ \text{enduit} \qquad \qquad \qquad 13 \text{ kg/m}^2 \end{array} \right\} 278 \text{ kg/m}^2$$

Charges permanentes totales :

$$CP = 486 \text{ kg/m}^2$$

I₃. plancher rez de chaussé :

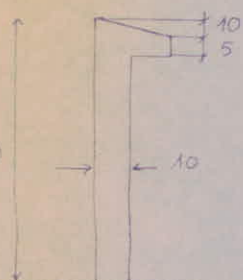
Ce plancher à une table de compression de 6 cm
les autres éléments restants les mêmes

II. Surcharges :

Plancher Terrasse (inaccessible)	100	Kg./m ²
Plancher Courant	175	Kg./m ²
Escalier	400	Kg./m ²
Loggias - balcons	350	Kg./m ²

...o CALCUL DES ELEMENTS o...

CALCUL DE L'ACROTERE



Charge et surcharge pour 1m d'acrotere

$$CP = 150 \text{ Kg/m}^2$$

Surcharge pondérée due à la main courante

$$S = 1,2 \times 100 = 120 \text{ Kg/m}^2$$

On accouple l'acrotere à une console encastrée au niveau du plancher tenante. Elle sera soumise à son poids propre $G = 150 \text{ Kg/m}^2$ et à la surcharge $S = 120 \text{ Kg/m}^2$.

Les efforts dans la section d'enca斯特ment (A) qui est la section dangereuse seront :

- $N = G = 150 \text{ Kg}$ (pour 1m d'acrotere)
- $M = S.h = 120 \times 0,5 = 60 \text{ Kg.m}$

Le calcul se fera par la méthode de P. Charon.

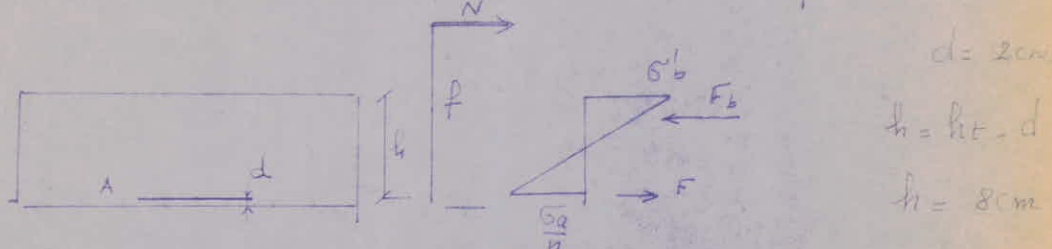
Excentricité

$$e_0 = \frac{M}{N} = \frac{60}{150} = 0,4 \text{ m}$$

$$e_1 = \frac{h}{6} = \frac{50}{6} = 8,33 \text{ cm}$$

$$e_0 > e_1$$

Donc la section est partiellement Comprimée



$$\bar{\sigma}_{A'}' = n \bar{\sigma}_o \frac{\bar{y}_1 - d}{\bar{y}_1}$$

$$\text{avec } \bar{y}_1 = \frac{\sigma_b'}{\sigma_a' + \sigma_b'} \times h$$

$$\bar{\sigma}_{A'}' = 15,137 \cdot \frac{3,36 - 2}{3,36}$$

$$\bar{y}_1 = 0,42 \cdot 8 = 3,36 \text{ cm}$$

$$\bar{\sigma}_{A'}' = 831,79 \text{ Kg/cm}^2$$

$$F'_b = \bar{S}'_b \cdot \frac{h}{2} = 23016 \text{ kg}$$

Calcul de f : écarture de N par rapport aux voies tendus

$$f = \frac{h-d}{2} + l_0 = \frac{8-3}{2} + 40 = 43 \text{ cm}$$

$$\bar{F}_{A'} = \frac{N \cdot f - F'_b (h - \bar{S}'_b / 3)}{f/8 \cdot h} = \frac{150 \cdot 43 - 23016 (8 - 3,33 / 3)}{f/8 \cdot 8}$$

$$\bar{F}_{A'} = 21700 \text{ kg} < 0$$

R. les voies comprimées ne sont pas néantes

Calcul de A :

$$\text{équilibre des forces} : N + \bar{F}_A = \bar{F}_b + \bar{F}_{A'} \Rightarrow \bar{F}_A = -N + F_b + F_{A'}$$

$$\bar{F}_A = -150 + 23016 - 21700 = 1165,38 \text{ kg}$$

$$A = \frac{\bar{F}_A}{\bar{S}_a} = \frac{1165,38}{2800} = 0,42 \text{ cm}^2$$

1. Vérification à la non fragilité :

$$A \geq 0,69 b \cdot h \frac{\bar{F}_b}{S_{en}} = \frac{0,69 \cdot 100 \cdot 8 \cdot 5,9}{4200} = 0,78 \text{ cm}^2$$

Il admet un état avec $A \geq 0,78 \text{ cm}^2$

2. Vérification à l'effet tranchant :

$$A \bar{F}_a \geq T + \frac{M}{3} = 120 - \frac{6000}{7,8 \cdot 8} = -737 \text{ kNm}$$

donc on adoptera (on tenant compte de la condition de non fragilité) un ferrage de : $A = 5 \text{ T6}$ par mètre linéaire ($A = 1,41 \text{ cm}^2$)

avec un écartement de 20 cm.

On ajoute une armature de peau perpendiculaire aux premières (4 T6).

3. Vérification de non fissuration :

$$\bar{w}_f = \frac{A}{B_f} = \frac{1,41}{2 \cdot 100 \cdot 2} = 0,0035$$

$K = 10^6$ f. préjudiciable

$\phi = 6 \text{ mm}$

$n = 1,6$ (T.A.)

$$\bar{s}_1 = K \cdot \frac{n}{\phi} \frac{\bar{w}_f}{1 + 10 \bar{w}_f} = 901,8 \text{ kg/cm}^2$$

$$\bar{s}_2 = 2,4 \sqrt{\frac{K n}{\phi} \bar{F}_b} = 3015,4 \text{ kg/cm}^2$$

$$\bar{\sigma}_a = \min \left\{ \begin{array}{l} \frac{2}{3} \sigma_{en} = 2800 \text{ kg/cm}^2 \\ \max (\sigma_1, \sigma_2) = 3010,4 \text{ kg/cm}^2 \end{array} \right.$$

$\bar{\sigma}_a = 2800 \text{ kg/cm}^2$ - la fissuration est vérifiée

4. Vérification au séisme:

on doit vérifier que l'aérodère est capable de résister
à une sollicitation horizontale agissant seule.

$$F_H = \zeta \cdot w \quad \zeta: \text{coeff. sismique local uniforme}$$

$$w: G + P = 150 + 0 = 150 \text{ Kg}$$

$$\zeta = 0,2 + 0,1 \alpha = 0,3$$

$$F_H = 0,3 \cdot 150 = 45 \text{ kg}$$

$$F_H < (s = 120 \text{ kg})$$

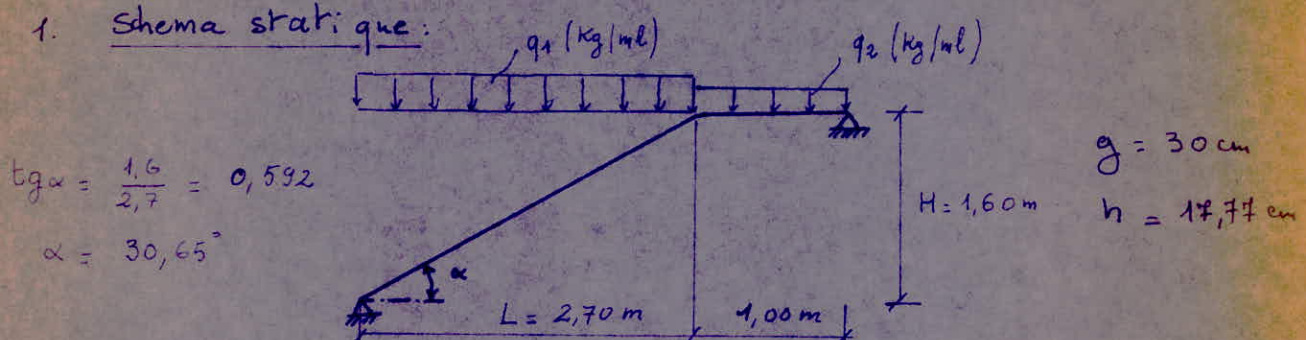
ce qui vérifie le séisme.

CALCUL DES ÉCALIERS

L'escalier est à paillasse adjacentes. Le calcul se fera pour une poutre d'1 m de largeur sur deux appuis simples.

L'escalier doit être reposant et être monté sans difficultés.

1. Schéma statique:



détermination de l'épaisseur de la paillasse:

Condition sur ht : $\frac{l}{30} \leq ht \leq \frac{l}{20}$

où $l = \sqrt{H^2 + L^2} = \sqrt{(2,7)^2 + (1,6)^2} = 313,8 \text{ cm}$.

Soit: $10,5 \leq ht \leq 15,7 \text{ cm}$.

on prendra $ht = e = 12 \text{ cm}$ (épaisseur de la paillasse)

2. Charges et Surcharges

- paillasse:

- poids de la paillasse d'épaisseur (e):

$$g_1 = \frac{e \cdot P_b}{\cos \alpha} = \frac{0,12 \cdot 2500}{0,86} = 348,83 \text{ kg/m}^2$$

- poids des marches de hauteur (h):

$$g_2 = \frac{h \cdot P_{bb}}{2} = \frac{0,1777 \cdot 2200}{2} = 195,47 \text{ kg/m}^2$$

- Poids du revêtement en marches : $g_3 = 75 \text{ kg/m}^2$

- Chape : (2cm) $g_4 = 44 \text{ kg/m}^2$

charges permanentes par (ml.): $g/\text{ml} = (g_1 + g_2 + g_3 + g_4) \cdot 1$

$$g = 663,3 \text{ kg/ml.}$$

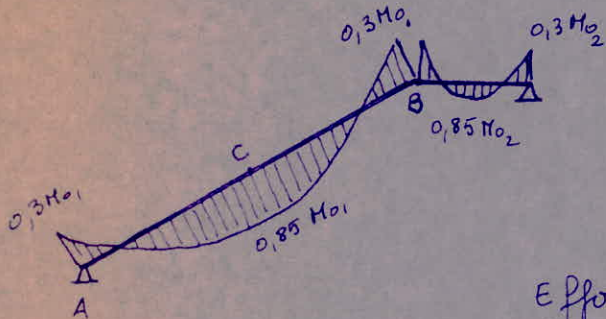
Surcharges: 400 kg/m^2 : $S_{\text{ml}} = 400 \text{ kg/ml.}$

$$q_1 = g + 1,25 = 663,3 + 1,2 \cdot 400 = 1143,3 \text{ kg/ml.}$$

- plancher : C.P

- dalle : $0,12 \cdot 1 \cdot 2500 = 300 \text{ kg/m}^3$
 - revêtement (2cm) : 44 kg/m^3
 - charpente (3cm) : 63 kg/m^3
 - enduit (1,5cm) : 16 kg/m^3
- $S = 400 \text{ kg/m}^3$
- $q_2 = CP + 1,25 = 903 \text{ kg/m}^3$

Calcul des efforts :



- $M_{O_1} = q_1 \frac{L^2}{8} = \frac{1143,3 \cdot 2,7^2}{8} = 1041,83 \text{ kg.m}$
- $M_{O_2} = q_2 \frac{l_2^2}{8} = \frac{903 \cdot 1^2}{8} = 112,87 \text{ kg.m}$
- $T_{\max} = q_1 \frac{L}{2} + q_2 \frac{l_2}{2} = 1778,87 \text{ kg}$

Efforts Normaux :

en A : $N_A = q_2 L \tan \alpha = 1929,28 \text{ kg}$

en C : $N_C = \frac{N_A}{2} = 964,64 \text{ kg}$.

en B : $N_B = 0$.

FERRAILLAGE : (méthode P. Charon) - Armatures longitudinales.

Appuis : en B : $N_B = 0$

$M_B = -0,3 Mo_1 = -0,3 \cdot 1041,83 = -312,55 \text{ kg.m}$

Sollicitation : flexion simple.

$\gamma = \frac{15 \cdot M}{G_a \cdot b \cdot h^2} = \frac{15 \cdot 31255}{2800 \cdot 100 \cdot 15^2} = 0,0167$

$E = 0,9429 ; K = f_{2,5} ; \sigma'_b = \frac{\bar{\sigma}_a}{K} = \frac{2800}{f_{2,5}} = 38,62 \text{ kg/cm}^2 < \bar{\sigma}'_b$

pas d'armatures comprimées ($A' = 0$)

Armatures tendues : $A = \frac{M}{G_a \cdot E \cdot h} = \frac{31255}{2800 \cdot 0,9429 \cdot 15} = 1,2 \text{ cm}^2 / \text{m}$

en A : $N_A = 1929,28 \text{ kg}$.

$M_A = -312,55 \text{ kg.m}$

sollicitation : flexion composée.

$e_0 = \frac{M}{N} = \frac{312,55}{1929,28} = 0,162 \text{ m.} ; e_1 = \frac{h-t}{c} = 0,02 \text{ m.}$

bras de levier f : $e_0 > e_1$ section partiellement comprimée.

$f = e_0 + \frac{h-d}{2} = 0,162 + \frac{0,1 - 0,08}{2} = 0,202 \text{ cm}$

Moment fictif: M_f :

$$M_f = N_f \cdot f + M = 1929,28 \cdot 0,202 + 312,55$$

$$M_f = 702,26 \text{ kg.m}$$

$$\mu = \frac{15 \cdot M}{\bar{\sigma}_a \cdot b \cdot h^2} = \frac{15 \cdot 702,26}{2800 \cdot 100 \cdot 10^2} = 0,0376. \quad E = 0,9170 \\ K = 45,5$$

$$\sigma_b' = \frac{\bar{\sigma}_a}{K} = \frac{2800}{45,5} = 61,53 \text{ kg/cm}^2 < \bar{\sigma}_b' \quad (A' = 0)$$

$$\left. \begin{array}{l} \text{Armatures} \\ \text{tendues} \end{array} \right\} A = \frac{M_f}{\bar{\sigma}_a \cdot E \cdot h} - \frac{N}{\bar{\sigma}_a} = \frac{702,26}{2800 \cdot 0,917 \cdot 10} - \frac{1929,28}{2800} \\ A = 2,05 \text{ cm}^2.$$

*-en travee:

$$\text{en C: } N_c = 914,64 \text{ kg}$$

$$M_c = 0,85 M_{01} = 0,85 \cdot 1041,83 = 885,55 \text{ kg.m}$$

Sollicitation: fléchim composite.

$$e_0 = \frac{M}{N} = \frac{885,55}{914,64} = 0,968 \text{ m.}$$

$e_0 > e_1$ section partiellement comprimée.

$$f = e_0 + \frac{h-d}{2} = 100,82 \text{ cm.}$$

$$\text{Moment fictif: } M_f = N_f \cdot f + M = 914,64 \cdot 100,82 + 885,55 \cdot 10^2$$

$$M_f = 1807,69 \text{ kg.m.}$$

$$\mu = \frac{15 \cdot 1807,69}{2800 \cdot 100 \cdot 10^2} = 0,0968. \quad E = 0,8758 \\ K = 25,27$$

$$\sigma_b' = \frac{\bar{\sigma}_a}{K} = \frac{2800}{25,27} = 110,8 < \bar{\sigma}_b' = 137 \text{ kg/cm}^2. \quad (A' = 0)$$

$$\text{* - Armatures tendues: } A_1 = \frac{M_f}{\bar{\sigma}_a \cdot E \cdot h} = \frac{1807,69}{2800 \cdot 0,8758 \cdot 10} = 7,37 \text{ cm}^2/\text{ml}$$

$$A = A_1 - A_2 \Rightarrow$$

$$A_2 = \frac{N}{\bar{\sigma}_a} = \frac{914,64}{2800} = 0,326 \text{ cm}^2/\text{ml.}$$

et si alors:

$$A = 7,04 \text{ cm}^2/\text{ml}; \text{ choix des aciers:}$$

Palier :

appui : $M_a = -0,3 M_{02} = -0,3 \cdot 112,87 = -33,86 \text{ Kg.m}$

Sollicitation : flexion simple.

$$\nu = \frac{15 \cdot M}{\bar{\sigma}_a \cdot b \cdot h^2} = \frac{15 \cdot 33,86}{2800 \cdot 100 \cdot 10^2} = 0,0018 \quad \epsilon = 0,9804 \quad K =$$

$$A = \frac{M}{\bar{\sigma}_a \cdot \epsilon \cdot h} = \frac{33,86}{2800 \cdot 0,9804 \cdot 10} = 0,123 \text{ cm}^2 / \text{ml.}$$

en travée :

$$M = 0,85 M_{02} = 0,85 \cdot 112,87 = 95,94 \text{ Kg.m.} \quad \text{flexion simple.}$$

$$\nu = \frac{15 \cdot 95,94}{2800 \cdot 100 \cdot 10^2} = 0,005 \quad \epsilon = 0,9677 \quad K =$$

$$A = \frac{95,94}{2800 \cdot 0,9677 \cdot 10} = 0,35 \text{ cm}^2 / \text{ml.}$$

Vérifications :

1 - Non fragilité : $A \geq 0,69 \cdot b \cdot h \frac{\bar{\sigma}_b}{\sigma_{en}}$

$$A \geq 0,69 \cdot 100 \cdot 10 \cdot \frac{5,9}{4200} = 0,97 \text{ cm}^2 \quad (\text{non vérifiée})$$

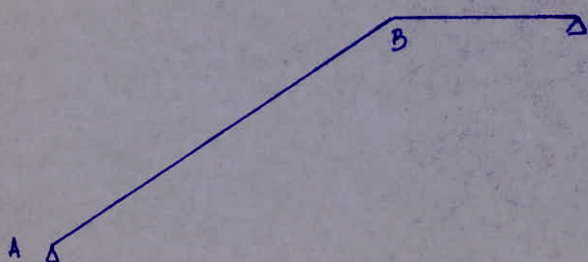
2 - Effort tranchant : (aux appuis)

$$A \geq \frac{T_{max}}{\bar{\sigma}_a} + \frac{M_a}{\bar{\sigma}_a \cdot z}$$

$$A \geq \frac{1778,87}{2800} - \frac{31255}{2800 \cdot \frac{7}{8} \cdot 10} = -0,64 \quad \text{Vérifié}$$

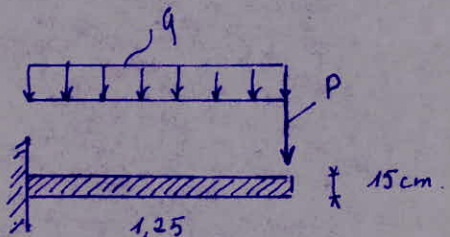
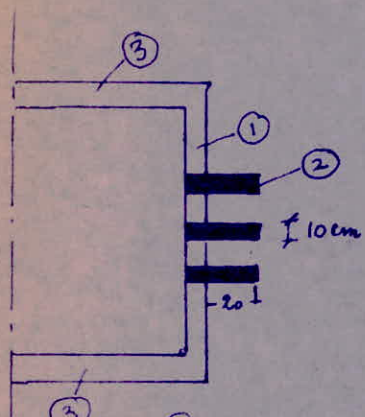
donc : $A_{min} = 0,97 \text{ cm}^2 / \text{ml.}$
pour réaliser la Vérif. 1.

Choix des Aciers :



CALCUL DU PALIER DE REPOS :

épaisseur 15 cm, portant dans un seul sens puisqu'il sera calculé comme console encastrée (porte à faux)



$$|M| = \frac{q l^2}{2} + P.L.$$

Charges et Surcharges.

- poids propre (dalles) :	$0,15 \times 2500 \times 1$	= 375 kg / m ² .
- chape (2cm) :	44	_____
- céramique (marbre) 1cm	88	_____
- Enduit (1cm)	13	_____
$* S = 400 \text{ kg/m}^2$		<hr/>
		520 kg / m ²

③. Poids du remplissage latéral:

pourpaing 8cm → 160 kg / m².

$$\frac{160 \times 2 \times 1,425 \cdot 1}{2,75} = 165,8 \text{ kg / m}^2.$$

charge devanture P.

① - pourpaing 15cm sur une hauteur h = 4,80 m.
20 kg / m² par cm d'épaisseur.

$$20 \times 15 \times 4,8 = 1440 \text{ kg}$$

$$② - 0,4 \times 0,1 \times 2500 \times 48 \times 3 = 1440 \text{ kg}$$

$$P = 1440 + 1440 = 2880 \text{ kg}$$

$$q = (520 + 165,8) + 1,2 \cdot 400 \cdot 1 = 1165,8 \text{ kg / m}^2.$$

$$P = 2880 \text{ kg.}$$

Calcul des efforts:

$$M = \frac{q l^2}{2} + P.L = 1165,8 \cdot \frac{(1,25)^2}{2} + 2880 \times 1,25$$

$$M = 4510,78 \text{ kg.m.}$$

Effort tranchant

$$T = q \cdot l + P = 1165,8 \times 1,25 + 2880 = 4337,25 \text{ kg}$$

Armatures (Méthode P. Charon).

$$\gamma = \frac{15 \cdot M}{\bar{\sigma}_a \cdot b \cdot h^2} = \frac{15 \cdot 451078}{2800 \cdot 100 \cdot 13^2} = 0,1429.$$

$$\epsilon = 0,8551 \quad \text{or } \alpha :$$

$$K = 19,5$$

$$\sigma'_b = \frac{\bar{\sigma}_a}{K} = \frac{2800}{19,5} = 143,58 > \bar{\sigma}'_b \quad \text{d'où } A' \neq 0 \quad (\exists \text{ des aciers comprimés})$$

on calcule : K_1 et K_2

$$K_1 = \frac{\bar{\sigma}_a}{\bar{\sigma}'_b} = \frac{2800}{137} = 20,43.$$

$$K_2 = \frac{15(h-d')}{\bar{\sigma}_a h + d'}$$

$$K_2 = \frac{15(13-2)}{1 \cdot 15 + 2} = 9,7$$

$$\text{on a: } K_1 > K_2 \quad \text{donc} \quad K = K_1 = 20,43 \rightarrow \begin{cases} \gamma' = 0,1777 \\ \epsilon = 0,8626 \\ \alpha = 0,4121 \end{cases}$$

$$M_1 = \gamma' \cdot b \cdot h^2 \cdot \bar{\sigma}'_b$$

$$M_1 = 0,1777 \cdot 100 \cdot 13^2 \cdot 137 = 411428,81 \text{ kg.cm}$$

$$\text{et } M_2 = M - M_1 = 451078 - 411428,81 = 39649,2 \text{ kg.cm}$$

$$y = \alpha h = 0,4121 \cdot 13 = 5,35 \text{ cm.}$$

$$\sigma'_a = \frac{15}{y} (y - d') \bar{\sigma}'_b = \frac{15}{5,35} (5,35 - 2) \bar{\sigma}'_b = 9,4 \cdot 137$$

$$\sigma'_a = 1287,8 \text{ kg/cm}^2.$$

$$\text{Armatures Comprimées : } * A' = \frac{M_2}{\bar{\sigma}_a (h-d')} = \frac{39649,2}{1287,8 (13-2)}$$

$$A' = 2,8 \text{ cm}^2$$

$$\text{Armatures tendues: } * A = \frac{M_1}{\bar{\sigma}_a \cdot E_h} + \frac{M_2}{\bar{\sigma}_a (h-d')}$$

$$A = \frac{411428,81}{2800 \cdot 0,8626 \cdot 13} + \frac{39649,2}{2800 (13-2)} = 14,39 \text{ cm}^2$$

Choix:

Ac. Tendues : 8T16 (16,08 cm²)

Ac. Comprimées : 6T10 (4,71 cm²)

Vérifications :

Vérification à la non fragilité:

$$A \geq 0,63 \cdot b \cdot h \frac{\bar{\sigma}_b}{\bar{\sigma}_{en}} = 0,63 \cdot 100 \cdot 13 \cdot \frac{5,9}{4200} = 1,26 \text{ cm}^2$$

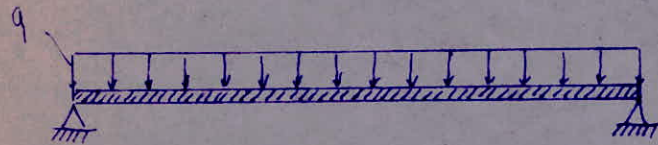
Vérification à l'Effort tranchant :

$$A \geq \frac{T}{\bar{\sigma}_a} + \frac{M_a}{z \cdot \bar{\sigma}_a} = \frac{4337,25}{2800} - \frac{4510,78 \cdot 10^2}{2800 \cdot \frac{7}{8} \cdot 13} = -12,6 \text{ cm}^2$$

- vérifié -

CALCUL DE LA POUTRE PALIÈRE

Section : $(30 \times 35) \text{ cm}^2$; $l = 2,75 \text{ m}$.



$$M_g = 0,3 M_0$$

(M)

$$M_a = 0,3 M_0$$

$$T = q \frac{l}{2}$$

$$M_f = 0,85 M_0$$

(T)

$$T = -q \frac{l}{2}$$

Charges: $q = G + T_{\text{pailasse}} + T_{\text{palière}}$

$$G = 0,3 \cdot 0,35 \cdot 2500 = 262,5 \text{ Kg/m}$$

$$T_{P_1} = 3086,91 \text{ Kg}$$

$$T_{P_2} = 4337,25 \text{ Kg}$$

$$q = 7,68 t/m$$

$$T = q \frac{l}{2} = 7,68 \times \frac{2,75}{2} = 10,56 t$$

CALCUL DES ARMATURES:

$$M_0 = q \frac{l^2}{8} = 7,68 \cdot \frac{(2,75)^2}{8} = 7,26 \text{ t.m.}$$

sur Appuis: $M_a = 0,3 M_0 = 0,3 \cdot 7,26 = 2,178 \cdot t.m.$

$$\mu = \frac{15 \cdot 2,178 \cdot 10^5}{2800 \cdot 30 \cdot \frac{32}{32}^2} = 0,0379$$

$$\begin{aligned} E &= 0,9169 \\ K &= 45,2 \quad \underline{K = 20,4} \\ -\sigma_b' &< \bar{\sigma}' - \end{aligned}$$

$$A = \frac{2,178 \cdot 10^5}{2800 \cdot 0,9169 \cdot 32} = 2,65 \text{ cm}^2$$

$$(A' = 0)$$

en travée: $M_b = 0,85 M_0 = 4,88 \cdot 0,85 = 6,17 \text{ t.m.}$

$$\mu = \frac{15 \cdot 6,17 \cdot 10^5}{2800 \cdot 30 \cdot \frac{32}{32}^2} = 0,1075$$

$$\begin{aligned} E &= 0,8705 \\ K &= 23,6 \end{aligned}$$

$$A = \frac{6,17 \cdot 10^5}{2800 \cdot 0,8705 \cdot 32} = 7,91 \text{ cm}^2$$

$K = 23,6 < \bar{K}$ pas d'aciérs Comprimés.

Vérifications :

- * Non fragilité : $A \geq 0,69 \cdot b \cdot h \cdot \frac{\bar{\sigma}_b}{\sigma_{en}} = 0,69 \cdot 30 \cdot 32 \cdot \frac{5,9}{4200} = 0,93 \text{ cm}^2$

- vérifié -

- * Vérification à l'Effort Tranchant : $T = 10,56 \text{ t.}$

$$A \geq \frac{10560}{2800} - \frac{217800}{2800 \cdot \frac{7}{8} \cdot 32} = 0,99 \text{ cm}^2 \quad \text{- vérifié -}$$

Choix des Aciérs :

H.P. traveé : $7,91 \text{ cm}^2 \rightarrow 4T16 (8,04 \text{ cm}^2)$

sur appuis : $2,65 \text{ cm}^2 \rightarrow 3T12 (3,39 \text{ cm}^2)$

- * Vérification à la fissuration :

En traveé : $w_f = \frac{A}{3f} = \frac{8,04}{30 \cdot 6} = 0,044$

$$\begin{aligned}\phi &= 1,6 \\ \gamma &= 1,6 \\ K &= 1,5 \cdot 10^6\end{aligned}$$

$$\sigma_1 = \frac{\gamma \cdot K \cdot w_f}{\phi (10 \cdot w_f + 1)} = \frac{1,6 \cdot 1,5 \cdot 10^6 \cdot 0,044}{1,6 (40,4 + 1)}$$

$$\sigma_1 = 4583,3 \text{ kg/cm}^2$$

$$\sigma_2 = 2,4 \sqrt{\frac{15 \cdot 1,6 \cdot 10^6 \cdot 5,9}{16}} = 2257,78 \text{ kg/cm}^2$$

$$\max(\sigma_1, \sigma_2) = 4583,3 \text{ kg/cm}^2 > 2800 \text{ kg/cm}^2 \quad \text{- vérifié -}$$

sur appuis : $w_f = \frac{3,39}{30 \cdot 6} = 0,018$

$$\max \left\{ \begin{array}{l} \sigma_1 = 3050,8 \text{ kg/cm}^2 \\ \sigma_2 = 2607 \text{ kg/cm}^2 \end{array} \right. = 3050,8 \text{ kg/cm}^2 > 2800 \text{ kg/cm}^2 (\bar{\sigma}_a)$$

- vérifié -

- Armatures Transversales :

$$\bar{\sigma}_b = \frac{T_{\max}}{b \cdot z} = \frac{10560}{30 \cdot \frac{7}{8} \cdot 32} = 12,57 \text{ kg/cm}^2 < 3,5 \bar{\sigma}_b$$

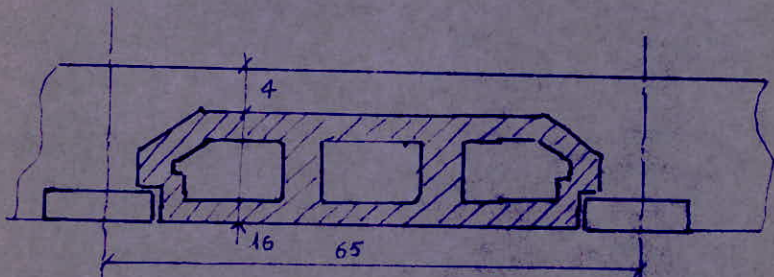
on prendra 1 cadre + 1 étrier $\phi 8$ ($A_t = 1,5 \text{ cm}^2$)

Espacement $E = \frac{918 \cdot 32 \cdot 1,5 \cdot 1600}{10560} = 6,36 \text{ cm.}$

- $t = 7 \text{ cm.}$ -

CALCUL DES POUTRELLES.

On a un plancher à corps creux (16+4). Les poutrelles seront préfabriquées sur chantier. Elles seront calculées sous la sollicitation de 1^{er} Génie ($G + 1,2P$). Elles seront disposées sur la plus petite portée.



schema de calcul

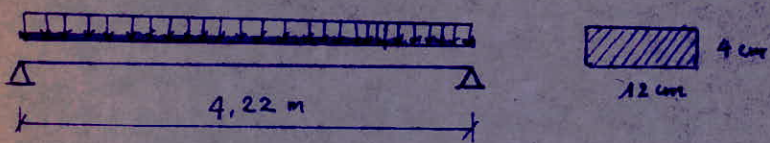
Le calcul des poutrelles sera fait en 2 étapes.

1^{ère} Etape : Avant le collage de la table de compression, la poutrelle est considérée comme complètement appuyée au support sur son poids propre, l'ouïdis et la charge de l'ouvrier.

2^{ème} Etape : Après collage de la table de compression, la poutrelle est considérée comme une poutre en T continue sur plusieurs appuis.

Calculs :

1) 1^{ère} étape : on prendra la poutrelle la plus défavorable (grande portée)



$$\begin{aligned}
 & - \text{ Poids propre de la poutrelle} : 0,12 \cdot 0,04 \cdot 2500 = 12 \text{ Kg / ml} \\
 & - \text{ Corps creux} : 165 \times 0,65 = 107,25 \text{ Kg / ml} \\
 & - \text{ Surcharge pondérée} : 1,2 \cdot 100 \cdot 0,65 = 78 \text{ Kg / ml} \\
 & \hline
 & q = 198 \text{ Kg / ml}
 \end{aligned}$$

* Moment en travée :

$$M_{max} = q \cdot \frac{l^2}{8} = \frac{198 \cdot (4,22)^2}{8} = 440,75 \text{ Kg.m}$$

* Effort tranchant sur appui : $T_{max} = q \cdot \frac{l}{2} = 417,78 \text{ Kg}$

CALCUL DES ARMATURES (méthode de P. CHARON)

On considère un enrobage $d = 2 \text{ cm}$.

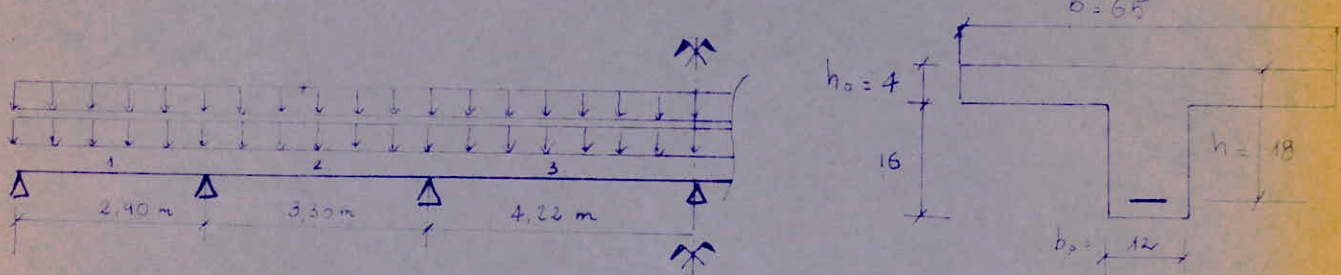
$$\mu = \frac{15 \cdot M_o}{\bar{\sigma}_a \cdot b \cdot h^2} = \frac{15 \cdot 44075}{2800 \cdot 12 \cdot 2^2} = 4,919 \rightarrow K = 1$$

$$\bar{\sigma}'_b = \frac{\bar{\sigma}'_a}{K} = \frac{2800}{1} = 2800 \text{ kg/cm}^2 \gg \bar{\sigma}'_b = 137 \text{ kg/cm}^2$$

$\sigma'_b > \bar{\sigma}'_b$: Les armatures comprimées sont nécessaires. Vu les faibles dimensions de la section du béton, ceci est pratiquement impossible. Pour cela on doit prévoir des échafaudages (étais) pour aider les poutrelles à supporter les efforts ouant en charge de la table de compression.

2) Deuxième Étape : (à l'exploitation)

La poutrelle sera calculée en tenant compte de la continuité (section en Té).



Détermination des efforts agissants sur la poutrelle :

Le plancher est à surcharges modérées

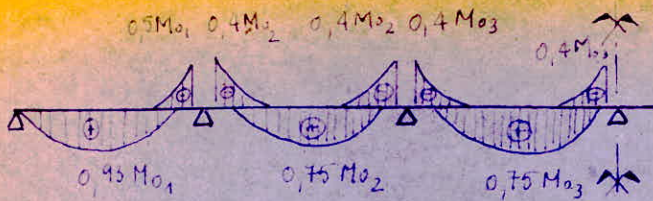
on constate que les travées 2. et 3. ne vérifient pas l'inégalité suivante :

$$0,8 \leq \frac{l_i}{l_i + 1} \leq 1,25 \quad \frac{l_2}{l_3} = 0,78 < 0,8$$

Malgré ça on peut appliquer la méthode parfaite mais on tient compte de la condition suivante : (C.C.B.A 68 Art. 5532)

en prenant les cas de charges et surcharges séparément et dans les cas les plus défavorables.

Diagramme des moments :



1. Calcul des moments dues aux charges permanentes les plus avantageuses :

$$q_p = 526 \times 0,65 = 341,9 \text{ kg/m.}$$

$$M_0 = q_p \cdot \frac{l^2}{8}$$

Pour les différentes travées on aura :

$$M_{01} = 359,42 \text{ kg.m}$$

$$M_{02} = 465,41 \text{ kg.m}$$

$$M_{03} = 761,08 \text{ kg.m}$$

Evaluation des moments aux appuis :

$$\left. \begin{array}{l} M_{a11} = -0,5 M_{01} = -179,71 \text{ kg.m} \\ M_{a12} = -0,4 M_{02} = -186,16 \text{ kg.m} \end{array} \right\} \cdot M_{a1,\max} = -186,16 \text{ kg.m}$$

$$\left. \begin{array}{l} M_{a22} = -0,4 M_{02} = -186,16 \text{ kg.m} \\ M_{a23} = -0,4 M_{03} = -304,43 \text{ kg.m} \end{array} \right\} \cdot M_{a2,\max} = -304,43 \text{ kg.m}$$

$$M_{a3} = -0,4 M_{03} = -304,43 \text{ kg.m} \quad \cdot M_{a3,\max} = -304,43 \text{ kg.m}$$

Evaluation des moments en travées :

$$\cdot M_{t1} = 0,33 M_{01} = 334,26 \text{ kg.m}$$

$$\cdot M_{t2} = 0,75 M_{02} = 349,05 \text{ kg.m}$$

$$\cdot M_{t3} = 0,75 M_{03} = 570,81 \text{ kg.m}$$

2. Calcul des moments dues aux surcharges les plus favorables.

$$q_s = 175 \times 1,2 \times 0,65 = 136,5 \text{ kg/m} \quad (\text{Ponderée})$$

$$M_{oi} = q_s \cdot \frac{l_i^2}{8}$$

$$\cdot M_{o1} = 143,5 \text{ kg.m}$$

$$\cdot M_{o2} = 185,13 \text{ kg.m}$$

$$\cdot M_{o3} = 303,85 \text{ kg.m}$$

Moments en travées :

$$M_{t1} = 133,45 \text{ kg.m}$$

$$M_{t2} = 138,85 \text{ kg.m}$$

$$M_{t3} = 227,88 \text{ kg.m}$$

Moments aux appuis :

$$\begin{aligned} M_{a1, \text{max}} &= 74,05 \text{ Kg.m} \\ M_{a2, \text{max}} &= 121,54 \text{ Kg.m} \\ M_{a3, \text{max}} &= 121,54 \text{ Kg.m} \end{aligned}$$

Le ferrailage de la poutrelle se calculera à l'aide des moments globaux en travées (resp. aux appuis) dues aux charges permanentes et aux charges pondérées.

Moment maximum global au appuis:

$$M_a = -304,43 - 121,54 = -425,97 \text{ Kg.m}$$

Moment maximum global en travée :

$$M_t = 570,81 + 227,88 = 798,69 \text{ Kg.m}$$

Calcul des Armatures (méthode de P. CHARON)

1. Sur Appuis : $M_a = 425,97 \text{ Kg.m}$.

$$\mu = \frac{15 \cdot M_a}{\bar{\sigma}_a \cdot b \cdot h^2} = \frac{15 \cdot 425,97}{2800 \cdot 65 \cdot 18^2} = 0,0108$$

Tableau :

$$\varepsilon = 0,9535$$

$$K = \frac{92,5}{\bar{\sigma}_b} - \bar{\sigma}'_b = \frac{\bar{\sigma}_a}{K} = \frac{2800}{92,5} = 30,2 \text{ Kg/cm}^2 < \bar{\sigma}'_b$$

(pas d'armatures comprimées)

$$A_a = \frac{M_a}{\bar{\sigma}_a \cdot \varepsilon \cdot h} = \frac{425,97}{2800 \cdot 0,9535 \cdot 18} = 0,88 \text{ cm}^2$$

Vérification à la non fragilité :

$$A \geq 0,69 \cdot b \cdot h \cdot \frac{\bar{\sigma}_b}{\bar{\sigma}_{en}} = 0,69 \cdot 65 \cdot 18 \cdot \frac{5,9}{4200} = 1,13 \text{ cm}^2$$

donc $A_a \geq A_{nf}$. $A_{amin} = 1,13 \text{ cm}^2$.

Vérification à l'effort tranchant :

$$T_{max} = q_t \cdot \frac{l_{max}}{2} = (136,5 + 341,9) \cdot \frac{4,22}{2} = 1009,42 \text{ Kg}$$

Majoration de 10% (plus de 2 travées)

$$T = 1009,42 \times 1,1 = 1110,36 \text{ Kg.}$$

$$A \bar{\sigma}_a \geq T + \frac{M_a}{3} = 1110,36 - \frac{425,97}{\frac{1}{8} \cdot 18} = -1594,2 \text{ Kg}$$

ce qui vérifie ($A > 0$).

2. en travée : $M_E = 798,69 \text{ kg.m}$

$$\rho = \frac{15 \cdot 798,69 \cdot 10^2}{2800 \cdot 65 \cdot 18^2} = 0,0203 \rightarrow \begin{aligned} \epsilon &= 0,9375 \\ K &= 65 \\ -\sigma'_b &< \bar{\sigma}'_b \quad (A' = 0) \end{aligned}$$

$$A_t = \frac{M_E}{\bar{\sigma}_a \cdot \epsilon \cdot h} = \frac{79869}{2800 \cdot 0,9375 \cdot 18} = 1,69 \text{ cm}^2$$

• Vérification à la non fragilité : (Art. 52. CCBA 68)

$$A_t \geq 0,69 b \cdot h \cdot \frac{\bar{\sigma}_b}{\bar{\sigma}_{en}} = 1,13 \text{ cm}^2$$

Ce qui est vérifié.

• Choix des aciers :

sur appuis : On prendra 1 T 14 $A = 1,54 \text{ cm}^2$

en travées : on prendra 3 T 10 $A = 2,35 \text{ cm}^2$

Nota: la condition de Non fragilité exige une section minimale d'acier de $(1,13 \text{ cm}^2)$ d'où on adoptera sur tous les appuis (resp. travées) le même ferrailage choisi.

• Vérification à la flèche : (Art. 612 CCBA 68)

$$1^\circ / \frac{ht}{L} > \frac{1}{22,5} = 0,044$$

$$\frac{ht}{L} = \frac{20}{420} = 0,047 > 0,044 \quad (\text{Vérifié})$$

$$2^\circ / A < b \cdot h \cdot \frac{43}{\bar{\sigma}_{en}} = 65 \cdot 18 \cdot \frac{43}{4200} = 11,97 \text{ cm}^2 < A_{\text{adopté}} \quad (\text{Vérifié})$$

• Vérification de l'adhérence:

$$\tau_d = \frac{T}{P \cdot z} = \frac{1110,36}{6,28 \cdot 15,75} \quad \rho = 2\pi \cdot 1 = 6,28$$

$$z = \frac{\pi}{8} h = 15,75 \text{ cm}$$

$$\tau_d = 11,22 \text{ kg/cm}^2$$

$$\bar{\tau}_d = 34_d \bar{\sigma}_b = 3 \cdot 1,5 \cdot 5,9 = 26,55 \text{ kg/cm}^2 > \tau_d$$

• Condition aux appuis :

$$A \geq \frac{T + M/z}{\bar{\sigma}_a} = \frac{1110,36 - \frac{42597}{15,75}}{2800} = -1,3 \quad -\text{Vérifié}-$$

Armatures transversales : (Art. 58 3 et 25 C.C.B.A 68)

$$\text{Contrainte de cisaillement : } \gamma_b = \frac{T}{bZ} = \frac{1110,36}{12 \cdot \frac{7}{8} \cdot 18} = 5,87 \text{ kg/cm}^2$$

$$\sigma'_b = \frac{\bar{\sigma}_a}{K} = \frac{2800}{65} = 43,05 \text{ kg/cm}^2 < \bar{\sigma}'_{bs} = 68,8 \text{ kg/cm}^2$$

$$\bar{\gamma}_b = 3,5 \bar{\sigma}_b = 20,65 \text{ kg/cm}^2$$

$$\gamma_b < \bar{\gamma}_b \quad (\text{des cadres suffisent})$$

on choisit des cadres $\phi 6$ ($A_t = 0,565 \text{ cm}^2$) en acier doux

$\bar{\sigma}_{at}$: reprise de bétonnage, d'un $\bar{\sigma}_{at} = 2/3 2400 = 1600 \text{ kg/cm}^2$

Espacement admissible :

$$t = \max \left\{ t_1 = 0,2h = 3,6 \text{ cm} \right. \\ \left. t_2 = \left(1 - 0,3 \frac{\bar{\sigma}_b}{\bar{\sigma}_{at}} \right) h = 12,62 \text{ cm} \right.$$

t_0 est donné par : $\bar{E} = 13 \text{ cm}$.

$$t_0 = \frac{A_t \cdot \bar{\sigma}_{at}}{T} = \frac{0,565 \cdot \frac{7}{8} \cdot 18 \cdot 1600}{1110,36} = 12,82 \text{ cm}$$

On prendra un espacement constant $t = 13 \text{ cm}$.
aux nus des appuis l'espacement sera de $\frac{t}{2} = 6,5 \text{ cm}$.

CALCUL Du nombres d'Etaiis qu'il faudrait placer à la pose.

Section
d'acier

$$A = 1,57 \text{ cm}^2 (3T10)$$

$$M_A = \bar{\sigma}_a \cdot z \cdot A = 2800 \cdot \frac{7}{8} \cdot 2 \cdot 2,35$$

$$M_A = 11515 \text{ kg.cm}$$

$$M_A > M = \frac{q l_i^2}{8} \rightarrow l_i \leq \sqrt{\frac{8M}{q}} \leq \sqrt{\frac{8 \cdot 11515}{198}} = 2,01$$

on prendra 2 etais. avec $l_i = 1,4 \text{ m}$.

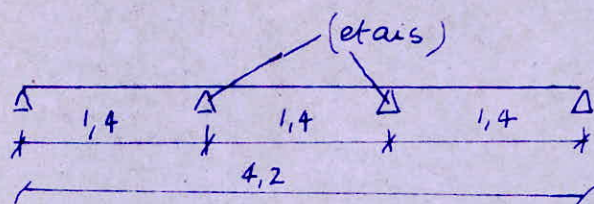


TABLE DE COMPRESSION :

ferraillage de la table (Art 58.2 C.C.B.A. 68)

Afin de limiter les risques de fissurations et pour faire repartir les charges on prévoit un treillis sondé. Les dimensions des mailles de ce treillis ne doivent pas dépasser :

- 20 cm pour les armatures perpendiculaires aux nervures.
- 33 cm pour les armatures parallèles aux nervures.
- Armatures perpendiculaires aux nervures : ($A \perp$)

$\ell_n = 65$ cm. écartement des nervures entr'axes.
pour $50 < \ell_n < 80$

$$A_{\perp} \geq \frac{43 \ell_n}{\sigma_{en}} = \frac{43 \cdot 65}{5200} = 0,54 \text{ cm}^2$$

- Armatures parallèles aux nervures : ($A \parallel$)

$$A_{\parallel} > \frac{A_{\perp}}{2} = \frac{0,54}{2} = 0,27 \text{ cm}^2.$$

On adopte un Treillis Sondé $\phi 4$ (maille 20×20)

N.B. on adopte le même ferraillage que la table de compression du rez de chaussée (16 + 6).

-ÉTUDE AU SEISME -

INTRODUCTION :

Nos deux bâtiments étant à étages multiples (R+1 et R+2) ; leurs constructions sera conçue pour résister à d'éventuelles secousses sismiques puisque leur lieu d'implantation est à Blida, (zone sismique N° II).

EFFETS DU SEISME :

Les secousses sismiques imposent aux constructions des accélérations particulières pouvant atteindre l'ordre de grandeur de g ; ($-g \approx 9,81 \text{ m/s}^2$).

Les efforts qui en résultent peuvent s'exercer en plan selon une direction quelconque, qui peut-être oblique ou verticale ; on peut toute fois les décomposer, en 2 composantes (verticales, et horizontales), qui il est commode de caractériser par la valeur des accélérations verticales, et horizontales, du mouvement sismique et d'admettre qu'elles s'adressent aux masses m de la construction.

Dans le cas de construction à planchers rigides (notre cas) ; on conduira la vérification en appliquant les forces horizontales au niveau de chaque plancher ; et dans l'évaluation des charges soumises à l'action sismique, on prendra en compte les charges permanentes, et éventuellement la fraction des surcharges revenant au plancher considéré.

RECOMMANDATIONS DE CONCEPTION GÉNÉRALE DES BATIMENTS.

- a/ Réduire autant que possible la hauteur des batiment et surtout le rapport de celle ci à leur largeur (plus faible distance entre murs extérieurs des façades), si le rapport dépasse :
 - 2,5 Pour zone de faible risque.
 - 2,0 " " " forte "
 - 1,5 " " " très forte " , des justifications spéciales devront être fournies.
- b/ Eviter des ensembles mal équilibrés en hauteur ou en inertie.
- c/ Eviter des ouvertures de trop grandes dimensions.
- d/ Prévoir dans la mesure du possible un sous-sol général, ou des fondations profondes, massives qui ancrent la construction dans le sol.
- e/ Eviter les encorbellements et tous les éléments de construction mal liés à l'ossature.
- f/ Choisir de préférence un terrain compact et établir des fondations profondes soigneusement chainées et engagées dans le sol résistant pour s'opposer aux soulèvements dûs aux composantes verticales du séisme.
Réaliser une liaison très résistante entre les fondations et la superstructure.
- g/ Pour La superstructure :
 - */ Abaisser le plus possible le centre de gravité de la construction.
 - */ Réaliser des nœuds rigides.

- * / Assurer l'indéformabilité de l'ensemble par des contreventements soignés dans tous les sens.
- * / Dans les poteaux ; les recourvements des barres en attente devront être au moins égaux à 50 fois leur diamètre.
- * / L'écartement des armatures transversales doit être au plus égal à la hauteur utile des pièces.
- * / Prévoir autour des ouvertures des encadrements armés liés à l'assature ou aux chainages.

- CALCUL SISMIQUE -

Ce mode de calcul substitue aux effets dynamiques réels des séismes ; des sollicitations statiques résultant de la combinaison de systèmes de forces fictives dont les effets sont quasi-équivalents à ceux de l'action sismique.
Les systèmes fictifs se composent :-

- D'un système de forces élémentaires horizontales, Noté (S_H).
- " " " " " verticales, noté (S_V).
- " " " de couples de Torsion d'axe vertical.

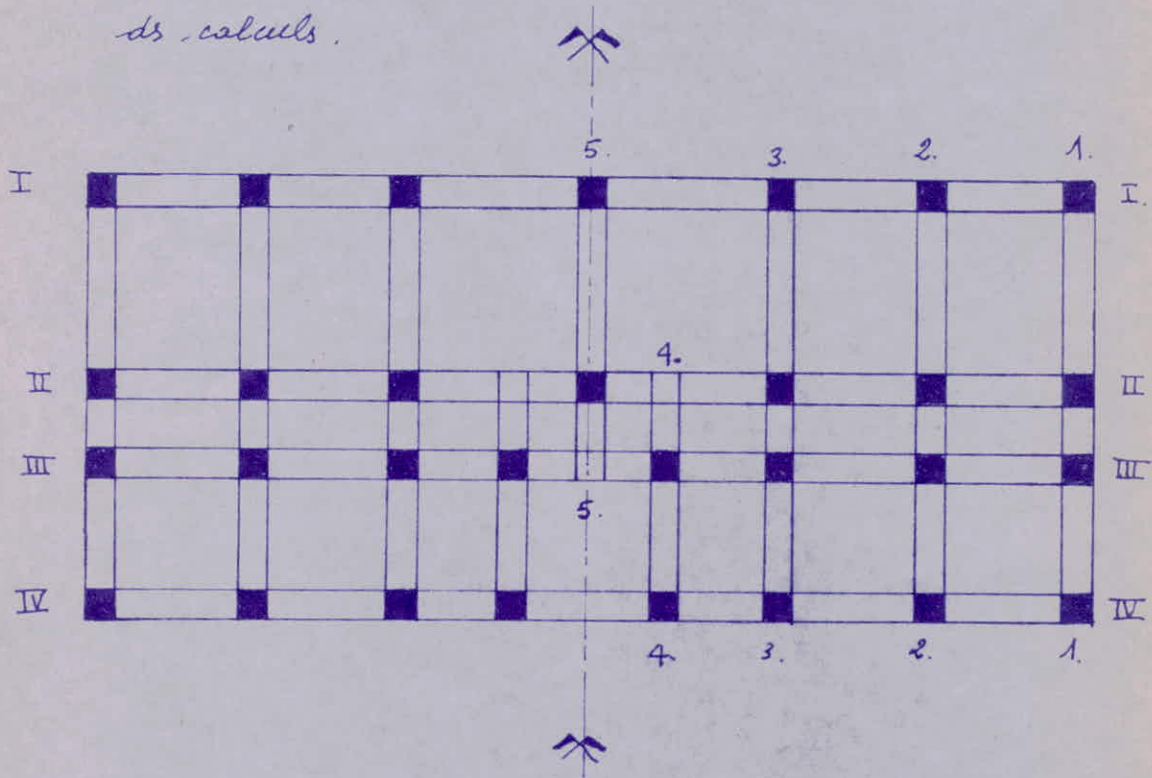
On admet également que les charges et les fractions des surcharges sont ramenées au niveau des planchers.

Les sollicitations sismiques horizontales sont de directions quelconques ; cependant, les règlements permettent la vérification dans les 2 directions perpendiculaires successivement envisagées.

CALCUL SISMIQUES

*. Remarque :

La notation des portiques sera maintenue jusqu'à la fin des calculs.



Les portiques les plus défavorables sont :

*. Portiques Transversaux : 3-3, 4-4, et 5-5.

*. Portiques longitudinaux : I-I, III-III. (ou IV-IV).

I. DÉTERMINATION DES COEFFICIENTS SISMIQUES

I₁. DIRECTION HORIZONTALE :-

$$\sigma_x = \alpha \cdot \beta \cdot \gamma \cdot \delta \quad (\alpha, \beta, \gamma, \delta : \text{coefficients sans dimension})$$

α : coefficient d'intensité : dépend de l'intensité nominale $i_n=8$ pour laquelle est demandée la protection de la construction.
Zone II (Blida $\alpha=1$).

β : Coefficient de réponse : caractérise l'importance de la réponse de l'ossature à une secousse d'intensité égale à l'intensité de référence, il dépend :

- a/ De la période T de mode de vibration de la construction dans la direction étudiée. $T = 0,09 \frac{H}{\sqrt{L_x}}$
où : H : hauteur du bâtiment.
 L_x : Longueur du bâtiment.

b/ Du degré d'amortissement de l'ouvrage.

c/ Accessoirement, de la nature du sol des fondations.

$$\beta = \frac{0,065}{\sqrt{T}} \quad \text{avec } 0,05 \leq \beta \leq 0,1$$

γ : Coefficient de distribution ; il ne dépend que de la structure et caractérise à l'intérieur de celle-ci, le comportement de la masse à laquelle il se rapporte ; il s'exprime en fonction du rang r de plancher compté à partir de la base.

si n est le nombre de planchers, le coeff. applicable au plancher de rang r est :

$$\text{La distribution des coeffs. est du type} \quad \gamma_r = \frac{3r}{2n+1} \quad \text{Triangulaire.}$$

Dans notre cas $n = 2$ ($R+1$)

$$*/ n=1 \rightarrow \gamma_r = \frac{3}{5} = 0,6 .$$

$$*/ n=2 \rightarrow \gamma_r = \frac{6}{5} = 1,2 .$$

δ : Coefficient de fondation; il est indépendant des propriétés dynamiques de la construction, est un facteur correcteur tenant compte de l'incidence des conditions de fondations sur le comportement de l'ouvrage.

Pour scelles superficielles, sur terrain de consistance moyenne :

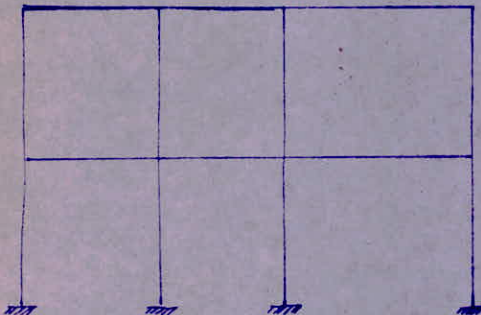
$$\delta = 1,15 .$$

Les coefficients sismiques auront donc pour valeurs :

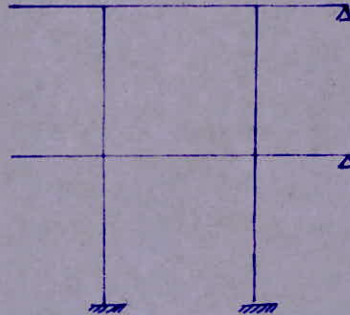
$$\delta_x = 1 \cdot 1,15 \cdot \gamma_r \cdot \beta .$$

A. Portiques Transversaux :

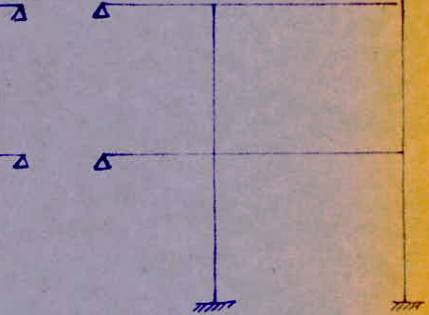
Portique 3-3



Portique 4-4

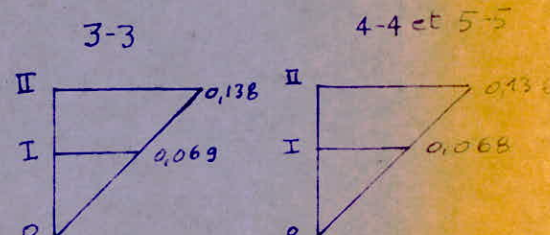


Portique 5-5



Soit le Tableau suivant:

Portique	H_m	L_x	T	β	δ_T	
					Ni. I	Ni. II
3-3	6,40	9,85	0,183	0,100	0,069	0,138
4-4	6,40	3,60	0,303	0,096	0,068	0,136
5-5	6,40	4,20	0,281	0,099	0,068	0,136

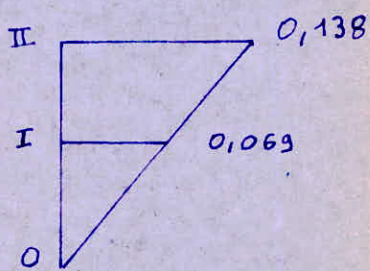


B. PORTIQUES LONGITUDINAUX.

Tous les portiques longitudinaux ont même hauteur et même longueur

$$\left. \begin{array}{l} H_m = 6,40 \text{ m.} \\ L_n = 22,65 \text{ m} \end{array} \right\} \text{d'où } T = \frac{0,09 \cdot H_m}{\sqrt{L_n}} = 0,142 \quad ; \beta = 0,1$$

$$\sigma_L' = \begin{cases} 0,069 & \text{N. I} \\ 0,138 & \text{N. II} \end{cases}$$



* / COEFFICIENTS SISMIQUES ; DIRECTION VERTICALE

$$\text{on a } \sigma_v' = \mp \frac{1}{\sqrt{\alpha}} \cdot \sigma_H \quad \text{où } \sigma_H = \max \{ \sigma_T, \sigma_L' \}$$

Tous nos portiques ont la même $\sigma_v' = \pm 0,138$.

ETUDE DE LA TORSION

Les constructions peuvent être le siège d'oscillations de torsion particulièrement préjudiciables à leur bonne tenue.

Ces oscillations se trouvent considérablement accentuées dès que la résultante des forces se trouve excentrée. Une distribution de favorable des surcharges peut, de son côté, contribuer à aggraver la torsion.

Notre bâtiment possède une symétrie dans un sens seulement (symétrie par rapport à l'axe vertical) donc le centre de torsion du bâtiment se trouve sur l'axe vertical.

L'excentricité du bâtiment par rapport à l'axe horizontal est donnée par :

$$e_y = y_G - y_T$$

y_G : Centre de masses :
($x_G = 0$)

$$y_G = \frac{\sum M_i y_i}{\sum M_i}$$

M_i : masse soumise au séisme.

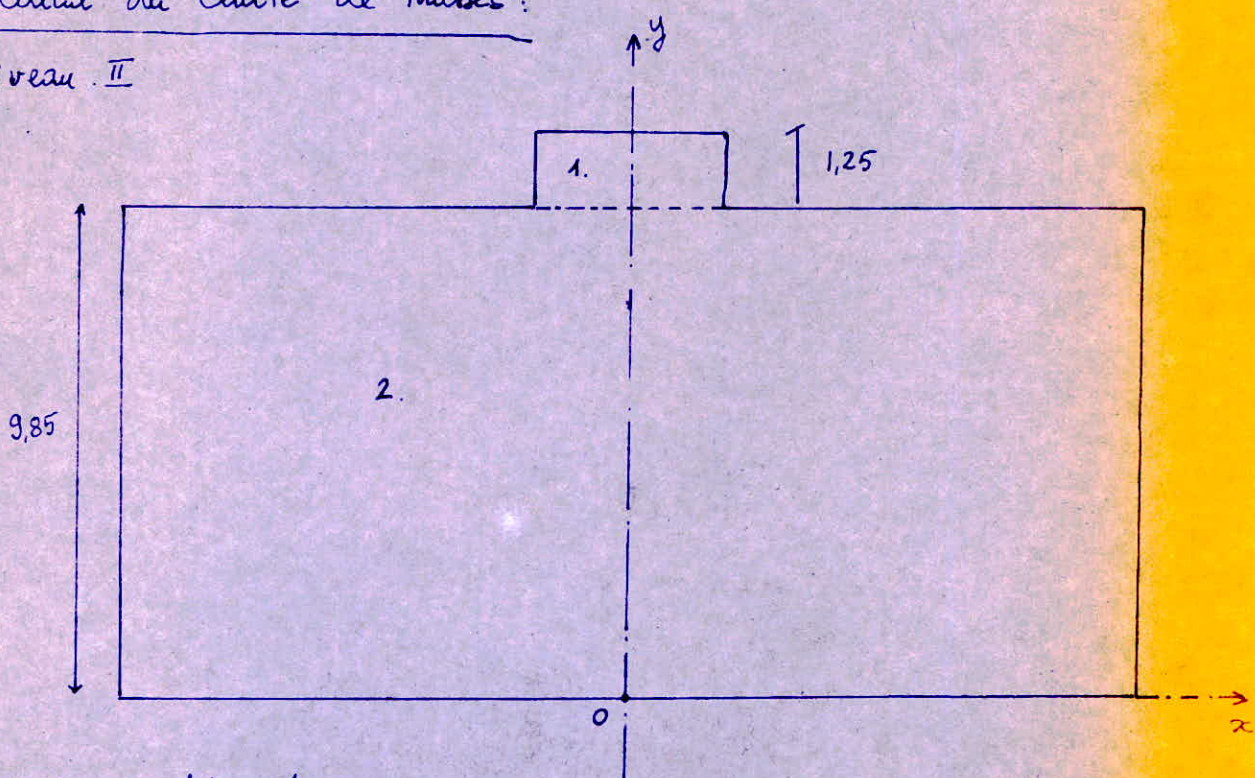
y_T : Centre de torsion :
($x_T = 0$)

$$y_T = \frac{\sum I_{y_i} \cdot y_i}{\sum I_{y_i}}$$

I_{y_i} : moment d'inertie du poteau i / Axe y .

Calcul du centre de masses :

Niveau II



Determinations des masses M_i :

$$M_1: \text{Plancher : } 526 \cdot 1,25 \cdot 3,2 = 2,10 t$$

$$\text{aérogétre : } 150 \cdot (1,25 \cdot 2 + 3) = 0,82 t$$

$$\text{Pontres.t : } 262,5 \times 1,25 \times 2 = 0,65 t$$

$$\frac{1}{2} \text{ murs : } \frac{2,85}{2} \cdot 210 (2,5 + 3) = 1,64 t$$

$$M_1 = G_1 + \frac{P_1}{5} = 6,3 t$$

$$\begin{aligned}
 M_2 &: \text{Plancher: } 526 \cdot 23,10 \cdot 9,85 = 124,13 \text{ t} \\
 &\text{acrotère: } 150 [23,10 - 3,2 + 23,10 + 2 \cdot 9,85] = 9,46 \text{ t} \\
 &\text{poutres long: } 262,5 \times 23,10 \times 4 = 24,4 \text{ t} \\
 &\text{poutres trans: } 262,5 (9,85 \cdot 6 + 2,5,20 + 1,3) = 19,05 \text{ t} \\
 &\frac{1}{2} \text{ poteaux: } 225 \cdot \frac{1,85}{2} \cdot 30 = 9,61 \text{ t} \\
 &\frac{1}{2} \text{ murs: } 210 \cdot \frac{2,85}{2}^2 (9,85 + 23,10 - 3,2) = 8,3 \text{ t} \\
 &\frac{1}{2} \text{ cloisons: } 75 \cdot 9,85 \cdot 23,10 = 17,06 \text{ t}
 \end{aligned}$$

$$\text{Surcharges: } P_2 = 100 \cdot 9,85 \cdot 23,10 = 22,75 \text{ t}$$

$$M_2 = G_2 + \frac{P_2}{5} = 217,17 \text{ t}$$

$$\text{Centre de masses: } y_G = \frac{M_1 y_1 + M_2 y_2}{M_1 + M_2}$$

$$y_G = \frac{217,17 \cdot \frac{9,85}{2} + 6,3 (9,85 + \frac{1,25}{2})}{217,17 + 6,3} = 5,23 \text{ m.}$$

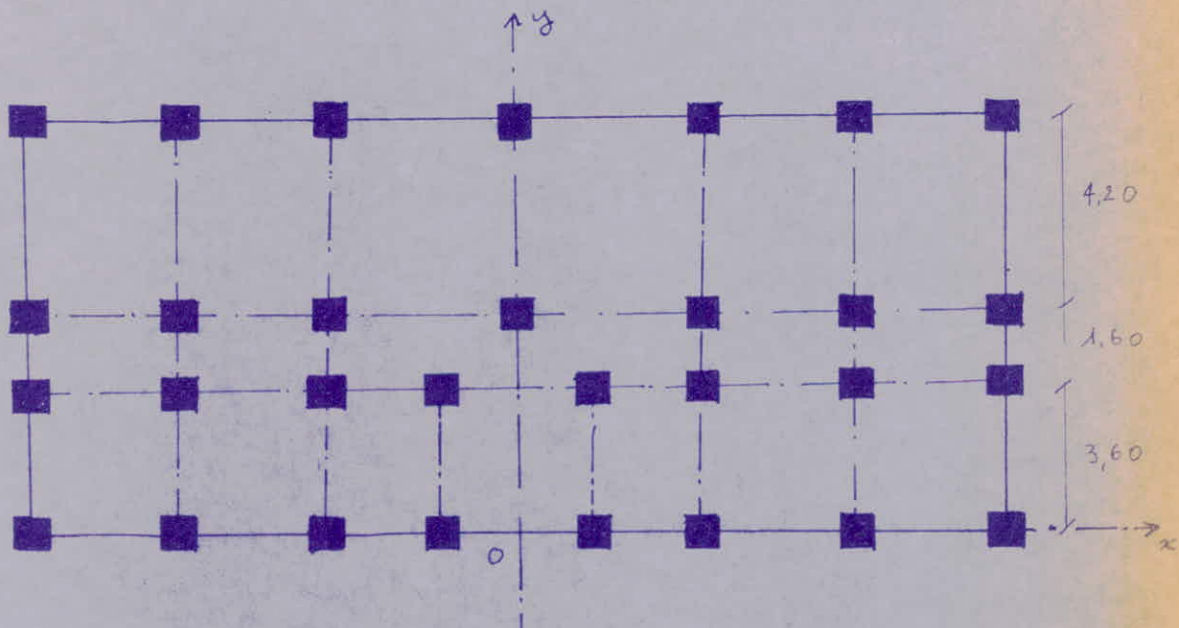
On fait les mêmes calculs pour les Plancher I et Reg de chaussée.

On trouve:

$$\text{Niveau I: } y_G = 5,35$$

$$\text{Niveau R.C: } y_G = 4,925 \quad (\text{Centre de masse enfoncé avec le centre géométrique de A}^E)$$

Centre de torsion du bâtiment:



$$y_T = \frac{\sum I_{y_i} \cdot y_i}{\sum I_{y_i}} \quad * \quad I_{y_i} = I = \text{cste.}$$

$$y_T = \frac{I \cdot 3,60 + I \cdot 5,20 + I \cdot 9,40}{30 \cdot I}$$

$$y_T = 4,85 \text{ m.}$$

excentricité : $e = \max(e_{y_i})$

$$\text{Niveau II} \quad e_y = y_6 - y_7 = 5,23 - 4,85 = 0,38 \text{ m}$$

$$\text{Niveau I} \quad e_y = 5,35 - 4,85 = 0,5 \text{ m}$$

$$\text{Niveau R.C} \quad e_y = 4,925 - 4,85 = 0,075 \text{ m}$$

$$e_{\max} = 0,5 \text{ m.}$$

le E.T.C préconise de prendre le max des excentricités suivantes:

$$e = \max \begin{cases} 5\% L & (\text{L: longueur du bâtiment dans le sens de la torsion}) \\ e_{\max} \text{ du bâtiment.} \end{cases}$$

$$e = \max \begin{cases} 0,05 \cdot 9,85 = 0,492 \text{ m} \\ 0,5 \text{ m} \end{cases}$$

$$\text{donc: } e = 50 \text{ cm.}$$

DESCENTE DE CHARGES SISMIQUE :

$$\begin{aligned} \text{Niveau II: } G: & \text{ acrotère: } 150 [9,55 + 23,10 + 1,25] \cdot 2 = 10,26 \text{ t} \\ & \text{ plancher: } 526 (9,55 \cdot 23,10 + 1,25 \cdot 3,05) = 121,68 \text{ t} \\ & \text{ poutres: } 262,5 \rightarrow 44,6 \text{ t} \\ & \frac{1}{2} \text{ poteaux: } 225 \rightarrow 9,6 \text{ t} \\ & \frac{1}{2} \text{ murs: } 210 \rightarrow 20,82 \text{ t} \\ & \frac{1}{2} \text{ cloisons: } 75 \rightarrow 17,35 \text{ t.} \end{aligned}$$

$$P: 100 \cdot 9,85 \cdot 23,10 = 23,13 \text{ t.}$$

$$W_{II} = G + \frac{P}{5} = 230 \text{ t.}$$

$$\begin{aligned} \text{Niveau I. } G: & \text{ plancher (cloisons comprises): } 486 \cdot 231,33 \rightarrow 112,42 \text{ t} \\ & \text{ poutres: } 44,6 \text{ t} \\ & \text{ poteaux: } 19,2 \text{ t} \\ & \text{ murs: } 41,64 \text{ t} \\ & \text{ Escalier: } 5,42 \text{ t.} \end{aligned}$$

$$P: 400 \times (3,05 \cdot 360) + 175 \cdot 231,33 + 350 \cdot 360 \cdot 1,34 \cdot 4 = 51,6 \text{ t}$$

$$W_I = G + \frac{P}{5} = 235 \text{ t.}$$

Forces cumulées									
N	W _E (t)	S _L	S _T	F _{HL} (t)	F _{HT} (t)	S _{IV^t} (t)	S _{IV^t} +1m ^t	F _{UL} =F _{UT}	S _{IV^t} %
II	230	0,138	0,138	31,74	31,74	31,74	0,137	31,74	0,13%
I	235	0,069	0,069	16,21	16,21	16,21	0,07	47,95	0,207

Forces horizontales agissantes
sur les portiques.

- sens longitudinal :

$$F_x = \frac{G_L \cdot W \cdot I_{xi}}{\sum I_{xi}} = \frac{F_{H_L} \cdot I_{xi}}{\sum I_{xi}}$$

$$F_y = \frac{G_T \cdot W \cdot I_{yi}}{\sum I_{yi}} = \frac{F_{H_T} \cdot I_{yi}}{\sum I_{yi}}$$

I_{xi} , I_{yi} : moments d'inertie de tous les poteaux du Port.
 $\sum I_{xi}$, $\sum I_{yi}$: " " " " " du niveau

Tableau donnant les forces horizontales
agissant sur les portiques considérés :

F_H en (t)

	N	Port. I.I.	Port. II.II.	Port. III.III	Port. IV.IV
Portiques longitudinaux (L)	II	7,4	7,4	8,46	8,46
	I	3,78	3,78	4,32	4,32
Portiques transversaux (T)	N.	P(3,3)	P(55)(44)	P(22)(11)	P(77)(88)(99)
	II	4,23	2,11	4,23	4,23
	I	2,36	1,08	2,36	2,36

EFFET DU COUPLE DE TORSION UNITÉ
D'AXE VERTICAL (passant par T).

L'effet du couple de torsion se réduit à une rotation du plancher autour du point T. Le déplacement se fait par la tête du poteau de coordonnées (x, y) et pour composantes $-K_y$ et K_x .

K : Constante dépendant du moment d'inertie du plateau

I: moment d'inertie du poteau de coordonnées (x, y) par rapport à un axe parallèle à T_x .

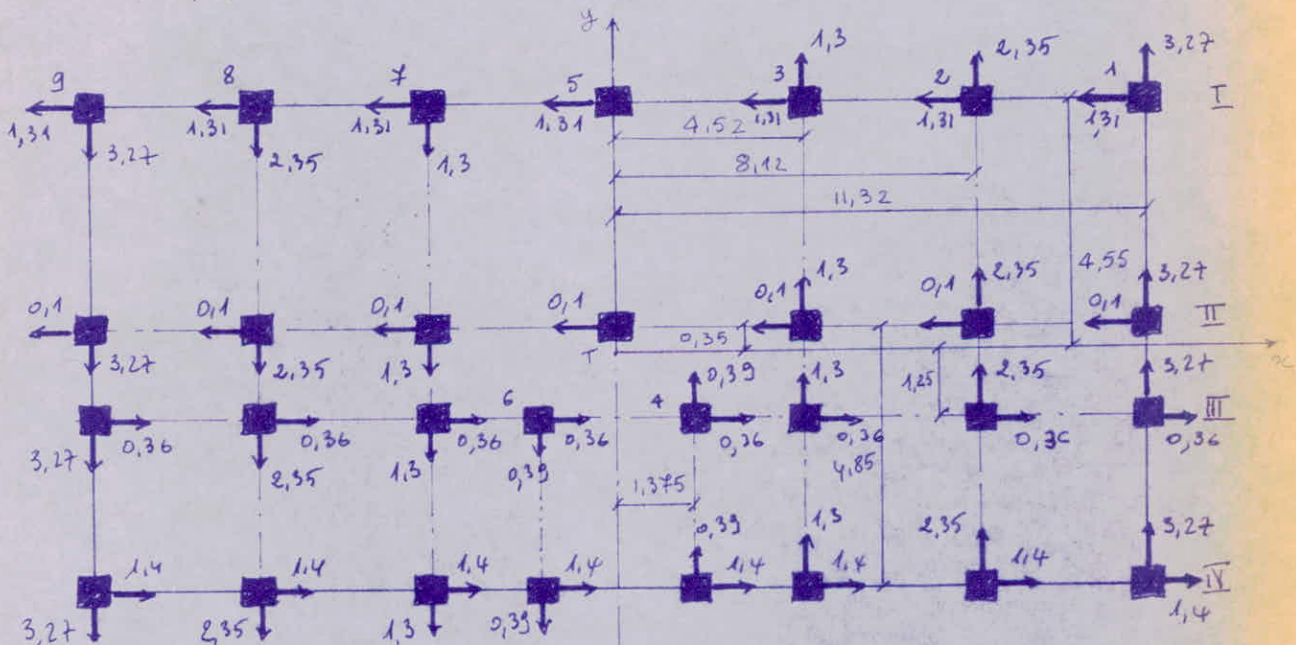
i: moment d'inertie de ce poteau /a un axe // Ty

$$\text{on définit : } K = \frac{1}{\sum I_x x^2 + \sum i_y y^2}$$

Les actions horizontales sont pour un couple unité

$$F(-K_i \cdot y) \\ K_i \cdot x$$

Calcul de : (K_f)



Pour notre cas, on a des poteaux carrés (30×30)

$$I = i = \frac{b \cdot h^3}{12} = \frac{0,3 \cdot (0,3)^3}{12} = 6,75 \cdot 10^{-4} \text{ m}^4$$

$$K = \frac{1}{8I((\overline{1.52}^2 + \overline{8.12}^2 + \overline{4.52}^2) + 4I(\overline{1.375}^2) + 7I(\overline{0.35}^2 + \overline{4.55}^2) + 8I(\overline{1.25}^2 + \overline{4.88}^2))}$$

$$K = \frac{1}{I} \cdot \frac{1}{345,06}$$

$$\kappa = 4.29$$

Pour calculer les forces unitaires agissant sur un poteau quelconque. on procède comme suit:

Ex: poteau I₁. de coordonnées $\begin{pmatrix} 11,32 \\ 4,55 \end{pmatrix}$

le déplacement subit par ce poteau est D_{I₁} qui a pour composantes:

$$D_{I_1} \begin{pmatrix} -K \cdot y_{I_1} \\ K \cdot x_{I_1} \end{pmatrix}$$

C'est à dire

$$D_{I_1} \begin{pmatrix} -19,52 \\ 48,56 \end{pmatrix}$$

Les actions (unitaires) horizontales de ce poteau sont

$$F_{I_1} \begin{pmatrix} -K \cdot y \cdot i \\ K \cdot x \cdot I \end{pmatrix} \text{ qui ont pour valeur } F_{I_1} \begin{pmatrix} -1,31 \cdot 10^{-2} \\ 3,27 \cdot 10^{-2} \end{pmatrix}$$

les couples de forces unitaires sont représentés sur chaque poteau. (vu en plan). en: 10^2 unité

On aura à considérer les moments de torsion réels:

$$M = F_H \cdot e$$

Ces moments provoquent des efforts dans les portiques (long., trans.) qui seront proportionnels aux moments qui les provoquent.

Ex: port I : $M = F_H \cdot e$.

Force due à la torsion : $F_T = M \cdot (F_I = f \cdot F_{I_1})$

en général: $F_T = M \cdot \sum F_{\text{unit}}$

Moments de Torsion réels:

$$M = F_H \cdot e \quad \text{on a: } (F_{H_L} = F_{H_T} = F_H)$$

$$\text{Niveau I : } M = 16,21 \cdot 0,5 = 8,10 \text{ t.m.}$$

$$\text{Niveau II : } M = 31,74 \cdot 0,5 = 15,87 \text{ t.m.}$$

Niveau	Portiques longitudinaux				Portiques transversaux				
	I.I	II.II	III.III	IV.IV	11. 99	22. 88	33. 77	44. 66	5. 5
II	1,455	0,111	0,457	1,777	2,07	1,491	0,825	0,123	0
I	0,742	0,056	0,233	0,907	1,06	0,761	0,421	0,063	0

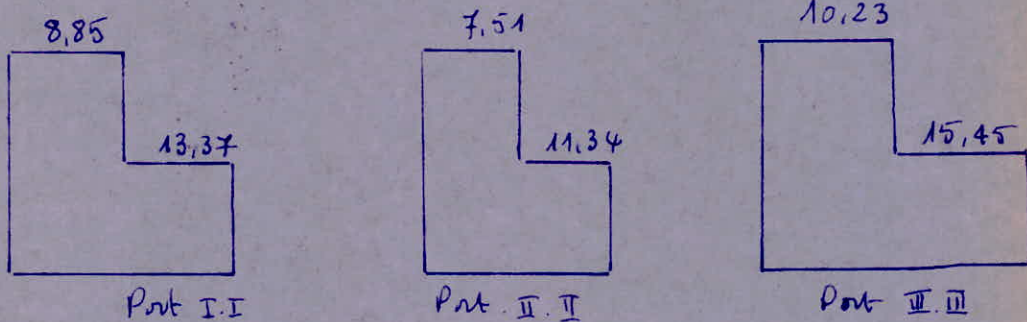
Forces totales horizontales agissant sur les portiques:

$$F = F_{\text{HORizontale}} + F_T \text{ (additionnelle)}.$$

Niveau	F _t (t)	Port. LONGITUDINAUX				PORT. TRANSVERSAUX.				
		I.I	II.II	III.III	IV.IV	1.1	2.2	3.3	4.4	5.5
II.	F _H	7,14	7,14	8,46	8,46	4,23	4,23	4,23	2,11	2,11
	F _T	1,455	0,111	0,457	1,777	2,07	1,491	0,825	0,123	0
	F _{tH}	8,85	7,51	8,91	10,123	6,30	5,72	5,05	2,23	2,11
I.	F _H	3,78	3,78	4,32	4,32	2,16	2,16	2,16	1,08	1,08
	F _T	0,742	0,056	0,223	0,907	1,06	0,761	0,421	0,063	0
	F _{tH}	4,52	3,83	4,54	5,22	3,22	2,92	2,58	1,14	1,08

Diagrammes de F_{Ht} (cumulés) des portiques considérés :

Portiques Longitudinaux :

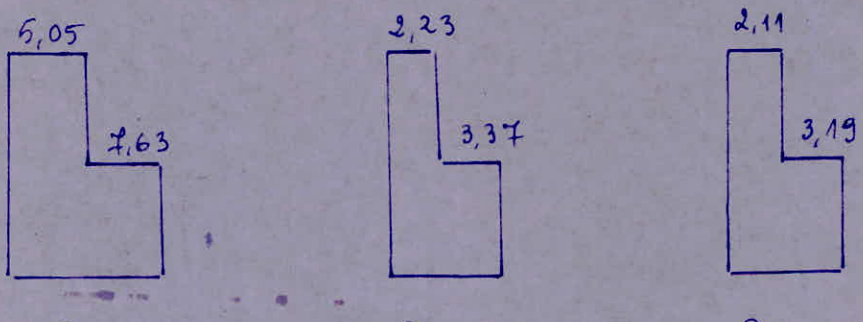


Port I.I

Port. II.II

Port. III.III

Portiques transversaux :



Port. 3.3

Port. 4.4

Port. 5.5

CALCUL DES PORTIQUES SOUS FORCES HORIZONTALES SISMIQUES

Le calcul des efforts sous les forces horizontales sera fait à l'aide de la méthode de M^e BOWMAN.

* Exposé de la méthode :

1. Hypothèses :

Dans le cas où les poteaux d'un même étage ont tous la même hauteur et où les raideurs des différents travees des plans porteurs du plancher, parallèles aux forces appliquées et solidaire des poteaux, sont toutes supérieures au $1/5$ de la raideur du poteau le plus raide, on admet :

* - Que les forces horizontales agissant sur une file de poteaux se répartissent entre les différents poteaux de cette file proportionnellement aux moments d'inertie de ces poteaux, les moments d'inertie des poteaux de rive, étant toutefois affectés du coefficient 0,8.

* - Que les poteaux des étages courants sont encastrés au niveau de chacun des planchers et que les points d'inflexion dans les poteaux de hauteur h se situent :

- Au dernier niveau, à $0,65h$ de la partie supérieure du poteau
- À l'avant dernier niveau, à $0,60h$ de la partie supérieure du poteau
- Et tous les autres niveaux, sauf au 1^{er}, à $0,50h$.
- Au premier niveau, à $0,80h$ à partir de la base du poteau.

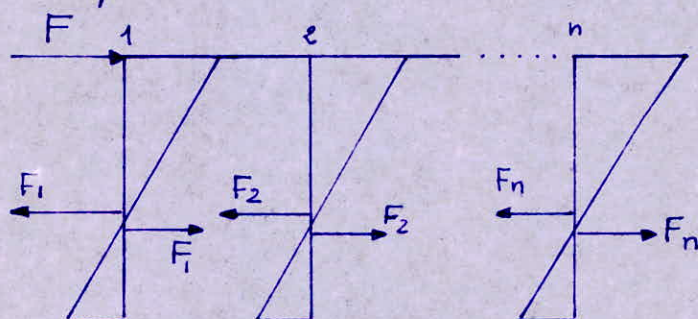
*- 2° Répartition des forces horizontales par poteau :

- Poteau intermédiaire J ($1 < J < n$) :

$$F_j = \frac{F \cdot I_j}{0.8(I_1 + I_n) + \sum_{j=2}^n I_j}$$

- Poteau de rive : ($J=1, J=n$) : $F_j = \frac{F \cdot 0.8 I_j}{0.8(I_1 + I_n) + \sum_{j=2}^n I_j}$

*- Schéma explicatif :

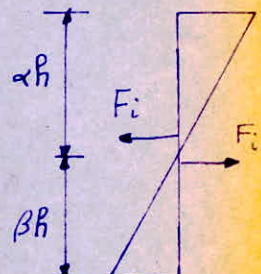


*- Moments dans les poteaux :

- En tête des poteaux : $M = F_i \cdot \alpha \cdot h$

- Et la base des poteaux : $M = F_i \cdot \beta h = F_i \cdot (1-\alpha)h$

où α, β coefficients donnant la position du point d'inflexion.



*- Moments dans les poutres :

Le partage des moments dans les poutres sera effectué proportionnellement aux raideurs des poutres situées à droite et à gauche du membre considéré.

- M_t : moment en tête du poteau inférieur. (ou M_L).

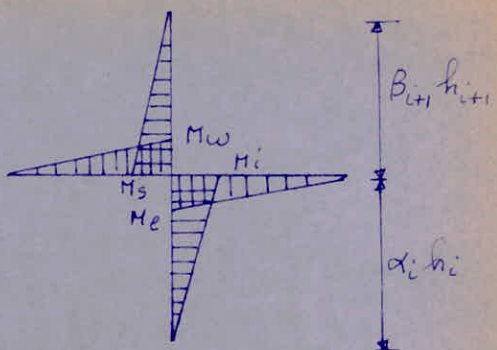
- M_b : moment à la base du poteau supérieur (ou M_R).

- M_w et M_d (H_g, H_d) moments dans la travée de gauche (resp. de droite)

- K_w, K_d (K_g, K_d) raideurs des travées (gauche et droite respectivement).

On a alors :

- $M_w = -(M_s + M_i) \frac{kg}{kg + kd}$
- $M_e = -(M_s + M_i) \frac{kd}{kg + kd}$



* - Efforts tranchants et moments en travée dans les poutres:

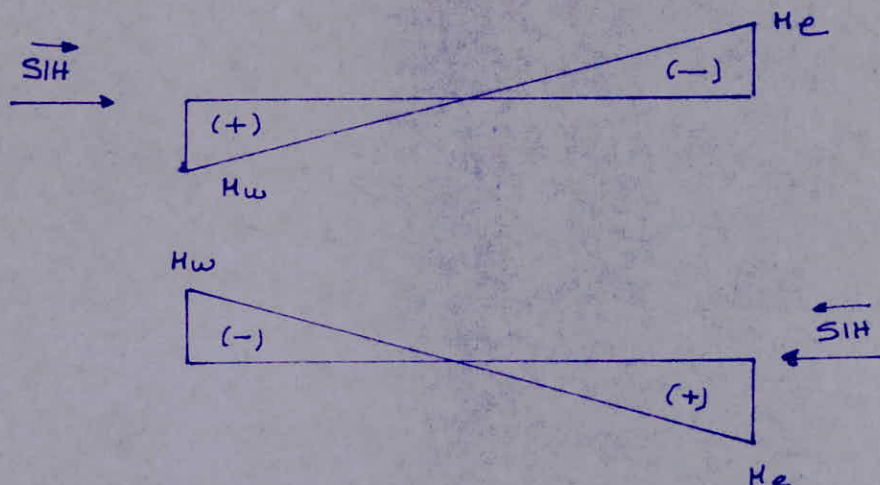
En dérivant l'équation du moment : $M(x) = -\frac{M_w + M_e}{l}x + M_w$

on aura $T = \frac{dM(x)}{dx} = -\frac{M_w + M_e}{2}$.

Alors que le moment en travée obtenu à $x = \frac{l}{2}$:

$$M_t = \frac{M_w - M_e}{2}$$

Il faut noter que ces équations sont obtenues pour \overrightarrow{SIH} , quand on \overleftarrow{SIH} on a qu'à changer le signe des valeurs trouvées pour \overrightarrow{SIH} .
Ci-dessous le schéma explicatif.



CALCUL DES EFFORTS DUS AU SEISME Horizontale
dans les portiques

1. Portiques transversaux :

Portique 33. : Efforts horizontaux.
en (t).

Moments à la base et
en tête des Poteaux.

Niv.	F_H	$F_1 = F_4$	$F_2 = F_3$
II	5,05	1,22	1,40
I	7,63	1,69	2,12

Niv.	$F_1 = F_4$	$F_2 = F_3$	αh	$(\alpha-1)h$	Moments. (t.m)			
					Pot. 1 ou 4	Pot. 2 ou 3	Tête	base
II	1,22	1,4	2,08	1,12	2,53	1,36	2,91	1,56
I	1,4	2,12	1,98	1,28	2,17	3,36	2,71	4,2

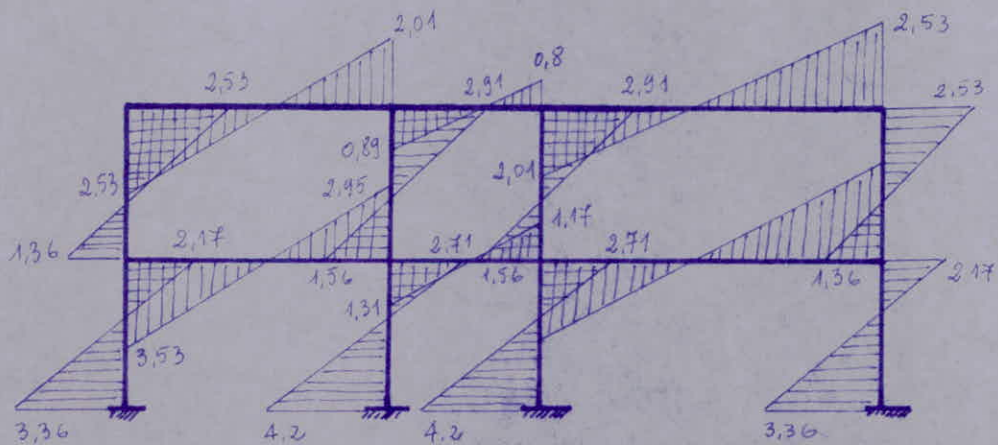
Moments dans les poutres :

Niv.	Noeud	$\frac{Kg}{Kg + Kd}$	$\frac{Kd}{Kg + Kd}$	M_i	M_s	M_g	M_d
II	1.		1	2,53			2,53
	2.	0,692	0,307	2,91		2,01	0,89
	3.	0,275	0,724	2,91		0,8	2,1
	4.	1		2,53		2,53	
I	5.		1	2,17	1,36		3,53
	6.	0,692	0,307	2,71	1,56	2,95	1,31
	7.	0,275	0,724	2,71	1,56	1,17	3,09
	8.	1		2,17	1,36	3,53	

Efforts tranchants dans les poutres :

Niv	travée	$M_w (t.m)$	$M_e (t.m)$	$T_{sch} (t)$	$M_b (t.m)$	$l_i (m)$
II	1. 2	2,53	2,01	1,56	0,26	2,90
	2. 3	0,89	0,80	1,30	0,04	1,30
	3. 4	2,1	2,53	1,18	-0,21	3,90
I	5. 6	3,53	2,95	2,23	0,29	2,90
	6. 7	1,31	1,17	1,90	0,07	1,30
	7. 8	3,09	3,53	1,69	-0,22	3,90

Diagrammes des moments dûs à \vec{SHT}
Dans le portique - 33 -



*- Portique 5.5.

$$\text{Efforts horizontaux : } F_1 = F_2 = \frac{0.8}{1.6} F_H = 0.5 F_H.$$

*. Moments à la tête et
à la base des poteaux.

		Moments			
		Poteau 1 et 2.			
N	F_H	$F_1 = F_2$	$\alpha \cdot h$	$(\alpha-1)h$	$M_{Tête}$
II	2,11	1,05	2,08	1,12	2,18
I	3,19	1,59	1,92	1,28	2,03
					M_{base}
					1,17
					3,05

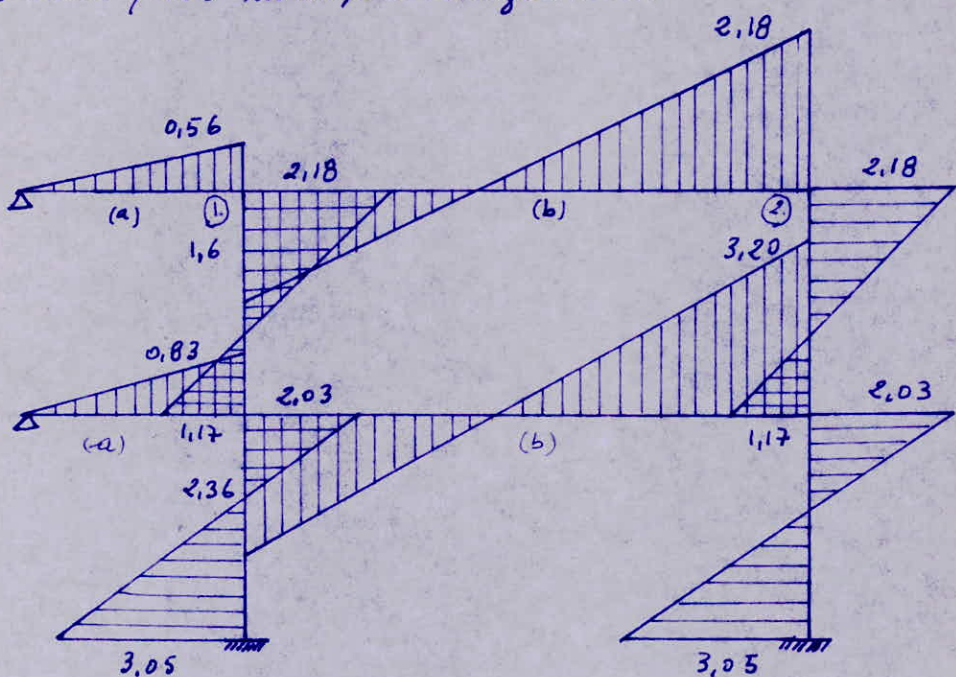
*- Moments des Poutres :

		Moments					
Niveau	Nœud	$\frac{K_d}{K_g + K_d}$	$\frac{K_d}{K_g + K_d}$	M_i	M_s	M_g	M_{sol}
II	1.	0,261	0,738	2,18	/	0,56	1,60
	2.	1.	/	2,18	/	2,18	1,02
I	1.	0,261	0,738	2,03	1,17	0,83	2,36
	2.	1	/	2,03	1,17	3,20	0,63

*- Calcul des efforts tranchants des les portes:
Les résultats sont donnés par le tableau suivant.

niveau	Travers	M_w (t.m)	M_e	T (t)	M_t	l_i (m)
II	a	0	0,56	0,43	-0,28	1,30
	b	1,60	2,18	0,89	-0,29	4,22
I	a	0	0,83	0,63	-0,41	1,30
	b	2,36	3,20	1,31	-0,42	4,22

*- Diagramme des moments dans le portique 5-5
dus aux forces sismiques horizontales.



- PORTIQUES LONGITUDINAUX -

1°/ Portique (I-I) :

Les forces sismiques horizontales revenant aux poteaux pour les deux étages, sont données par les deux formules suivantes :

a/ Poteaux de grille : $F_i = F_7 = \frac{0,8}{6,8} \cdot F_H$

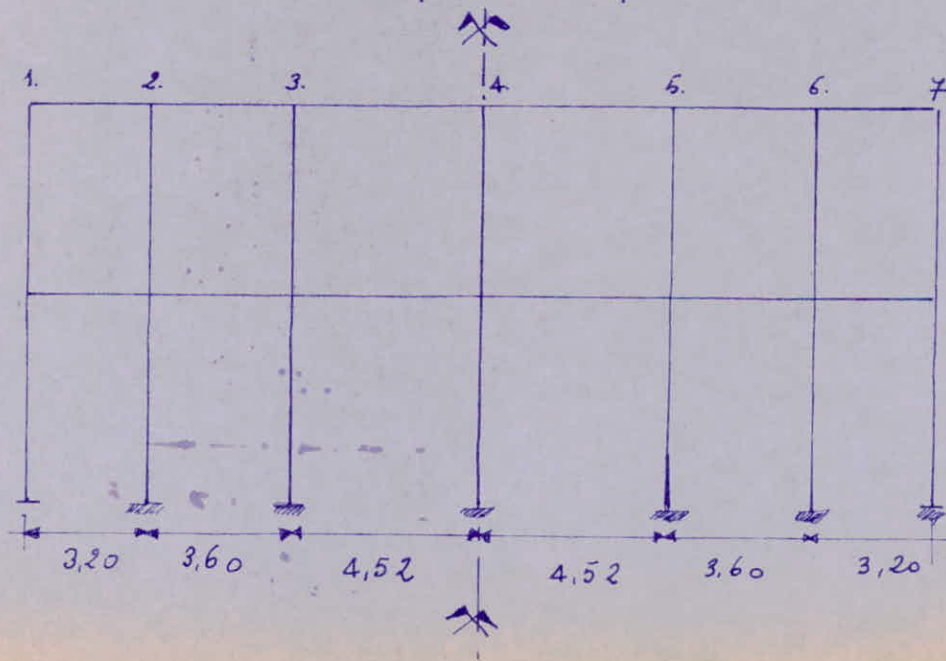
b/ Poteaux intermédiaires : $F_i = \frac{1}{6,8} F_H$ tel que $i \neq 1, 7$.

F_H : force sismique horizontale revenant au portique.

*- Moments à la tête et à la base de chaque poteau :

niveau	F_H (t)	$F_i = F_7$ (t)	F_{int}	$\alpha \cdot h$ (m)	$(\alpha-1) \cdot h$ (m)	moments en valeur absolue			
						Poteaux 1 et 7	Poteaux intér.	$M_tête$ (t.m)	H_{base}
II	8,85	1,04	1,30	2,08	1,12	2,16	1,16	2,7	1,45
I	13,37	1,57	1,96	1,92	1,28	2	3,01	2,50	3,76

Ci-dessous le schéma statique du Portique (I-I.)



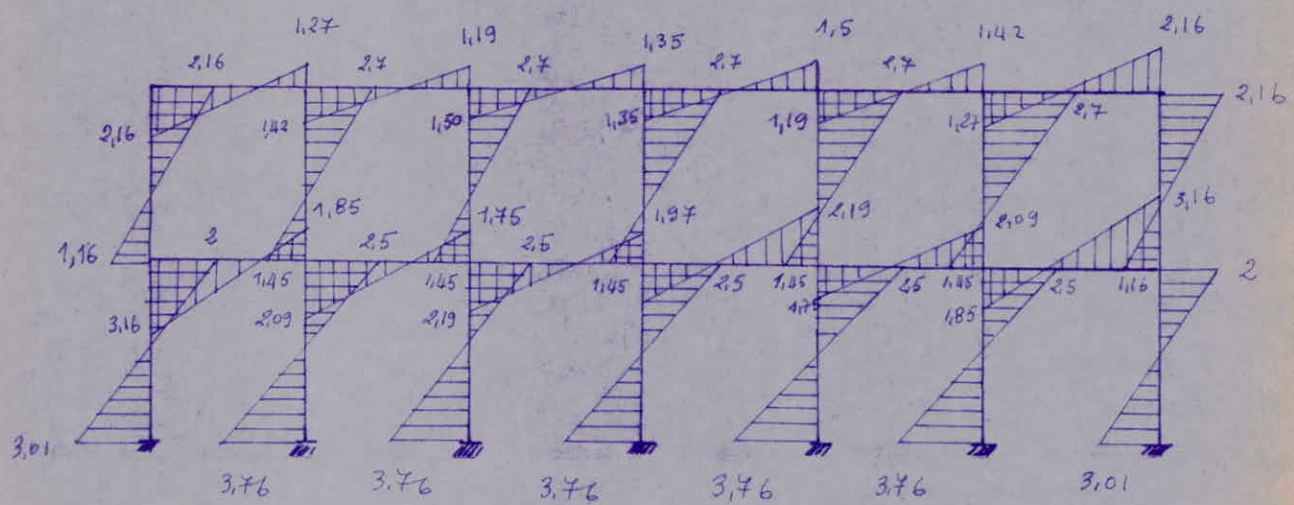
* Calcul des moments dans les poutres :

niveau	nœud	$\frac{k_g}{k_g+k_d}$	$\frac{k_d}{k_g+k_d}$	M_i	M_s	M_g	M_d
II	1.	—	1	2,16	—	—	2,16
	2.	0,470	0,529	2,70	—	1,27	1,42
	3.	0,443	0,556	2,70	—	1,19	1,50
	4.	0,5	0,5	2,70	—	1,35	1,35
	5.	0,556	0,443	2,70	—	1,42	1,27
	6.	0,529	0,470	2,70	—	1,42	1,27
	7.	1	—	2,16	—	2,16	—
I	1.	—	1	2,00	1,16	—	3,16
	2.	0,470	0,529	2,50	1,45	1,85	2,09
	3.	0,443	0,556	2,50	1,45	1,75	2,19
	4.	0,50	0,50	2,50	1,45	1,97	1,94
	5.	0,556	0,443	2,50	1,45	2,19	1,75
	6.	0,529	0,470	2,50	1,45	2,09	1,85
	7.	1	—	2,00	1,16	3,16	—

*- Calcul des efforts Tranchants et moments au tracés :

niveau	travée	M_w	H_e	T	H_E	l_i (m)
II	1-2	2,16	1,27	1,18	0,44	2,90
	2-3	1,42	1,19	0,79	0,11	3,30
	3-4	1,50	1,35	0,675	0,32	4,22
	4-5	1,35	1,50	0,675	-0,32	4,22
	5-6	1,19	1,42	0,79	-0,11	3,30
	6-7	1,27	2,16	1,18	-0,44	2,90
I	1-2	3,16	1,85	1,72	0,15	2,90
	2-3	2,09	1,75	1,16	0,17	3,30
	3-4	2,19	1,97	0,98	0,11	4,22
	4-5	1,97	2,19	0,98	-0,11	4,22
	5-6	1,75	2,09	1,16	-0,17	3,30
	6-7	1,85	3,19	1,72	-0,65	2,90

*- Diagramme des moments dans le portique:



PORTIQUE LONGITUDINAL (III - III)

*.- Poteaux de rive : $F_1 = F_8 = \frac{0,8}{7,6} \cdot F_H$

*.- Poteaux intermédiaires : $F_{int} = \frac{F_H}{7,6}$ telle que F_H , Force sismique horizontale revenant au portique (III - III).

*.- Moments en tôle et à la base des poteaux :

	Moments en valeur absolue				Poteaux 1,8		Poteaux tub.		
	Poteau 1	Poteau 2	Tôle	base	Tôle	base	Tôle	base	
II	7,51	0,79	0,98	2,08	1,12	1,64	0,88	2,03	1,09
I	11,34	1,19	1,49	1,92	1,28	1,52	2,28	1,90	2,86

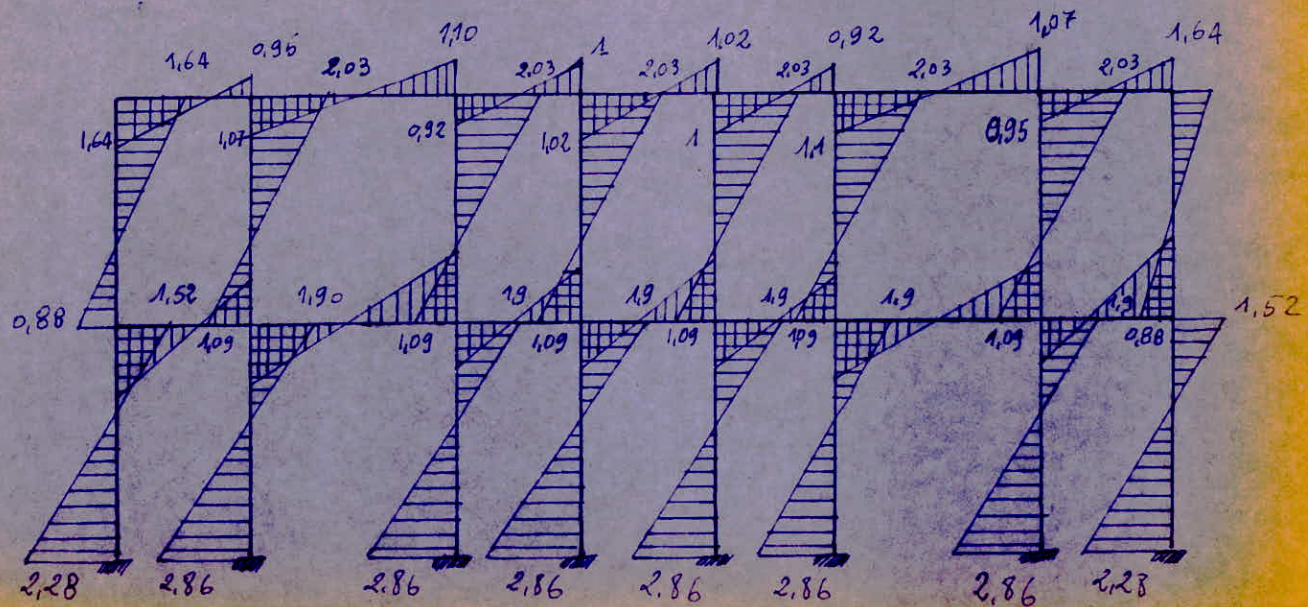
*.- Calcul des moments dans les poutres :

niveau hauteur	$\frac{Kg}{Kg + Kd}$	$\frac{Kd}{Kg + Kd}$	M _C	M _S	H _G	H _d (t. m.)
1.	—	1	1,64	—	—	1,64
2.	0,470	0,529	2,03	—	0,95	1,02
3.	0,545	0,454	2,03	—	0,92	1,10
4.	0,495	0,504	2,03	—	1	1,02
5.	0,504	0,495	2,03	—	1,02	1
6.	0,454	0,545	2,03	—	0,92	1,10
7.	0,529	0,470	2,03	—	1,07	0,95
8.	1	—	1,64	—	1,64	—
I.	—	1	1,52	0,88	—	2,4
2.	0,470	0,529	1,90	1,09	1,40	1,58
3.	0,545	0,454	1,90	1,09	1,63	1,35
4.	0,495	0,504	1,90	1,09	1,48	1,50
5.	0,504	0,495	1,90	1,09	1,50	1,48
6.	0,454	0,545	1,90	1,09	1,35	1,63
7.	0,529	0,470	1,90	1,09	1,58	1,40
8.	1	—	1,52	0,88	2,4	—

*- Calcul des efforts tranchants et moments en travées:

niveau	Travée	Mw	Mc	T	Mt	Li
II	1-2	1,64	0,95	0,89	0,34	2,90
	2-3	1,07	1,10	0,65	-0,10	3,30
	3-4	0,92	1	0,71	-0,04	2,70
	4-5	1,02	1,02	0,74	0	2,75
	5-6	1	0,92	0,71	0,04	2,70
	6-7	1,10	1,07	0,65	0,01	3,30
	7-8	0,95	1,64	0,89	-0,34	2,90
I	1-2	2,40	1,40	1,31	0,5	2,90
	2-3	1,58	1,63	0,97	-0,02	3,30
	3-4	1,35	1,48	1,04	-0,06	2,70
	4-5	1,50	1,50	1,09	0	2,75
	5-6	1,48	1,35	1,04	0,06	2,70
	6-7	1,63	1,58	0,97	0,02	3,30
	7-8	1,40	2,40	1,31	-0,50	2,90

*- Diagramme des moments dans le portique: III-III-



DÉTERMINATION DES CHARGES ET SURCHARGES VERTICALES.

On prend 4 portiques les plus sollicités dont 2 porteurs (Portiques 3-3 et 5-5) et 2 non porteurs (I-I et IV-IV)

A₁: Portique transversal 3-3 : NIVEAU II

Chargés permanents . G :

*/ Plancher + Poids propre des poutres:

$$526 \cdot \frac{4,52+3,6}{2} \left(1 - \frac{0,65}{4,20}\right) + 262,5 = 2067,5 \text{ kg/ml} \rightarrow g_1$$

$$526 \cdot \frac{3,0+3,6}{2} \left(1 - \frac{2 \cdot 0,65}{5,20}\right) + 262,5 = 1564,35 \text{ kg/ml} \rightarrow g_2$$

*/ Surcharges:

$$100 \cdot \frac{4,52+3,6}{2} \left(1 - \frac{0,65}{4,20}\right) = 343,15 \text{ kg/ml} \rightarrow s_1$$

$$100 \cdot \frac{3,0+3,6}{2} \left(1 - \frac{2 \cdot 0,65}{5,20}\right) = 247,5 \text{ kg/ml} \rightarrow s_2$$

NIVEAU I:

*/ Plancher (486) + P.P. poutres:

$$486 \cdot \frac{4,52+3,6}{2} \left(1 - \frac{0,65}{4,20}\right) + 262,5 = 1930,23 \text{ kg/ml} \rightarrow g_1$$

$$486 \cdot \frac{3,0+3,6}{2} \left(1 - \frac{2 \cdot 0,65}{5,20}\right) + 262,5 = 1465,35 \text{ kg/ml} \rightarrow g_2$$

*/ Surcharges:

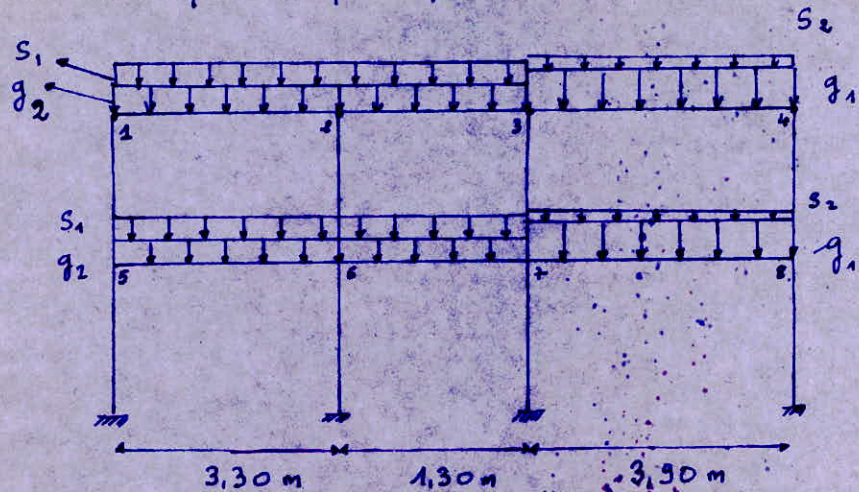
$$175 \cdot 3,431 = 600,51 \text{ kg/ml} \rightarrow s_1$$

$$175 \cdot 2,475 = 433,12 \text{ kg/ml} \rightarrow s_2$$

Récapitulation

N.I.V.	$-g_1$ (kg/ml)	g_2	s_1	s_2	$q_1 = g_1 + 1,25$	$q_2 = g_2 + 1,25$
II	2,067	1,564	0,343	0,247	2,478	1,860
I	1,930	1,465	0,600	0,433	2,650	1,984

Schéma statique du portique 3-3

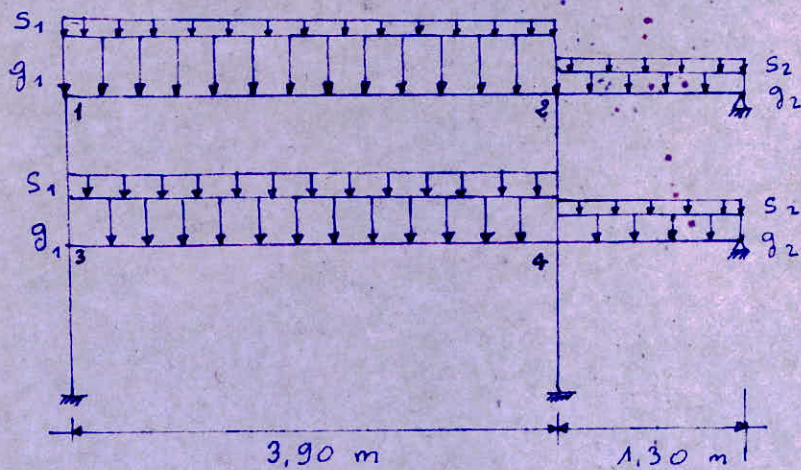


A_2 : Portique transversal (5-5)

Tableau récapitulatif :

NIV.	g_1 (t/m ²)	g_2	s_1	s_2	$q_1 = g_1 + 1,2s_1$	$q_2 = g_2 + 1,2s_2$
II	2,272	0,738	0,382	0,09	2,730	0,846
I	2,12	0,702	0,668	0,158	2,921	0,891

Schéma statique du Portique (5-5).



PORTIQUES LONGITUDINAUX

(Non porteurs)

B₁: Portique I-I

Pour raison de symétrie, on calculera les charges et surcharges sur le 1/2 Portique.

*/ Niveau II :

- Charges permanents (Plancher + P.P. des poutres).

$$526 \cdot \frac{0,65}{2} + 262,5 = 433,45 \text{ kg/ml.}$$

- Acrotère (150 kg/ml)

donc alors la charge permanente $g = 583,45 \text{ kg/ml}$

- Surcharges (100 kg/m²)

$$100 \cdot \frac{0,65}{2} = 32,5 \text{ kg/ml.}$$

*/ Niveau I :

- Plancher : $486 \cdot \frac{0,6}{5} = 157,95 \text{ kg/ml}$

- Poutres : 262,5 kg/ml

- Mur : $210 \cdot 2,85 = 598,5 \text{ kg/ml}$

- Surcharges :

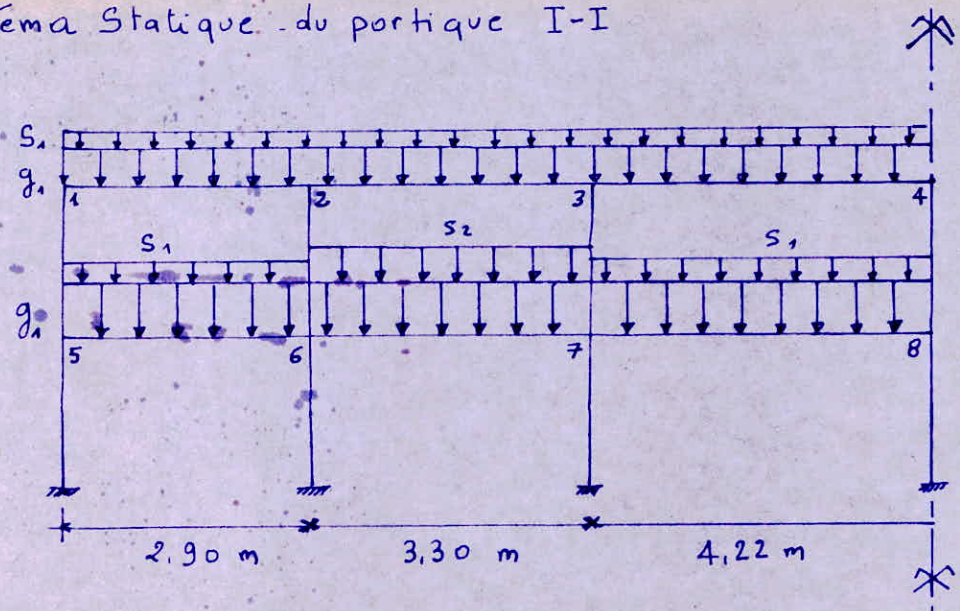
$$S_1 = 175 \cdot \frac{0,65}{2} = 56,875 \text{ kg/ml} \rightarrow \text{Sur travées 1,2 et 3,4.}$$

$$S_2 = 350 \cdot \frac{0,65}{2} = 113,75 \text{ kg/ml} \rightarrow \text{sur travée (2,3)}$$

- Tableau récapitulatif :

Niv	g_1 /ml	g_2	S_1	S_2	$q_1 = g_1 + 1,25_1$	$q_2 = g_2 + 1,25_2$
II	0,583		0,032		0,621	
I	1,019		0,056	0,113	1,086	1,154

Schéma Statique du portique I-I



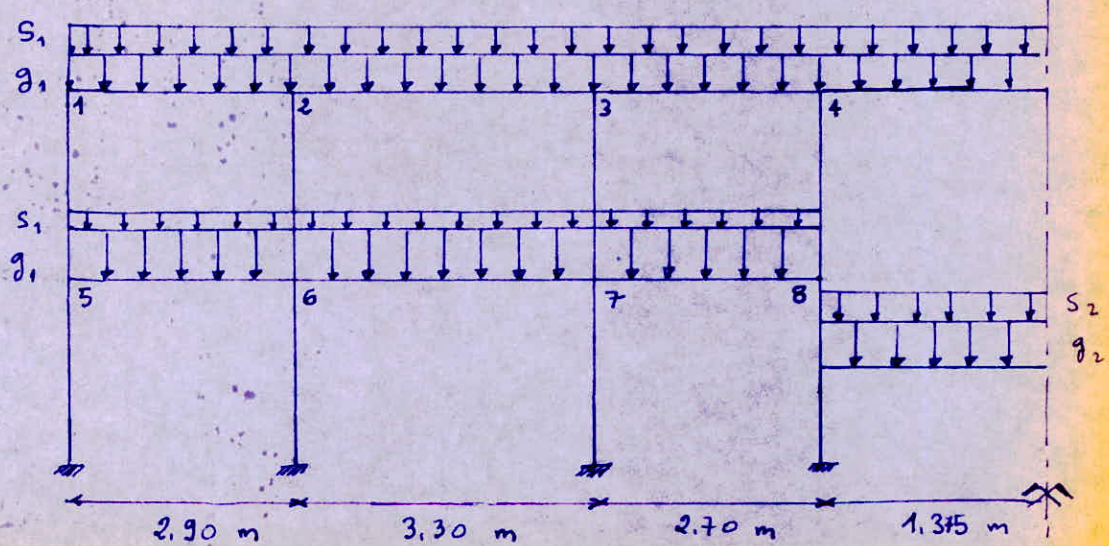
B₂ - Portique IV-IV.

Pour raison de symétrie, nous prendrons la moitié du portique.

Soit le tableau suivant :

Niv	g_1 (t/ml)	$-g_2$	s_1	s_2	$q_1 = g_1 + 1,2s_1$	$q_2 = g_2 + 1,2s_2$
II	0,583		0,0325		0,973	
I	1,281	2,876	0,056	1,752	1,348	4,978

Schéma statique du portique IV-IV



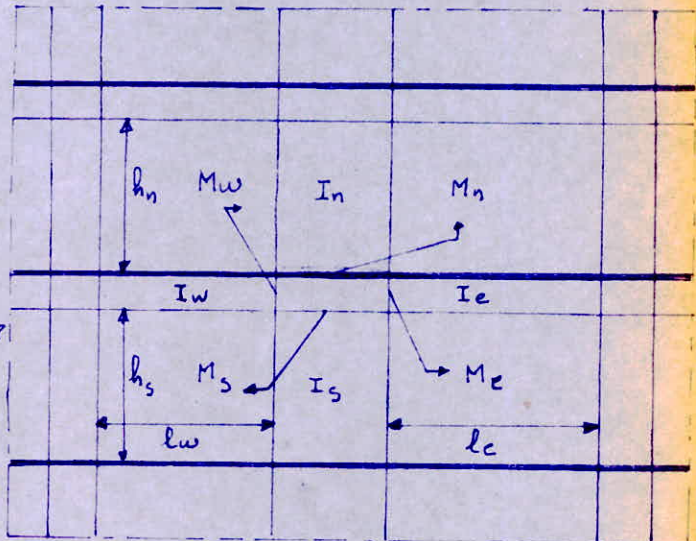
- FORCES VERTICALES -

MÉTHODE DE M^E CAQUOT :

Introduction :

Le calcul des Portiques sous les charges verticales sera fait avec la méthode de M^E Caquot exposée en annexe 4 du C.C.B.A.68.

Cette méthode s'applique généralement à des éléments de Planchers constitués de nervures et de poutres associées à des hourdis (notre cas).



- EXPOSÉ DE LA MÉTHODE :

Les moments de continuité agissant dans les sections des nus d'un appui considérées comme sections dangereuses, sur les poutres qui se rencontrent en formant un noeud, peuvent être calculés en tenant compte que des charges des travées encadrant l'appui considéré (Travée gauche indice w et celle de droite indice e) et de la résistance offerte par les tronçons inférieur (indice s), et supérieur (indice n) des poteaux aboutissant à ce noeud.

* / On considère des hauteurs fictives des poteaux :-

- $h'_n = 0,9 h_n$: si le noeud considéré appartient à l'avant dernier plancher.
- $h'_n = 0,8 h_n$: Pour les autres cas.
- $h'_s = 0,8 h_s$: (Sauf quand les poteaux sont articulés en leur base)

en valeurs absolues.

des moments dans les actions dangereuses (nous avons) sont
remarqués:

$$D = K_w + K_e + K_n.$$

$$*/ \text{équation: } K_w = \frac{q_w}{I_w} ; K_e = \frac{q_e}{I_e} ; K_n = \frac{q_n}{I_n}$$

et des portées supérieures. (entourant le nœud).

de la traverse quinze, de la traverse droite, du portement inférieur,

- I_w, I_e, I_s, I_n : élant respectivement des moments d'inertie

pour une échelle fonctionnelle.

- Tels que K_w et K_e nous donnent en fonction de q_w et q_e

8,5

$$M_e = \frac{q_e \cdot I_e}{8,5} + q_e \cdot I_e \cdot K_e \cdot D_e$$

$$8,5 \\ M_w = \frac{q_w \cdot I_w}{8,5} + q_w \cdot I_w \cdot K_w \cdot Q_w$$

*/ En pose:

la traverse de droite).

une distance a_w du nu de l'appui (Q_e), acroupi pour

Q_w : Charge concentrée appliquée sur la traverse de quinze sur

(supercellule: q_e sur celle de droite).

q_w : Charge uniformément répartie sur la traverse quinze,

*/ Soient:

$$- I_e = 0,8 I_w$$

avec I_w , le moment des fibres de la traverse.

$$- I_w = 0,8 I_w$$

*/ On considère de même des TRAVEES FICTIVES:

- Au niveau de l'appui dans la travée de gauche :

$$M_w = M'_w \left(1 - \frac{K_w}{D}\right) + M_e \cdot \frac{K_w}{D}$$

- Au niveau de l'appui dans la travée de droite :

$$M_e = M'_e \left(1 - \frac{K_e}{D}\right) + M'_w \cdot \frac{K_e}{D}$$

- Au niveau inférieur des poutres dans le poteau inférieur :

$$M_s = \frac{K_s}{D} (M'_e - M'_w)$$

- Au niveau supérieur des poutres dans le poteau supérieur :

$$M_n = \frac{K_n}{D} (M'_e - M'_w)$$

- Remarque :

Pour les traverses (Poutres) les moments M_e et M_w sont négatifs ; pour les poteaux, la face tendue du tronçon supérieur est du côté correspondant à la plus grande des 2 valeurs absolues M'_e ou M'_w , la face tendue du tronçon inférieur est du côté opposé.

* / TRAVÉE DE RIVE :

- Travée de rive avec console. l_{w_1}

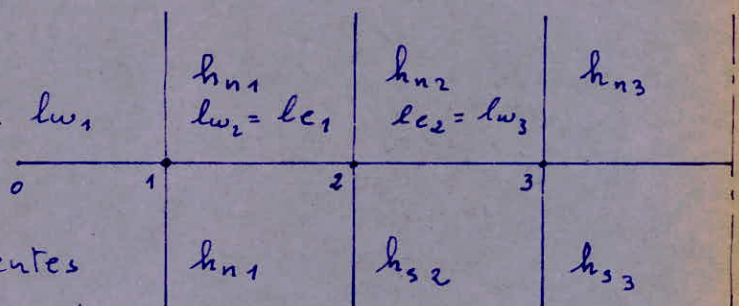
En faisant $K_w = 0$

dans les formules précédentes

et on y substitue M_{w_1} à M_w

tel que M_{w_1} désigne la valeur absolue du moment statique de la console au niveau de l'appui N° 1.

On suppose que la valeur algébrique de M_{w_1} est négative, c'est à dire, conventionnellement, que la face supérieure de la console est tendue au raccordage de l'appui, dans le cas contraire, on changera les signes devant la valeur absolue de M_{w_1} introduite dans les



formules, on a donc :

- $M_{e_1} = M'_e \left(1 - \frac{K_{e_1}}{D_1}\right) + M_{w_1} \cdot \frac{K_{e_1}}{D_1}$.
- $M_{s_1} = (M'_e - M_{w_1}) \cdot \frac{K_{s_1}}{D_1}$.
- $M_{n_1} = (M'_e - M_{w_1}) \frac{K_{n_1}}{D_1}$.

avec : $M'_e = \left(\frac{q_e l_e'^2}{8,5} \right)_{\text{nœud } 1} + \left(l_e' \sum K_e \cdot Q_e \right)_{\text{nœud } 1}$

$$D_1 = K_{e_1} + K_{s_1} + K_{n_1}$$

$$K_{e_1} = \frac{I_{e_1}}{l_{e_1}'} ; \quad K_{s_1} = \frac{I_{s_1}}{l_{s_1}'} ; \quad K_{n_1} = \frac{I_{n_1}}{l_{n_1}'}$$

* / NŒUD VOISIN DU NŒUD DE RIVE (2) :

La longueur l_{w_2} de la travée fictive de rive est prise égale à $\chi_1 l_{w_2}$ / χ_1 : étant un coefficient compris entre 0,8 et 1.

On prend : $\chi_1 = 0,8$ si $K_{s_1} + K_{n_1} \geq 1,5 K_{e_1}$.

$$\chi_1 = 1 - \frac{K_{s_1} + K_{n_1}}{7,5 K_{e_1}} \quad \text{si } K_{s_1} + K_{n_1} < 1,5 K_{e_1}.$$

La longueur l_{e_2} de la travée fictive à droite de l'appui N° 2, si elle n'est pas une travée de rive, est prise égale à 0,8 l_{e_2} ; dans le cas contraire, le nœud N° 3 est un nœud de rive, et la longueur l_{e_2} de la travée fictive de droite est prise égale à $\chi_3 \cdot l_{e_2}$ avec :

$$\chi_3 = 0,8 \quad \text{Pour } K_{s_3} + K_{n_3} \geq 1,5 K_{w_3}$$

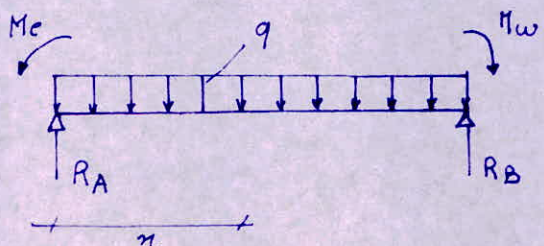
$$\chi_3 = 1 - \frac{K_{s_3} + K_{n_3}}{7,5 K_{w_3}} \quad \text{Pour } K_{s_3} + K_{n_3} < 1,5 K_{w_3}$$

Ensuite dans les formules données pour travée intermédiaire

on remplace M_w par : $M'_w - \frac{1}{2,125} \cdot \frac{K_{e_1}}{D_1} \cdot M_{w_1}$; avec :

B - EFFORTS TRANCHANTS DES POUTRES.

Ils sont calculés en considérant la travée moté pendante et en faisant état des moments de continuité et de la charge qui lui est appliquée.



$$R_A = \frac{M_e - M_w}{l} + \frac{q \cdot l}{2}$$

$$\rightarrow x=0; T = \frac{q \cdot l}{2} + \frac{M_e - M_w}{l}$$

$$\text{on a } T_x = R_A - q \cdot x = \frac{q \cdot l}{2} + \frac{M_e - M_w}{l} - q \cdot x$$

$$\left. \begin{array}{l} x=l; T = -\frac{q \cdot l}{2} + \frac{M_e - M_w}{l} \end{array} \right.$$

$$M'_{\omega_2} = \left(\frac{-q_w l'^2}{8,5} \right) + \left(l'w \sum_{\text{nœud } 2} K_w \cdot Q_w \right)$$

$$\text{et } D = K_e + K_{s_1} + K_{n_1}$$

* / EFFORTS TRANCHANTS DES POTEAUX :

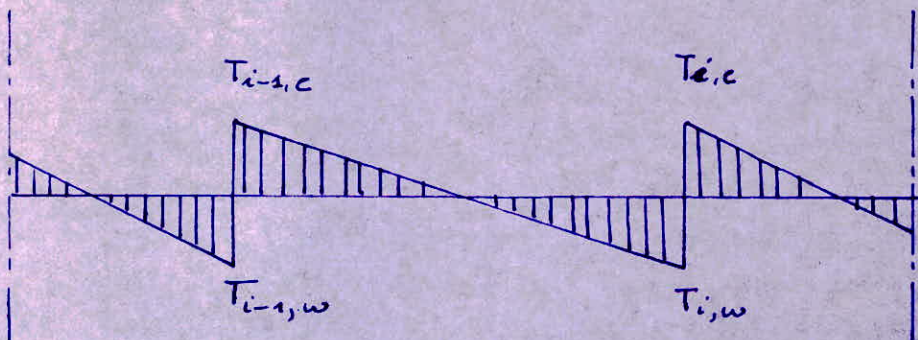
EFFORTS NORMAUX DES POUTRES :

Par simplification, on ne fait pas état dans le calcul, des efforts tranchants dans les poteaux, ni des efforts normaux dans les poutres.

A- EFFORTS NORMAUX DES POTEAUX.

Ils sont engendrés par les efforts tranchants dans les poutres et sont déterminés à partir de ceux-ci.

Ainsi pour les charges verticales uniformément réparties, on a les efforts tranchants schématisés sur le diagramme ci-dessous :



Les réactions développées dans les appuis ($i-1$) et i donnent des efforts normaux de compression dans le poteau dont les valeurs sont :

- $N_{i-1} = T_{i-1,c} - T_{i-1,w}$. tels que $T_{i-1,c}, T_{i-1,w}, T_{i,c}, T_{i,w}$ en valeurs absolues.
- $N_i = T_{i,c} - T_{i,w}$.

CALCUL DES MOMENTS SOUS LES
CHARGES VERTICALES DANS LES PORTIQUES

Nous prendrons les quatre portiques suivants (les plus défavorables) : portiques transversaux porteurs (3-3 et 5-5), portiques longitudinaux non porteurs (I-I et IV-IV).

A₁ : Portique Transversal (3-3) :

a/ Caractéristiques géométriques :

Soit le tableau suivant :

	Nœud	1	2	3	4	5	6	7	8
en (m)	l_w		3,30	1,30	3,90		3,3	1,3	3,90
	l_e	3,30	1,30	3,90		3,30	1,30	3,90	
	h_n					2,85	2,85	2,85	2,85
	h_s	2,85	2,85	2,85	2,85	2,85	2,85	2,85	2,85
10^{-4} (m^4)	I_w		10,71	10,71	10,71		10,71	10,71	10,71
	I_c	10,71	10,71	10,71		10,71	10,71	10,71	
	I_n					6,75	6,75	6,75	6,75
	I_s	6,75	6,75	6,75	6,75	6,75	6,75	6,75	6,75
en (m)	l'_w		3,02	1,04	3,12		2,69	1,04	3,12
	l'_e	2,64	1,04	3,45		2,64	1,04	3,12	
	h'_n					2,56	2,56	2,56	2,56
	h'_s	2,28	2,28	2,28	2,28	2,28	2,28	2,28	2,28
(10^{-4}) (m^4)	K_w		3,46	6,49	3,43		3,98	10,29	3,43
	K_e	4,05	10,29	3,45		4,05	10,29	3,43	
	K_n					2,63	2,63	2,63	2,63
	K_s	2,96	2,96	2,96	2,96	2,96	2,96	2,96	2,96
	D	7,01	16,71	12,9	6,39	9,65	19,86	19,31	9,02

b/ Calcul des moments sous G : (charges permanentes)

Voici le tableau suivant :

Niveau	Noeud	$q_w^{(t)}$	$q_e^{(t)}$	M'_w	M'_c	M_w	M_c	M_n	M_s	
II	1	/	1,564	/	1,28	/	0,538	/	0,538	
	2	1,564	1,564	1,756	0,2	0,973	0,616	/	0,275	
	3	1,564	2,067	0,2	2,894	1,555	2,173	/	0,618	
	4	2,067	/	2,367	/	1,096	/	/	1,096	
I	5	/	1,465	/	1,2	/	0,695	0,327	0,367	
	6	1,465	1,465	1,247	0,186	1,033	0,735	0,14	0,158	
	7	1,465	1,93	0,213	2,21	1,277	1,855	0,271	0,306	
	8	1,93	/	2,21	/	1,369	/	0,644	0,725	

c/ Calcul des moments sous P (surcharges).

Niveau	Noeud	$q_w^{(t)}$	$q_e^{(t)}$	M'_w (t.m)	M'_c	M_w	M_c	M_n	M_s
II	1.	/	0,247	/	0,202	/	0,085	/	0,085
	2.	0,247	0,247	0,36	0,031	0,298	0,238	/	0,06
	3.	0,247	0,343	0,031	0,480	0,256	0,35	/	0,103
	4.	0,343	/	0,392	/	0,197	/	/	0,181
I	5.	/	0,433	/	0,354	/	0,205	0,096	0,108
	6.	0,433	0,433	0,368	0,055	0,305	0,217	0,041	0,046
	7.	0,433	0,6	0,055	0,687	0,391	0,574	0,086	0,096
	8.	0,6	/	0,687	/	0,425	/	0,2	0,225

d/ Calcul des moments sous $S_{1,V}$ (seisme vertical)

épaisseur	noeud	$q_w^{(t)}$	$q_e^{(t)}$	M'_w (t.m)	H'_e	H_w	H_e	H_n	H_s
II.	1.	/	0,556	/	0,415	/	0,192	/	0,192
	2.	0,556	0,556	0,81	0,071	0,672	0,537	/	0,135
	3.	0,556	0,556	0,071	0,773	0,424	0,585	/	0,161
	4.	0,556	/	0,636	/	0,294	/	/	0,294
I.	5.	/	0,94	/	0,688	/	0,399	0,187	0,211
	6.	0,84	0,84	0,715	0,106	0,592	0,424	0,080	0,090
	7.	0,84	0,84	0,106	0,962	0,562	0,809	0,116	0,131
	8	0,84	/	0,962	/	0,596	/	0,280	0,315

e/ Calcul des efforts tranchants sous G :

étage	tronée	l_i (m)	$q_e^{(t)}$	M_w (t.m)	H_e (t.m)	$T_{x=0}$ (t)	$T_{x=l}$
II	1-2	3,30	1,564	0,538	1,433	2,309	-2,851
	2-3	1,30	1,564	1,150	1,555	0,711	-1,322
	3-4	3,90	2,067	2,173	1,096	4,306	-3,754
I	5-6	3,30	1,465	0,695	1,033	2,314	-2,520
	6-7	1,30	1,465	0,735	1,92	0,040	-1,863
	7-8	3,90	1,93	1,33	1,418	3,740	-3,786

f/ Calcul des effets tranchants sous P (surcharges).

niveau	travée	l_i (m)	$q(t)_{fl}$	H_w (t.m)	H_e (t.m)	$T_{x=0}$ (t)	$T_{x=l}$ (t)
II	1-2	3,30	0,247	0,085	0,298	0,343	-0,472
	2-3	1,30	0,247	0,238	0,22	0,174	-0,146
	3-4	3,90	0,343	0,38	0,181	0,719	-0,617
I	5-6	3,30	0,343	0,205	0,305	0,684	-0,744
	6-7	1,30	0,433	0,217	0,07	0,394	-0,169
	7-8	3,90	0,6	0,711	0,441	1,075	-1,264

g/ Calcul des effets tranchants sous $S_{1,v} +$ (seisme verticale)

niveau	travée	l_i (m)	$q(t)_{fl}$	H_w (t.m)	H_e (t.m)	$T_{x=0}$ (t)	$T_{x=l}$ (t)
II	1-2	3,30	0,556	0,192	0,672	0,762	-1,052
	2-3	1,30	0,556	0,537	0,424	0,448	-0,274
	3-4	3,90	0,556	0,585	0,294	1,158	-1,009
I	5-6	3,30	0,84	0,399	0,592	1,327	-1,444
	6-7	1,30	0,84	0,421	0,128	0,771	-0,320
	7-8	3,90	0,84	0,120	0,616	1,195	-2,090

A₂ - PORTIQUE TRANSVERSAL (5-5).

a/ Caractéristiques géométriques :

	Nœud	1	2.	3.	4.
en (m)	l_w	—	3,9	—	3,9
	l_e	3,9	1,3	3,9	1,3
	h_n	—	—	2,85	2,85
	h_s	2,85	2,85	2,85	2,85
10^{-4} (m^4)	I_w	—	10,71	—	10,71
	I_e	10,71	10,71	10,71	10,71
	I_n	—	—	6,75	6,75
	I_s	6,75	6,75	6,75	6,75
en (m)	$l'w$	—	3,45	—	3,45
	$l'e$	3,12	1,04	3,12	1,04
	h'_n	—	—	2,56	2,56
	h'_s	2,28	2,28	2,28	2,28
10^{-4} (m^4)	k_w	—	3,10	—	3,10
	k_e	3,43	10,29	3,43	10,29
	k_n	—	—	2,63	2,63
	k_s	2,96	2,96	2,96	2,96
	D	6,39	16,35	9,02	18,98

b/ Calcul des moments mns G (charges permanentes).

niveau	noeud	$q_{w/e}^{(t)}$	$q_{e/e}^{(t)}$	$M'w$ (t.m)	$M'e$	M_w	M_e	M_n	M_s
II	1.	—	2,272	—	0,291	—	0,134	—	0,134
	2.	2,272	0,438	3,18	0,094	2,594	2,03	—	0,558
I	3.	—	2,12	—	2,427	—	1,504	0,707	0,796
	4.	2,12	0,7	2,968	0,089	2,499	1,65	0,398	0,449

c/ Calcul des moments mns P (surcharges)

niveau	noeud	$q_{w/e}^{(t)}$	$q_{e/e}^{(t)}$	$M'w$ (t.m)	$M'e$	M_w	M_e	M_n	M_s
II	1.	—	0,382	—	0,049	—	0,023	—	0,023
	2.	0,382	0,09	0,514	0,001	0,433	0,336	—	0,1
I	3.	—	0,668	—	0,765	—	0,474	0,223	0,251
	4.	0,668	0,158	0,935	0,02	0,785	0,516	0,126	0,142

d/ Calcul des moments mns Siv^t (seisme vertical)

niveau	noeud	$q_{w/e}^{(t)}$	q_w	$M'w$ (t.m)	$M'e$	M_w	M_e	M_n	M_s
II	1.	—	0,578	—	0,661	—	0,306	—	0,306
	2.	0,578	0,578	0,81	0,070	0,67	0,535	—	0,135
I	3.	—	0,173	—	1,000	—	0,62	0,291	0,328
	4.	0,873	0,873	1,222	0,110	1,040	0,712	0,154	0,173

e/ Calcul des efforts tranchants sous G.

niveau	travee	l_i (m)	q t/ml	M_w (t·m)	M_e	$T_{u=0}$ (t)	$T_{u=\ell}$ (t)
II	1-2	3,90	2,272	—	2,594	3,800	- 5,061
	2-3	1,30	0,738	2,03	0	2,041	- 1,081
I	3-4	3,90	2,12	1,504	2,498	3,879	- 4,388
	4-5	1,3	0,7	1,65	0	1,724	+ 0,814

f/ Calcul des efforts tranchants sous P (surcharge).

niveau	travee	l_i (m)	q t/ml	M_w (t·m)	M_e	$T_{u=0}$ (t)	$T_{u=\ell}$ (t)
II	1-2	3,90	0,382	0,023	0,433	0,639	- 0,850
	2-3	1,30	0,09	0,336	0	0,317	- 0,120
I	3-4	3,90	0,668	0,474	0,785	1,222	- 1,382
	4-5	1,30	0,158	0,516	0	0,499	- 0,294

g/ Calcul des efforts tranchants sous $S_{ir^{\downarrow}}$ (passe vertical).

niveau	travee	l_i (m)	q t/ml	M_w (t·m)	M_e	$T_{u=0}$ (t)	$T_{u=\ell}$ (t)
II	1-2	3,90	0,578	0,306	0,67	1,033	- 1,260
	2-3	1,30	0,578	0,535	0	0,787	+ 0,035
I	3-4	3,90	0,173	0,62	1,040	1,594	- 1,810
	4-5	1,30	0,173	0,712	0	1,115	- 0,019

B₁: Portique Longitudinal (I-I) -70-

a/ Caractéristiques géométriques.

Soit le tableau suivant:

	Noeud	1	2	3	4	5	6	7	8
en m	ℓ_w		2,90	3,30	4,22		2,90	3,30	4,22
	ℓ_e	2,90	3,30	4,22	4,22	2,90	3,30	4,22	4,22
	h_n					2,85	2,85	2,85	2,85
	h_s	2,85	2,85	2,85	2,85	2,85	2,85	2,85	2,85
10^{-4} (m ⁴)	I_w		10,71	10,71	10,71		10,71	10,71	10,71
	I_e	10,71	10,71	10,71		10,71	10,71	10,71	10,71
	I_n					6,75	6,75	6,75	6,75
	I_s	6,75	6,75	6,75	6,75	6,75	6,75	6,75	6,75
en m	ℓ'_w		2,36	2,64	3,37		2,43	2,64	3,37
	ℓ'_e	2,32	2,64	3,37	3,37	2,32	3,37	3,37	3,37
	h'_n					2,56	2,56	2,56	2,56
	h'_s	2,28	2,28	2,28	2,28	2,28	2,28	2,28	2,28
10^{-3} m ³	K_w		4,53	4,05	3,17		4,40	4,05	3,17
	K_e	4,61	4,05	3,17	3,17	4,61	4,61	3,17	3,17
	K_n					2,63	2,63	2,63	2,63
	K_s	2,96	2,96	2,96	2,96	2,96	2,96	2,96	2,96
D		7,57	11,54	10,18	9,3	10,2	14,6	12,81	11,93

b/ Moments sous G :

Niveau	Noeud	q_w	q_e	M'_w	M'_e	M_{ew}	M_e	M_n	M_s
II	1		0,583		0,369		0,144		0,144
	2	0,583	0,583	0,382	0,478	0,420	0,444		0,024
	3	0,583	0,583	0,478	0,778	0,597	0,684		0,087
	4	0,583	0,583	0,778	0,778	0,778	0,778		0
I	5		1,02		0,645		0,353	0,166	0,187
	6	1,02	1,02	0,708	0,645	0,680	0,673	0,016	0,018
	7	1,02	1,02	0,836	1,362	1,002	1,231	0,107	0,121
	8	1,02	1,02	1,362	1,362	1,362	1,362	0	0

c/ Moments sous P (surcharges)

Niveau	Noeud	q_w	q_e	M'_w	M'_e	M_w	M_e	M_n	M_s
II	1		0,032		0,020		0,008		0,008
	2	0,032	0,032	0,021	0,026	0,023	0,024		0,001
	3	0,032	0,032	0,026	0,042	0,032	0,037		0,004
	4	0,032	0,032	0,042	0,042	0,042	0,042	0	0
I	5		0,056		0,035		0,020	0,009	0,010
	6	0,056	0,113	0,039	0,07	0,018	0,06	0,006	0,006
	7	0,113	0,056	0,092	0,075	0,086	0,079	0,003	0,004
	8	0,056	0,056	0,075	0,075	0,075	0,075	0	0

1 Moments sous $S_{IV} \downarrow$

Niveau	Noeud	q_w	q_e	M'_w	M'_e	M_w	M_e	M_n	M_s
II	1		0,044		0,027		0,01		0,01
	2	0,044	0,044	0,028	0,035	0,031	0,033		0,0
	3	0,044	0,044	0,035	0,056	0,044	0,051		0,006
	4	0,044	0,044	0,058	0,058	0,058	0,058		0
I	5		0,067		0,042		0,023	0,011	0,012
	6	0,067	0,067	0,046	0,042	0,044	0,043	0	0
	7	0,067	0,067	0,054	0,088	0,065	0,080	0,006	0,007
	8	0,067	0,067	0,088	0,088	0,088	0,088	0	0

e/ Calcul des effets tranchants sous G : (charges permanentes)

niveau	travée	l_i (m)	$q_i t/m$	$M_{W,i}$ (t.m)	M_C	$T_{u=0}$ (t)	$T_{u=\ell}$ (t)
II	1-2	2,90	0,583	0,144	0,420	0,739	-0,950
	2-3	3,30	0,583	0,444	0,597	0,915	-1,008
	3-4	4,22	0,583	0,684	0,778	1,207	-1,252
	4-3'	4,22	0,583	0,778	0,684	1,252	-1,207
I	5-6	2,90	1,020	0,353	0,690	1,366	-1,591
	6-7	3,30	1,020	0,673	1,002	1,583	-1,782
	7-8	4,22	1,020	1,231	1,362	2,121	-2,183
	8-7'	4,22	1,020	1,362	1,231	2,183	-2,121

f/ Calcul des effets tranchants sous P (surecharges).

niveau	travée	l_i (m)	$q_i t/m$	$M_{W,i}$ (t.m)	M_C	$T_{u=0}$ (t)	$T_{u=\ell}$ (t)
II	1-2	2,90	0,032	0,008	0,023	0,041	-0,051
	2-3	3,30	0,032	0,024	0,032	0,050	-0,055
	3-4	4,22	0,032	0,037	0,042	0,066	-0,068
	4-3'	4,22	0,032	0,042	0,037	0,068	-0,066
I	5-6	2,90	0,056	0,020	0,048	0,071	-0,090
	6-7	3,30	0,113	0,060	0,086	0,178	-0,194
	7-8	4,22	0,056	0,079	0,075	0,119	-0,117
	8-7'	4,22	0,056	0,075	0,079	0,117	-0,119

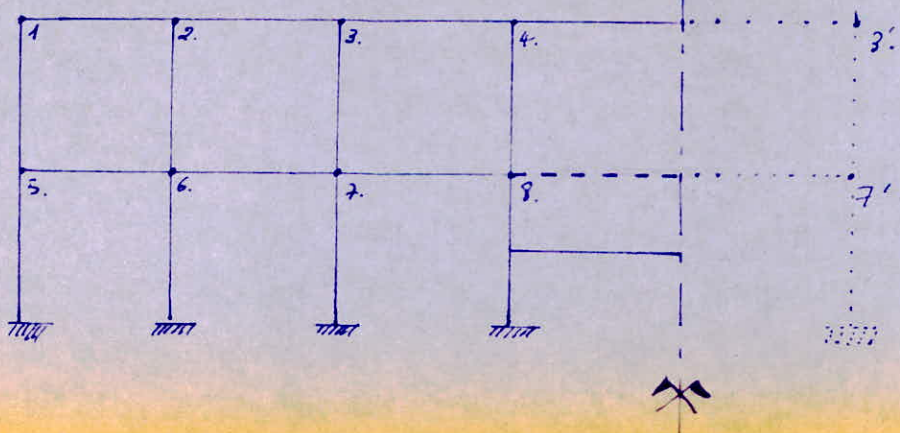
g) Calcul des effets tranchants sur S_{ir} (axe vertical).

niveau	hauteur	l_i (m)	q_{tr}	M_w (kNm)	M_e (kNm)	$T_{u=0}$ (k)	$T_{z=l}$ (k)
II	1-2	2,90	0,044	0,010	0,031	0,056	-0,071
	2-3	3,30	0,044	0,033	0,044	0,069	-0,075
	3-4	4,22	0,044	0,051	0,058	0,091	-0,094
	4-3'	4,22	0,044	0,058	0,051	0,094	-0,091
I	5-6	2,90	0,067	0,023	0,044	0,089	-0,104
	6-7	3,30	0,067	0,043	0,065	0,103	-0,117
	7-8	4,22	0,067	0,080	0,088	0,139	-0,143
	8-7'	4,22	0,067	0,088	0,080	0,143	-0,139

B₂ : PORTIQUE LONGITUDINAL (IV - IV)

Remarque : Pour rendre plus simple le calcul de ce portique, on supposera que la Porte prolixe (qui est au niveau du rez-de-chaussé) se trouve en continuité avec la porte du plancher du 1^{er} étage, de ce fait on se trouve plus en sécurité, puisque le nœud N° 8 sera plus sollicité qu'il était auparavant.

Schéma statique :



a/ Caractéristiques géométriques du portique IV-IV.

noeud	1.	2.	3.	4.	5	6.	7.	8.	
(m)	l_w	—	2,90	3,30	2,70	—	2,90	3,30	2,70
	l_e	2,90	3,30	2,70	2,75	2,90	3,30	2,70	2,75
	h_n	—	—	—	—	2,85	2,85	2,85	2,85
	h_s	2,85	2,85	2,85	2,85	2,85	2,85	2,85	2,85
10^{-4} (m ⁴)	I_w	—	10,71	10,71	10,71	—	10,71	10,71	10,71
	I_e	10,71	10,71	10,71	10,71	10,71	10,71	10,71	10,71
	I_n	—	—	—	—	6,75	6,75	6,75	6,75
	I_s	6,75	6,75	6,75	6,75	6,75	6,75	6,75	6,75
(m)	l'_w	—	2,36	2,64	2,16	—	2,43	2,64	2,16
	l'_e	2,32	2,64	2,16	2,20	2,32	2,64	2,30	2,20
	h'_n	—	—	—	—	2,56	2,56	2,56	2,56
	h'_s	2,28	2,29	2,28	2,28	2,28	2,28	2,28	2,28
10^{-4} (m ³)	k_w	—	4,53	4,05	4,95	—	2,77	4,05	4,95
	k_e	4,61	4,05	4,95	4,86	4,61	4,05	2,93	4,86
	k_n	—	—	—	—	2,63	2,63	2,63	2,63
	k_s	2,96	2,96	2,96	2,96	2,96	2,96	2,96	2,96
	D	7,57	11,54	11,96	12,77	10,2	12,41	12,57	15,4

b/ Calcul des moments sur G (charges permanentes).

Niveau	noeud	$q_w^{4\text{el}}$	q_e	H'_w (t.m)	$H'e$	H_w	H_e	H_n	M_s
II	1.	—	0,583	—	0,369	—	0,144	—	0,144
	2.	0,583	0,583	0,381	0,478	0,419	0,444	—	0,024
	3.	0,583	0,583	0,478	0,319	0,424	0,384	—	0,040
	4.	0,583	0,583	0,319	0,332	0,324	0,327	—	0
I	5.	—	1,02	—	0,645	—	0,354	0,166	0,186
	6.	1,02	1,02	0,707	0,936	0,736	0,793	0,026	0,030
	7.	1,02	1,02	0,836	0,634	0,698	0,787	0,040	0,050
	8.	1,02	1,752	0,559	0,997	0,700	0,858	0,0748	0,084

c/ Calcul des moments sur P (surcharges).

niveau	noeud	$q_w^{4\text{el}}$	q_e	H'_w (t.m)	$H'e$	H_w	H_e	H_n	M_s
II	1.	—	0,032	—	0,02	—	0,008	—	0,008
	2.	0,032	0,032	0,020	0,026	0,022	0,024	—	0,002
	3.	0,032	0,032	0,020	0,017	0,023	0,020	—	0,003
	4.	0,032	0,032	0,017	0,018	0,017	0,018	—	0,001
I	5.	—	0,058	—	0,036	—	0,020	0,010	0,010
	6.	0,058	0,058	0,040	0,047	0,041	0,045	0	0,001
	7.	0,058	0,058	0,047	0,036	0,040	0,044	0	0,004
	8.	0,058	2,876	0,050	2,557	0,856	1,765	0,482	0,428

d/ Calcul des moments sous SIV^b (casme vertical).

niv.	noeud	q_w^{tire}	q_e	H_w (t.m)	$H'e$	H_w	H_c	H_n	H_s
II	1.	—	0,044	—	0,027	—	0,010	—	0,010
	2.	0,044	0,044	0,028	0,036	0,031	0,033	—	0
	3.	0,044	0,044	0,036	0,024	0,031	0,028	—	0
	4.	0,044	0,044	0,024	0,025	0,024	0,024	—	0
I	5.	—	0,067	—	0,042	—	0,023	0,011	0,012
	6.	0,067	0,067	0,046	0,055	0,048	0,052	0,0015	0,0015
	7.	0,067	0,067	0,055	0,041	0,045	0,051	0,003	0,003
	8.	0,067	0,326	0,185	0,036	0,137	0,083	0,025	0,028

e/ Calcul des efforts tranchants sous G.

niveau	travee	l_i (m)	q^{tire}	H_w (t.m)	H_c	$T_{x=0}$ (t)	$T_{x=\ell}$ (t)
II	1-2	2,90	0,583	0,144	0,419	0,75	-0,94
	2-3	3,30	0,583	0,444	0,422	0,968	-0,955
	3-4	2,70	0,583	0,374	0,324	0,805	-0,768
	4-5'	2,75	0,583	0,327	0,374	0,784	-0,818
I	5-6	2,90	1,02	0,354	0,736	1,347	-1,610
	6-7	3,30	1,02	0,493	0,698	1,711	-1,654
	7-8	2,70	1,02	0,488	1,1	1,261	-1,492
	8-7'	2,75	1,752	1,338	0,788	2,609	-2,269

g) Calcul des efforts tranchants sous I° (surcharges).

niveau	travée	l_i (m)	q_{tire}	M_w (t.m)	H_e	$T_{u=0}$ (t)	$T_{u=\epsilon}$ (t)
II	1-2	2,90	0,032	0,008	0,518	-0,129	-0,222
	2-3	3,30	0,032	0,024	0,023	0,053	-0,052
	3-4	2,70	0,032	0,020	0,017	0,044	-0,042
	4-3'	2,75	0,032	0,018	0,020	0,043	-0,044
I	5-6	2,90	0,058	0,020	0,041	0,076	-0,091
	6-7	3,30	0,058	0,045	0,039	0,095	-0,093
	7-8	2,70	0,058	0,044	0,856	-0,922	-0,379
	8-7'	2,75	2,876	1,765	0,044	4,580	-3,328

g) Calcul des efforts tranchants sous Siv^b (seisme vertical).

niveau	travée	l_i (m)	q_{tire}	M_w (t.m)	H_e	$T_{u=0}$ (t)	$T_{u=\epsilon}$
II	1-2	2,90	0,044	0,010	0,031	0,056	-0,071
	2-3	3,30	0,044	0,033	0,031	0,073	-0,072
	3-4	2,70	0,044	0,028	0,024	0,060	-0,058
	4-3'	2,75	0,044	0,024	0,028	0,059	-0,061
I	5-6	2,90	0,067	0,023	0,048	0,088	-0,105
	6-7	3,30	0,067	0,052	0,045	0,112	-0,108
	7-8	2,70	0,067	0,051	0,137	0,058	-0,112
	8-7'	2,75	0,067	0,083	0,051	0,103	-0,080

COMBINAISON DES CHARGES.

On a deux sollicitations à prendre en compte :

* / $G + 1,2 P$ du 1^{er} genre. SP_1 .

* / $G + P + S_I$ du 2^{em} genre. SP_2 .

Les effets sismiques sont supposés mesurés 2 directions :

- Composante horizontale : notée S_{IH}^{\leftrightarrow}

- Composante verticale : notée $S_{IV}^{\uparrow\downarrow}$

Leur sens d'action peut être négatif ou positif. (S_{IH}^{\leftrightarrow} , $S_{IV}^{\uparrow\downarrow}$).

Les sollicitations les plus défavorables sont donc connues sous :

- $G + P + S_{IV}^{\uparrow\downarrow} + S_{IH}^{\leftrightarrow}$

- $G + P + S_{IV}^{\uparrow\downarrow} + S_{IH}^{\leftarrow\rightarrow}$

- $G + P + S_{IV}^{\uparrow\downarrow} + S_{IH}^{\leftrightarrow}$

- $G + P + S_{IV}^{\uparrow\downarrow} + S_{IH}^{\leftarrow\rightarrow}$

- $G + 1,2 P$.

Parmi ces combinaisons, on prendra pour le calcul les 2 premières et la dernière combinaison, puisque la composante $S_{IV}^{\uparrow\downarrow}$ soulage la construction dans le cas de charges verticales.

MOMENTS EN TRAVÉE (Art. A12. C.C.B.A. 68).

Pour déterminer les moments en travée, on trace la courbe des moments de la travée indépendante avec les charges permanentes, puis avec charges permanentes plus les surcharges, on prendra comme ligne de fermeture :

* / Pour les moments positifs celle qui joint les moments d'appuis max en valeur absolue.

* / Pour les moments négatifs celle qui joint les moments d'appuis max en valeur absolue.

* CALCUL DES MOMENTS M_o :

$$- M_o(G + 1,2P) = (q_G + 1,2q_P) \frac{\ell^2}{8}$$

$$- M_o(G + P + S_{iv} \uparrow) = (q_G + q_P + q_{S_{iv}} \uparrow) \frac{\ell^2}{8}$$

* CALCUL DES MOMENTS EN TRAYÉE.

$$- M_t(G + 1,2P) = M_o(G + 1,2P) - \frac{M_g(G) + M_d(G)}{\ell}$$

$$- M_t(G + P + S_{iv} + S_{ih}) = M_o(G + P + S_{iv}) - \frac{M_g(G) + M_d(G)}{\ell} + M_t(S_{ih}).$$

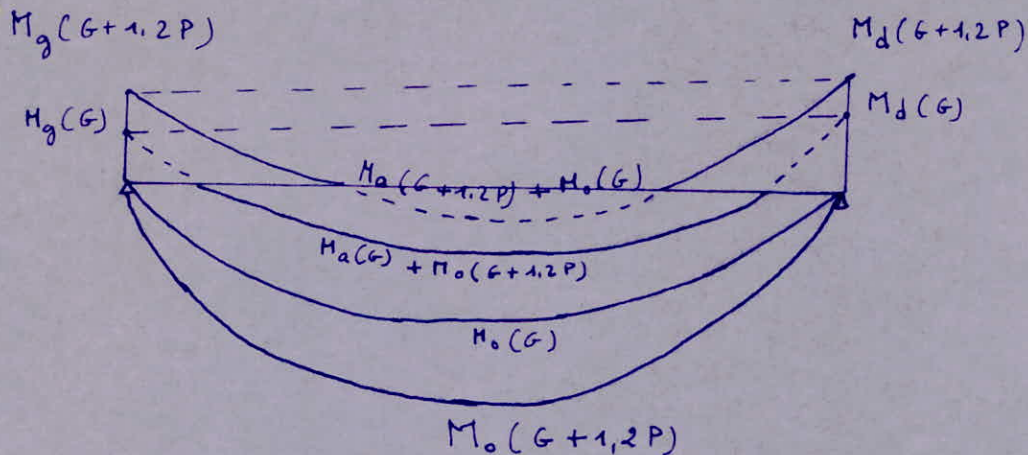
* CALCUL DES MOMENTS SUR APPUI

S_{iv} et S_{ih} peuvent être dans les deux sens \rightleftarrows et $\uparrow\downarrow$.

$$- M_a(G + 1,2P) = M_a(G) + 1,2M_a(P)$$

$$- M_a(G + P + S_{iv} + S_{ih}) = M_a(G) + M_a(P) + M_a(S_{iv}) + M_a(S_{ih}).$$

Ci-dessous un schéma explicatif:



* EFFORTS TRANCHANTS AUX APPUIS

$$- T_a(G + 1,2P) = T_a(G) + 1,2T_a(P)$$

$$- T_a(G + P + S_{iv} + S_{ih}) = T_a(G) + T_a(P) + T_a(S_{iv}) + T_a(S_{ih}).$$

* Calcul des moments sur travée

			G	G + 1,2 P			G + P + S _{iv}			S _{1H} →
N	Travée	l _i (m)	$\frac{M_c + M_w}{2}$	q _Y m ⁻¹	M _o (kNm)	M _t	q _Y m ⁻¹	M _o	M _t	M _t
II	1-2	3,30	0,985	1,860	2,532	1,547	2,367	3,822	2,237	+ 0,26
	2-3	1,30	1,356	1,860	0,392	- 0,964	2,367	0,500	- 0,856	+ 0,04
	3-4	3,90	1,634	2,478	4,711	3,077	2,966	5,640	4,006	- 0,21
I	5-6	3,30	0,864	1,984	2,400	1,836	2,438	3,727	2,863	+ 0,29
	6-7	1,30	0,747	1,984	0,420	- 0,327	2,438	0,578	- 0,469	+ 0,07
	7-8	3,90	1,612	2,650	5,038	3,426	3,370	6,400	4,788	+ 0,02

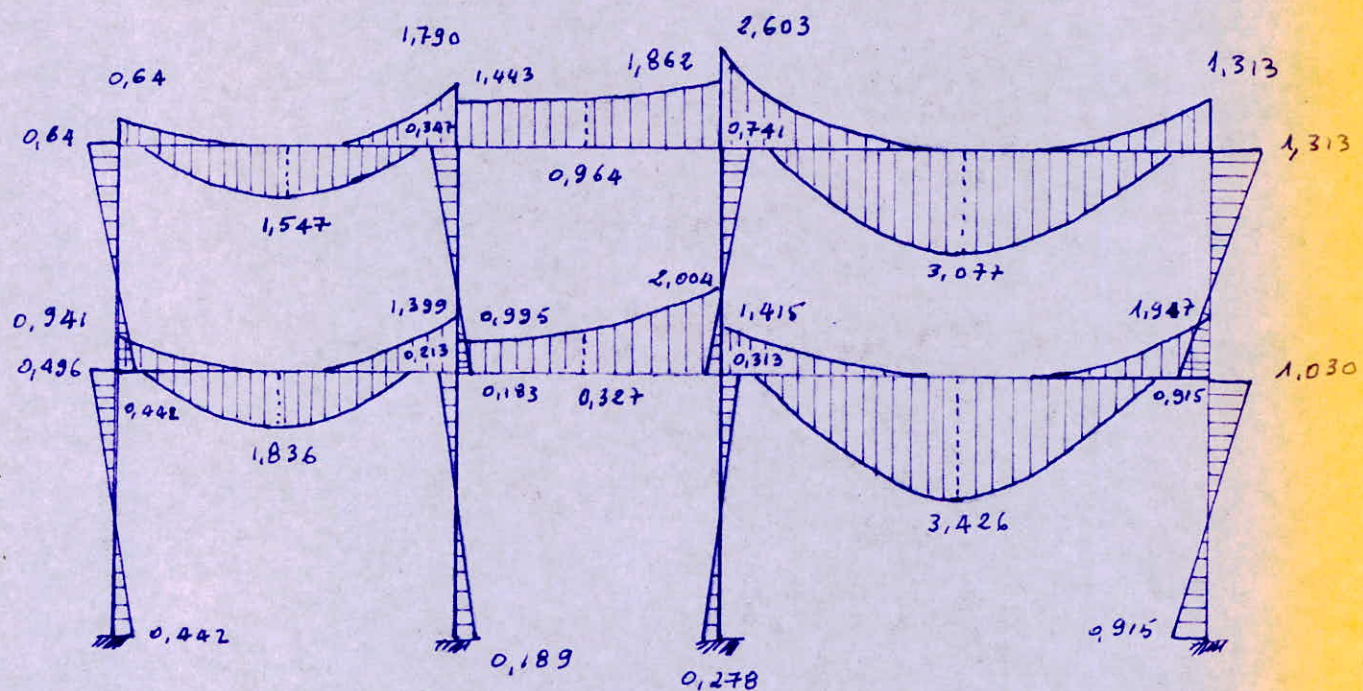
* Calcul des moments dans les portes :

		G		P		S _{iv} ↑		S _{1H} →	
niveau	travée	M _g (-)	M _d (-)	M _g (-)	M _d (-)	M _g (-)	M _d (-)	M _g	M _d
II	1-2	0,538	1,433	0,085	0,298	0,192	0,672	2,53	- 2,01
	2-3	1,158	1,555	0,238	0,256	0,537	0,424	0,89	- 0,8
	3-4	2,143	1,096	0,359	0,181	0,585	0,294	2,1	- 2,53
I	5-6	0,695	1,033	0,205	0,305	0,399	0,592	3,53	- 2,95
	6-7	0,735	1,277	0,217	0,391	0,421	0,562	1,31	- 1,17
	7-8	1,855	1,369	0,574	0,425	0,809	0,596	3,09	- 3,53

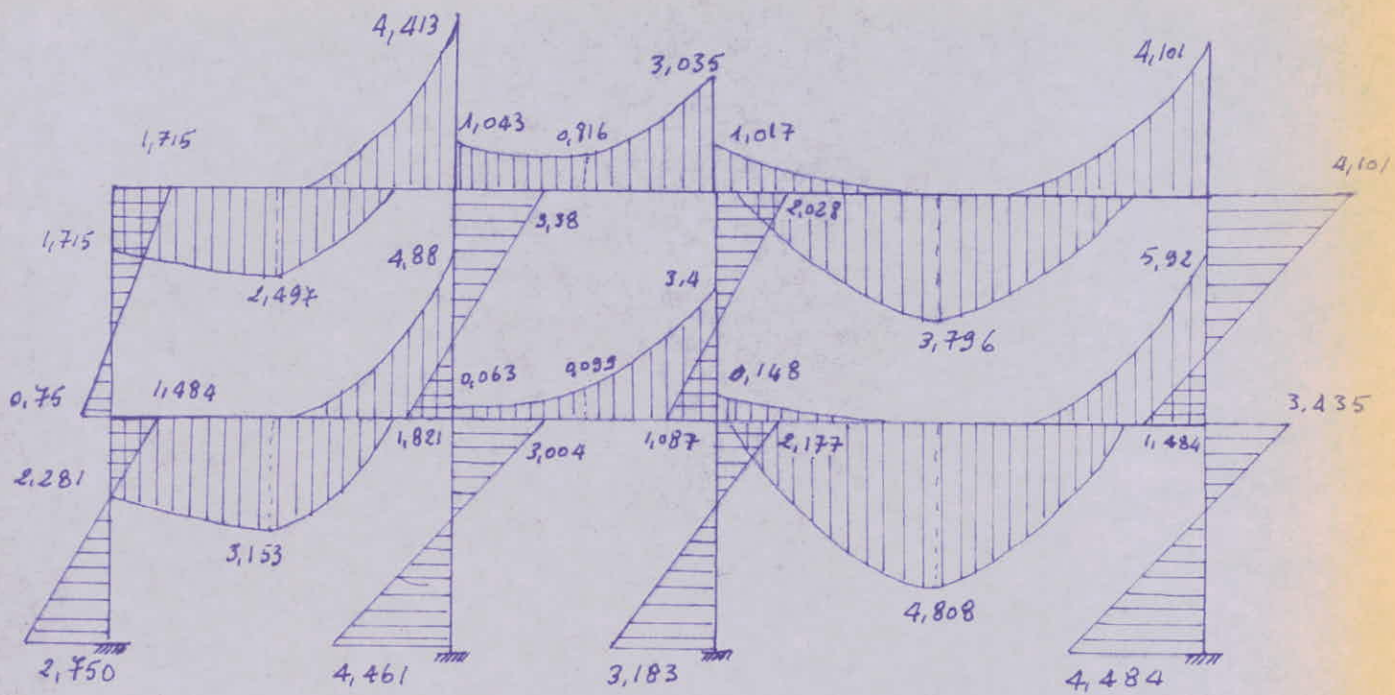
* - Calcul des moments fléchissants dans les poteaux:

		G		P		Siv ↓		SiH →	
niveau	Poteau	M_t	M_b	M_t	M_b	M_t	M_b	M_t	M_b
II	1	0,538	-0,327	0,085	-0,096	0,192	-0,187	-2,53	1,36
	2	-0,275	0,140	-0,06	0,041	-0,135	0,080	-2,91	1,56
	3	0,618	-0,271	0,103	-0,086	0,161	-0,116	-2,91	1,56
	4	-1,096	0,644	-0,181	0,200	-0,294	0,280	-2,53	1,36
I	5	0,367	-0,327	0,108	-0,096	0,211	-0,187	-2,17	3,36
	6	-0,158	0,140	-0,046	0,041	-0,09	0,080	-2,71	4,20
	7	0,306	-0,271	0,096	-0,086	0,131	-0,116	-2,71	4,20
	8	-0,725	0,644	-0,225	0,200	-0,315	0,280	-2,17	3,36

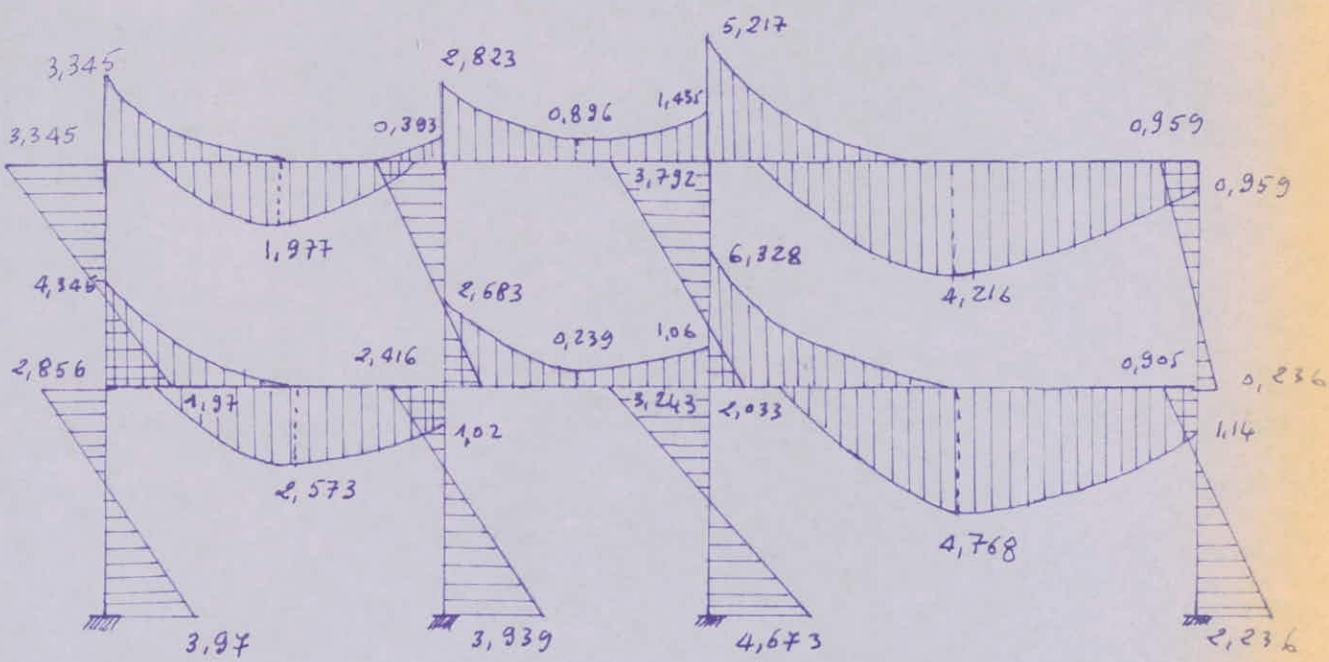
* - Diagramme des moments sous $G + 1,2 P$.



* - Diagrammes des moments sous $G + P + S_{IV}^{\leftarrow} + S_{IH}^{\rightarrow}$



* - Diagrammes des moments sous $G + P + S_{IV}^{\leftarrow} + S_{IH}^{\rightarrow}$



* - EFForts Tranchants dans les Poutres - Portique 3 - 3 -

		G		P		S _{IV} ↑		S _{IH} ←↑		G + 1,2 P		G + P + S _{IV} ↓ + S _{IH} ↑		G + P + S _{IV} ↑ + S _{IH} ←	
N	travee	Tg (t)	Td	Tg	Td	Tg	Td	Tg	Td	Tg	Td	Tg	Td	Tg	Td
II	1-2	2,309	-2,851	0,343	-0,472	0,762	-1,052	1,82	1,82	3,132	-3,417	2,194	-5,595	4,634	-3,155
	2-3	0,711	-1,328	0,174	-0,146	0,448	-0,274	0,39	0,39	0,919	-1,497	0,943	-2,132	1,723	-1,352
	3-4	4,306	-3,754	0,719	-0,617	1,158	-1,009	1,48	1,78	5,168	-4,494	4,403	-7,160	7,963	-3,600
I	5-6	2,314	-2,520	0,684	-0,744	1,327	-1,444	1,80	1,80	3,134	-3,412	2,525	-6,508	6,125	-3,908
	6-7	0,040	-1,863	0,394	-0,168	0,771	-0,320	0,57	0,57	0,512	-2,064	0,635	-2,921	1,775	-1,781
	7-8	3,740	-3,786	1,075	-1,264	1,185	-2,090	2,70	2,70	5,03	-5,302	3,300	-9,840	8,400	-4,440

* - Efforts normaux dans les poteaux (P.3-3)

Niv.	Poteau	P. Propre	G	P	S _{IV} ↑	S _{IH}	G + 1,2 P		G + P + S _{IV} ↓ + S _{IH} ↑		G + P + S _{IV} ↑ + S _{IH} ←	
							N (t)	N cumulé	N (t)	N _{c.}	N (t)	N _{c.}
II	1	0,641	2,309	0,343	0,762	1,22	3,361		2,835		5,245	
	2	0,641	3,562	1,665	1,500	1,66	6,201		5,758		8,978	
	3	0,641	5,628	1,065	1,432	2,14	7,547		6,596		10,936	
	4	0,641	3,754	1,158	1,009	1,48	5,784		4,782		8,342	
I	5	0,641	2,314	0,744	1,327	1,80	3,847	7,208	3,226	6,061	6,826	12,101
	6	0,641	2,560	1,495	2,215	2,37	4,995	11,196	4,541	10,299	9,281	18,259
	7	0,641	5,603	2,035	1,505	3,27	8,686	16,233	6,514	13,110	13,054	23,990
	8	0,641	3,786	1,185	2,09	2,70	5,849	11,633	5,002	9,784	10,402	18,744

Portique transversal (5-5)

* Remarque :

La console du portique (4-4) sera calculée comme si elle était reliée à l'extrémité gauche du portique (5-5) qui est considéré plus défavorable que le portique 4-4

* Évaluation des moments à l'enca斯特ement de la console.

- niveau II :

- Charges permanentes :

- plancher : $586 \cdot \frac{2,75}{2} = 723,25 \text{ kg/ml.}$

- Acrotière : $150 \cdot \frac{2,75}{2} \cdot \frac{1}{1,25} + 150 = 480 \text{ kg/ml}$

$$\left. \begin{array}{l} \\ \end{array} \right\} G = 1465,75 \text{ kg/ml}$$

- Surcharges :

$$S = 100 \cdot \frac{2,75}{2} = 137,5 \text{ kg/ml.}$$

d'où finalement $-q = G + 1,2P = 1630,75 \text{ kg/ml}$

- niveau I :

- Poids de remplissage latéral : $P_r = 1,60 \cdot 2,85 = 456 \text{ kg/ml}$

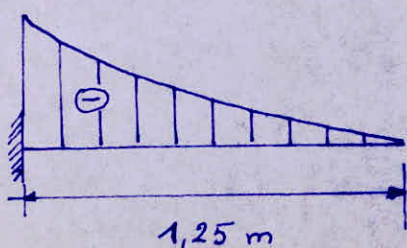
- Poids propre de la poutre : $0,35 \times 0,3 \times 2500 = 262,5 \text{ kg/ml}$

- Surcharges = 0

d'où alors : $G = 418,5 \text{ kg/ml.}$

* Diagramme du moment :

$$M = -\frac{qL^2}{2}$$



On donne dans le tableau ci-dessous les différents combinaisons pour la console, notons que le niveau n'influe pas sur la console.

Niv	G	P	M(G+1,2P)	M(G+P)
	q t/mé	q t/mé	(t·m)	
II	1,465	0,137	1,27	1,25
I	0,718	0	0,56	0,56

*.- Calcul des moments en travée.

			G	G + 1,2 P			G + P + SIV ↑			SIH →
Ni	Travée	l_i (m)	$\frac{M_e + M_e}{2}$	q t/mé	M_o (t·m)	M_t (t·m)	q	H_o	H_t	M_t
II	1-2	3,90	1,364	2,731	5,192	3,828	1,232	2,342	0,978	-0,29
	2-3	1,30	1,015	0,846	0,178	-0,837	1,406	0,597	-0,418	-0,28
I	3-4	3,90	2,001	2,921	5,553	3,552	3,661	4,118	2,117	-0,42
	4-5	1,30	0,825	0,889	0,187	-0,638	1,731	0,365	-0,46	-0,41

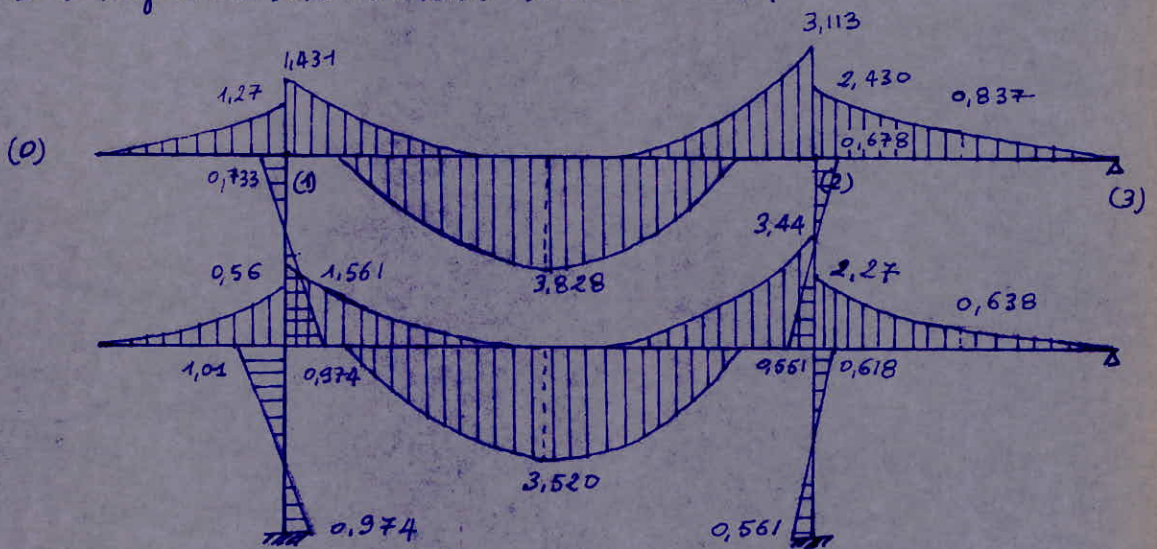
*.- Calcul des moments dans les portes.

		G		P		SIV ↓		SIH ↗	
Niveau	travee	M_g (t·m)	H_d	M_g	H_d	H_g	H_d	H_g	H_d
II	1-2	0,134	2,594	0,023	0,433	0,306	0,640	2,18	-1,60
	2-3	2,03	0	0,336	0	0,535	0	0,560	0
I	3-4	1,504	2,498	0,474	0,785	0,620	1,080	3,20	-2,36
	4-5	1,65	0	0,516	0	0,412	0	0,83	0

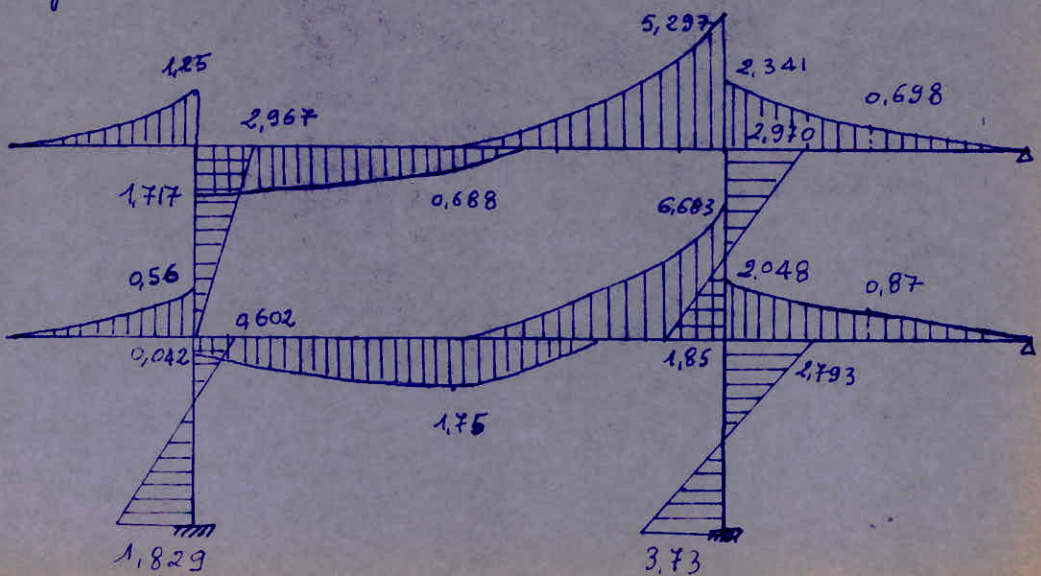
* - Calcul des moments fléchissants dans les poteaux:

	G		P		SIV ↓		SIH →	
Poteau	$M_tête$	M_{base}	H_t	H_b	M_t	M_b	M_t	M_b
1.	0,134	-0,707	0,023	-0,283	0,306	-0,291	-2,18	1,17
2.	-0,558	0,398	-0,10	0,126	-0,133	0,154	-2,18	1,17
3.	0,796	-0,407	0,251	-0,223	0,328	-0,291	-2,03	3,05
4.	-0,418	0,398	-0,142	0,126	-0,173	0,154	-2,03	3,05

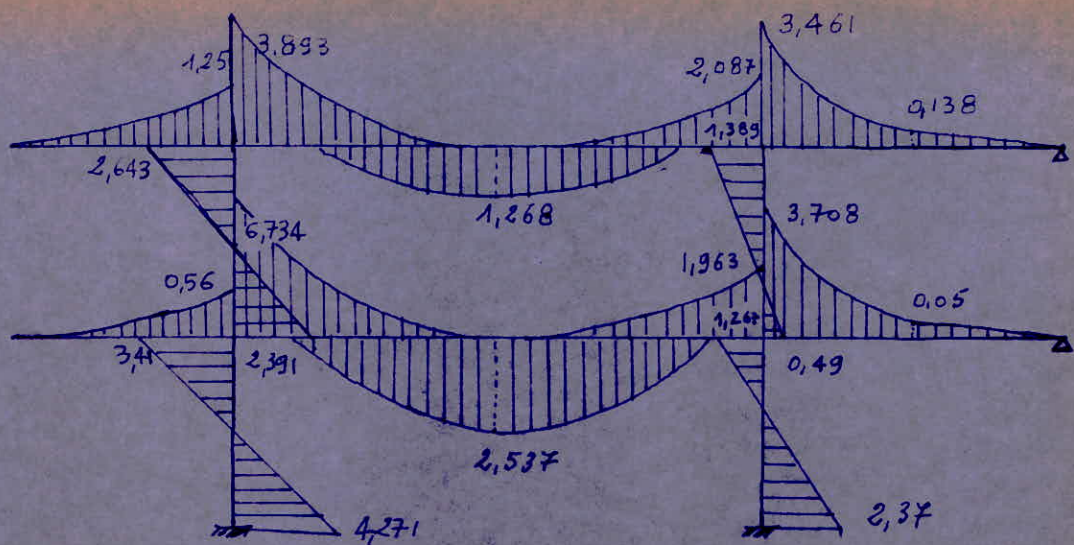
* - Diagramme des moments sous $G+1,2P$.



* - Diagramme des moments sous $G+P+SIV↓+SIH→$



*.- Diagramme des moments sous $G_1 + P + SIV \downarrow + SH$.



* - Efforts touchants dans les poutres, Portique transversal - 5-5-

N		G t/mel		P t/mel		SIV ↓		SIH ↔		G+1,2P		G+P+SIV+SIH		G+P+SIV+SIH ↔	
II	travee	Tg (t)	Td (t)	Tg	Td	Tg	Td	Tg	Td	Tg	Td	Tg	Td	Tg	Td
	0-1	0	-1,83	0	-0,171	0	0,106	1,22	1,22	0	-2,03	-1,82	-3,327	1,22	-0,887
	1-2	3,80	-5,061	0,639	-0,85	1,033	-1,82	0,43	0,43	4,566	-6,081	5,04	-8,35	4,48	-5,91
	2-3	2,041	-1,081	0,317	-0,12	0,487	0,035	0,89	0,89	2,421	-1,225	2,255	-2,056	4,035	-0,276
I	0-1	0	-0,897	0	0	0	0	1,8	1,8	0	-0,897	-1,80	-1,80	1,80	1,80
	1-2	3,879	4,318	1,882	-1,382	1,594	-1,810	0,63	0,63	5,345	-6,046	6,065	-8,21	4,325	-6,95
	2-3	1,724	0,814	0,499	-0,294	1,115	-0,019	1,31	1,31	2,322	-0,461	2,028	-0,809	4,648	1,811

* - Efforts normaux dans les poteaux, Portique (5-5)

niveau	Poteau	P Propre	G (t)	P	SIV↑	SIH↔	G+1,2P		G+P+SIV+SIH		G+P+SIV+SIH ↔	
							N (t)	N _{cumulé}	N	N _c	N	N _c
II	1	0,641	5,63	0,81	1,139	-1,65	7,243		6,57			9,870
	2	0,641	7,102	1,167	2,007	-1,32	9,143		9,597			12,230
I	1	0,641	4,776	1,228	1,594	-1,43	6,883	14,125	6,803	13,373	9,663	19,533
	2	0,641	6,112	1,881	2,925	-1,94	9,010	18,153	8,619	18,216	12,500	24,430

$\frac{1}{2}$. PORTIQUE LONGITUDINAL (I-I)

* - Calcul des moments en travée :

		G	G + 1,2 P			G + P + Sirt			SiH →	
niveau	travée li (m)	$\frac{M_G + M_{d\theta}}{2}$	q	M _o (t.m)	M _t	q	M _o	M _t	M _t	
II	1-2	2,90	0,282	0,621	0,628	0,346	0,659	0,692	0,410	0,440
	2-3	3,30	0,520	0,621	0,845	0,325	0,659	0,897	0,377	0,110
	3-4	4,22	0,731	0,621	1,382	0,651	0,659	1,467	0,736	0,320
I	5-6	2,90	0,516	1,088	1,143	0,627	1,323	1,390	0,874	0,650
	6-7	3,30	0,837	1,156	1,573	0,736	1,200	1,633	0,796	0,170
	7-8	4,22	1,296	1,088	2,422	1,186	1,143	2,544	1,248	0,110

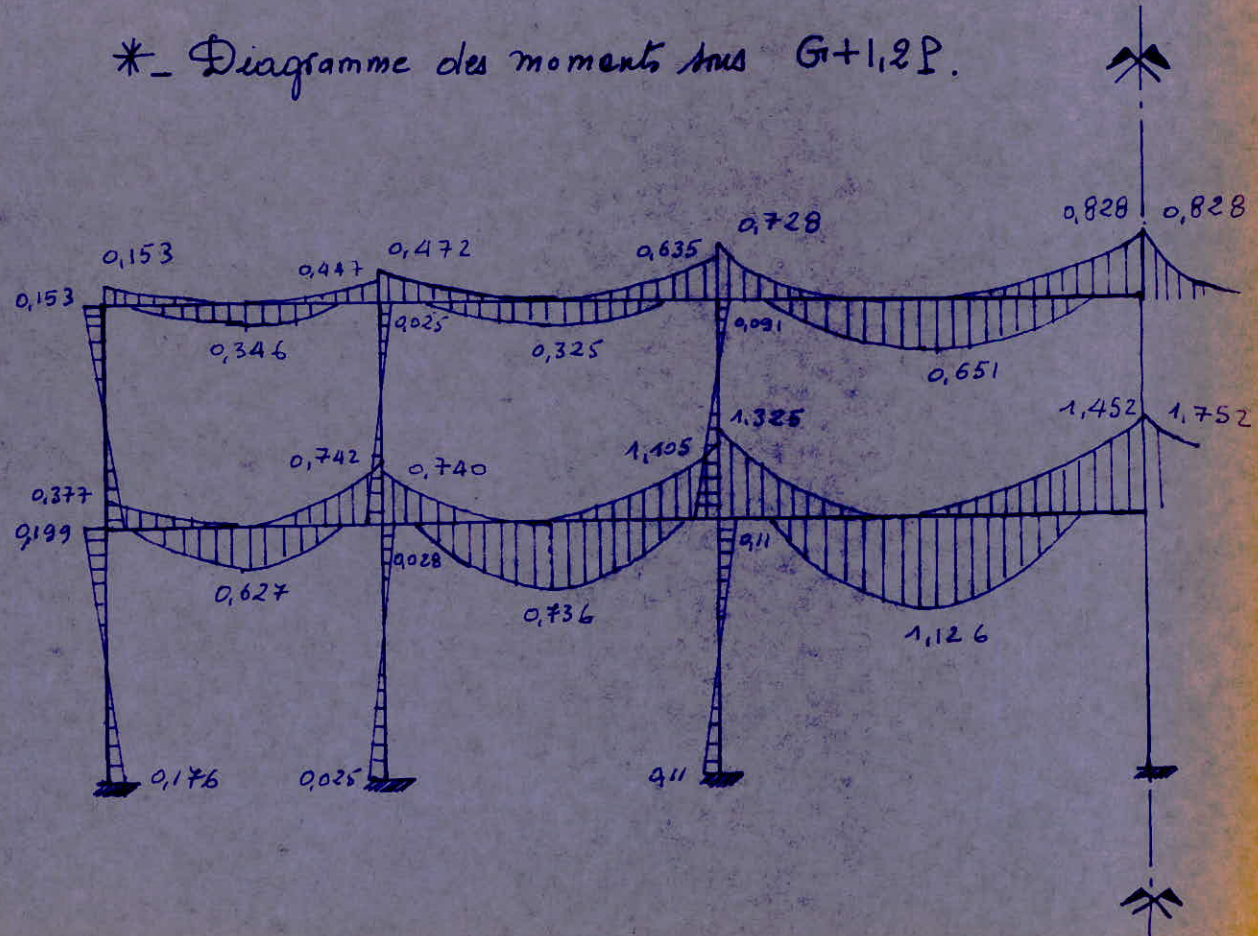
* - Calcul des moments dans les portées :

		G	P			Sirt			SiH →
niveau	travée	M _{gθ}	M _{dθ}	M _{gθ}	M _{dθ}	M _{gθ}	H _{dθ}	M _g	M _d
II	1-2	0,144	0,420	0,008	0,023	0,010	0,031	+2,16	-2,27
	2-3	0,444	0,597	0,024	0,032	0,033	0,044	+1,42	-1,19
	3-4	0,684	0,778	0,037	0,042	0,051	0,058	+1,50	-1,35
I	5-6	0,353	0,680	0,020	0,048	0,023	0,044	+3,16	-1,85
	6-7	0,643	1,002	0,052	0,086	0,043	0,065	+2,09	-1,75
	7-8	1,231	1,362	0,049	0,075	0,080	0,088	+2,19	-1,97

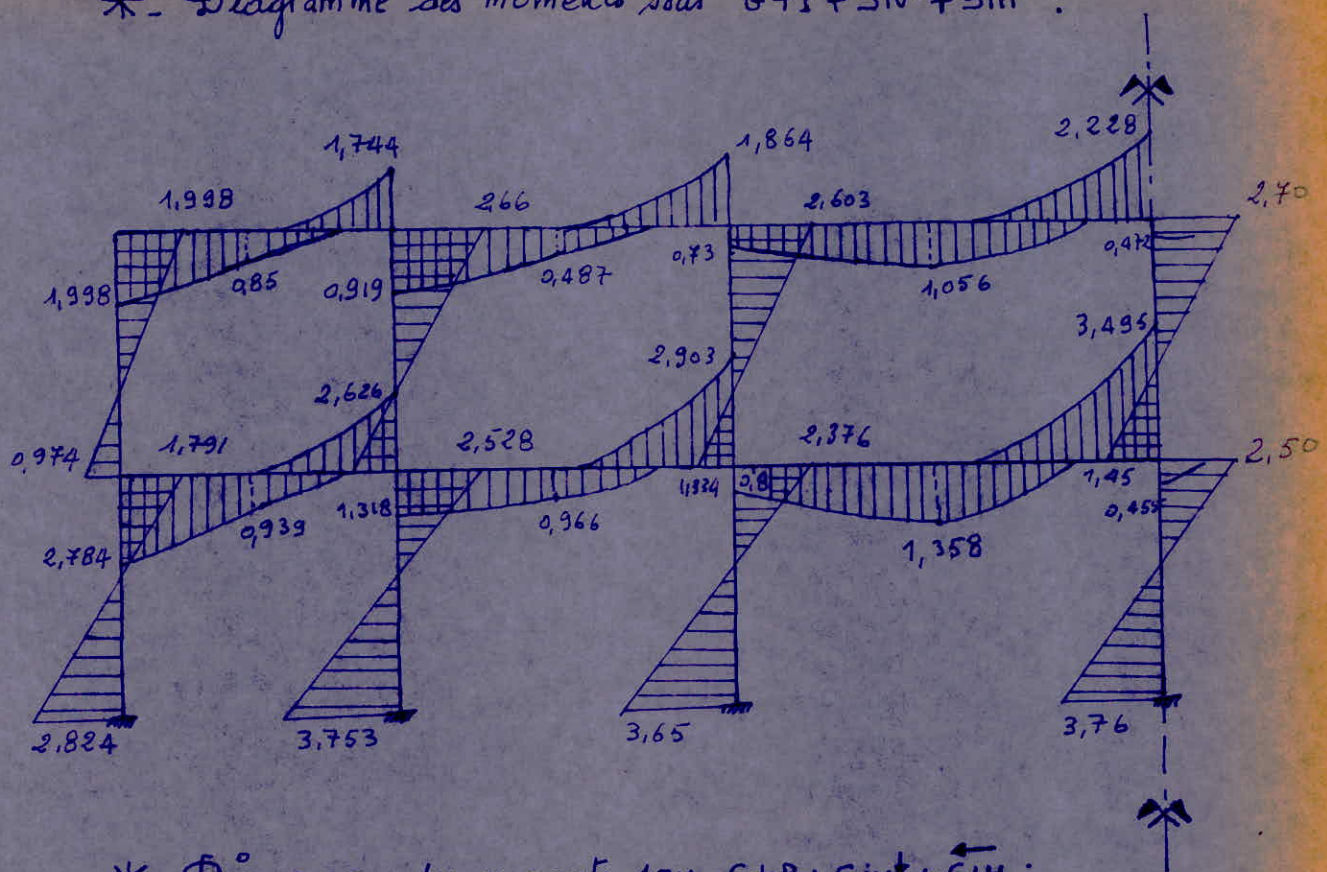
* - Calcul des moments fléchissants dans les poteaux :

		G	P	Siv ↓	SiH →				
niveau	Poteau	$M_tête$	M_{base}	M_t	M_b	M_t	M_L	M_t	M_b
II	1.	0,144	-0,166	0,008	-0,009	0,010	-0,011	-2,16	1,16
	2.	0,024	-0,016	0,001	-0,006	0	0	-2,70	1,45
	3.	0,087	-0,107	0,004	-0,003	0,006	-0,006	-2,70	1,45
	4.	0	0	0	0	0	0	-2,70	1,45
I	5.	0,187	-0,116	0,010	-0,009	0,012	-0,010	-2,00	3,01
	6.	-0,018	+0,016	0,006	-0,006	0	0	-2,50	3,46
	7.	0,121	-0,107	-0,004	+0,003	0,007	-0,006	-2,50	3,76
	8.	0	0	0	0	0	0	-2,50	3,76

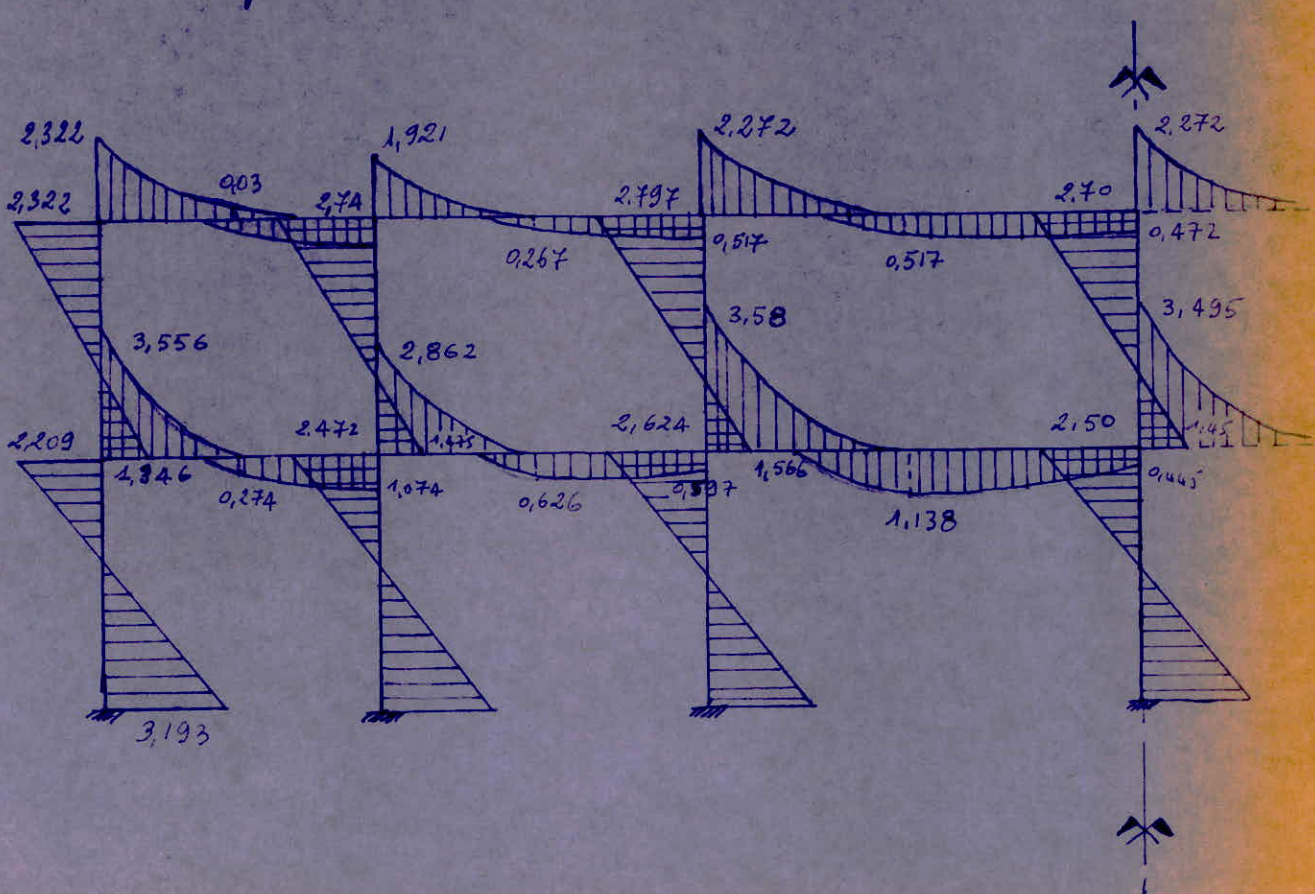
* - Diagramme des moments tels $G + 1,2P$.



* - Diagramme des moments sous $G+P+SiV^{\leftarrow}+SiH^{\rightarrow}$:



* - Diagramme des moments sous $G+P+SiV^{\leftarrow}+SiH^{\leftarrow}$:



	G		P		SIV↑		SIH↔		G+1,2 P		G+P+SIV+SIH→		G+P+SIV+SIH↔		
niveau	Travée	Tg	Td	Tg	Td	Tg	Td	Tg	Td	Tg	Td	Tg	Td	Tg	Td
II	1-2	0,739	-0,95	0,041	-0,051	0,056	-0,071	1,180	1,180	0,788	-1,011	-0,344	-2,252	2,016	0,108
	2-3	0,915	-1,008	0,050	-0,055	0,069	-0,075	0,990	0,990	0,975	-1,074	0,044	-2,128	2,024	-0,148
	3-4	1,207	-1,252	0,06	-0,068	0,091	-0,094	0,675	0,675	1,279	-1,333	0,683	-2,089	2,033	-0,439
	4-3'	1,852	-1,207	0,068	-0,066	0,094	-0,091	0,675	0,675	1,333	-1,286	0,739	-2,039	2,089	-0,689
I	5-6	1,366	-1,591	0,071	-0,090	0,089	-0,104	1,720	1,720	1,451	-1,639	-0,194	-3,305	3,246	-0,065
	6-7	1,583	-1,782	0,178	-0,194	0,103	-0,117	1,160	1,160	1,796	-2,014	0,404	-3,253	3,024	-0,933
	7-8	2,121	-2,183	0,119	-0,117	0,139	-0,143	0,980	0,980	2,263	-2,323	1,399	-3,423	3,359	-1,463
	8-Y'	2,183	-2,121	0,114	-0,119	0,143	-0,139	0,980	0,980	2,323	-2,263	1,463	-3,359	3,423	-1,399

* - Efforts normaux - Poteaux. Portique (I-I)

N	Poteau	P. Propre	G		P		SIV↑		SIH↔		G+1,2 P		G+P+SIV+SIH→		G+P+SIV+SIH↔	
			N (t)	N cumulé	N	N _c	N	N _c	N	N _c	N	N _c	N	N _c	N	N _c
II	1	0,461	0,739	0,041	0,056	1,180	1,429			0,297				2,657		
	2	0,461	1,865	0,101	0,140	2,170	2,627			0,577				4,917		
	3	0,461	2,215	0,115	0,166	1,665	2,994			1,472				4,802		
	4	0,461	2,504	0,136	0,188	1,350	3,308			2,119				4,819		
I	5	0,461	1,366	0,071	0,089	1,720	2,092	3,521	0,447	0,744	3,887	6,544				
	6	0,461	3,174	2,268	0,207	2,880	6,536	9,163	3,410	3,987	9,170	14,087				
	7	0,461	3,903	0,313	0,256	2,140	4,919	7,913	2,973	4,445	7,253	12,055				
	8	0,461	4,366	0,234	0,286	1,960	5,287	8,595	3,567	5,686	7,487	12,306				

$\frac{1}{2}$ PORTIQUE (IV-IV) LONGITUDINAL

* - Calcul des moments en travée :

			G _i	G _i + 1,2 P			G + P + SIV ↓			SIH →
N	travée	l _i (m)	$\frac{M_{et} + M_{eo}}{2}$	q _i / m	M _o (kN·m)	M _{et}	q	M _o	M _{et}	M _{et}
II	1-2	2,90	0,281	0,945	0,933	0,712	0,659	0,692	0,411	0,340
	2-3	3,30	0,433	0,945	1,286	0,853	0,659	0,897	0,464	-0,010
	3-4	2,70	0,354	0,945	0,861	0,507	0,659	0,600	0,246	-0,040
	4-3'	2,75	0,327	0,945	0,893	0,566	0,659	0,623	0,296	0
I	5-6	2,90	0,545	1,096	1,152	0,607	1,145	1,203	0,658	0,500
	6-7	3,30	0,745	1,096	1,492	0,747	1,145	1,558	0,813	-0,020
	7-8	2,70	0,739	1,096	0,998	0,259	1,145	1,043	0,304	-0,060
	8-7'	2,75	0,858	5,203	4,918	4,060	4,695	4,438	5,580	0

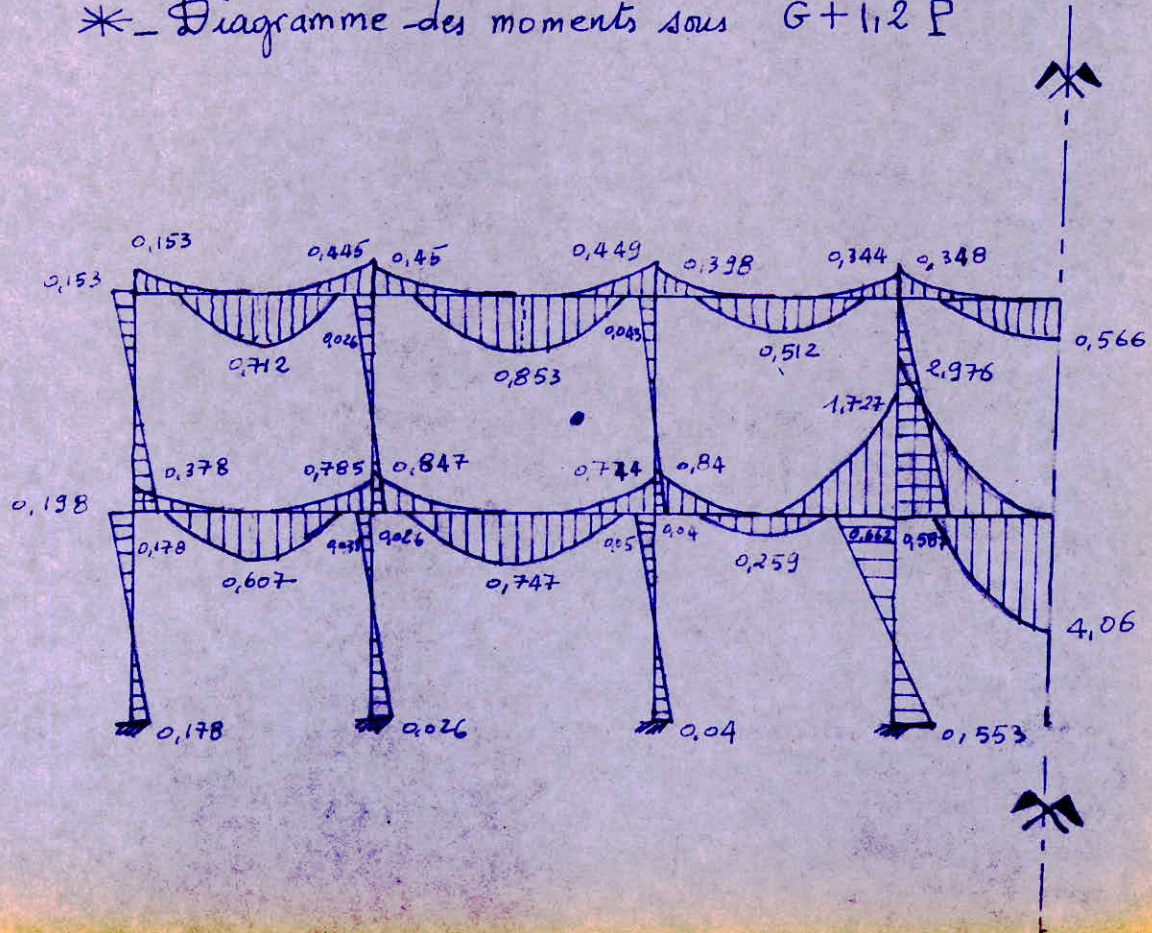
* - Calcul des moments dans les Ponts :

		G _i		P		SIV ↓		SIH →	
Niveau	Travée	M _g (-)	M _d (-)	M _g (-)	M _d (-)	M _g (-)	M _d (-)	M _g	M _d
II	1-2	0,144	0,419	0,008	0,028	0,010	0,031	1,64	-0,95
	2-3	0,444	0,424	0,024	0,023	0,103	0,031	1,07	-1,10
	3-4	0,384	0,324	0,020	0,017	0,028	0,024	0,92	-1,00
	4-5'	0,327	0,327	0,018	0,018	0,024	0,024	1,02	-1,02
I	5-6	0,354	0,736	0,020	0,041	0,023	0,048	1,40	-1,40
	6-7	0,793	0,698	0,045	0,039	0,052	0,045	1,58	-1,63
	7-8	0,788	0,700	0,044	0,856	0,051	0,137	1,35	-1,48
	8-7'	0,858	0,858	1,765	1,765	0,083	0,083	1,50	-1,50

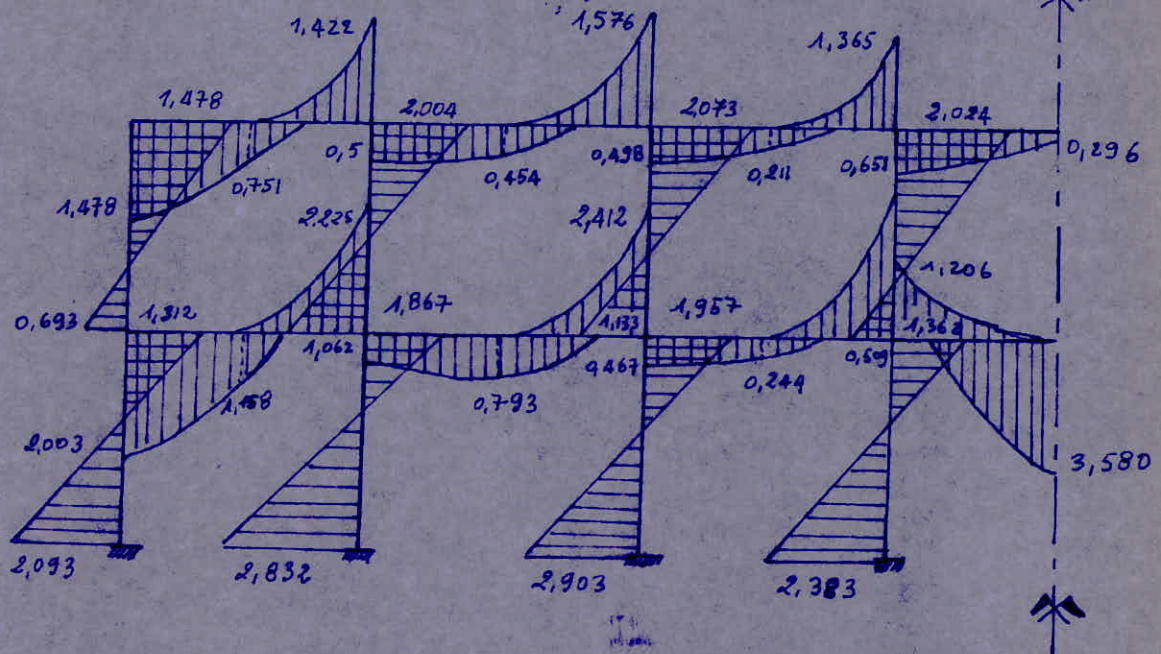
* - moments fléchissants dans les poteaux:

		G		P		SI V↓		SI H→	
niveau	poteau	M_t tête	M_b base	M_t	M_b	M_t	M_b	M_t	M_b
II	1	0,144	-0,166	0,008	-0,01	0,01	-0,011	0,88	-0,88
	2	0,024	-0,026	0,002	0	0	-0,0015	1,09	-1,09
	3	-0,04	0,04	0,003	0	0	0,003	1,09	-1,09
	4	0	-0,074	0,001	-0,482	0	-0,025	1,09	-1,09
I	5	0,186	-0,166	0,010	-0,01	0,012	-0,011	2,28	-2,28
	6	0,03	-0,026	0,001	0	0,0015	-0,0015	2,86	-2,86
	7	-0,05	0,04	0,004	0	-0,003	0,003	2,86	-2,86
	8	0,084	-0,074	0,428	+0,482	-0,028	0,025	2,86	-2,86

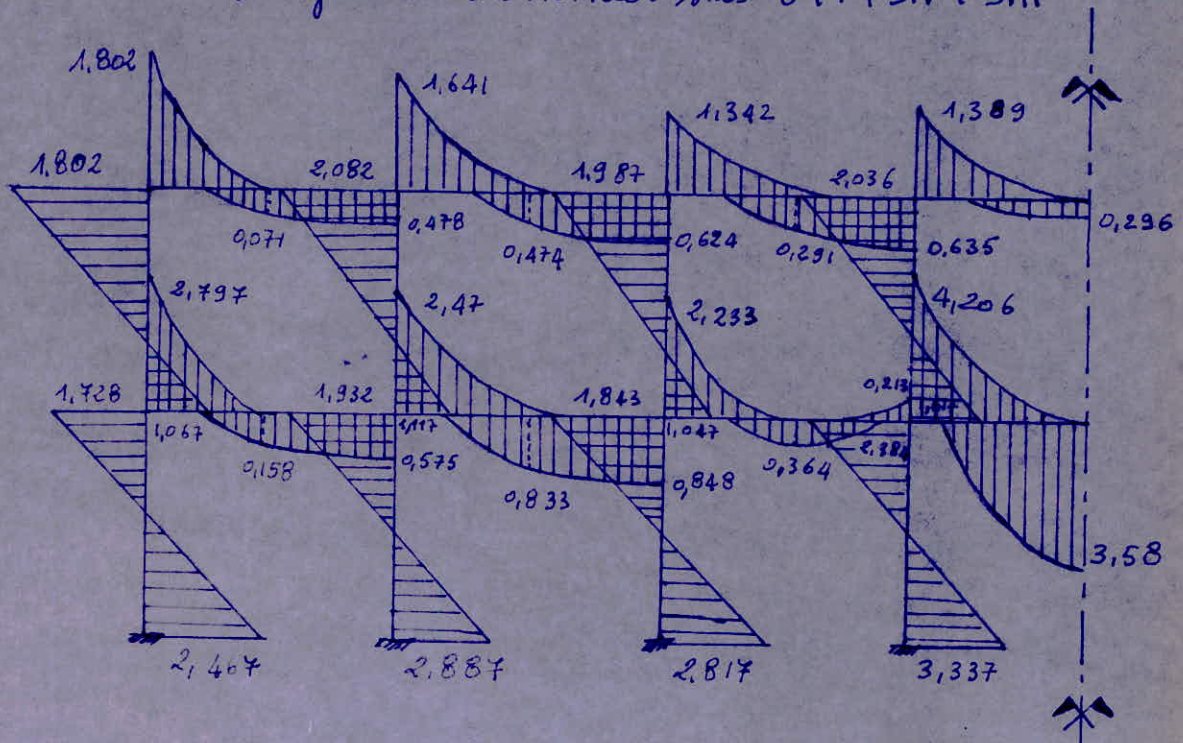
* - Diagramme des moments sous $G + 1,2 P$



*- Diagramme des moments sous $G+P+SIV+SIH$



*- Diagramme des moments sous $G+P+SIV+SIH$



* - Efforts tranchants dans les poutres : $\frac{1}{2}$ Portique Longitudinal (IV-IV)

	G		P		SIV↓		SIH↑		G+1,2P		G+P+SIV+SIH↑		G+P+SIV+SIH↓		
N	Travée	Tg	Td	Tg	Td	Tg	Td	Tg	Td	Tg	Td	Tg	Td	Tg	Td
II	1-2	0,75	-0,94	-0,129	-0,222	0,056	-0,071	0,89	0,89	0,595	-1,206	0,213	-2,183	1,567	-0,343
	2-3	0,968	0,955	0,053	-0,052	0,043	-0,042	0,65	0,65	1,031	-1,014	0,444	-1,429	1,744	-0,429
	3-4	0,805	-0,768	0,044	-0,042	0,06	-0,058	0,71	0,71	0,857	-0,818	0,119	-1,548	1,619	-0,158
	4-5	0,784	0,818	0,043	-0,044	0,056	-0,061	0,74	0,74	0,835	-0,870	0,146	-1,663	1,626	-0,183
I	5-6	1,347	-1,61	0,046	-0,091	0,088	-0,105	1,31	1,31	1,438	-1,719	0,201	-3,116	2,821	-0,496
	6-7	1,741	-1,654	0,095	-0,093	0,112	-0,108	0,97	0,97	1,825	-1,765	0,948	-2,825	2,888	-0,885
	7-8	1,261	-1,492	-0,222	-0,049	0,056	-0,112	1,04	1,04	0,994	-1,946	0,057	-3,023	2,137	-0,943
	8-7'	2,609	-2,209	4,58	-3,328	0,103	-0,080	1,09	1,09	8,105	6,202	6,202	-6,707	8,382	-4,527

	Poteau	P. Propre	G	P	SIV↓	SIH↑	N	N cumulé	N	N _c	N	N _c
II	1	0,641	0,750	0,129	0,056	0,809	1,545		0,686		2,466	
	2	0,641	1,908	0,375	0,144	1,54	2,849		1,428		4,508	
	3	0,641	1,460	0,096	0,132	1,36	2,516		1,269		3,989	
	4	0,641	1,552	0,095	0,117	2,81	2,595		0,415		5,205	
I	5	0,641	1,347	0,076	0,088	1,31	2,079	3,624	2,83	3,516	5,450	7,916
	6	0,641	3,321	0,186	0,217	2,28	4,185	7,1064	2,084	3,512	6,644	11,152
	7	0,641	2,915	0,315	0,166	2,01	3,934	6,450	2,024	3,296	6,047	10,036
	8	0,641	4,101	4,959	0,215	2,13	10,692	13,282	7,786	8,201	12,046	17,251

* - Efforts normaux dans les poteaux , $\frac{1}{2}$ Portique (IV-IV)

FERRAILLAGE DES POUTRES

Conformément à l'article A15 du C.C.B.A.68, il ne sera pas fait état dans les calculs des efforts normaux dans les poutres, les poutres seront étudiées en flexion simple.

Les sections d'armatures longitudinales et transversales seront déterminées sous la sollicitation SP1 ($E+1,2P$) et sous la plus défavorable des sollicitations SP2, alors la plus grande section d'acier sera adoptée.

* - Méthode de calcul des armatures longitudinales :

La méthode utilisée pour la détermination des armatures est celle de M^e P. CHARON.

$$\mu = \frac{15M}{\bar{\sigma}_a \cdot b \cdot h^2} \xrightarrow{\text{Tableau}} \left\{ \begin{array}{l} K \\ E \end{array} \right. \rightarrow \sigma_b' = \frac{\bar{\sigma}_a}{K}$$

- Si $\sigma_b' \leq \bar{\sigma}_b'$ alors les armatures comprimées sont inutiles $A' = 0$

$$\text{d'où } A = \frac{M}{\bar{\sigma}_a \cdot E \cdot h}$$

- Si $\sigma_b' > \bar{\sigma}_b'$ alors $A' \neq 0$.

$$\text{on calcule } K_1 = \frac{15}{n} \frac{\bar{\sigma}_a}{\bar{\sigma}_b'} \text{ et } K_2 = \frac{15(h-d')}{\bar{\sigma}_a h + d'}$$

$$\text{Si } K_1 > K_2 \text{ on prend } K = K_1 \xrightarrow{\left\{ \begin{array}{l} \alpha \\ \mu \\ E \end{array} \right.}$$

$$M_1 = \mu' \cdot b \cdot h^2 \bar{\sigma}_b' \text{ et } M_2 = M - M_1 ; y = \alpha \cdot h \Rightarrow \sigma_a' = \frac{15}{y} (y-d') \bar{\sigma}_b'$$

* - Armatures comprimées : $A' = \frac{M_2}{\bar{\sigma}_a' (h-d')}$

* - Armatures tendues : $A = \frac{M_1}{\bar{\sigma}_a \cdot E \cdot h} + \frac{M_2}{\bar{\sigma}_a (h-d')}$

Si $K_1 < K_2$, on prend $K = K_1 \rightarrow (\mu', \epsilon)$

$$\sigma'_b = \frac{15}{n} \cdot \bar{\sigma}_b \rightarrow M_1 = \mu' \cdot b \cdot h^2 \sigma'_b ; M_2 = M - M_1$$

*- Armatures comprimées : $A' = \frac{M_2}{\bar{\sigma}_a (h - d')}$

*- Armatures tendues : $A = A' + \frac{M_1}{\bar{\sigma}_a \cdot \epsilon \cdot h}$.

- Méthode de calcul des armatures transversales :

Elles seront calculées pour l'effort tranchant maximal à l'appui pour le niveau considéré.

- Contraintes de cisaillement max. (C.C.B.A) 68)

$$\tau = \frac{T_{max}}{b \cdot z} ; T_{max} : \text{effort tranchant max. au niveau considéré.}$$

b : largeur de la poutre.

z : bras de levier = $\frac{7}{8}h$. (h : hauteur utile).

- Contraintes de cisaillement admissibles :

$$\bar{\tau}_{b_1} = 3.5 \bar{\sigma}_b ; \bar{\tau}_{b_2} = \left(4.5 - \frac{\sigma'_b}{\bar{\sigma}_{b_0}} \right) \bar{\sigma}_b ; \bar{\tau}_{b_3} = 5 \bar{\sigma}_b$$

*- Si $\begin{cases} \tau_b \leq \bar{\tau}_{b_1} \text{ lorsque } \sigma'_b \leq \bar{\sigma}_{b_0} \\ \tau_b \leq \bar{\tau}_{b_2} \text{ lorsque } \bar{\sigma}_{b_0} \leq \sigma'_b \leq 2\bar{\sigma}_{b_0} \end{cases}$ } des caches, des étriers verticaux et des barres obliques seront utilisés

*- Si $\tau_b > \bar{\tau}_{b_3}$ on changera la section de béton.

σ'_b : contrainte max. sole compression du béton dans la section pour laquelle on considère τ_b .

- Contraintes admissibles des armatures transversales

$$\bar{\sigma}_{at} = f_a \cdot \sigma_{en} \quad \text{avec} \quad f_a = \max \left\{ 1 - \frac{\tau_b}{9 \bar{\sigma}_b}, \frac{2}{3} \right\}.$$

* - Espacement : $t_0 = \frac{A_t \cdot g \cdot \bar{\sigma}_{at}}{T_{max}}$; A_t : section des armatures transversales

* - Espacement admissible : $\bar{t} = \max \left\{ t_1 = 0,2 h, t_2 = \left(1 - 0,3 \frac{\bar{\epsilon}_b}{\bar{\sigma}_b}\right) h \right.$

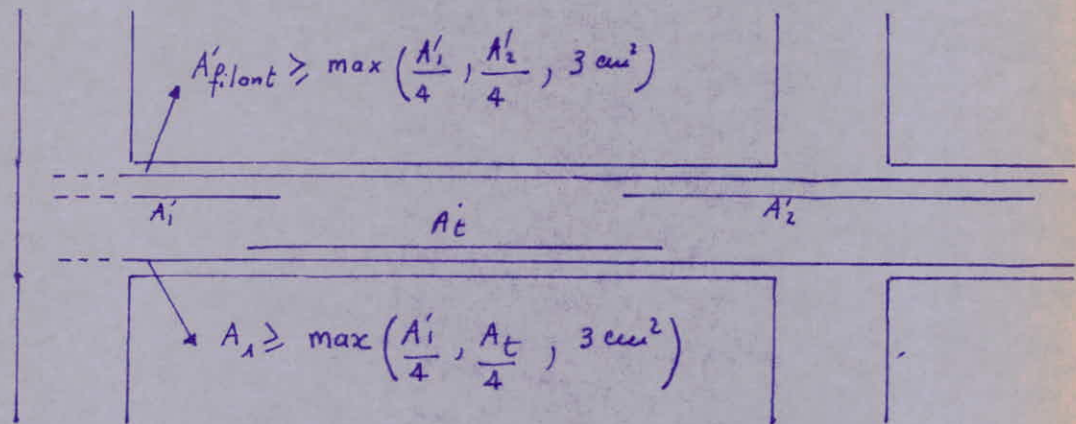
COMPLEMENT C-T-C .

- Armatures longitudinales :

a/ le pourcentage total minimum des aciers longitudinaux sur toute la longueur de la poutre, soit égal à 0,3% pour les aciers où haute adhérence et de 0,5% pour les aciers durs.

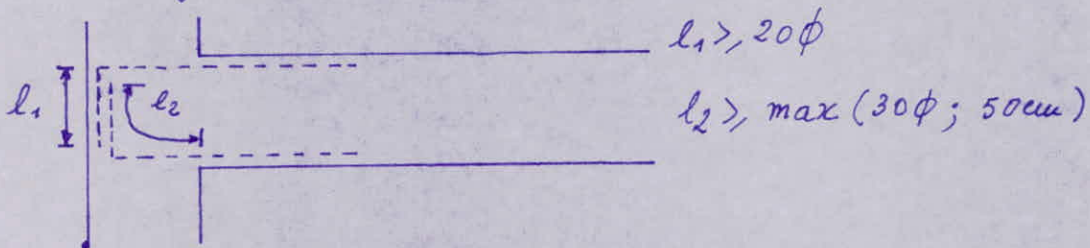
b/ le pourcentage total maximal des aciers longitudinaux, soit égal à 2,5%.

c/ les poutres supportant les charges verticales des planchers doivent comporter des armatures filantes (supérieures et inférieures) d'une section minimale indiquée par la figure ci-dessous :



d/ Les poutres supportant de faibles charges verticales et sollicitées principalement par les forces latérales sismiques doivent avoir des armatures symétriques avec une section en travé au moins égale à la moitié de la section sur appui.

e) L'ancrage des armatures longitudinales supérieures et inférieures dans les poteaux de rive et d'angle doit-être effectué conformément à la figure ci-dessous.



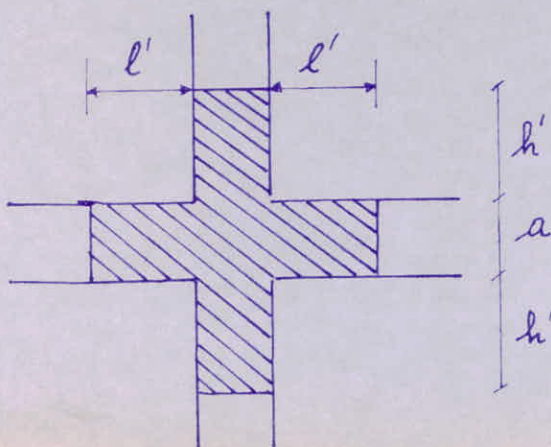
- Armatures transversales :

*- Dans la zone nodale, les armatures transversales doivent-être telles que, toutes les barres longitudinales soient individuellement entourées par une armature s'opposant à leur flambement ; en dehors de la zone nodale au moins une barre longitudinale soit deux fois aussi ainsi entourée.

*- L'espacement maximum des armatures transversales est de :

- Dans la zone nodale : $\min(0,3 \cdot h; 12\phi)$.
- En dehors de la zone nodale : $0,5 \cdot h$.

*- Définition de la zone nodale :



$$h' = \max\left(\frac{h}{6}; b_1; b_2; 60 \text{ cm}\right)$$

$$l' = 2a$$

h : hauteur du poteau

b_1, b_2 : dimensions transversales du poteau.

- VERIFICATIONS -

* Condition de non-fragilité :

$$A \geq b \cdot h \cdot \Psi \cdot \frac{\bar{\sigma}_b}{\bar{\sigma}_a} \left(\frac{h_t}{h} \right)^2 \quad \text{avec } \Psi = 0,54.$$

* Condition de flèche :

$$- h_t \geq \frac{l}{16}$$

$$- h_t \geq \frac{1}{10} \frac{M_E}{M_0} \cdot l \rightarrow \begin{cases} SP_1 \\ SP_2 \end{cases}$$

$$- A \leq \frac{43}{6n} \cdot b \cdot h$$

* Condition de non entraînement des barres :

$$\bar{\epsilon}_d = \frac{T}{n \cdot P \cdot z} < \bar{\epsilon}_d \quad \text{avec : } \bar{\epsilon}_d = 2 \cdot \Psi_d \cdot \bar{\sigma}_b ; \Psi_d = 1,5 \quad (H \cdot A)$$

où P : périmètre de la barre

n : nbre de barres.

$$z = \frac{7}{8} h$$

* Condition aux appuis :

on doit vérifier que :

$$c \geq \frac{2T}{b \cdot \bar{\sigma}_{b0}} = c_0$$

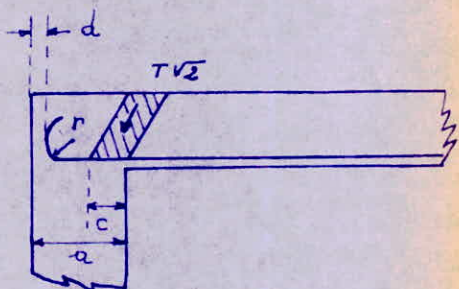
Tel que :

c_0 : largeur de la bâche de béton nécessaire pour transmettre les efforts de la poutre au poteau.

$$c = a - (d + r).$$

- Armatures inférieures :

$$A \bar{\sigma}_a \geq T + \frac{M}{z} \quad (M \text{ en valeur absolue})$$



*- Verifications des contraintes :

$$\tilde{\omega} = \frac{100 \cdot A}{b \cdot h} \xrightarrow{\text{Tabl.}} \begin{cases} K \\ \varepsilon \end{cases}$$

$$\sigma_a = \frac{M}{A \cdot E \cdot h} ; \quad \bar{\sigma}_b' = \frac{\sigma_a}{K} \quad (\sigma_a \leq \bar{\sigma}_a ; \quad \sigma_b' \leq \bar{\sigma}_b')$$

*- Verification à la fissuration :

$$\tilde{\omega}_f = \frac{A}{B_f} \quad (A: \text{séction d'acier tendre})$$

$$\sigma_1 = K \cdot \eta \cdot \frac{\tilde{\omega}_f}{\phi} \cdot \frac{1}{1 + 10 \tilde{\omega}_f} \quad (\text{fissuration systématique})$$

$$\sigma_2 = 2.4 \cdot \sqrt{\frac{K \cdot n}{\phi} \cdot \bar{\sigma}_a} \quad (\text{fissuration accidentelle})$$

η : coefficient de fissuration = $\begin{cases} 1 & \text{pour l'acier doux} \\ 1,6 & \text{pour l'acier H.A.} \end{cases}$

ϕ : diamètre (en mm) de la plus grosse barre.

$\tilde{\omega}_f$: % de fissuration.

B_f : section du bâti englobant les barres tendues.

K : coefficient caractérisant le préjudice de fissures sur l'ouvrage, ayant pour valeurs :

$K = \begin{cases} 1,5 \cdot 10^6 & \text{fissuration peu préjudiciable.} \\ 1 \cdot 10^6 & \text{fissuration préjudiciable.} \\ 0,5 \cdot 10^6 & \text{fissuration très préjudiciable.} \end{cases}$

d'où alors :

$$\sigma_f = \min \left\{ \begin{array}{l} \bar{\sigma}_a = 2800 \\ \max \left[\frac{\sigma_1}{\sigma_2} \right] \end{array} \right\}.$$

≡ FERRAILLAGE DES POUTRES ≡

Les poutres seront étudiées en flexion simple les sections d'armatures longitudinale et transversale seront déterminées sous SP_1 et (SP_2) def.

La plus grande section sera adoptée.

Remarque: Les sections d'appuis peuvent dans certains cas de charges être soumises à des moments positifs (fibre inf. tendue). Ces moments sont tous inférieurs (en valeur absolue) aux moments négatifs.

Et comme le C.T.C. prévoit de ferrailles le long du poutre symétriquement, donc on prendra le même ferrailage supérieur qu'inférieur aux appuis considérés.

Les poutres ont toutes les mêmes caractéristiques géométriques:

$$\begin{aligned} h_t &= 35 \text{ cm.} \\ d = d' &= 3,5 \text{ cm.} \\ b &= 30 \text{ cm.} \end{aligned}$$

Le ferrailage se calculera conformément à la théorie exposée sur le ferrailage des poutres. On se limitera à donner les résultats sous forme de tableaux pour chaque portique et pour chaque moyen pour le choix des aciers (Voir planches).

Le calcul est fait par la méthode de H. P. Charron.

La vérification des contraints n'est pas nécessaire car la section d'acier adoptée est supérieure à celle calculée.

Contraintes admissibles:

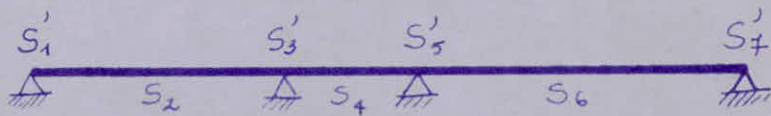
$$SP_1: \bar{\sigma}_a = 2800 \text{ kg/cm}^2$$

$$\bar{\sigma}'_b = 137 \text{ kg/cm}^2$$

$$SP_2: \bar{\sigma}_a = 4200 \text{ kg/cm}^2$$

$$\bar{\sigma}'_b = 205,5 \text{ kg/cm}^2$$

Portique - 3.3 -



Niv. II

Niv. I

	S_1'	S_2	S_3'	S_4	S_5'	S_6	S_7'
$M(SP_1)$	0,64	1,547	1,79	0,964	2,03	3,077	1,313
$M(SP_2)$	3,845	2,497	4,413	0,896	5,217	4,216	4,101
$\gamma(SP_1)$	0,0115	0,0278	0,0322	0,0193	0,0365	0,0553	/
$\gamma(SP_2)$	0,0401	0,0299	0,0529	—	0,0625	0,0505	0,0492
$E(SP_1)$	0,9522	0,9275	0,9228	0,9419	0,9183	0,902	/
$E(SP_2)$	0,915	0,9254	0,9038	—	0,8966	0,9057	0,9067
$K(SP_1)$	89,5	54	49,8	71	46,2	36	/
$K(SP_2)$	43,8	52	37	—	33,3	38	38,6
$A(SP_1)$	0,762	1,89	2,2	1,16	2,5	3,86	/
$A(SP_2)$	2,76	2,04	3,69	—	4,398	3,518	3,418
$A'(SP_1)$	0	0	0	0	0	0	0
$A'(SP_2)$	0	0	0	0	0	0	0
A_{max} (m^2)	2,76	2,04	3,69	1,16	4,398	3,86	3,418
$M(SP_1)$	0,941	1,836	1,399	0,324	2,004	3,426	1,947
$M(SP_2)$	4,829	3,153	4,88	—	6,328	4,808	5,92
$\gamma(SP_1)$	0,0169	0,0330	0,0251	0,0088	0,0360	0,0616	0,0350
$\gamma(SP_2)$	0,0573	0,0398	0,0586	—	0,0759	0,0577	0,0410
$E(SP_1)$	0,9425	0,9219	0,9340	0,9650	0,9188	0,8973	0,9139
$E(SP_2)$	0,9598	0,9163	0,8994	—	0,9876	0,900	0,8906
$K(SP_1)$	72	49	57,5	128	46,6	37,7	47,4
$K(SP_2)$	109	45,2	34,7	—	29,5	35	30,7
$A(SP_1)$	1,132	2,258	1,703	0,384	2,472	4,328	2,4
$A(SP_2)$	3,8	2,6	4,10	—	5,38	4,03	5,02
$A'(SP_1)$	0	0	0	0	0	0	0
$A'(SP_2)$	0	0	0	0	0	0	0
A_{max} (m^2)	3,8	2,6	4,1	0,384	5,38	4,328	5,02

Port. - 5.5 -

	S_1'	S_2'	S_3'	S_4'	S_5'
	S_1	Δ	S_3	Δ	S_5

	S_1	S_2'	S_3	S_4'/S_5'	S_5
M	SP ₁	0,263	1,215	3,826	3,113
(t.m)	SP ₂	1,113	5,397	1,268	5,297
	SP ₁	0,0047	0,0219	0,0689	0,056
Y	SP ₂	0,0134	0,0648	—	0,0036
	SP ₁	0,9673	0,9351	0,8922	0,9012
E	SP ₂	0,9485	0,8947	—	0,8956
	SP ₁	178	62	31,4	35,6
K	SP ₂	82	32,6	—	33
	SP ₁	0,308	1,473	4,684	3,916
(cm ²)	SP ₂	0,886	4,816	—	4,47
	SP ₁	0	0	0	0
(cm ²)	SP ₂	0	0	0	0
A_{max}		0,886	4,816	4,684	4,47
(cm ²)					1,00.
M	SP ₁	0,112	1,626	3,52	3,44
(t.m)	SP ₂	1,729	8,817	2,537	6,483
	SP ₁	0,0020	0,0293	0,0634	0,0619
Y	SP ₂	0,0207	0,1050	—	0,0802
	SP ₁	0,9792	0,9259	0,8959	0,8970
E	SP ₂	0,9367	0,8715	—	0,8851
	SP ₁	225	52,5	33	33,5
K	SP ₂	64	23,9	—	28,5
	SP ₁	0,13	2	4,454	4,348
(cm ²)	SP ₂	1,395	7,647	—	5,707
	SP ₁	0	0	0	0
(cm ²)	SP ₂	0	0	0	0
A_{max}		1,395	7,647	4,454	5,707
(cm ²)					0,76.

N/V. II.

Vérifications :

1. Condition de la Non fragilité :

$$A \geq b \cdot h \cdot 4 \cdot \frac{\bar{\sigma}_b}{\bar{\sigma}_a} \left(\frac{ht}{l} \right)^2 = 30 \cdot 31,5 \cdot 0,54 \cdot \frac{5,9}{2800} \left(\frac{35}{31,5} \right)^2 = 1,32 \text{ cm}^2$$

- Vérifié -

2. Condition sur la flèche :

$$2_1 - ht \geq \frac{1}{16} l = \frac{4,22}{16} = 26,37 > 35 \text{ cm}$$

- Vérifié -

$$2_2 - ht \geq \frac{1}{10} \cdot \frac{M_t}{M_o} \cdot l.$$

SP₁

Pontons	1-2	2-3	3-4	5-6	6-7	7-8
l	3,3	1,3	3,9	3,3	1,3	3,9
M_t	1,547	-0,964	3,077	1,836	-0,317	3,426
M_o	2,532	0,392	4,711	2,7	0,142	5,038
ht	20,16	/	25,47	22,44	/	26,52
Vérif	Vérif	Vérif	Vérif	Sauf	Sauf	Sauf

SP₂

Pontons	1-2	2-3	3-4	4-5	6-7	7-8
l	3,3	1,3	3,9	3,3	1,3	3,9
M_t	3,497	-0,816	4,216	3,663	-0,103	4,808
M_o	3,222	0,15	5,64	3,727	0,578	6,4
ht	25,57	/	29,1	27,9	/	29,3
Vérif	Vérif	Vérif	Vérif	Vérif	Vérif	Vérif

$$2.3. A \leq \frac{43}{G_{en}} bh = \frac{43}{4200} \cdot 30 \cdot 31,5 = 9,675 \text{ cm}^2 \quad \text{- Vérifié -}$$

3. Condition de non entraînement des barres :

$$\bar{\sigma}_b = \bar{\tau}_{d1} = 24d \cdot \bar{\sigma}_s = 17,7 \text{ kg/cm}^2$$

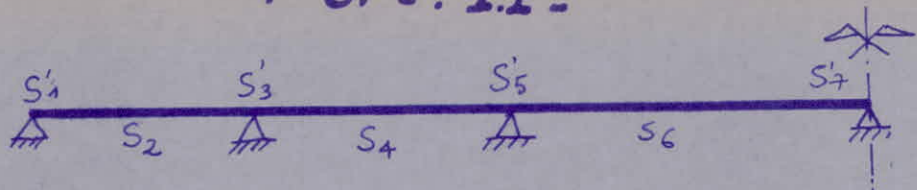
$$\text{On doit vérifier } \bar{\tau}_d = \frac{T}{G_d} < \bar{\tau}_d$$

$$T_{max} = 9,84. \quad (\text{plus défavorable})$$

$$\bar{\tau}_d = \frac{9840 \cdot 8}{G_d \cdot 1,6 \cdot 7 \cdot 31,5} = 11,84 < \bar{\tau}_d.$$

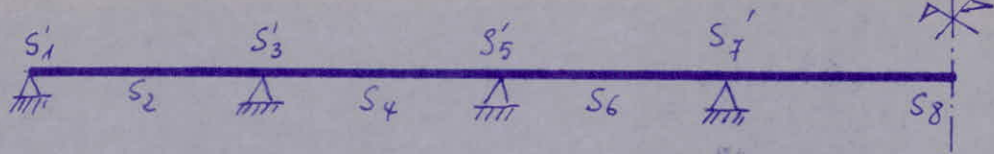
Toutes ces conditions sont vérifiées pour le Pont 55.

Port. II.



		S_1'	S_2	S_3'	S_4	S_5'	S_6	S_7'
M (tm)	SP ₁	0,153	0,346	0,472	0,325	0,728	0,651	0,828
	SP ₂	2,322	0,85	1,921	0,487	2,872	1,056	2,228
μ	SP ₁	0,0028	0,0062	0,0085	0,0059	0,0131	0,0117	0,0149
	SP ₂	0,0279	0,0102	0,0231	0,0058	0,0273	0,0127	0,0267
E	SP ₁	0,9756	0,9640	0,9583	0,9650	0,9490	0,9517	0,9457
	SP ₂	0,9275	0,9548	0,9335	0,9650	0,9281	0,9498	0,9291
K	SP ₁	190	124	105	128	83	88,5	77
	SP ₂	54	95,5	60	128	54,5	84,5	55,5
A (cm ²)	SP ₁	0,178	0,407	0,558	0,382	0,87	0,775	1,0
	SP ₂	1,892	0,673	1,565	0,384	1,85	0,84	1,81
A' (cm ²)	SP ₁	0	0	0	0	0	0	0
	SP ₂	0	0	0	0	0	0	0
A_{max} (cm ²)		1,892	0,673	1,565	0,382	1,85	0,84	1,81
M (tm)	SP ₁	0,371	0,627	0,742	0,736	1,325	1,126	1,452
	SP ₂	3,556	0,539	2,862	0,966	3,58	1,358	3,495
μ	SP ₁	0,0067	0,0113	0,0134	0,0132	0,0239	0,0203	0,0261
	SP ₂	0,0427	0,0113	0,0343	0,0116	0,0430	0,0163	0,0419
E	SP ₁	0,9630	0,3524	0,3585	0,9497	0,9324	0,9375	0,9294
	SP ₂	0,9124	0,3524	0,9204	0,9519	0,9120	0,9435	0,9132
K	SP ₁	120	90	82	82,5	69	65	56
	SP ₂	42	90	47,8	89	47,8	73,5	42,6
A (cm ²)	SP ₁	0,436	0,746	0,777	0,88	1,611	1,362	1,77
	SP ₂	2,946	0,745	2,35	0,767	2,967	1,082	2,892
A' (cm ²)	SP ₁	0	0	0	0	0	0	0
	SP ₂	0	0	0	0	0	0	0
A_{max} (cm ²)		2,946	0,746	2,35	0,88	2,967	1,362	2,892

Port. IV. IV.



		S_1'	S_2	S_3'	S_4	S_5'	S_6	S_7'	S_8
M (km)	SP ₁	0,153	0,712	0,445	0,853	0,449	0,512	0,348	0,556
	SP ₂	1,802	0,751	1,641	0,474	1,576	0,291	1,389	0,896
N	SP ₁	0,028	0,0128	0,008	0,0154	0,0081	0,0092	0,0063	0,0100
	SP ₂	0,0216	0,0090	0,0197	0,0057	0,0189	0,0035	0,0167	0,0036
E	SP ₁	0,9766	0,9495	0,9597	0,9451	0,9593	0,9569	0,9640	0,9552
	SP ₂	0,9365	0,9573	0,9383	0,9655	0,9394	0,9573	0,9429	0,9669
K	SP ₁	190	84	109	76	108	101	124	96,5
	SP ₂	62,5	102	66	130	67,5	138	72,5	136
A (km)	SP ₁	0,178	0,85	0,525	1,023	0,530	0,606	0,407	0,660
	SP ₂	1,456	0,593	1,322	0,371	1,268	0,227	1,113	0,231
A' (km)	SP ₁	0	0	0	0	0	0	0	0
	SP ₂	0	0	0	0	0	0	0	0
A_{max} (km)		1,456	0,85	1,322	1,023	1,268	0,606	1,113	0,66
M (km)	SP ₁	0,378	0,607	0,847	0,747	0,84	0,259	2,976	4,06
	SP ₂	2,797	1,158	2,47	0,833	2,412	0,364	4,206	3,58
N	SP ₁	0,0069	0,0109	0,0152	0,0134	0,0151	0,0047	0,0636	0,0731
	SP ₂	0,0336	0,0139	0,0296	0,0100	0,0289	0,0440	0,0505	0,0430
E	SP ₁	0,9627	0,9533	0,9454	0,9585	0,9454	0,9286	0,9031	0,8894
	SP ₂	0,9211	0,9476	0,9456	0,9552	0,9265	0,9111	0,9057	0,9120
K	SP ₁	119	92	76,5	82	76,5	114	36,6	30,2
	SP ₂	48,4	80,5	52,3	96,5	53	41,2	38	41,8
A (km)	SP ₁	0,455	0,722	1,00	0,877	1,00	0,303	3,74	5,175
	SP ₂	2,295	0,923	1,974	0,66	1,967	0,302	3,51	2,967
A' (km)	SP ₁	0	0	0	0	0	0	0	0
	SP ₂	0	0	0	0	0	0	0	0
A_{max} (km)		2,295	0,923	1,974	0,877	1,967	0,303	3,74	5,175

Vérifications:

1. Condition de non fragilité:

$$A \geq b \cdot h \cdot 4 \cdot \frac{\bar{\sigma}_b}{\bar{\sigma}_a} \left(\frac{ht}{h} \right)^2$$

$$SP_1: A \geq 30 \cdot 31,5 \cdot 0,54 \cdot \frac{519}{2800} \left(\frac{35}{31,5} \right)^2 = 1,32 \text{ cm}^2$$

$$SP_2: A \geq 30 \cdot 31,5 \cdot 0,54 \cdot \frac{8,85}{4200} \left(\frac{35}{31,5} \right)^2 = 1,31 \text{ cm}^2$$

2. Condition sur la flèche:

$$2_1. \quad ht \geq \frac{1}{16} l. = \frac{4,22 \cdot 10^2}{16} = 26,4. > 35 \text{ cm.}$$

$$2_2. \quad h \geq \frac{1}{10} \frac{M_L}{N_0} l. \quad (\text{Vérifié pour toutes les travées})$$

$$2_3. \quad A \leq \frac{43}{60} b \cdot h. = \frac{43}{4200} \cdot 30 \cdot 31,5 = 9,7 \text{ cm}^2 \quad (\text{Vérifié})$$

3. Condition de non entraînement des barres

$$\bar{\sigma}_d = 2 \cdot t_d \cdot \bar{\sigma}_b.$$

$$\text{sous } SP_1: \quad \bar{\sigma}_d = 17,7 \text{ kg/cm}^2$$

$$\text{sous } SP_2: \quad \bar{\sigma}_d = 26,55 \text{ kg/cm}^2$$

on doit vérifier que:

$$t_d = \frac{T}{m.p.z} < \bar{\sigma}_d$$

$$n=2$$

$$p = \pi \cdot \phi$$

$$\phi = 1,6$$

$$z = \frac{7}{8} h$$

$$h = 31,5$$

$$T_{max} = 8,7 t$$

$$\sigma_d = \frac{8,7 \cdot 10^3}{2 \cdot \pi \cdot 1,6 \cdot \frac{7}{8} \cdot 31,5} = 9,85 \text{ kg/cm}^2 < \bar{\sigma}_d$$

vérifier pour SP_2 (forcement). ($T = 9,8 t$)

$$SP_2: \quad \sigma_d = 11,84 < \bar{\sigma}_d (26,55 \text{ kg/cm}^2)$$

Vérification à la fissuration :

$$\bar{\omega}_f = \frac{A}{B_f} = \frac{9}{2.35.30} = 0,043.$$

$$B_f = 2d_b.$$

$$A_{max} = 9 \text{ cm}^2.$$

$K = 10^6$ fissuration préjudiciable.

$$\phi = 16 \text{ mm}$$

$$\gamma = 1,6 \quad (\text{H.A})$$

$$\tilde{\sigma}_1 = K \cdot \frac{\gamma}{\phi} \frac{\bar{\omega}_f}{1 + 10 \bar{\omega}_f} = \frac{10^6 \cdot 1,6 \cdot 0,043}{16 (1 + 0,43)} = 2,3 \cdot 10^3 \text{ kg/cm}^2$$

$$\underline{\sigma_1 = 2300 \text{ kg/cm}^2}$$

$$\tilde{\sigma}_2 = 2,4 \sqrt{\frac{K \cdot \gamma \cdot \bar{\sigma}_b}{\phi}} = 2,4 \sqrt{\frac{10^6 \cdot 1,6 \cdot 5,9}{16}}$$

$$\underline{\bar{\sigma}_2 = 2887,5 \text{ kg/cm}^2}$$

$$\bar{\sigma}_a = \min \begin{cases} 2800 \text{ kg/cm}^2 \\ \max(\sigma_1, \sigma_2) = 2887,5 \text{ kg/cm}^2 \end{cases} \rightarrow \underline{\bar{\sigma}_a = 2800 \text{ kg/cm}^2}$$

Vérification à l'effort tranchant :

vu que les sections sur appuis sont renforcées les vérifications à l'effort tranchant ne sont pas nécessaires - ($t_{max} = 9t$).

o Armatures Transversales. o

Remarque : Les armatures transversales seront calculées à l'aide de l'effort tranchant maximal, ainsi on adoptera le même ferrailage pour toutes les autres parties.

*- Partique (3-3) : Appui (8) sous $(G + P + S_{IV} \downarrow + S_{IH} \rightarrow)$. (SP_2)

$$T_{\max} = 9,84 t$$

$$M_{\text{corr}} = 5,92 t \cdot m$$

$$A = 12,06 \text{ cm}^2$$

$$\bar{\omega} = \frac{100 A}{b \cdot h} = \frac{1206}{30 \times 27} = 1,488 \xrightarrow{\text{Tabl.}} \begin{cases} \varepsilon = 0,8753 \\ k = 25,1 \\ \mu = 0,0979 \end{cases}$$

$$\sigma_a = \frac{M}{\mu b \cdot h^2} = 4147,45 \text{ kg/cm}^2$$

$$\sigma'_b = \frac{\sigma_a}{k} = 165,23 \text{ kg/cm}^2 < 206,4 \text{ kg/cm}^2 = \bar{\sigma}'_b$$

$$\tau_b = \frac{T_{\max}}{b \cdot 3} = 13,88 \text{ kg/cm}^2$$

$$\bar{\tau}_{b_1} = 3,5 \bar{\sigma}_b = 3,5 \cdot 8,9 = 31,15 \text{ kg/cm}^2$$

$$\bar{\tau}_{b_2} = \left(4,5 - \frac{\bar{\sigma}_b}{\bar{\sigma}'_{b_0}} \right) \bar{\sigma}_b = \left(4,5 - \frac{165,23}{103,2} \right) \cdot 8,85 = 25,8 \text{ kg/cm}^2$$

on a $\tau_b < \bar{\tau}_{b_2}$ et $\bar{\sigma}'_b < \sigma_b < 2\bar{\sigma}'_b$ on va utiliser des couloirs et des étriers.

Contrainte admissible des armatures transversales :

$$\bar{\sigma}_{at} = f_a \cdot \sigma_{en} \quad f_a = \max \left\{ 1 - \frac{\tau_b}{9\bar{\sigma}_b}, \frac{1}{2} \right\} = 0,8257$$

$$\text{d'où } \bar{\sigma}_{at} = 0,8257 \cdot 2400 = 1981,68 \text{ kg/cm}^2$$

$$\text{On mettra 1 couloir et 1 étrier } \phi 8 \rightarrow A_t = 2,01 \text{ cm}^2$$

$$\cdot t_0 = \frac{A_t \cdot g \cdot \bar{\sigma}_{at}}{T_{max}} = \frac{2,01 \cdot 28 \cdot 1981,68}{9840} = 11,33 \text{ cm}$$

• Espacement admissible :

$$\begin{aligned} \bar{t} &= \max. \left\{ t_1 = 0,2h = 6,4 \text{ cm} \right. \\ &\quad \left. t_2 = \left(1 - 0,3 \frac{T_b}{\bar{\sigma}_b} \right) h = 16,94 \text{ cm.} \right\} = 17 \text{ cm.} \end{aligned}$$

* - Complément aux règles parasismiques (CTC) :

. En zone nodale : $\bar{t} = \min(0,3h_f; 12\phi) = 9,6 \text{ cm}$

. En dehors de cette zone : $\bar{t} = 0,5h_f = 17,5 \text{ cm.}$

On prendra donc $t = 9 \text{ cm}$ en zone nodale et on suivra la suite de Caquot ailleurs.

- FERRAILLAGE POTEAUX -

A / Formations longitudinales :

Les poteaux seront calculés en flexion composite, chaque poteau est soumis à un effort normal N et à des moments fléchissants au têtu et à la base dans le sens longitudinal et transversal, ces moments sont au nombre de 4. Le calcul de poteaux sera effectué sous la sollicitation du 1^{er} étage (G+1,2P) et sous la plus défavorable des sollicitations du 2^e étage SP₂, en prenant le poteau le plus sollicité dans chaque portique sous

$$\begin{cases} M_{\max} \\ N_{\text{corr}} \end{cases}$$

* - Détermination des formations longitudinales :

- Méthode de calcul :

Pour chaque section étudiée, on calculera $e_0 = \frac{M}{N}$ et $e_1 = \frac{ht}{6}$
ou M : moment fléchissant max par rapport au centre de gravité de la section du béton seul, N : effort normal de compression correspondant.
 ht : hauteur totale de la section.

- On peut alors avoir les 3 cas suivants :

- $e_0 > e_1 \rightarrow$ la section est partiellement comprimée.
- $e_0 < e_1 \rightarrow$ la section est entièrement comprimée.
- $e_0 = 0 \rightarrow$ la section est soumise à la compression simple ($M=0$)

- Contrainte de compression admissible : $\bar{\sigma}_b'$

- Si $e_0 < \frac{ht}{2}$ ou a $\bar{\sigma}_b' = \left(1 + \frac{e_0}{3e_1}\right) \bar{\sigma}_{b0}'$
 - Si $e_0 > \frac{ht}{2}$ ou aura $\bar{\sigma}_b' = 2 \bar{\sigma}_{b0}'$
- avec :
 $\bar{\sigma}_{b0}' = 68,5 \text{ kg/cm}^2$ sous SP₁.
 $\bar{\sigma}_{b0}' = 102,75 \text{ kg/cm}^2$ sous SP₂.

1^o Section entièrement comprimée : (Méthode P.C.H. Arm. sym.)

- $M = M_{GB}$: moment de flexion par rapport au centre de gravité du béton.
- $N = \text{effort normal décomposant}$.
- $d'_1 = d'_2$: distance du centre de gravité des armatures à la face extérieure
- $\delta' = \frac{d'_1}{ht} = \frac{d'_2}{ht}$; • $\rho = \frac{\bar{\sigma}_b \cdot b \cdot ht}{N}$, • $\beta = \frac{6M}{N \cdot ht}$, • $C = 0,27(1-2\delta')^2 \rho$
- $D = 0,3(\rho - \beta) - 0,9(1-\rho)(1-2\delta')^2$, • $E = \rho - \beta - 1$
- $\bar{W}' = \frac{1}{2C} (-D + \sqrt{D^2 - 4CE})$.

d'où alors la section d'armatures longitudinales : $A'_1 = A'_2 = \frac{\bar{W}' \cdot b \cdot ht}{100}$.

2^o Section partiellement comprimée : (Méthode du H. fictif).

- $cB = M + N \cdot f$. où f : distance du centre de gravité des aciers tendus au centre de gravité de la section du béton.

On calcule $\mu = \frac{15cB}{\bar{\sigma}_a \cdot b \cdot h^2}$ Tabl. $(K, \varepsilon) \rightarrow \sigma'_b = \frac{\bar{\sigma}_a}{K}$.

a/ Si $\sigma'_b < \bar{\sigma}'_b$: les armatures comprimées ne sont pas nécessaires, la section des aciers tendus est alors : $A = \frac{cB}{\bar{\sigma}_a \cdot \varepsilon \cdot h} - \frac{N}{\bar{\sigma}_a}$.

b/ Si $\sigma'_b > \bar{\sigma}'_b$: les armatures comprimées sont nécessaires, on calcule alors : $K_1 = \frac{15}{n} \cdot \frac{\bar{\sigma}_a}{\bar{\sigma}'_b}$, $K_2 = \frac{15(h-d')}{\bar{\sigma}'_b(h+d')}$

* Si $K_1 > K_2$ on prend K_1 Tabl. $(\alpha, \mu', \varepsilon)$

$$\cdot M_1 = \mu' b h^2 \bar{\sigma}'_b \rightarrow M_2 = cB - M_1$$

$$\cdot y = \alpha h \rightarrow \sigma'_a = \frac{15}{y} (y-d') \bar{\sigma}'_b \rightarrow \sigma'_a = 15 \cdot \frac{(\alpha-\delta')}{\alpha} \bar{\sigma}'_b$$

$$\cdot A' = \frac{M_2}{\sigma'_a(h-d')} \quad \text{et} \quad A = \frac{M_1}{\bar{\sigma}_a \cdot \varepsilon \cdot h} + \frac{M_2}{\bar{\sigma}_a \cdot (h-d')} \quad \text{d'où alors les armatures nécessaires sont :}$$

$$A'_n = A'$$

$$A_n = A - \frac{N}{\bar{\sigma}_a}$$

*- Si $K_1 < K_2$ on prend $K_2 \xrightarrow{\text{Tabl.}} (\mu', \varepsilon)$.

$$\cdot \bar{\sigma}'_b = \frac{15}{n} \cdot \frac{\bar{\sigma}_a}{K_2} \rightarrow M_1 = \mu' \cdot \bar{\sigma}'_b \cdot b \cdot h^2, M_2 = c\sqrt{b} - M_1$$

$$\text{et } A' = \frac{M_2}{\bar{\sigma}'_a(h-d')} ; A = A' + \frac{M_1}{\bar{\sigma}'_a \cdot \varepsilon \cdot h}$$

Alors les armatures nécessaires sont déterminées comme précédemment.

3°/ Section en compression simple :

La section d'armatures longitudinales doit vérifier les 3 conditions :

*- Section théorique : $A_L \geq \frac{1}{n} \left(\frac{N}{\bar{\sigma}'_{b0}} - B \right)$; B: section du bâti.

*- Condition de sécurité : $A_L \leq \frac{B}{20} \left[\frac{A_L}{B} \leq 5\% \right]$ C.C.B.A. 68.

*- $A_L \geq \frac{1,25}{1000} \cdot \theta_1 \theta_2 \theta_3 \cdot \frac{N}{\bar{\sigma}'_{b0}}$

θ_1 : coefficient qui tient compte des possibilités d'excentricité de la charge.

$\theta_1 = 1,8$ poteau d'angle.

$\theta_1 = 1,4$ poteau de rive

$\theta_1 = 1$ autres poteaux

$\theta_2 = 1 + \frac{l_c}{4a-2c}$ où l_c : longueur de flambement (Art 53.23.CCBA 68)

a: plus petite dimension transversale.

C: eurobague des aciers longitudinaux.

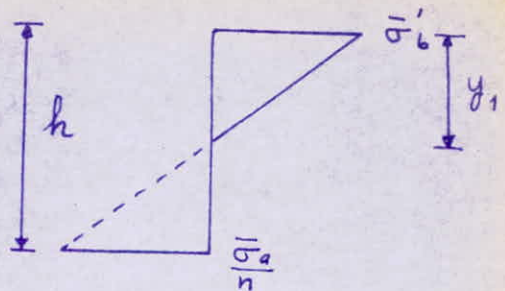
$\theta_3 = 1 + \frac{2160}{\sigma_{en}}$ (dépend de la nuance des aciers longitudinaux).

4°/ Pourcentage minimal d'acier :-

$$\frac{A_L}{B} = \omega_L \geq \frac{1,25}{1000} \cdot \theta_1 \theta_2 \theta_3 \cdot \frac{\sigma'_m}{\bar{\sigma}'_{b0}}, \theta_1, \theta_2, \theta_3 \text{ définis ci-dessus}$$

σ'_m : Contrainte moyenne de compression de la pièce sous les sollicitations du 1^{er} étage sur la section du bâti seul, $\sigma'_m = \frac{N}{B}$, pour les sections partiellement comprimées, σ'_m sera déterminée en considérant le diagramme de NAVIER:

- . On $y_1 = \frac{h \cdot \bar{\sigma}_b}{\bar{\sigma}_b + \bar{\sigma}_a}$
- . $B = b y_1 ; \bar{\sigma}'_m = \frac{N}{b \cdot y_1}$



5°/ Flambelement :-

- Si on a $\frac{l_c}{i} < 14,4$ le poteau ne flambe pas. C.C.B.A 68, ARE33
les pieces dont $i < 50$ sont non sujettes au flambelement, avec
 $i = \frac{l_c}{\lambda}$, et λ : rayon de giration $= \sqrt{\frac{I}{B}}$; $l_c = 0,7 l_o$

6°/ Complément C-T-C :

*.- Armatures longitudinales :

a/ Les armatures longitudinales doivent étre des armatures à haut adhérence

b/ Le diamètre minimum est de 12 mm en zone I et 14 mm en zone II et III.

c/ Le pourcentage minimum total des armatures est de :

. zone I et II $\begin{cases} 0,8\% \text{ poteaux intérieurs} \\ 0,9\% \text{ poteaux courants de façade ou pignon} \\ 1,0\% \text{ poteaux d'angle.} \end{cases}$

. zone III $\begin{cases} 1\% \text{ poteaux intérieurs} \\ 1,1\% \text{ poteaux courants de façade ou pignon.} \\ 1,25\% \text{ poteaux d'angle.} \end{cases}$

d/ Le pourcentage max. total des armatures est de 4% dans les zones de recouvrement et de 2,5% dans les zones courtes.

e/ Les crochets sont interdits aux recouvrements des arm. longitudinales

f/ La longueur minimale de recouvrement est de :

zone I et II (50 ϕ) ; zone III (60 ϕ)

g/ La distance entre les barres verticales sur une face du poteau ne doit pas dépasser 25 cm en zone I et II et 20 cm en zone III.

-FERRAILLAGE POTEAUX-

On étudie que un seul poteau le plus sollicité du bloc sous SPI et sous max. des 2 SP2 en flexion composée (M_{max} , N_{corr}).

* Calcul détaillé :

- Portique transversal 3-3, Poteau N° 4.

$$1/ \text{ Sous SPI } (G+1,2P) : \left\{ \begin{array}{l} M_{max} = 1,03 \text{ t.m} \\ N_{corr} = 11,633 \text{ t.} \end{array} \right.$$

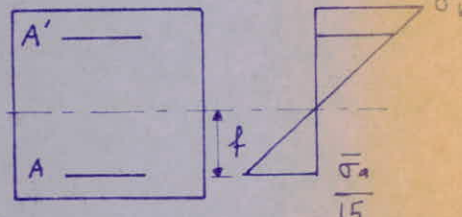
$$\cdot e_0 = \frac{M}{N} = \frac{103000}{11633} = 8,85 \text{ cm. ; } e_1 = \frac{ht}{6} = \frac{30}{6} = 5 \text{ cm.}$$

$$\cdot \text{ On a } e_0 > \frac{ht}{2} \rightarrow \bar{\sigma}'_b = \left(1 + \frac{e_0}{3e_1}\right) \cdot \bar{\sigma}'_{b0} = 108,91 \text{ kg/cm}^2$$

. Calcul du moment fictif :

$$M' = M + N \cdot f \quad \text{ où } f = \frac{h - d'}{2} = 12 \text{ cm.}$$

$$cM' = 103000 + 11633 \cdot 12 = 242596 \text{ Kg.cm.}$$



$$\cdot \mu = \frac{15 \cdot cM'}{\bar{\sigma}_a \cdot b \cdot h^2} = \frac{15 \cdot 242596}{2800 \cdot 30 \cdot 27^2} = 0,05942 \rightarrow \left\{ \begin{array}{l} E = 0,8988 \\ K = 34,4 \end{array} \right.$$

$$\cdot A = \frac{cM'}{\bar{\sigma}_a \cdot E \cdot h} - \frac{N}{\bar{\sigma}_a} = -0,584 \text{ (le béton seul résiste).}$$

$$\cdot \bar{\sigma}'_b = \frac{\bar{\sigma}_a}{K} = \frac{2800}{34,4} = 81,39 < \bar{\sigma}'_b = 108,91 \text{ kg/cm}^2 (A=0).$$

. vérifications :

$$\cdot \frac{A_L}{B} = \omega_L = \frac{1,25}{100} \cdot \theta_1 \cdot \theta_2 \cdot \theta_3 \cdot \frac{\bar{\sigma}'_m}{\bar{\sigma}'_{b0}} , \text{ avec } \bar{\sigma}'_m = \frac{N}{by_1}$$

$$\cdot \text{ et } y_1 = \frac{h \cdot \bar{\sigma}'_b}{\bar{\sigma}'_b + \bar{\sigma}_a} = \frac{27 \cdot 108,91}{108,91 + 2800} = 9,94 \text{ cm. ; } \bar{\sigma}'_m = \frac{11633}{30 \cdot 9,94} = 39,01 \text{ kg/cm}^2$$

. $\theta_1 = 1,4$ (Poteau de rive)

$$\theta_2 = 1 + \frac{l_c}{4a + 2c} = 2,45 \quad \left\{ \begin{array}{l} l_c = 0,7 \cdot 285 = 199,5 \text{ cm.} \\ a = 30 \text{ cm.} \\ c = 3 \text{ cm.} \end{array} \right.$$

$$\theta_3 = 1 + \frac{2160}{\sigma_{en}} = 1,514.$$

$$\text{dim : } A_L = 3,43 \text{ cm}^2$$

Portique 3-3, Poteau N° 4

2/ Ferrailage sous SP2 : $(G + P + SIV + SH)$

. Contrainte : $\bar{\sigma}_a = 4200 \text{ kg/cm}^2$.

$$\bar{\sigma}'_{b_0} = 102,75 \text{ kg/cm}^2.$$

. $M_{\max} = 4,101 \text{ t.m}$
 $N_{\text{corr.}} = 4,782 \text{ t}$

. $e_0 = \frac{M}{N} = \frac{410100}{4782} = 85,76 \text{ cm} ; e_1 = \frac{ht}{6} = 5 \text{ cm.} \quad \left\{ e_0 > e_1 \right.$

. Calcul du moment fictif : cKG :

. $cKG = M + N.f \quad ; \quad \text{avec } f = \frac{h-d'}{2} = \frac{27-3}{2} = 12 \text{ cm.}$

$$cKG = 410100 + 4782 \cdot 12 = 467484 \text{ kg.cm.}$$

. $\mu = \frac{15cKG}{\bar{\sigma}_a b \cdot h^2} = 0,0763 \rightarrow \begin{cases} E = 0,8874 \\ K = 29,4 \end{cases}$

. $A = \frac{cKG}{\bar{\sigma}_a \cdot E \cdot h} - \frac{N}{\bar{\sigma}_a} = 2,93 \text{ cm}^2$

. $\bar{\sigma}'_b = \frac{\bar{\sigma}_a}{K} = \frac{4200}{29,4} = 142,85 \text{ kg/cm}^2 ; \bar{\sigma}'_b = \left(1 + \frac{e_0}{3e_1}\right) \bar{\sigma}'_{b_0} = 690,20 \text{ kg/cm}^2$

. d' où alors on a $\bar{\sigma}'_b < \bar{\sigma}'_b \rightarrow A' = 0$ (les aciers comprimés sont inutiles)

*- Vérifications:

$$\frac{A_L}{B} = \omega_L = \frac{1,25}{1000} \cdot \theta_1 \cdot \theta_2 \cdot \theta_3 \cdot \frac{\bar{\sigma}'_m}{\bar{\sigma}'_b} \quad \text{avec } \bar{\sigma}'_m = \frac{N}{b y_1} .$$

$$\text{et } y_1 = \frac{h \cdot \bar{\sigma}'_b}{\bar{\sigma}'_b + \frac{\bar{\sigma}_a}{15}} = \frac{27 \cdot 690,2}{690,2 + \frac{4200}{15}} = 19,20 \text{ cm} ; \bar{\sigma}'_m = \frac{4782}{30 \cdot 19,2} = 8,3 \text{ kg/cm}^2$$

. $\theta_1 = 1,4$ (Poteau de rive)

$$\theta_2 = 1 + \frac{l_c}{4a+2c} = 2,75 \quad \left\{ \begin{array}{l} l_c = 0,7 \cdot 285 = 199,5 \\ a = 30 \text{ cm} \\ c = 3 \text{ cm.} \end{array} \right.$$

$$\theta = 1 + \frac{2160}{\bar{\sigma}_m} .$$

$$\cdot \theta_3 = 1 + \frac{2160}{4200} = 1,514$$

d'où alors la section minimale d'acier :

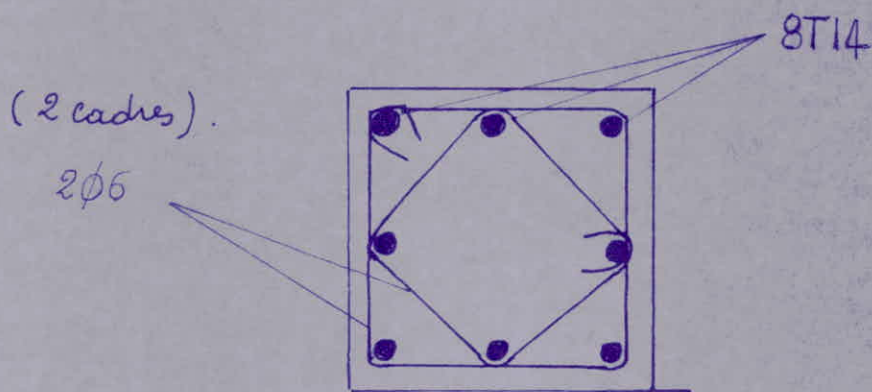
$$A_L = \overline{30}^2 \left(\frac{1,25}{1000} \cdot 1,4 \cdot 2,75 \cdot 1,514 \cdot \frac{8,3}{102,75} \right) = 0,529 \text{ cm}^2$$

. La section minimale d'acier préconisée par le C.T.C. :

Le % minimale est de 1% : (zone I et II, Poteaux de rive).

d'où $A_{min} = B \cdot \bar{w} = 900 \cdot 0,01 = 9 \text{ cm}^2$, de plus le diamètre minimal des zones II et III est de 14 mm.

d'où alors tous les poteaux sont ferrailés par le complément CTC.
on prendra : 8T14 ($12,31 \text{ cm}^2$)



. Vérification au flambement :

Si $\frac{lc}{a} < 14,4$ pas de flambement :

$$\cdot \frac{0,7 \cdot 285}{30} = 49,87 > 14,4.$$

. Les pièces dont $\lambda \leq 50$ sont non sujettes au flambement.

$$\lambda = \frac{lc}{i} \quad \text{où } i = \sqrt{\frac{I}{B}} \quad \text{avec } I = \frac{bh_f^3}{12} = \frac{30^4}{12} = 67500 \text{ cm}^4$$

$$B = 30 \times 30 = 900 \text{ cm}^2$$

$$i = \sqrt{\frac{67500}{900}} = 8,66 \text{ cm.}$$

$$\text{d'où alors } \lambda = \frac{199,5}{8,66} = 23,03 < 50 \Rightarrow \text{les poteaux ne flambent pas.}$$

B/ Formations Transversales :

Les armatures transversales ont pour rôle de s'opposer au flambement des armatures longitudinales qui pourraient ainsi provoquer l'éclatement du béton, et de positionner les armatures longitudinales.

*- Zone courante :

- L'espacement admissible est donné par: $\bar{t} = \min \left\{ t_1 = (100\phi_t - 15\phi_{e,\max}) \left(2 - \frac{\sigma_b}{\sigma_{b,c}} \right), t_2 = 15 \left(2 - \frac{\sigma_b}{\sigma_{b,c}} \right) \phi_{e,\min} \right\}$
- on prend $\sigma_b = \bar{\sigma}_{b,c}$ (cas le plus défavorable)
- . $t_1 = 100\phi_t - 15\phi_{e,\max} = (100 \cdot 0,6 - 15 \cdot 1,4) = 39 \text{ cm}$
 - . $t_2 = 15 \cdot \phi_{e,\min} = 15 \cdot 1,4 = 21 \text{ cm}$.
 - . $\phi_t \geq 0,3\phi_{e,\max} = 0,3 \cdot 1,4 = 0,42 \Rightarrow \phi_t = 6 \text{ mm}$.
- Alors $\bar{t} = 21 \text{ cm}$.

*- Zone de recouvrement :

- . γ nombre de cours d'armatures transversales

$$\begin{cases} \gamma \geq 3 \\ \gamma \geq 0,4 \cdot \frac{\phi_e^2}{\phi_t^2} \cdot \frac{\sigma_{ent} \cdot l}{\sigma_{ent}} = 0,4 \cdot \frac{1,4^2}{0,6^2} \cdot \frac{4200}{2400} = 3,81 \end{cases} \Rightarrow \gamma = 4$$

Longueur de recouvrement :

$$l_d = \frac{\phi_e l}{4} \cdot \frac{\bar{\sigma}_a}{\bar{\sigma}_b} \quad \text{avec} \quad \bar{\sigma}_d = 1,25 \psi_d^2 \cdot \bar{\sigma}_b = 1,25 \cdot 1,15^2 \cdot 5,9 = 16,59 \text{ kg/cm}^2$$

$$l_d = \frac{1,4}{4} \cdot \frac{2800}{16,59} = 59,07 \text{ cm} \quad \Rightarrow l_d = 70 \text{ cm.}$$

Écartement : $t = \frac{70}{4} = 17,5 \text{ cm}$. on prend $t = 17 \text{ cm}$.

Remarque: Le complément C.T.C recommande de prendre une longueur de recouvrement au moins égale à $50\phi_e$: $l_r \geq 50\phi_e = 70 \text{ cm}$.

d'où alors on prend $l_r = 70 \text{ cm}$.

- VERIFICATION AU SEISME -

On doit vérifier que les armatures transversales sont susceptible de reprendre l'effort Tranchant dû au séisme développé aux extrémités des poteaux. Les armatures transversales seront calculées de la même façon que celles des poutres, on calculera l'espacement t répondant à cette condition pour le poteau le plus sollicité, alors cet espacement sera adopté pour tous les autres poteaux.

Le portique III-III : sera sollicité par la force horizontale totale de $F_t = 15,45 t$. poteaux de rive : $F_{t,8} = 1,62 t$

Poteaux intermédiaires : $F_{t,7} = 2,03 t$.

$$T = 2,03 t \rightarrow \tau_b = \frac{T}{b z} = \frac{2030}{30 \cdot \frac{730}{8}} = 2,57 \text{ kg/cm}^2$$

On prend 2 cannes de $\phi 6$, $A_t = 1,13 \text{ cm}^2$

$$\sigma_{at} = f \cdot \sigma_{en} \quad \text{où} \quad f = \begin{cases} 2/3 = 0,6666 \\ 1 - \frac{\tau_b}{9\tau_b} = 1 - \frac{2,57}{9,59} = 0,9516 \end{cases}$$

alors $\sigma_{at} = 0,9516 \cdot 2400$

$$\sigma_{at} = 2283,84 \text{ kg/cm}^2.$$

*- Espacement :

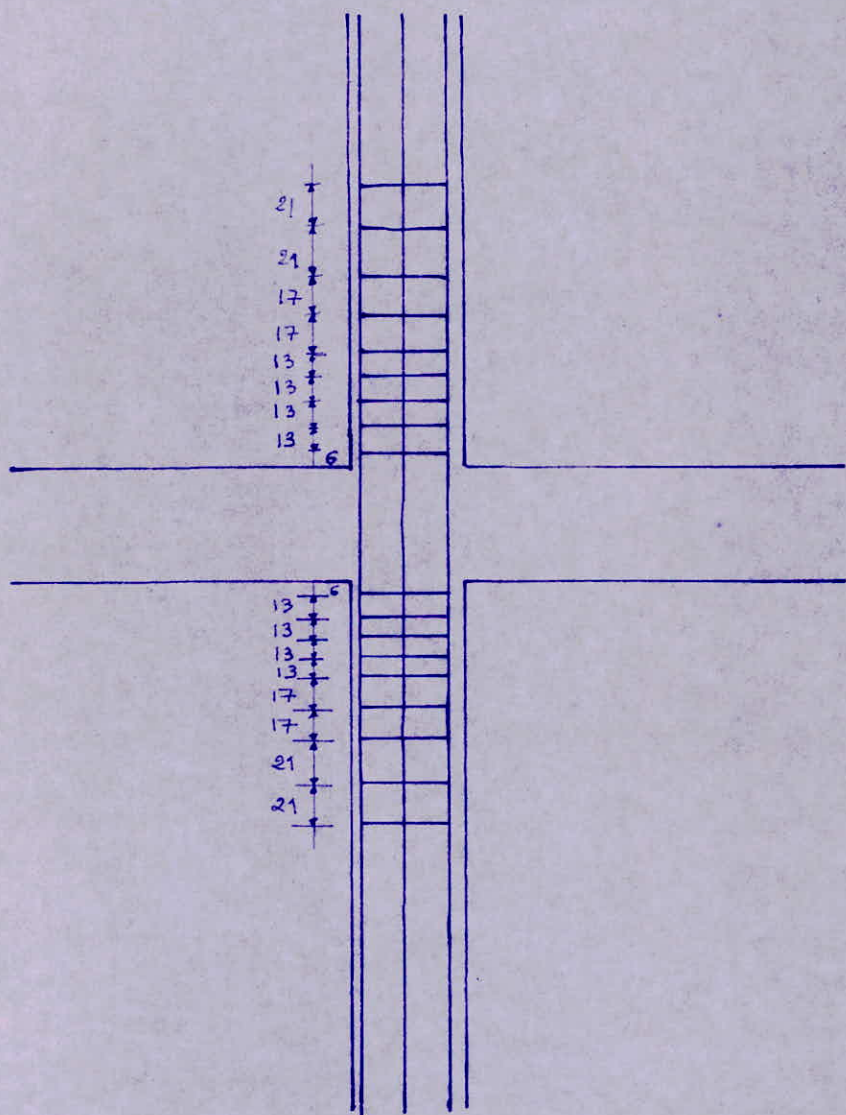
$$t = \frac{A_t \cdot \sigma_{at} \cdot z}{T} = \frac{1,13 \cdot 2283,84 \cdot 2635}{2030} = 33,37 \text{ cm.}$$

Pour avons adopté un espacement $t = 17 \text{ cm.} < 33,37 \text{ cm.}$

Recommandation P.S. 69 :

Dans les poteaux, de part et d'autre du nœud sur une longueur égale au $\frac{1}{6} h$, h : hauteur libre du poteau, l'espacement max. des armatures transversales doit être réduit aux $\frac{4}{5}$ de l'espacement max. normalement admis.

$$\text{On a } t = 17 \text{ cm} \rightarrow \frac{4}{5} \cdot 17 = 13,6 \text{ cm} \rightarrow t = 13 \text{ cm.}$$



-VOILES PERIPHERIQUES-

*- Un bâtiement doté d'un voile périphérique, son rôle est de répartir les moments au bas de tous les poteaux de rive du rez-de chaussée.

Ce voile ayant des caractéristiques suivantes :

*- hauteur : $h \geq \max\left(\frac{1}{10} \text{ hauteur du B}_c^t, 0,8 \text{ m}\right)$.

*- épaisseur : $e \geq \max\left(\frac{1}{10} \text{ de sa hauteur ; } 0,15 \text{ m}\right)$.

*- armatures longitudinales filants supérieurs et inférieurs de sections $\geq 0,2\%$ de la section transversale totale du bâtiement avec recouvrement $\geq 50\phi$, équerre de renforcement dans les angles.

*- armatures longitudinales de peau, de section $\geq 2 \text{ cm}^2$ par face et par mètre linéaire de hauteur.

*- Application :

$$- h \geq \max\left(\frac{7,66}{10}; 0,8\right) = 0,8 \text{ m}$$

or on a $h = 1,80 \text{ m}$. (vide sanitaire $h_s = 0,70$, profondeur des semelles $(1,50 - 40) = 1,10 \text{ m}$)

$$- e \geq \max\left(\frac{180}{10}, 15 \text{ cm}\right) = 18 \text{ cm}, 0,18 \text{ m.}$$

$$- A_s = A_i \geq 0,2\% \cdot 180 \cdot 18 = 6,48 \text{ cm}^2 \rightarrow A = 3720$$

- armatures de peau : $578 \rightarrow s = 2,51 \text{ cm}^2/\text{ml de hauteur}$

- FONDATIONS -

La contrainte admissible du sol est de $1,5 \text{ kg/cm}^2$ à $1,5 \text{ m}$ d'ancrage à partir du terrain naturel.

Pour adopterons des fondations superficielles, pour tracé l'implantation nous utiliserons 2 types de fondations:

- Semelles isolées sous un poteau (3 semelles : S_1, S_2, S_3) canées.
- Semelles flantes sous deux poteaux (2 semelles : S_4, S_5) suivant l'entrée et la position des poteaux.

Les semelles reposent sur une enceinte de bêton de proportion de 10 cm d'épaisseur, et seront calculées sous la sollicitation SP ($G + 1,2 P$) (l'effort normal max (N_{max})), du fait que les moments des poteaux (en leur base) au niveau de reg-de chaussée sont supposés repris par le voile périphérique entourant notre bâtiment.

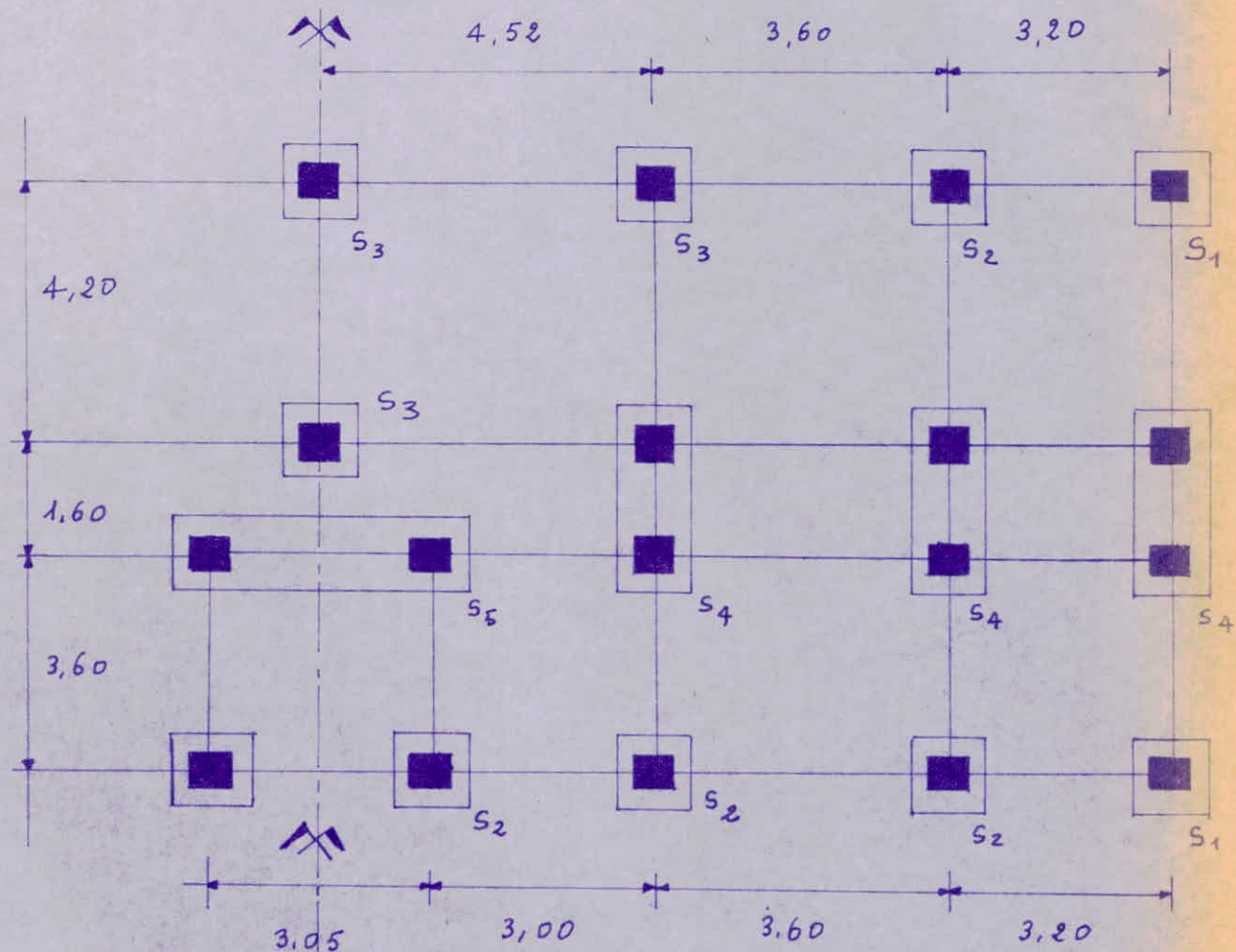
Tous les poteaux sont de dimension (30×30) cm, toutes les semelles isolées sont canées.

- MÉTHODE DE CALCUL -

Les semelles isolées sont calculées par la méthode des briques, tandis que les semelles flantes sont calculées comme des ponts renversés soumis à la réaction du sol et appuyés sur les poteaux, on aura alors des armatures supérieures en travée et inférieures en appui, dans l'autre sens le calcul se fera par la méthode de la R.D.M. ou de console (sous transversal).

Remarque : L'entasse des poteaux étant assez faible et l'inertie de la semelle plate est importante, on peut donc considérer que la répartition des contraintes est uniforme sur toute la longueur de la semelle.

Vue en plan de la $\frac{1}{2}$ implantation :-



Détermination des efforts normaux N_{max} sur les semelles
sous $SP_1 (f+1,2P)$.

Les résultats sont résumés dans le tableau ci-dessous :

Semelles	s_1	s_2	s_3	s_4	s_5		
l'effet normal	$N(t)$	$N(t)$	$N(t)$	$N_1(t)$	$N_2(t)$	$N_1(t)$	$N_2(t)$
P. propre poteau	0,531	0,531	0,531	0,531	0,531	0,531	0,531
P. voile périphérique	3,009	2,74	3,73	—	/	/	/
P. longrine	1,02	1,545	1,851	1,908	1,44	1,507	1,507
N_{max} cumulé. R.C	16,96	28,14	34,96	29,61	22,52	29,66	29,66
$N_{total max.}$	21,52	32,95	41,07	32,05	24,50	31,70	31,70

Les semelles seront étudiées au compressiom simple N_{max} :

* - Semelle N° 1 : $N = 21,52 t$

Le côté de la semelle est donné par la relation suivante :

$$- A \geq \sqrt{\frac{N}{G_s}} = \sqrt{\frac{21520}{1,50}} = 119,77 \text{ cm.}$$

on prend $A = 130 \text{ cm.}$

$$- h > \frac{A-a}{4} = \frac{130-30}{4} = 25 \text{ cm.}, \text{ on prend } h = 30 \text{ cm.}$$

$$- h_t = 35 \text{ cm.}$$

$$- e = \left\{ \begin{array}{l} 6\phi + 6 \\ \sim \frac{h_t}{2} \simeq 18 \text{ cm} \end{array} \right\} \text{ on prend } e = 18 \text{ cm.}$$

- Poids propre de la semelle :

$$G_s = \left[A \cdot e + \frac{A+a}{2} (h_t - c) \right] A \cdot \rho_b \quad \text{ou } \rho_b : \text{densité du béton. } \rho = 2500 \text{ kg/m}^3$$

$$G_s = 1,202 \text{ t}$$

- Vérification de la contrainte dans le sol :

$$\sigma_s = \frac{N + G_s}{S} = \frac{21520 + 1202}{(130)^2} = 1,34 \text{ kg/cm}^2 < \bar{\sigma}_s = 1,5 \text{ kg/cm}^2$$

- Vérification de la condition de non-poinçonnement :

on vérifie que $\sigma_b \leq \bar{\sigma}_b$.

$$\sigma_b = \frac{1,5 N}{P_c \cdot h_t} \quad \text{où } P_c: \text{perimètre de diffusion à mi-hauteur de la semelle.}$$

$$\sigma_b = \frac{1,5 \cdot 21520}{4[35+30] \cdot 35} = 3,54 \text{ kg/cm}^2 < 5,9 \text{ kg/cm}^2 = \bar{\sigma}_b.$$

- Calcul des armatures :

Effets de traction des barres d'armature : $F = \frac{N(A-a)}{8(h_t-d)} = 8966,66 \text{ Kg}$

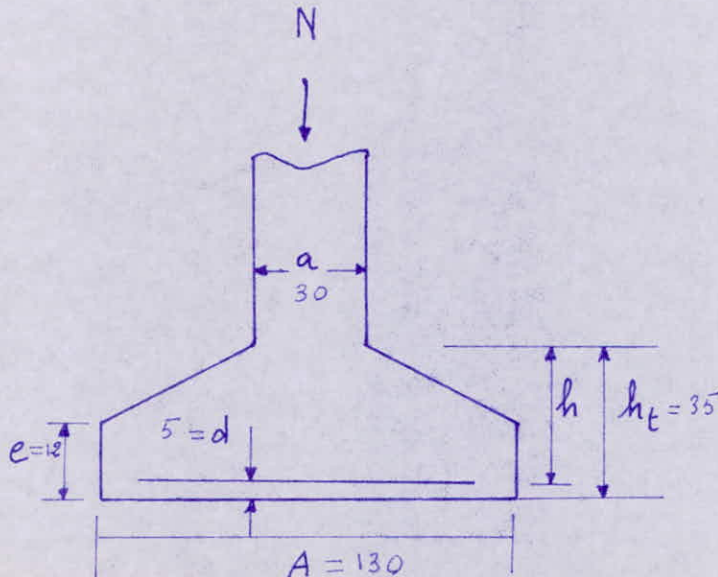
$$\text{alors } A = \frac{F}{\bar{\sigma}_a} = 3,20 \text{ cm}^2$$

- Choix des aciers : on prend 5T10 ($3,92 \text{ cm}^2$), espacés de 22 cm

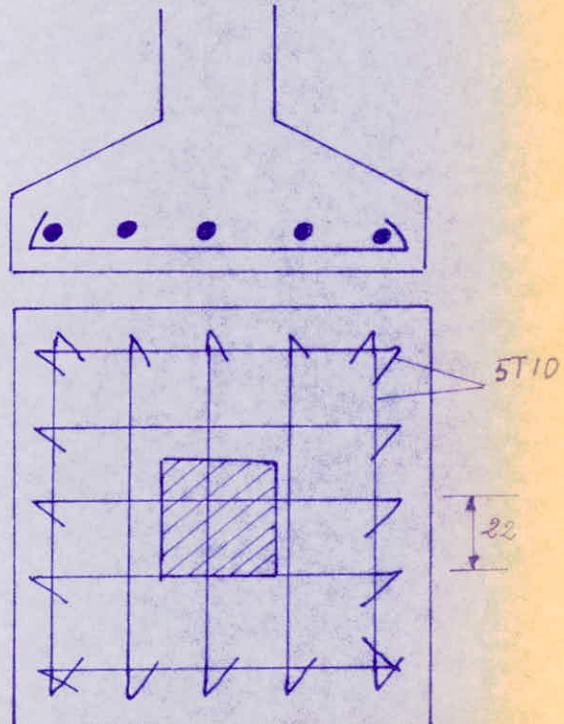
*- Caractéristiques géométriques

de la semelle N° 1 :

$$e = 6\phi + 6 = 12 \text{ cm.}$$



*- Ferrailage de la semelle N° 1:



Gemelles N° S₂ - S₃ :

Les résultats de calcul des gemelles isolées S₂ et S₃ sont résumés dans le tableau ci-dessous.

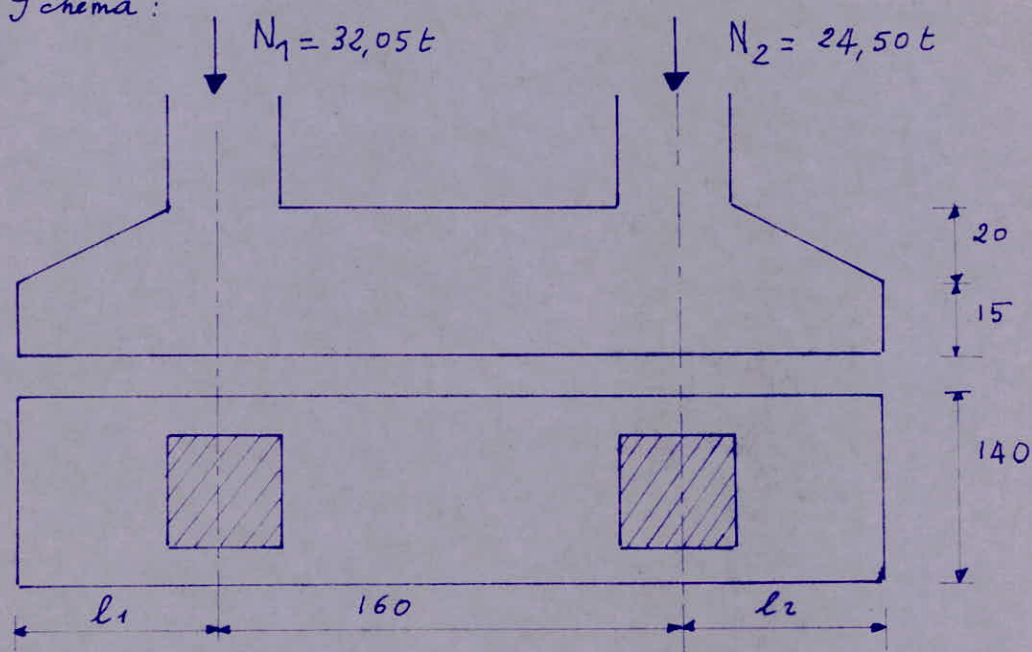
Semelle	S ₂	S ₃
N (t)	32,95	41,07
A (cm)	160	175
h _f (cm)	40	45
h (cm)	35	40
d (cm)	5	5
e (cm)	14	16
A calculé (cm ²)	6,72	6,64
A adoptée (cm ²)	7,96	7,96
châssis d'acier	7T12	7T12

Remarque :

Les deux vérifications (de la contrainte dans le sol, et la condition de non poinçonnement) sont faits au braille et sont vérifiés.

*- Etude de la semelle filante (S_4) :

- Schéma :



*- $R = N_1 + N_2 = 56,55 \text{ t}$

*- L'excentricité de la résultante par rapport au centre de la semelle est donnée par l'équation suivante :

$$N_1 \cdot \frac{1,6}{2} + R \cdot e - N_2 \cdot \frac{1,6}{2} = 0 \Rightarrow e = 10,68 \Rightarrow l_1 - l_2 = 10,68$$

Donc pour centrer la résultante des charges transmises des poteaux et avoir une répartition uniforme de contraintes, on dit avoir : $l_1 - l_2 = 10,68 \text{ cm}$.

*- Détermination de l_1 et l_2 :

on dit avoir $\sigma_s \leq \bar{\sigma}_s$ car $\frac{R}{s} \leq \bar{\sigma}_s$, d'où alors :

$$140(160 + 10,68 + 2l_2) \geq \frac{R}{\bar{\sigma}_s} = \frac{56550}{1,50} \quad \text{on tire } l_2.$$

$$l_2 \geq 49,30 \text{ cm}$$

$$\text{on prendra : } l_2 = 70 \text{ cm}$$

$$l_1 = 81 \text{ cm.}$$

* - Poids de la semelle :

$$G_s = [1,4 \cdot 0,15 + \frac{1,4 + 0,3}{2} \cdot 0,2] \cdot 3,11 \cdot 2,5 = 2,95 t$$

* - Vérification de la contrainte dans le sol :

$$\sigma_s = \frac{R + G_s}{S} = \frac{R + G_s}{A \cdot L} = \frac{56,55 + 2,95}{3,11 \cdot 1,4} = 1,36 \text{ kg/cm}^2 < \bar{\sigma}_s = 1,5 \text{ kg/cm}^2$$

* - Détermination des effets (Méthode de la R.D.M.)

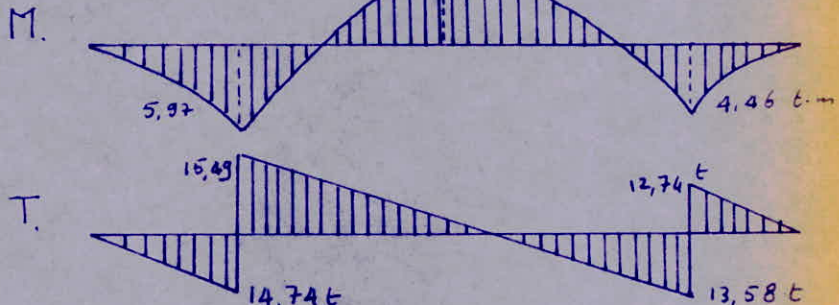
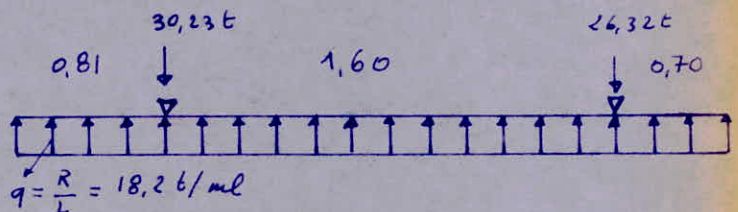
- Schéma statique :

$$- M_t = 4,5 t \cdot m$$

$$- M_{a1} = 5,97 t \cdot m$$

$$- M_{a2} = 4,46 t \cdot m$$

$$- T_{max} = 15,49 t$$



* - Ferrailage :

- Sur appui :

$$ma \quad M_a = 5,97 t \cdot m.$$

$$\mu = \frac{15 \cdot M}{\bar{\sigma}_a \cdot b \cdot h^2} = 0,0885 \rightarrow \begin{cases} E = 0,8804 \\ K = 26,8 \end{cases} \rightarrow A = \frac{M}{\bar{\sigma}_a \cdot E \cdot h} = 8,06 \text{ cm}^2$$

- Choix des aciers.

- Voir planches.

* - Vérification des contraintes :

$$- \sigma'_b = \frac{\bar{\sigma}_a}{K} = 104,4 < \bar{\sigma}'_b = 137 \text{ kg/cm}^2. \quad (A' = 0).$$

$$- \bar{\omega} = \frac{100 \cdot A}{b \cdot h} = 0,671 \rightarrow \begin{cases} K = 26,7 \\ E = 0,8801 \end{cases} \quad \sigma_a = \frac{M}{A \cdot E \cdot h} =$$

- Vérification à l'effet trou devant :

$$- A > \frac{T}{\bar{\sigma}_a} + \frac{M}{3 \cdot \bar{\sigma}_a} = \frac{15490}{2800} - \frac{597000}{26,25 \cdot 2800} = -2,59 \quad (\text{la condition des appuis est vérifiée.})$$

- En travail :

$$M = 4,5 \text{ t.m.}$$

$$\mu = \frac{15 \cdot 450000}{2800 \cdot 40 \cdot 30^2} = 0,0669 \rightarrow \begin{cases} E = 0,8936 \\ K = 32. \end{cases}$$

$$A = \frac{450000}{2800 \cdot 0,8936 \cdot 30} = 6 \text{ cm}^2$$

*- Choix des aciers : (3T14 + 3T12)

- Transversalement :

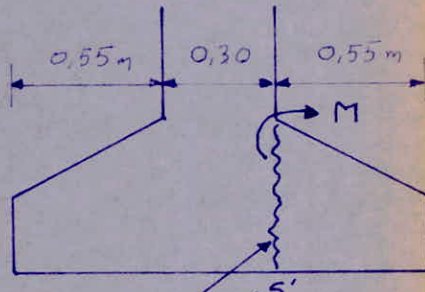
on étudie la section sur un mètre.

$$- q = \frac{R}{A \cdot L} = \frac{56,55}{1,4 \cdot 3,11} = 13 \text{ t/mel}$$

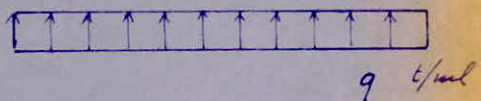
$$- M = \frac{q l^2}{2} = 13 \cdot \frac{0,55}{2}^2 = 1,97 \text{ t.m.}$$

$$- \mu = \frac{15 \cdot 197000}{2800 \cdot 100 \cdot 30^2} = 0,0117 \rightarrow \begin{cases} E = 0,9517 \\ K = 88,5 \end{cases}$$

$$- A = \frac{197000}{2800 \cdot 0,9517 \cdot 30} = 2,46 \text{ cm}^2 \rightarrow 6T10 / (4,71 \text{ cm}^2).$$



Section à étudier.



9 t/mel

*- Armatures Transversales :

- on a $T_{max} = 15,49 \text{ t}$

$$- \delta = \frac{7 h}{8} = \frac{7}{8} \cdot 30 = 26,25 \text{ cm.}$$

$$- \bar{\sigma}_b = \frac{T_{max}}{b \cdot \delta} = \frac{15490}{140 \cdot 26,25} = 4,41 \text{ kg/cm}^2$$

$$- \sigma'_b = \frac{\bar{\sigma}_b}{K} = \frac{2800}{88,5} = 31,6 \text{ kg/cm}^2 < \bar{\sigma}'_b.$$

$$- \bar{\sigma}'_b = 3,5 \bar{\sigma}_b = 3,5 \cdot 5,9 = 20,55 \text{ kg/cm}^2 > \bar{\sigma}_b = 4,41 \text{ kg/cm}^2$$

Caches + étriers, on prend 1 étrier et 1 cache $\phi 8$ (1 cm^2).

* - Espacement :

on a pris un étrier et 1 cache $\phi 8$, alors $A_t = 1,5 \text{ cm}^2$

$$t_0 = \frac{A_t \cdot 3 \cdot \bar{\sigma}_{at}}{T_{\max}} = \frac{1,5 \cdot 26,25 \cdot \bar{\sigma}_{at}}{15,49 \cdot 10^3}$$

$$\bar{\sigma}_{at} = \max \left\{ \begin{array}{l} \frac{2}{3} \sigma_{en} = 2800 \\ \left(1 - \frac{\bar{\epsilon}_b}{9 \bar{\sigma}_b}\right) \sigma_{en} = 3850 \end{array} \right\} \quad \text{d'où } t_0 = \frac{1,5 \cdot 26,25 \cdot 3850}{15490} = 9,78$$

* - Espacement admissible :

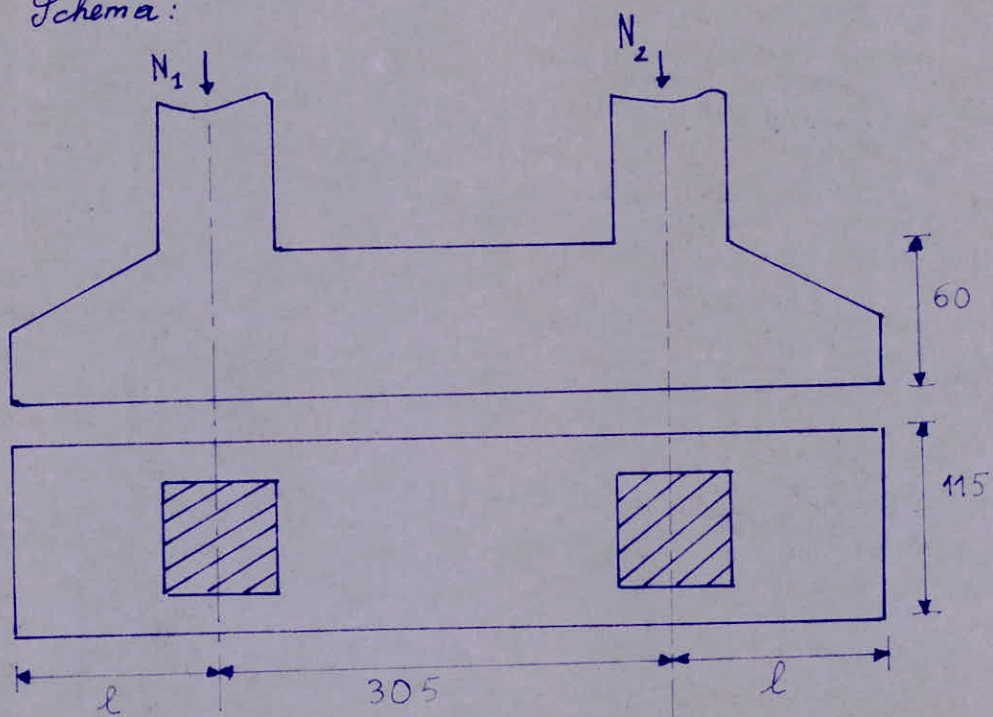
$$\bar{t} = \max \left\{ \begin{array}{l} t_1 = 0,2h = 6 \\ t_2 = \left(1 - 0,3 \frac{\bar{\epsilon}_b}{\bar{\sigma}_b}\right) h = 23 \end{array} \right\} \quad \text{on prend } \bar{t} = 23 \text{ cm} = t$$

* - Vérification au poinçonnement :

$$\sigma_b = \frac{1,5 \cdot N}{P_c \cdot h_t} = \frac{1,5 \cdot 30,23 \cdot 10^3}{4 \cdot 100 \cdot 35} = 3,23 < \bar{\sigma}_b = 5,9 \text{ kg/cm}^2$$

* - Calcul de la scelle filante (S5)

Schéma :



$$- N_1 = N_2 = 31,7 t.$$

*- Dimensionnement :

$$\sigma_s \leq \bar{\sigma}_s \Leftrightarrow \frac{2N_1}{S} \leq \bar{\sigma}_s \Leftrightarrow 10^4 \cdot 1,15 (3,05 + 2l) \geq \frac{2N_1}{\bar{\sigma}_s} = \frac{2 \cdot 31,7 \cdot 10^3}{1,5}$$

$l \geq 0,396$, on prend $l = 50 \text{ cm}$.

*- Poids de la semelle :

$$G_S = \left(1,15 \cdot 0,2 + \frac{1,15 + 0,3}{2} \cdot 0,4 \right) 4,05 \cdot 2,5 = 5,525 \text{ t}$$

*- Vérification de la contrainte du sol :

$$\sigma_s = \frac{2N_1 + G_S}{A \cdot L} = \frac{(2 \cdot 31,7 + 5,525) \cdot 10^3}{115 \cdot 405} = 1,47 \text{ kg/cm}^2 < \bar{\sigma}_s = 1,5 \text{ kg/cm}^2$$

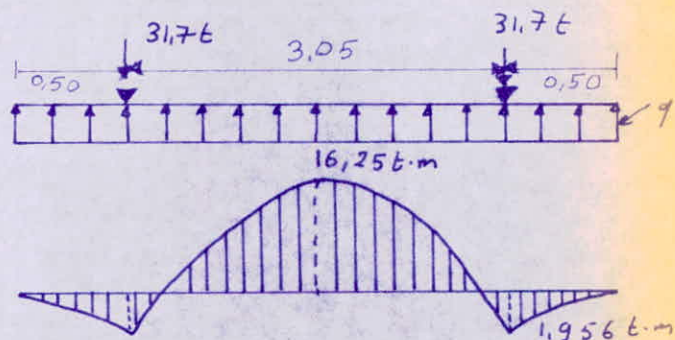
*- Détermination des effets : - RDM -

- $q = \frac{R}{L} = \frac{2 \cdot 31,7}{4,05} = 15,65 \text{ t/m}$

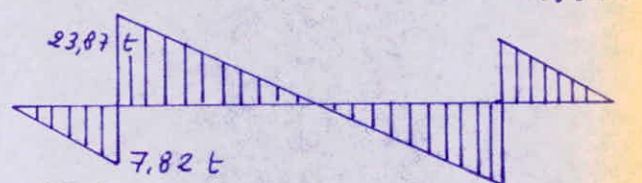
- $M_f = 16,25 \text{ t.m}$

- $M_a = 1,956 \text{ t.m}$

- $T_{max} = 23,87 \text{ t}$



M.



*- Ferrailage :

- à mi-travée : $M_f = 16,25 \text{ t.m}$

- $\mu = \frac{15M}{\bar{\sigma}_a \cdot b \cdot h^2} = 0,0718 \rightarrow \begin{cases} E = 0,8903 \\ K = 30,6 \end{cases}$

- $A = \frac{M}{\bar{\sigma}_a \cdot E \cdot h} = 11,85 \text{ cm}^2$. choix : 6T16 ($12,6 \text{ cm}^2$).

- sur appui : $M_a = 1,956 \text{ t.m}$

- $\mu = \frac{15M}{\bar{\sigma}_a \cdot b \cdot h^2} = 0,0086 \rightarrow \begin{cases} E = 0,9580 \\ K = 104 \end{cases} \rightarrow A = \frac{M}{\bar{\sigma}_a \cdot E \cdot h} = 1,32 \text{ cm}^2$

- choix des aciers : 3T16 ($6,03 \text{ cm}^2$)

- Vérification à l'effort tranchant :

$$A \geq \frac{I}{\bar{\sigma}_a} + \frac{M}{z \cdot \bar{\sigma}_a} = \frac{23870}{2800} - \frac{195600}{2800 \cdot 48,125} = 7,071 \quad (4T16 < 8,04 \text{ cm}^2)$$

* - Etude de la semelle dans le sens transversal :

(pour une mèche linéaire de semelle)

$$- q = \frac{R}{A \cdot L} = \frac{2.31,7}{1,15 \cdot 4,05} = 13,6 \text{ t/ml.}$$

$$- M = \frac{q l^2}{2} = \frac{13,6 \cdot 0,425^2}{2} = 1,23 \text{ t.m.}$$

$$- \mu = \frac{15 \cdot M}{\bar{\sigma}_a \cdot b \cdot h^2} = \frac{15 \cdot 123000}{2800 \cdot 100 \cdot 55^2} = 0,0022$$

$$\xrightarrow{\text{Tabl.}} \begin{cases} \varepsilon = 0,9783 \\ K = 215 \end{cases} \rightarrow A = \frac{M}{\bar{\sigma}_a \cdot \varepsilon \cdot h} = 0,81 \text{ cm}^2$$

- choix des aciers : 4T8/ml ($2,01 \text{ cm}^2$).

* - Armatures transversales :

$$\text{on a } T_{\max} = 23,87 \text{ t} ; z = \frac{7}{8} h = 48,125 \text{ cm.}$$

$$- \bar{\tau}_b = \frac{23870}{100 \cdot 48,125} = 4,96 \text{ kg/cm}^2$$

$$- \bar{\sigma}'_b = \frac{\bar{\sigma}_a}{K} = \frac{2800}{215} = 13,02 \text{ kg/cm}^2 < \bar{\sigma}'_{b0} = 68,5 \text{ kg/cm}^2.$$

$$- \bar{\tau}_b = 3,5 \cdot \bar{\sigma}_b = 3,5 \cdot 5,9 = 20,55 \text{ kg/cm}^2 > \bar{\tau}_b = 4,96 \text{ kg/cm}^2.$$

- on met des cache et étiers (1 étier + 1 cache $\phi 8$).

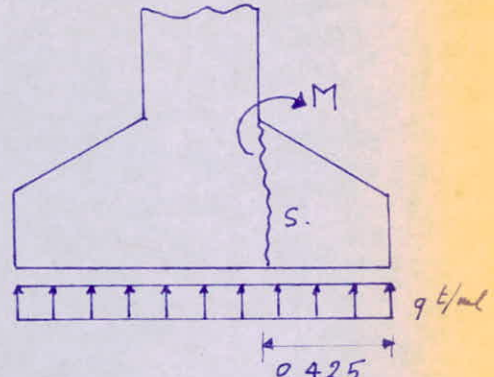
$$- t_o = \frac{A_t \cdot z \cdot \bar{\sigma}_{at}}{T_{\max}} = \frac{1,5 \cdot 48,125 \cdot 3807}{23870} = 7,67 \text{ cm.}$$

- Espaceur admissible :

$$\bar{E} = \max \left\{ t_1 = 0,2h = 11 \text{ cm} ; t_2 = \left(1 - 0,3 \frac{\bar{\tau}_b}{\bar{\sigma}_b}\right) h \neq 41,1 \text{ cm} \right\} \Rightarrow \bar{E} = 40 \text{ cm.}$$

* - Vérification au poinçonnement :

$$\bar{\sigma}_b = \frac{1,5 \text{ N}}{\text{P.C.} \cdot h_t} = \frac{1,5 \cdot 31700}{4 \cdot 100 \cdot 60} = 1,98 \text{ kg/cm}^2 < \bar{\sigma}_b = 5,9 \text{ kg/cm}^2$$



2^e PARTIE.

CALCUL DU BLOC-B

BLOC ADMINISTRATIF.

(R+2)

- NOTA -

Les différents éléments de ce bloc seront calculés à partir des méthodes de calcul détaillées dans le bloc "A", on se limitera à donner les résultats de calcul, cependant, l'étude au séisme pour ce bloc sera détaillée.

Charges et surcharges.

- Plancher terrasse :

. Granillon : 4 cm.....	60 Kg/m ²	G = 546 Kg/m ²	
c/ Multicouchs d'étanchéité	10 Kg/m ²		
. Béton de pente 1,5%....	90 Kg/m ²		
. Liège	16 Kg/m ²		
. Eau par vapeur	5 Kg/m ²		
. Table de compression	} 265 Kg/m ²		
. Hourdi			
. Isolation phonique.....	16 Kg/m ²		
. Espace de protection	63 Kg/m ²		
. Platre (1,5 cm).....	21 Kg/m ²		

- Plancher courant :

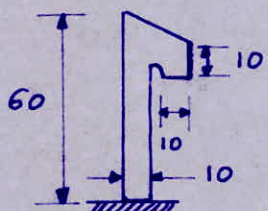
. Camelage 2 cm	44 Kg/m ²	G = 465 Kg/m ²
c/Goutier de pose (1cm)	22 "	
. Sable (2cm).....	40 "	
. Hourdi + Table de comp.....	265 "	
. Enduit de platre (1,5 cm).....	21 "	
. cloison	75 "	

- Charges -

- . Terrasse 100 kg/m²
- . Bureaux privés 200 kg/m²
- . Bureaux publics 250 "
- . Salle de réunion 500 "
- . Magasin 500 "
- . Archives 1000 "
- . Escaliers 400 "
- . Balcons loggias 350 "

Calcul des éléments :

*- Acrotère :



$$G = 250(0,1 \cdot 0,6 + 0,1 \cdot 0,1) = 175 \text{ kg/m}^2$$

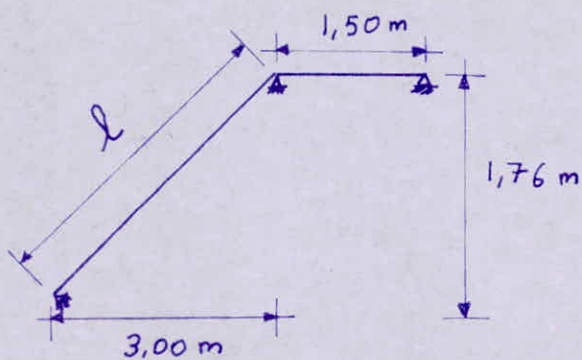
$S = 100 \text{ kg/m}^2$ (due à la main courante).

Pous obtenons une section d'acier : $A = 0,55 \text{ cm}^2/\text{ml}$

* Condition de non fragilité $A \geq 0,78$

Pous adopterons le même ferrailage que le Bloc "A".

Calcul d'escalier :



$$\begin{aligned} \cos \alpha &= 0,862 \\ \sin \alpha &= 0,506 \end{aligned}$$

$$h = \frac{176}{11} = 16 \text{ cm} \quad \left. \begin{array}{l} \\ \end{array} \right\} n = 11 \text{ marches}$$

$$g = \frac{300}{10} = 30 \text{ cm}$$

$$l = \sqrt{(1,76)^2 + (3,0)^2} = 3,478 \text{ m}$$

$$l = 347,81 \text{ cm.}$$

$$\frac{l}{30} \leq h_t \leq \frac{l}{20}$$

$$h_t = 14 \text{ cm.}$$

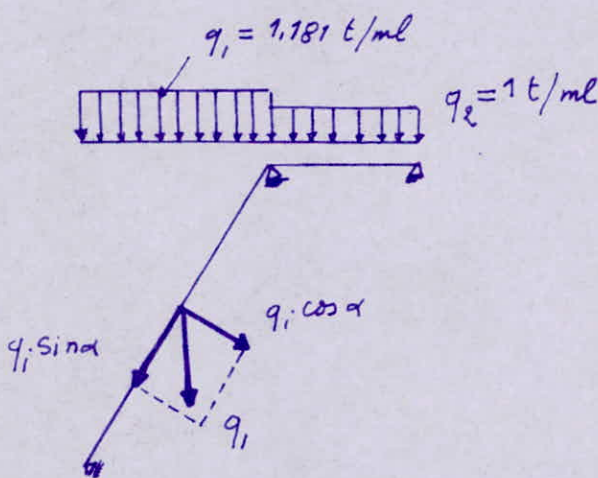
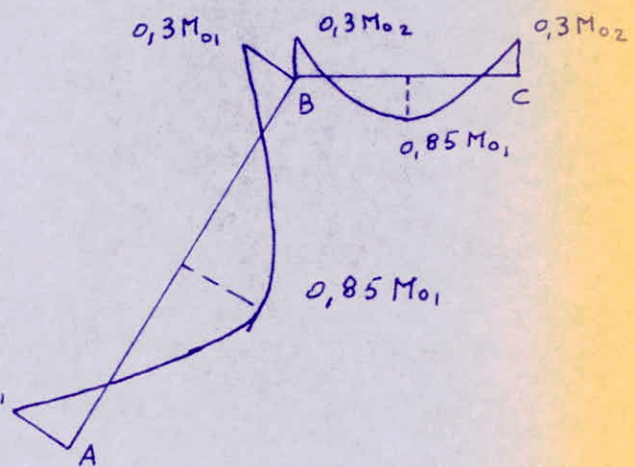


Diagramme des moments



$$M_{o_1} = q_1 \frac{l^2}{8} = 1,181 \cdot \frac{3^2}{8} = 1,328 \text{ t.m.}$$

$$M_{o_2} = q_2 \frac{l_2^2}{8} = 1 \cdot \frac{1,5^2}{8} = 0,281 \text{ t.m.}$$

*- Ferrailage de la cage d'escalier :

1°/ Ferrailage de la paillasse :

$$\text{En B : } N_B = 0 \text{ (appui).}$$

$$M_a = 0,3 M_{o_1} = 0,3 \cdot 1,328 = 398,4 \text{ kg.m.}$$

$$\mu = \frac{15 M}{\bar{\sigma}_a \cdot b \cdot h^2} = \frac{15 \cdot 39840}{2800 \cdot 100 \cdot 12^2} = 0,0148 \quad \left. \begin{array}{l} \sigma_b' < \bar{\sigma}_b \\ k = 77,5 \\ (A' = 0) \end{array} \right\} \begin{array}{l} E = 0,946 \\ F.S. \end{array}$$

$$A = \frac{M}{\bar{\sigma}_a \cdot E \cdot h} = 1,25 \text{ cm}^2$$

*. A mi-Travée de la paillasse:

$$\left. \begin{array}{l} N = 1,04 t \\ M_E = 0,85 M_0, = 0,85 \cdot 1,328 = 1128,8 \text{ kg.m} \end{array} \right\} \text{F.C.}$$

Excentricité : bras de levier:

$$e_0 = \frac{M}{N} = 108,5 \text{ cm} ; \quad f = \frac{h-d}{2} + e_0 = \frac{12-2}{2} + 108,5 = 113,5 \text{ cm.}$$

. moment fictif: $c\Gamma_b = N.f. = 1040 \cdot 113,5 = 118040 \text{ kg.cm}$

. $\bar{y}_1 = \sigma_b' \left(\frac{15}{\bar{\sigma}_a + 15 \bar{\sigma}_b'} \right) h = 5,08 \text{ cm.}$

. $F'_b = \bar{\sigma}_b' \cdot \bar{y}_1 \cdot \frac{b}{2} = 137 \cdot 5,08 \cdot \frac{100}{2} = 34798 \text{ kg.}$

. $F'_A = \frac{c\Gamma_b - F'_b(h - \bar{y}_1)}{7/8 h} = - 22915,37 \text{ kg}$

. $F_A = F'_b + F'_A - N = 10842,63 \text{ kg.}$

d'où finalement: $A = \frac{F_A}{\bar{\sigma}_a} = \frac{10842,63}{2800} = 3,87 \text{ cm}^2/\text{ml.}$

* En A : $N = 2078 \text{ kg}$
 $M_a = 0,3 M_0, = 398,4 \text{ kg.m} \right\} \text{F.C.}$

. $e_0 = \frac{M_a}{N} = 19,17 \text{ cm} \quad ; \quad e_1 = \frac{h-t}{6} = \frac{14}{6} = 2,33 \text{ cm} \quad (\text{on a une section partiellement comprimée}).$

. $f = e_0 + \frac{h-d}{2} = 24,17 \text{ cm.} \quad c\Gamma_b = N.f = 2078 \cdot 24,17 = 50225,66 \text{ kg.cm}$

. $\bar{y}_1 = 5,08$

. $F'_b = 34798 \text{ kg.}$

. $F'_A = \frac{c\Gamma_b - F'_b(h - \bar{y}_1)}{7/8 h} = - 2937,91 \text{ kg} \quad (A' = 0)$

. $F_A = 3346,08 \text{ kg}$

d'où alors $A = \frac{F_A}{\bar{\sigma}_a} = 1,2 \text{ cm}^2/\text{ml}$

*- A mi-travée du palier de repos :

$$\begin{aligned} \cdot N &= 0 \\ \cdot M &= 0,85 M_{02} = 0,23885 \text{ t.m.} \end{aligned} \quad \left. \begin{array}{l} \\ \end{array} \right\} \text{F.S.}$$

$$\begin{aligned} \cdot \mu &= 0,0075 \quad \left. \begin{array}{l} E = 0,9606 \\ K = 112 \end{array} \right\} \quad \sigma'_b < \bar{\sigma}'_b \quad (A' = 0) \end{aligned}$$

$$d'm \quad A = \frac{M}{\bar{\sigma}_a \cdot E \cdot h} = 0,68 \text{ cm}^2/\text{ml.}$$

*- A l'appui (semi-encastrement) :

$$\begin{aligned} M_a &= 0,3 M_{02} = 84,3 \text{ kg.m} \\ N &= 0 \end{aligned}$$

$$\cdot \mu = 0,0026 \rightarrow \left. \begin{array}{l} E = 0,9765 \\ K = 198 \end{array} \right\} \rightarrow \sigma' = \frac{\bar{\sigma}_a}{K} < \bar{\sigma}'_b \quad (A' = 0)$$

$$\cdot A = \frac{M}{\bar{\sigma}_a \cdot E \cdot h} = 0,24 \text{ cm}^2/\text{ml.}$$

*- Vérifications :

$$\cdot \text{Pailasse : condition de non fragilité : } A \geq 0,69 \cdot b \cdot h \cdot \frac{\bar{\sigma}_b}{\sigma_{en}} = 1,16 \text{ cm}^2/\text{ml}$$

$$\cdot \text{Palier : } A \geq 1,26 \text{ cm}^2/\text{ml.}$$

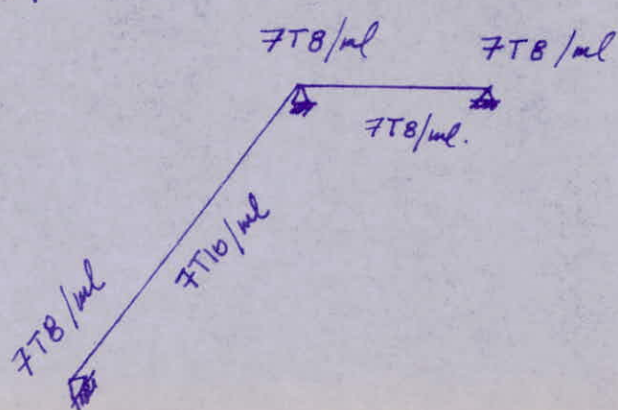
*- Vérification à l'effet tranchant : $\bar{\sigma}_a \cdot A \geq T - \frac{M}{8}$

$$\cdot A : T = 1527 \text{ kg}, M = 398,40 \text{ kg.m} \rightarrow A \geq 0,53 \text{ cm}^2/\text{ml}$$

$$\cdot B : T = 2173,5, M = 398,4 \text{ kg.m} \rightarrow A \geq 0,76 \text{ cm}^2/\text{ml}$$

$$\cdot C : T = 750, M = 84,3 \text{ kg.m} \rightarrow A \geq 0,26 \text{ cm}^2/\text{ml.}$$

*- Choix des aciers :



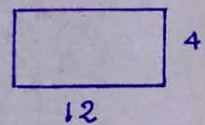
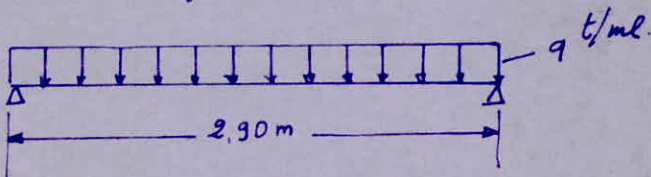
- CALCUL DU PLANCHER -

* / Poutrelles :

On fera le calcul en 2 étapes suivantes :-

. 1^{ère} étape :

On considère la poutrelle comme appuyée simplement, sollicité par son propre poids, poids des marchandises, et une surcharge parfaitement de 100 kg/m^2 , ayant pour dimension 12×4 cm.



$$G = 0,04 \cdot 0,12 \cdot 2500 + 165 \cdot 0,65 = 119,25 \text{ kg/ml} \quad \left. \begin{array}{l} \\ \end{array} \right\} G + 1,2P = 197,25 \text{ kg/ml}$$

$$P = 100 \cdot 0,65 = 65 \text{ kg/ml}$$

$$\text{Chemin isostatique : } M_0 = \frac{q l^2}{8} = 207,36 \text{ kg. m.}$$

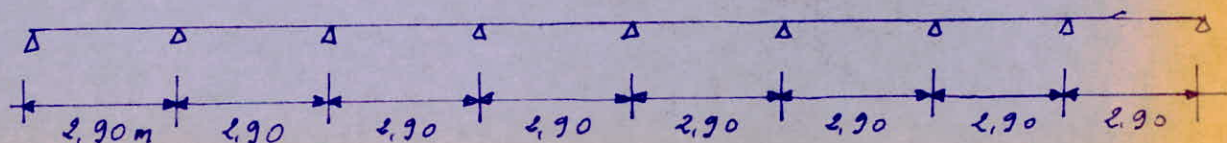
. Ferrailage (P. CHARRON). ($h = 8 \text{ cm}$) .

$$\mu = 2,3 \rightarrow k = 2 \rightarrow \sigma'_b > \bar{\sigma}'_b \quad (\text{nécéssité d'aciers comprimés}).$$

. Remarque : Vu la faible section du béton, il est pratiquement impossible de ferrainer la poutrelle.

. 2^{ème} étape :

On considère que la poutrelle est continue et coulée en même temps que la table de compétition, on aura donc une section en T. Soit le schéma statique suivant :



*- Calcul des charges et surcharges :

$$\begin{aligned} G &= 546 \cdot 0,65 = 354,90 \text{ kg/ml.} \\ P &= 500 \cdot 0,65 = 325 \text{ kg/ml.} \end{aligned} \quad \left. \begin{array}{l} G + 1,2P = 744,9 \text{ kg/ml.} \end{array} \right\}$$

*-moments en travées : (Méthode forfaitaire aide mémoire 2011)

$$M_t = \frac{g l^2}{12,9} + \frac{1,25 l^2}{10,1} = 556,11 \text{ kg.m.}$$

*-moments sur appuis :

$$M_a = \frac{g l^2}{9,8} - \frac{1,25 l^2}{8,4} = - 85,90 \text{ kg.m.}$$

*- Fenillage : Méthode de M^e P.CHARON :

$$\text{- En travée : } A = 1,165 \text{ cm}^2 \quad (A' = 0). \quad (\bar{\sigma}_b' < \bar{\sigma}_b).$$

$$\text{- En appui : } A = 0,18 \text{ cm}^2$$

*- Vérification à la non fragilité :

$$A \geq 0,69 b \cdot h \cdot \frac{\bar{\sigma}_b}{\bar{\sigma}_{en}} \quad \left. \begin{array}{l} \text{en travée : } A \geq 1,13 \text{ cm}^2. \\ \text{aux appuis : } A \geq 0,31 \text{ cm}^2. \end{array} \right\}$$

$$\text{- Choix des aciers : } \left. \begin{array}{l} \text{Travée : 2T10 (1,57 cm}^2) \\ \text{appuis : 1T10 (0,78 cm}^2) \end{array} \right.$$

*- Vérification à l'effet tenuant :

$$T_{max} = 0,5277 s l + 0,5983 g l = 1212,60 \text{ Kg.}$$

$$\text{On vérifie que : } A \geq \frac{T}{\bar{\sigma}_a} - \frac{M_a}{\bar{\sigma}_{a,3}} = \frac{1212,6}{2800} - \frac{8590 \cdot 0,8}{2800 \cdot 7} = 0,23 \text{ cm}^2 \quad (\text{vérifié})$$

. De plus on vérifie que :

$$A \leq b \cdot h \cdot \frac{43}{4200} = 65 \cdot 18 \cdot 43 = 11,97 \text{ cm}^2 \quad (\text{vérifié.})$$

* - Calcul du nombre d'étais à mettre lors du coulage :

- $A_t = 1,57 \text{ cm}^2$

- c) moment résistant des aciers :

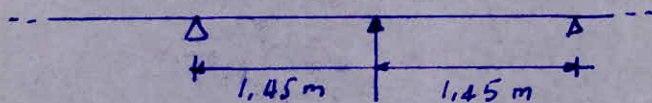
$$cM_r = A \cdot \bar{\sigma}_a \cdot z = \frac{1,57 \cdot 2800 \cdot 2 \cdot 7}{8} = 76,93 \text{ kg.m.}$$

- . On a $H = \frac{q \cdot l^2}{8} \rightarrow l_i = \sqrt{\frac{8H}{q}}$

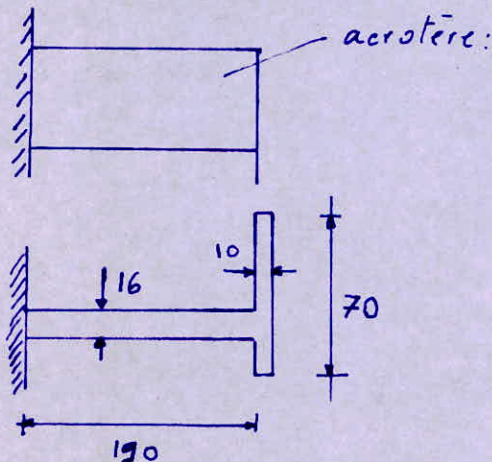
- $l_i = \sqrt{\frac{8 \cdot 76,93}{197,25}} = 176,63 \text{ cm.}$

- $n+1 = \frac{l}{l_i} = \frac{2,90}{1,76} = 1,64$

- . On utilise 1 étais par traverse.



. Calcul des balcons en porté-à-faux.

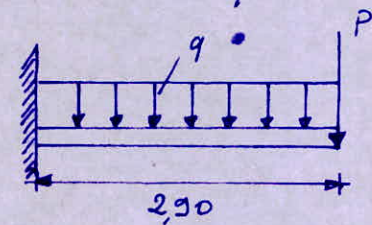


Remarque : la condition de la non fragilité pour l'acrotière donne une section minimale d'acier de : $A = 0,78 \text{ cm}^2$.

*- Ferrailage du balcon en porté à faux :

- $G = 479,47 \text{ kg/ml}$
- $S = 100 \times 1 \text{ m} = 100 \text{ kg/ml}$ (balcon non accessible).
- $q = G + 1,2P = 599,47 \text{ kg/ml}$.

. Schéma statique :



$$M_{enc} = 599,47 \cdot \frac{1,90^2}{2} + 175 \cdot 1,90 = 1414,54 \text{ kg.m.}$$

. Effort tranchant

$$T = ql + P = 599,47 \cdot 1,90 + 175 = 1314 \text{ kg.}$$

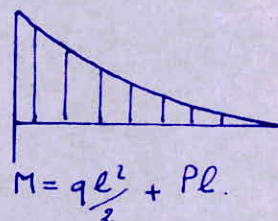
. Pour une bande d'un mètre : $M = 1414,54 \text{ kg.m.}$

. (P. CHARON) . $d = 3 \text{ cm}$:

$$A = 4,26 \text{ cm}^2/\text{ml}, \quad (\sigma_b' < \bar{\sigma}_b' \rightarrow A' = 0).$$

choix des aciers : 6T10/ml ($4,71 \text{ cm}^2$)

. Diagramme des Moments flé.



$$M = \frac{q l^2}{2} + Pl.$$

* - Vérification à la norme fragilité :

$$A \geq 0,69 \cdot b \cdot h \cdot \frac{\bar{f}_b}{\bar{f}_{en}} = 0,69 \cdot 100 \cdot 13 \cdot \frac{5,9}{4200} = 1,26 \text{ cm}^2 \text{ (vérifiée)}$$

* - Vérification à l'effort tranchant :

$$A \geq \left(T + \frac{M}{\delta} \right) \frac{1}{\bar{f}_a} < 0 \text{ (vérifiée).}$$

— N — N —

- CALCUL DES PORTIQUES -

*- Introduction :

Le contreventement du bloc "B" est assuré par les quatre murs (2 longitudinaux, 2 transversaux) qui reprennent la totalité des effets sismiques, ainsi donc les portiques transversaux (porteurs) et les poutres longitudinales de chainage seront calculés sous la sollicitation du premier genre ($G+T, 2P$) seulement.

*- Dans le sens transversal :

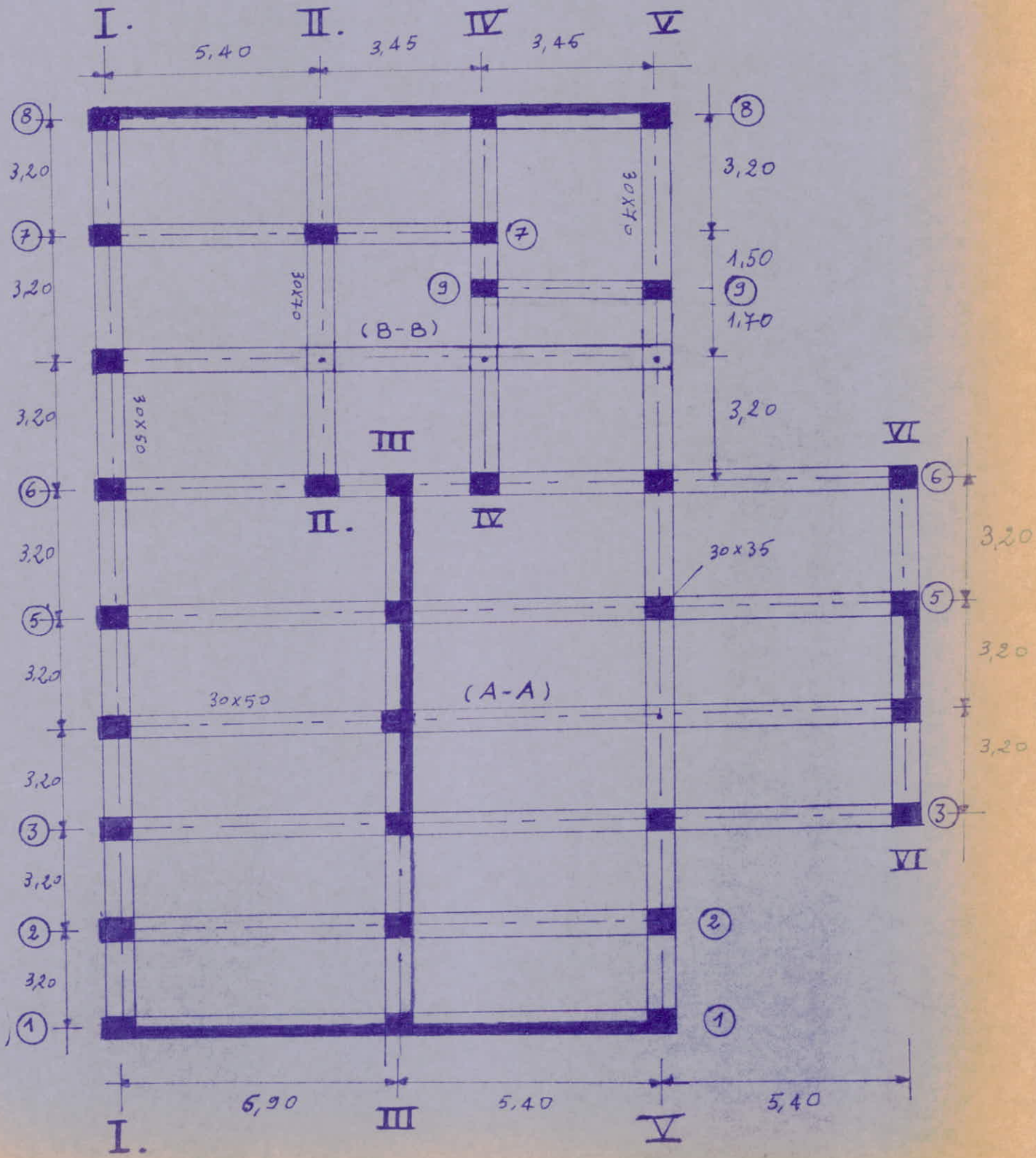
On étudiera les portiques (porteurs) les plus défavorables, ainsi que les deux poutres (A-A) et (B-B).

*- Dans le sens longitudinal :

On fera un chainage des poutres longitudinales (non porteuses).

*- Voir la rue au plan du bâtiment :

* VUE EN PLAN DU BLOC "B" *



A - Portiques transversaux .

*. On fera le calcul pour les portiques jugés plus défavorables suivant : 2-2 ; 5-5 ; 6-6 ; 7-7 ; et 9-9.

La méthode de calcul est celle de Caquot déjà détaillée dans le bloc "A", on donnera uniquement les résultats de calcul sous forme de tableaux.

*- Etude du portique (2-2) :

. Les charges et les surcharges revenant au portique (2-2) pour les différents niveaux sont :

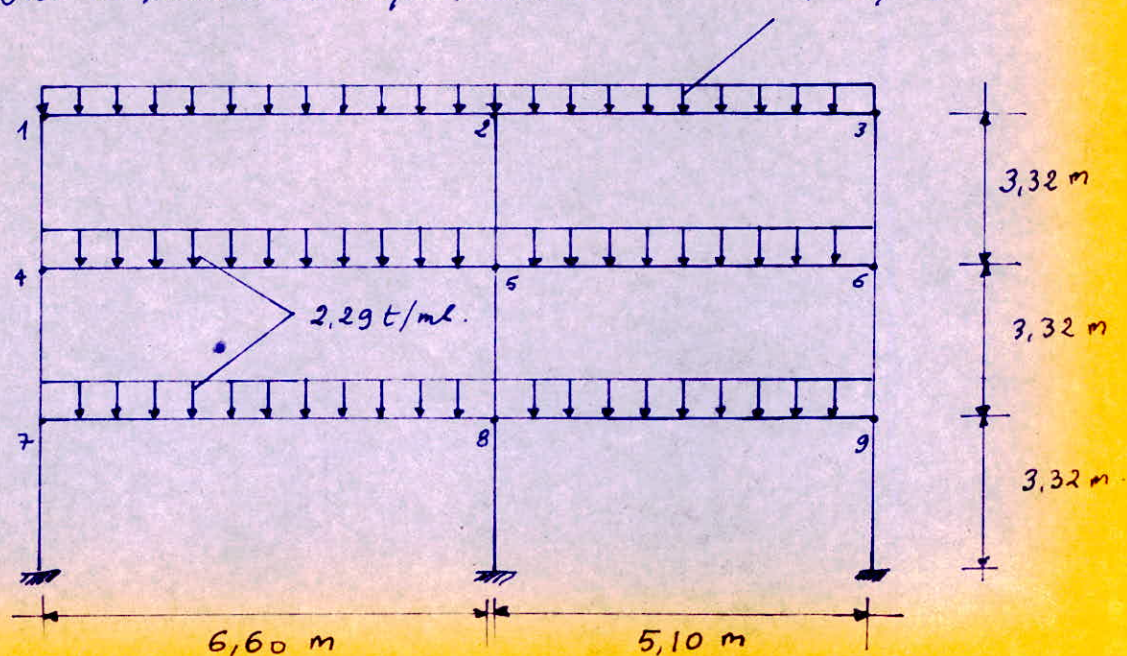
- au niveau III :

$$G + 1,2 P = 2,05 \text{ t/ml.}$$

- au niveau II et I :

$$G + 1,2 P = 2,29 \text{ t/ml}$$

*. Soit le schéma statique suivant :



*- Caractéristiques géométriques du portique (2-2)

Nœud	l_w (m)	l_c	h_n	h_s	10^{-4} m^4				10^{-4} m^3				k_w	k_c	k_n	k_s	D
					I_w	I_c	I_n	I_s	l'_w	l'_c	h'_n	h'_s					
1.	/	6,6	/	3,32	/	31,25	/	10,71	/	5,28	/	2,656	/	5,91	/	4,03	9,94
2.	6,6	5,1	/	3,32	31,25	31,25	/	10,71	6	4,57	/	2,656	5,2	6,83	/	4,03	16,06
3.	5,1	/	/	3,32	31,25	/	/	10,71	4,08	/	/	2,656	7,66	/	/	4,03	11,69
4.	/	6,6	3,32	3,32	/	31,25	10,71	10,71	/	5,28	2,988	2,656	/	5,91	3,58	4,03	13,52
5.	6,6	5,1	3,32	3,32	31,25	31,25	10,71	10,71	5,46	4,20	2,988	2,656	5,72	7,44	3,58	4,03	20,77
6.	5,1	/	3,32	3,32	31,25	/	10,71	10,71	4,08	/	2,988	2,656	7,66	/	3,58	4,03	15,27
7.	/	6,6	3,32	3,32	/	31,25	10,71	10,71	/	5,28	2,656	2,656	/	5,91	4,03	4,03	13,97
8.	6,6	5,1	3,32	3,32	31,25	31,25	10,71	10,71	5,40	4,15	2,656	2,656	5,78	7,53	4,03	4,03	21,32
9.	5,1	/	3,32	3,32	31,25	/	10,71	10,71	4,08	/	2,656	2,656	7,66	/	4,03	4,03	15,72

*- Moments dans le portique (sous G+1,2P) :

NIV	Nœud	q_w	q_e	M'_w (t.m)	M'_e	M_w	M_e	H_n	H_s
III	1.	/	2,05	/	6,72	/	2,72	/	2,72
	2.	2,05	2,05	8,68	5,03	7,49	6,58	/	0,91
	3.	2,05	/	4,01	/	1,38	/	/	1,38
IV	4.	/	2,29	/	7,51	/	4,22	1,98	2,21
	5.	2,29	2,29	8,03	4,75	7,12	5,92	0,56	0,64
	6.	2,29	/	4,48	/	2,23	/	1,05	1,18
I	7.	/	2,29	/	7,51	/	4,32	2,16	2,16
	8.	2,29	2,29	7,85	4,64	6,98	5,78	0,6	0,6
	9.	2,29	/	4,48	/	2,30	/	1,15	1,15

* Calcul des efforts hauchant :

Niv.	Travée	l_i (m)	$q \cdot l_i$	M_w (t-m)	M_e		$T_{n=0}$ (t)	$T_{n=\ell}$ (t)
III	1-2	6,60	2,05	2,72	7,49		7,48	-6,04
	2-3	5,10	2,05	6,58	1,38		4,20	-5,22
II	4-5	6,60	2,29	4,22	7,12		8	-7,55
	5-6	5,10	2,29	5,92	2,23		5,11	-5,84
I	7-8	6,60	2,29	4,32	6,98		7,96	-7,15
	8-9	5,10	2,29	5,78	2,30		5,15	-6,62

* Calcul des moments en trouée :

. Pour les poutres, on doit vérifier que : $M_t + \frac{M_w + M_e}{2} \geq 1,15 M_o$

d'où $M_t \geq 1,15 M_o - \frac{M_w + M_e}{2}$, on prendra la limite c.à.d.

$M_t = 1,15 M_o - \frac{M_w + M_e}{2}$, sachant que : $M_o = q \cdot \frac{l^2}{8}$ et que

M_w et M_e sont donnés par la méthode de Caquot.

. Les résultats sont les suivants :-

G+1,2 P.							
Niv	Travée	l_i	q_o	M_o	$M_w^{(-)}$	M_t	$M_e^{(-)}$
III	1-2	6,60	2,05	11,16	2,72	7,73	7,49
	2-3	5,10	2,05	6,66	6,58	3,68	1,38
II	4-5	6,60	2,29	12,47	4,22	8,67	7,12
	5-6	5,10	2,29	7,44	5,92	4,485	2,23
I	7-8	6,60	2,29	12,47	4,32	8,70	6,98
	8-9	5,10	2,29	7,44	5,78	4,52	2,30

*-moments des les poteaux

Poteaux	P. Propre (t)	N(t)	N _{cum}	N _T
1	0,872	7,48	/	8,35
2	0,872	10,25	/	11,11
3	0,872	5,22	/	6,10
4	0,872	8	15,48	16,35
5	0,872	12,66	22,90	23,77
6	0,872	5,84	11,06	11,93
7	0,872	7,96	23,44	24,31
8	0,872	12,30	35,20	36,07
9	0,872	6,52	17,58	18,45

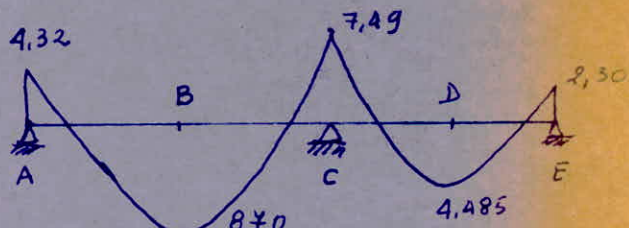
*- Effets permanents dans les poteaux

Sollicit.	G + 1,2P
Poteau	M _{tete} M _{bale} (t.m)
1	2,72 -1,98
2	-0,91 0,56
3	-1,38 1,05
4	2,24 -2,16
5	-0,64 0,60
6	-1,18 1,15
7	2,16 -2,16
8	-0,6 0,6
9	-1,15 1,15

*- Ferrailage de la poutre la plus sollicitée.

. Méthode de M^R P. CHARON.

Sect=	Moment (t.m)	A	A'	choix des aciers
A	4,32	3,90	0	
B	8,70	7,86	0	
C	7,49	6,77	0	
D	4,485	4,05	0	
E	2,30	2,08	0	



*- Diagramme des moments.

*- Les différents vérifications sont

* - Condition de non-fragilité :

$$A \geq 0,69 b \cdot h \frac{\bar{\sigma}_b}{\sigma_{en}} = 1,33 \text{ cm}^2 \text{ (vérifiée).}$$

* - Condition de flèche :

$$- h_t \geq \frac{l}{16} \quad (50 > 31,87 \text{ cm}) \text{ (vérifiée)}$$

$$- h_t \geq \frac{1}{10} \frac{M_t}{H_0} l \rightarrow (50 > 28,18) \text{ (vérifiée)}$$

$$- A \leq \frac{43}{\sigma_{en}} b \cdot h \rightarrow (A_{max} = 7,86 < 14,12 \text{ cm}^2) \text{ vérifiée.}$$

* - Condition de non entraînement des barres :

$$- \Sigma_d = 2 \varphi_d \cdot \bar{\sigma}_b = 17,7 \text{ kg/cm}^2.$$

$$\text{on doit vérifier que } \Sigma_d \leq \bar{\Sigma}_d \quad \bar{\Sigma}_d = \frac{T_{max}}{n_p z}$$

* - Condition aux appuis :

$$\text{vérifier que } c \geq \frac{2T}{b \cdot \bar{\sigma}'_{b0}} = c_0 \quad \text{avec } c = a - (d + r)$$

$$c_0 = \frac{2 \times 8000}{30 \cdot 68,5} = 4,78 \text{ cm} \quad , \quad c = 35 - (3 + 3 \times 1,2) = 28,4 \text{ cm}$$

(vérifiée).

* - Vérification des contraintes.

$$\mu = \frac{15 M}{\bar{\sigma}_a \cdot b \cdot h^2} \xrightarrow{\text{tabl.}} \left\{ \begin{array}{l} \varepsilon = \\ k = \end{array} \right. \quad \bar{\sigma}'_b = \frac{\bar{\sigma}_a}{k} < \bar{\sigma}'_{b0} \quad (A' = 0)$$

vérifiée (voir tableau).

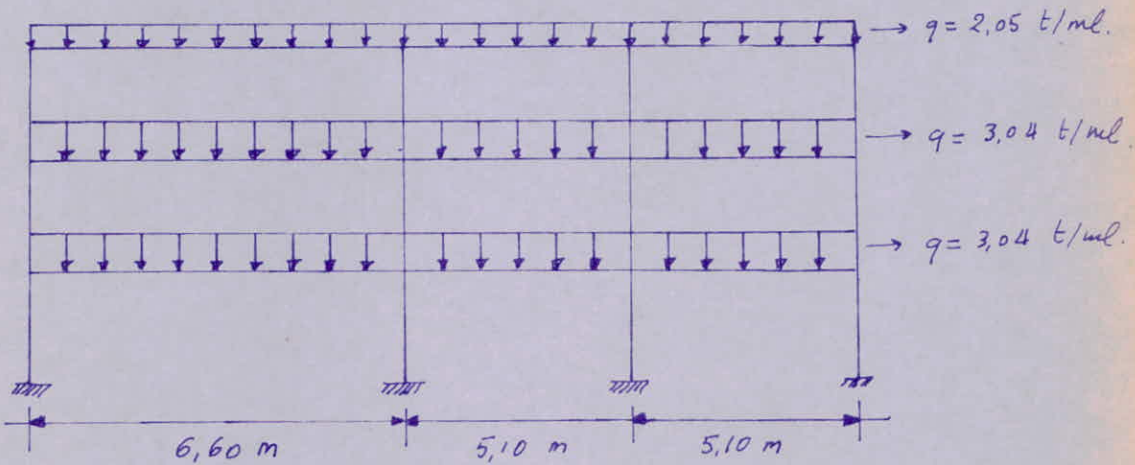
* - Vérification à l'effort tranchant : $T = 8t$, $M_{cou} = -4,22t \cdot m$

$$A \geq \left(T + \frac{M}{z} \right) \frac{1}{\bar{\sigma}_a} = \left(8000 - \frac{422000}{40,25} \right) \frac{1}{2800} = < 0$$

(Vérifiée).

* Etude du Pontique (5-5)

- Schéma statique et chargement : $q = 6 + 1,2P$ (t/ml).



* Caractéristiques géométriques du pontique (5-5)

Nœu	l_w (m)	l_e	h_n	h_s	$\times 10^{-4} \text{ m}^4$					$\times 10^{-4} \cdot \text{m}^3$					D		
					I_w	I_c	I_n	I_s	l'_w	l'_e	h'_n	h'_s	k_w	k_e	k_n	k_s	
1.	/	6,60	/	3,32	/	31,25	/	10,71	/	5,28	/	2,656	/	5,91	/	4,03	9,94
2.	6,60	5,10	/	3,32	31,25	31,25	/	10,71	5,28	4,08	/	2,656	5,91	7,66	/	4,03	17,6
3	5,10	5,10	/	3,32	31,25	31,25	/	10,71	4,08	4,08	/	2,656	7,66	7,66	/	4,03	19,62
4	5,10	/	/	3,32	31,25	/	/	10,71	4,08	/	/	2,656	7,66	/	/	4,03	11,69
5	/	6,60	3,32	3,32	/	31,25	10,71	10,71	/	5,28		2,656	/	5,91	3,58	4,03	13,52
6	6,60	5,10	3,32	3,32	31,25	31,25	10,71	10,71	5,28	4,08	2,988	2,656	5,91	7,66	3,58	4,03	21,18
7	5,10	5,10	3,32	3,32	31,25	31,25	10,71	10,71	4,08	4,08	2,988	2,656	7,66	7,66	3,58	4,03	22,93
8	5,10	/	3,32	3,32	/	/	10,71	10,71	4,08	/	2,988	2,656	7,66	/	3,58	4,03	15,27
9	/	6,60	3,32	3,32	31,25	31,25	10,71	10,71	/	5,28	2,988	2,656	/	5,91	4,03	4,03	13,97
10	6,60	5,10	3,32	3,32	31,25	31,25	10,71	10,71	5,28	4,08	2,656	2,656	5,91	7,66	4,03	4,03	21,63
11	5,10	5,10	3,32	3,32	31,25	31,25	10,71	10,71	4,08	4,08	2,656	2,656	7,66	7,66	4,03	4,03	23,37
12	5,10	/	3,32	3,32	31,25	/	10,71	10,71	4,08	/	2,656	2,656	7,66	/	4,03	4,03	15,72

*-moments dans le portique (5-5) sous G+1,2P.

Niv.	Nœuds	$q_w^{t\text{ml}}$	q_e	M'_w (t·m)	M_e	M_w	M_e	M_n	M_s
III	1.	/	2,05	/	6,72	/	2,72	/	2,72
	2.	2,05	2,05	6,72	4,01	5,81	5,19	/	0,62
	3.	2,05	2,05	4,01	4,01	4,01	4,01	/	0
	4.	2,05	/	4,01	/	1,38	/	/	1,38
II	5.	/	3,04	/	9,97	/	5,61	2,64	2,97
	6.	3,04	3,04	9,97	5,95	8,84	7,40	0,68	0,76
	7.	3,04	3,04	5,95	5,95	5,95	5,95	0	0
	8.	3,04	/	5,95	/	2,96	/	1,39	1,57
I	9.	/	3,04	/	9,97	/	5,75	2,875	2,875
	10.	3,04	3,04	9,97	5,95	8,87	7,37	0,75	0,75
	11.	3,04	3,04	5,95	5,95	5,95	5,95	0	0
	12	3,04	/	5,95	/	3,05	/	1,525	1,525

*-Efforts tranchants :

Niv.	Traée	l_i (m)	$q^{t\text{ml}}$	M_w t·m	M_e	$T_{x=0}$ (t)	$T_{x=e}$ (t)
III	1-2	6,60	2,05	2,72	5,81	7,23	-6,29
	2-3	5,10	2,05	5,19	4,01	5,0	-5,45
	3-4	5,10	2,05	4,01	1,38	4,71	-5,74
II	5-6	6,60	3,04	5,61	8,84	10,52	-9,54
	6-7	5,10	3,04	7,140	5,95	7,46	-8,03
	7-8	5,10	3,04	5,95	2,96	7,16	-8,33
I	9-10	6,60	3,04	5,75	8,87	10,50	-9,56
	10-11	5,10	3,04	7,37	5,95	7,47	-8,03
	11-12	5,10	3,04	5,95	3,05	7,18	-8,32

*-moments dans les poutres :					G1 + 1,2 P.		
Niv	Travée	l_i (m)	q_{tend}	M_0 (kNm)	$M_w^{(-)}$	M_f	$M_c^{(-)}$
III	1-2	6,60	2,05	11,16	2,72	8,57	5,81
	2-3	5,10	2,05	6,66	5,19	3,06	4,01
	3-4	5,10	2,05	6,66	4,01	4,96	1,38
II	5-6	6,60	3,04	16,55	5,61	11,80	8,84
	6-7	5,10	3,04	9,88	7,40	4,68	5,95
	7-8	5,10	3,04	9,88	5,95	6,91	2,96
I	9-10	6,60	3,04	16,15	5,75	11,72	8,84
	10-11	5,10	3,04	9,88	7,37	4,40	5,95
	11-12	5,10	3,04	9,88	5,95	6,86	3,05

*-moments poteaux : sous G + 1,2 P.

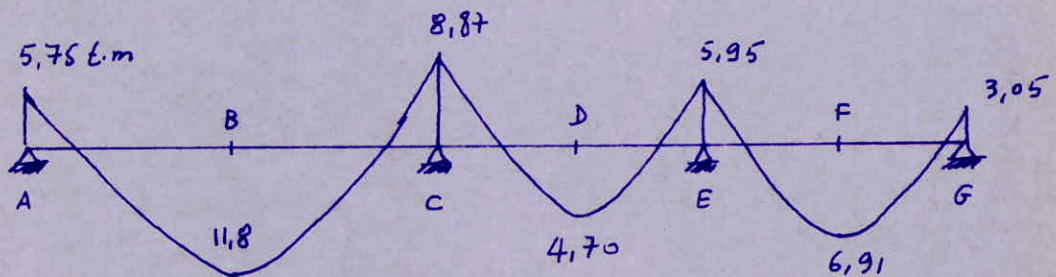
$P_{\text{ex}}^{\text{ex}}$	1	2	3	4	5	6	7	8	9	10	11	12
M_{ext} (kNm)	2,72	-0,62	0	-1,38	2,97	-0,76	0	1,57	2,875	-0,75	0	-1,525
H_{base}	-9,64	0,68	0	1,39	2,875	0,75	0	1,525	2,875	0,76	0	1,525

*-Effets normaux dans les poteaux :

$P_{\text{ex}}^{\text{ex}}$	1	2	3	4	5	6	7	8	9	10	11	12
P_{Prop} (k)	0,872	"	"	"	"	"	"	"	"	"	"	"
N (k)	8,10	12,16	11,03	6,61	11,39	17,87	16,06	9,20	11,37	17,90	16,08	9,20
$N_{\text{cum.}}$	/	/	/	/	19,5	30,03	27,1	15,81	30,87	47,93	43,18	25,01

*- Fenouillage de la partie la plus sollicitée
(ferraillage longitudinal).

. c) Méthode P. CHARON:



*- Tableau récapitulatif:

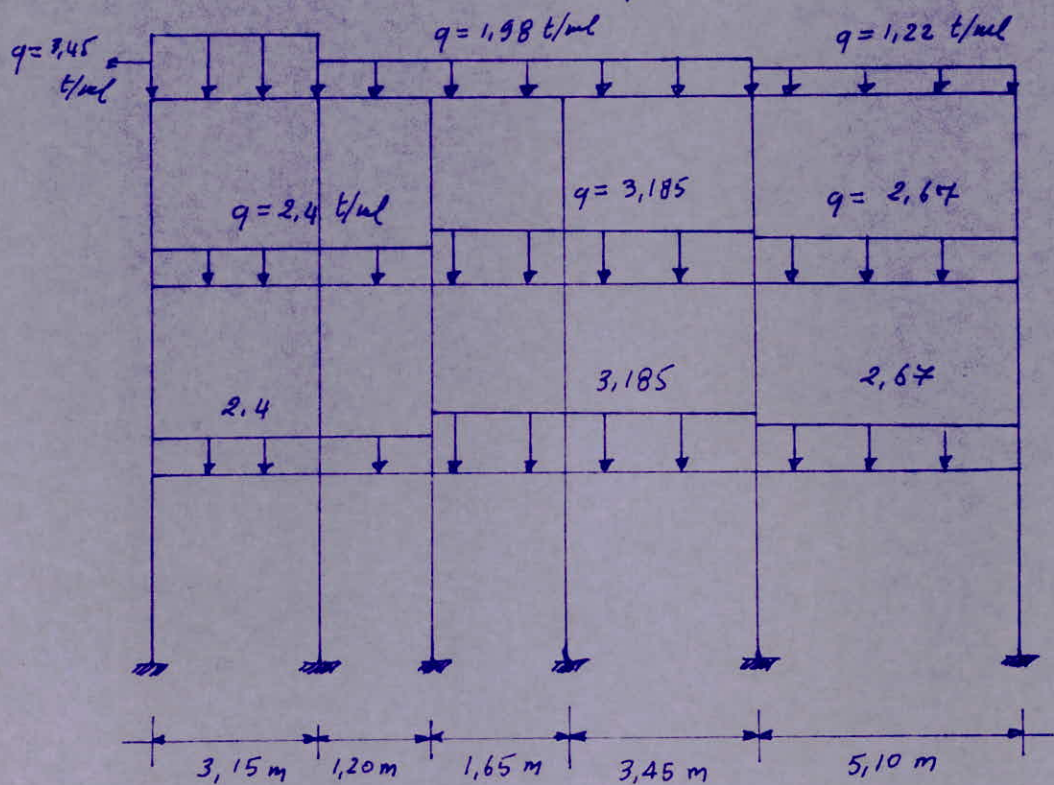
Section	M (t.m)	A cm^2	A/ cm^2
A	5,75	5,19	0
B	11,80	10,66	0
C	8,87	8,01	0
D	4,70	4,24	0
E	5,95	5,37	0
F	6,91	6,24	0
G	3,05	2,75	0

Remarque:

Les différents vérifications sont satisfais.

*- Etude du portique (G-6) :

*- Schéma statique et chargement : (G+1,2P)



* - Caractéristiques géométriques - du portique (6-6).

N°	1	2	3	4	5	6	7	8	9	10	11	12	13	14	15	16	17	18
l_w	/	3,15	1,20	1,65	3,45	5,10	/	3,15	1,20	1,65	3,45	3,10	/	3,15	1,20	1,65	3,45	5,10
(m)	l_e	3,15	1,20	1,65	3,45	5,10	/	3,15	1,20	1,65	3,45	5,10	/	3,15	1,20	1,65	3,45	5,10
h_n	/	/	/	/	/	/	3,32	3,32	3,32	3,32	3,32	3,32	3,32	3,32	3,32	3,32	3,32	
h_s	3,32	3,32	3,32	3,32	3,32	3,32	3,32	3,32	3,32	3,32	3,32	3,32	3,32	3,32	3,32	3,32	3,32	
$10^{-4} m^4$	I_w	/	31,25	31,25	31,25	31,25	/	31,25	31,25	31,25	31,25	31,25	/	31,25	31,25	31,25	31,25	
	I_e	31,25	"	"	"	"	/	"	"	"	"	"	/	"	"	"	"	/
	I_n	/	/	/	/	/	/	10,71	10,71	"	"	"	"	"	"	"	"	
	I_s	10,71	"	"	"	"	"	"	"	"	"	"	"	"	"	"	"	
(m)	l'_w	/	3,011	0,96	1,32	2,76	4,08	/	2,89	0,69	1,32	2,76	4,08	/	2,97	0,96	1,32	2,76
	l'_e	2,52	0,96	1,32	2,76	4,73	/	2,52	0,96	1,32	2,76	4,42	/	2,52	0,96	1,32	2,76	4,38
	h'_n	/	/	/	/	/	/	2,988	"	"	"	"	/	2,686	"	"	"	
	h'_s	2,656	"	"	"	"	"	"	"	"	"	"	"	"	"	"	"	
$10^{-4} m^3$	k_w	/	10,37	32,55	23,67	11,32	7,67	/	10,81	32,55	23,67	11,32	7,67	/	10,88	32,55	23,67	11,32
	k_e	12,40	32,55	23,67	11,32	6,60	/	12,4	32,55	23,67	11,32	7,07	/	12,4	32,55	23,67	11,32	7,13
	k_n	/	/	/	/	/	/	3,58	"	"	"	"	/	4,03	"	"	"	
	k_s	4,03	"	"	"	"	"	"	"	"	"	"	"	"	"	"	"	
	D	16,43	46,95	60,25	39,02	21,95	11,70	20,01	50,97	63,83	42,6	14,68	15,28	29,46	51,49	64,28	43,05	26,51

*-moments dans le portique (G-G) :

Niv	Noeuds	q_w	$\frac{t}{m}$	q_c	M_w	M_e	M_w	M_c	M_h	M_s
III	1.	/		3,45	/	2,577	/	0,632	/	0,632
	2.	3,45	1,98	3,679	0,214	2,913	2,616	/	0,297	
	3.	1,98	1,98	0,214	0,405	0,317	0,329	/	0,012	
	4.	1,98	1,98	0,405	1,774	1,235	1,376	/	0,141	
	5.	1,98	1,22	1,774	3,211	2,515	2,778	/	0,263	
	6.	1,22	/	2,389	/	0,822	/	/	0,122	
II	7.	/	2,40	/	1,793	/	0,681	0,320	0,361	
	8.	2,40	2,40	2,358	0,260	1,913	1,599	0,147	0,165	
	9.	2,40	3,185	0,260	0,652	0,459	0,506	0,0219	0,024	
	10.	3,185	3,185	0,652	2,854	1,875	2,268	0,185	0,208	
	11.	3,185	2,67	2,854	6,136	5,384	4,555	0,900	0,900	
	12.	2,67	/	5,227	/	2,603	/	1,224	1,378	
I	13.	/	2,40	/	1,793	/	0,706	0,353	0,353	
	14.	2,40	2,40	2,325	0,260	1,888	1,585	0,161	0,161	
	15.	2,40	3,185	0,260	0,652	0,458	0,507	0,024	0,024	
	16.	3,185	3,185	0,652	2,854	1,862	2,274	0,206	0,206	
	17.	3,185	2,67	2,854	6,026	4,808	5,172	0,482	0,482	
	18.	2,67	/	5,227	/	2,678	/	1,339	1,339	

*- Calcul des efforts tranchants (6 + 1,2 P).

Niv	TRANS	δ_c	δ_{Hw}	Hw	δ_e	$T_{x=0}$	$T_{x=L}$
III	1-2	3,15	3,45	0,632	2,913	6,157	1,209
	2-3	1,20	1,92	2,616	0,317	0,727	1,103
	3-4	1,65	1,92	0,329	1,235	2,186	1,092
	4-5	3,45	1,92	1,376	2,515	3,745	3,025
	5-6	5,10	1,22	2,778	0,822	2,427	1,352
	7-8	3,15	2,40	0,681	1,913	4,121	3,432
II	8-9	1,20	2,40	1,599	0,458	9,450	3,137
	9-10	1,65	3,185	0,506	1,875	3,457	1,797
	10-11	3,45	3,185	2,268	5,374	6,397	4,530
	11-12	5,10	2,67	4,555	2,603	6,425	7,191
	12-13	3,15	2,40	0,206	1,887	4,155	3,402
	13-14	1,20	2,40	1,565	0,458	0,517	2,362
I	14-15	1,65	3,185	0,507	1,862	3,448	1,866
	15-16	3,45	3,185	2,274	4,188	6,054	4,133
	16-17	5,10	2,67	5,172	4,188	6,319	7,257
	17-18	3,15	2,40	0,207	1,862	3,448	1,866

Sous(G)

Niv.	Noord	q_w	q_e	$H'w$	$H'e$	H_w	H_e
III	1.	/	3,08	/	2,301	/	0,564
	2.	3,08	1,631	3,285	0,176	2,598	2,331
	3.	1,631	1,631	0,176	0,334	0,261	0,271
	4.	1,631	1,631	0,334	1,461	1,017	1,134
	5.	1,631	1,027	1,461	2,703	2,101	2,329
	6.	1,027	/	2,011	/	0,692	/
	7.	/	1,526	/	1,140	/	0,433
	8.	1,526	1,526	1,499	0,165	1,216	1,0169
	9.	1,526	1,445	0,165	0,296	0,231	0,247
	10.	1,445	1,445	0,296	1,294	0,850	1,028
	11.	1,445	0,930	1,294	2,187	1,944	1,731
	12.	0,930	/	1,821	/	0,9069	/
	13.	/	1,526	/	1,140	/	0,449
	14.	1,526	1,526	1,478	0,165	1,200	0,995
	15.	1,526	1,445	0,165	0,296	0,231	0,247
	16.	1,445	1,445	0,296	1,294	0,844	1,031
	17.	1,445	0,930	1,294	2,038	1,637	1,881
	18.	0,930	/	1,821	/	0,933	/

*- Calculs dans les travees :

*-moments dans les parties sous G+1,2P.

Niv	Travée	ℓ_i (m)	q t/mel	$M_o^{(t-m)}$	G+1,2P		
					$M_w^{(-)}$	M_t	$M_e^{(-)}$
III	1-2	3,15	3,45	4,279	0,632	2,506	2,913
	2-3	1,20	1,98	0,356	2,616	-1,110	0,317
	3-4	1,65	1,98	0,673	0,329	-1,109	1,235
	4-5	3,45	1,98	2,945	1,376	1,000	2,515
	5-6	5,10	1,22	3,966	2,778	2,166	0,922
II	7-8	3,15	2,4	2,976	0,681	1,679	1,913
	8-9	1,20	2,4	0,432	1,599	-0,597	0,459
	9-10	1,65	3,185	1,083	0,506	-0,107	1,875
	10-11	3,45	3,185	4,374	2,268	0,548	5,384
	11-12	5,10	2,67	8,680	4,555	5,101	2,603
I	13-14	3,15	2,40	2,976	0,706	1,679	1,888
	14-15	1,20	2,40	0,432	1,565	-0,579	0,458
	15-16	1,65	3,185	1,083	0,507	-0,101	1,862
	16-17	3,45	3,187	4,738	2,274	1,497	4,208
	17-18	5,10	2,67	8,680	5,172	4,755	2,678

*moments dans les poteaux :

Poteau	$M_{télé}$	M_{base}
1	0,632	0,320
2	0,297	0,147
3	0,012	0,0219
4	0,141	0,185
5	0,263	0,800
6	0,828	1,224
7	0,361	0,353
8	0,165	0,161
9	0,024	0,024
10	0,208	0,206
11	0,900	0,482
12	1,378	1,339
13	0,353	0,353
14	0,161	0,161
15	0,024	0,024
16	0,206	0,206
17	0,482	0,482
18	1,339	1,339

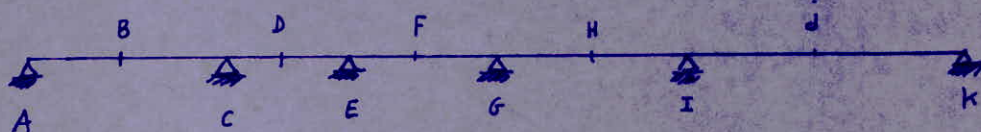
* Effets normaux des poteaux

Poteau	P_{propre} (t)	$N_{(t)}$	$N_{cum.}$ (t)
1	0,872	7,029	/
2	0,872	8,308	/
3	"	6,161	/
4	"	5,701	/
5	"	6,684	/
6	"	4,366	11,395
7	"	5,043	11,351
8	"	4,75	10,911
9	"	6,717	12,42
10	"	9,066	15,75
11	"	11,187	23,272
12	"	8,063	19,414
13	"	5,027	15,938
14	"	4,793	16,144
15	"	6,682	17,593
16	"	7,860	20,28
17	"	12,124	27,874
18	"	8,169	31,451

*- Ferrailage longitudinal de la partie la plus défavorable

. c) Méthode P. CHARON:

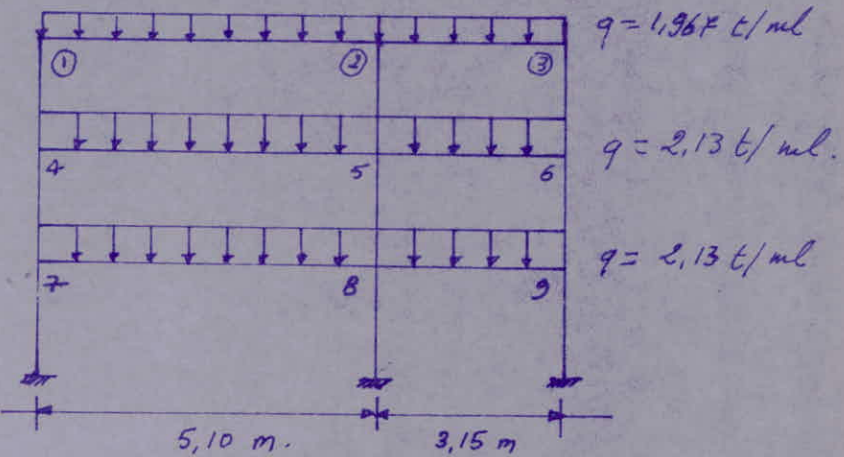
. Les moments max. sont donnés dans le tableau pour 10 sections.



Section	M_{max} (t·m)	A (cm ²)	A' (cm ²)	choix aciérs
A	0,706	0,57	0	
B	2,506	2,04	0	
C	2,913	2,42	0	
D	-1,11	0,90	0	
E	0,507	0,40	0	
F	-1,109	0,90	0	
G	2,274	1,99	0	
H	1,497	1,88	0	
I	5,394	4,6	0	
J	5,101	4,34	0	
K	2,678	2,22	0	

- Etude du portique (77) -

* Schéma statique et chargement:



* Caractéristiques géométriques:

NOEU.	1.	2.	3.	4.	5.	6.	7.	8	9	
l_w	/	5,10	3,15	/	5,10	3,15	/	5,10	3,15	
(m)	l_c	5,10	3,15	/	5,10	3,15	/	5,10	3,15	
h_n	/	/	/	3,2	3,2	"	"	"	"	
h_s	3,2	3,2	"	"	"	"	"	"	"	
\downarrow	I_w	/	31,25	31,25	/	31,25	31,25	/	31,25	31,25
10^{-4}	I_e	31,25	31,25	/	31,25	31,25	/	31,25	31,25	
m^4	I_n	/	/	/	10,71	"	"	"	"	
\uparrow	I_s	10,71	"	"	"	"	"	"	"	
l'_w	/	4,08	2,52	/	4,08	2,52	/	4,08	2,52	
(m)	l'_e	4,08	2,52	/	4,08	2,52	/	4,08	2,52	
h'_n	/	/	/	2,988	2,988	2,988	2,656	2,656	2,656	
h'_s	2,656	"	"	"	"	"	"	"	"	
\downarrow	k_w	/	7,66	12,4	/	7,66	12,4	/	7,66	12,4
10^{-4}	k_e	7,66	12,4	/	7,66	12,4	/	7,66	12,4	
m^3	k_n	/	/	/	3,58	3,58	3,58	4,03	4,03	4,03
\uparrow	k_s	4,03	4,03	"	"	"	"	"	"	"
D	9,94	24,09	16,43	16,27	27,67	20,01	15,71	28,12	20,46	

*-moments dans le portique :

NIV	Noeuds	t_{hd}	q_w	q_c	M_w (t.m)	H_e	H_w	H_e	H_n	M_s
III	1.	/	1,967	/	3,85	/	0,88	/	0,88	
	2.	1,967	1,967	3,85	1,47	3,10	2,70	/	0,4	
	3.	1,967	/	1,47	/	0,36	/	/	0,36	
II	4.	/	2,13	/	4,17	/	2,27	0,97	1,10	
	5.	2,13	2,13	4,17	1,59	3,45	2,75	0,33	0,37	
	6.	2,13	/	1,59	/	0,6	/	0,28	0,32	
I	7.	/	2,13	/	4,17	/	2,14	1,07	1,07	
	8.	2,13	2,13	4,17	1,59	3,46	2,76	0,33	0,37	
	9.	2,13	/	1,59	/	0,62	/	0,31	0,31	

*- Efforts tranchants :

NIV.	Travée	l_i (m)	$q_{t_{hd}}$	M_w (t.m)	H_e	$\bar{T}_{v=0}$ (t)	$\bar{T}_{x=t}$ (t)
III	1-2	5,10	1,967	0,88	3,10	5,45	-4,58
	2-3	3,15	1,967	2,70	0,36	2,35	-3,84
II	4-5	5,10	2,13	2,07	3,45	5,70	-5,16
	5-6	3,15	2,13	2,75	0,60	2,67	-4,03
I	7-8	5,10	2,13	2,14	3,46	5,69	-5,17
	8-9	3,15	2,13	2,76	0,62	2,67	-4,03

*-moments dans les poutres :

Niv.	Travée	l _i (m)	q t/m	M ₀ (t.m)	G + 1,2 P		
					M _{w(-)}	M _t	M _{d(-)}
III	1-2	5,10	1,967	6,14	0,80	5,37	3,1
	2-3	3,15	1,967	2,44	2,7	1,276	0,36
II	4-5	5,10	2,13	6,92	2,07	5,2	3,45
	5-6	3,15	2,13	2,64	2,75	1,36	0,60
I	7-8	5,10	2,13	6,92	2,14	5,16	3,46
	8-9	3,15	2,13	2,64	2,76	1,35	0,62

*-moments poteaux :

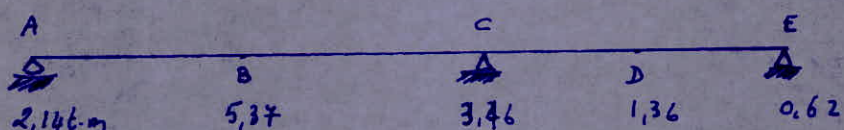
Poteau	M _{éti} (t.m)	H _{base}
1	0,88	-0,97
2	-0,40	0,33
3	-0,36	0,28
4	1,10	-1,07
5	-0,37	0,33
6	-0,32	0,31
7	1,07	-1,07
8	-0,37	0,37
9	-0,31	0,31

*-Effets ramaux poteaux:

Pot.	1	2	3	4	5	6	7	8	9
P Prop (t)	0,842	"	"	"	"	"	"	"	"
N (t)	5,45	6,93	3,84	5,70	7,13	4,03	5,69	7,84	4,03
N _{Cum.}	/	/	/	11,15	14,76	7,87	16,74	22,60	11,90

*-Ferraillage des sections dangereuses.

Ferraillage longitudinal.

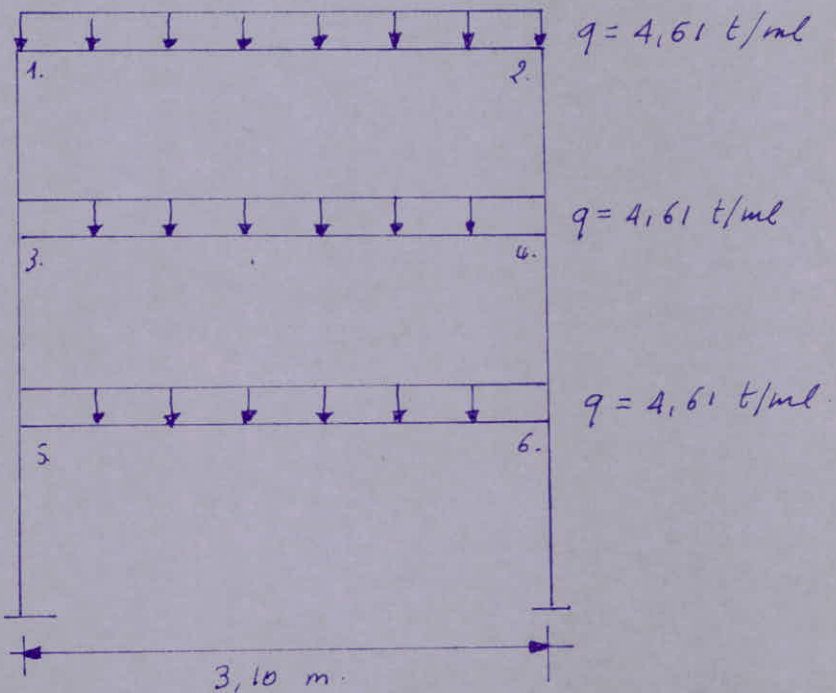


*-Sait le tableau suivant:

Section	M (t.m)	A cm ²	A' cm ²	choix acières
A	2,14	1,93	0	
B	5,37	4,85	0	
C	3,46	3,12	0	
D	1,36	1,23	0	
E	0,62	0,56	0	

*- Etude du portique 9-9.

*- Schéma statique et chargement :



Remarque :

La charge au niveau terrasse est légèrement supérieure à celle des niveaux courants, pour simplifier les calculs, on uniformisera la charge pour tous les niveaux ($q_{\max} = 4,61 \text{ t/ml}$).

*- Caractéristiques géométriques :

Nœud	l_w (m)	l_e	h_n	h_s	I_w	I_e	I_n	I_s	l'_w	l'_e	h'_n	h'_s	K_w	K_e	K_n	K_s	D
1.	/	3,10	/	3,32	/	31,25	/	10,71	/	2,48	/	2,656	/	12,60	/	4,03	16,6
2.	3,10	/	/	3,32	31,25	/	/	10,71	2,48	/	/	2,656	12,60	/	/	4,03	16,6
3.	/	3,10	3,32	3,32	/	31,25	10,71	10,71	/	2,48	2,988	2,656	/	12,60	3,58	4,03	16,6
4.	3,10	/	3,32	3,32	31,25	/	10,71	10,71	2,48	/	2,987	2,656	12,60	/	3,58	4,03	16,6
5.	/	3,10	3,32	3,32	/	31,25	10,71	10,71	/	2,48	2,656	2,656	/	12,60	4,03	4,03	20,6
6	3,10	/	3,32	3,32	31,25	/	10,71	10,71	2,48	/	2,656	2,656	12,60	/	4,03	4,03	20,6

*-moments dans le portique sous G+1,2P

Niv	nœud	q_{tut}	q_e	H'_w	M'_c	M_w	M_e	M_n	M_s
III	1.	/	4,61	/	2,362	/	0,572	/	0,572
	2.	4,61	/	2,362	/	0,572	/	/	-0,572
II	3.	/	4,61	/	2,362	/	0,889	0,418	0,470
	4.	4,61	/	2,362	/	0,889	/	-0,418	-0,470
I	5.	/	4,61	/	2,362	/	0,921	0,460	0,460
	6.	4,61	/	2,362	/	0,921	/	-0,460	-0,460

*-Effets tranchants sous G+1,2P.

Niv.	Travée	l_i	q_{tut}	H_w ($\text{t} \cdot \text{m}$)	M_c	$T_{x=0}$ (t)	$T_{x=l}$ (t)
III	1-2	3,10	4,61	0,572	0,572	7,145	-7,145
II	3-4	3,10	4,61	0,889	0,889	7,145	-7,145
I	5-6	3,10	4,61	0,921	0,921	7,145	-7,145

*-moments dans les poutres sous G+1,2P.

Niv	Travée	l_i (m)	q_{tut}	H_o	H_w	H_t	M_c
III	1-2	3,10	4,61	5,537	0,572	6,368	0,572
II	3-4	3,10	4,61	5,537	0,889	6,368	0,889
I	5-6	3,10	4,61	5,537	0,921	6,369	0,921

$$\text{On doit vérifier que } H_t + \frac{H_w + H_e}{2} \geq 1,15 H_o$$

$$\text{d'où } H_t \geq 1,15 H_o - \frac{H_w + H_e}{2}$$

$$\text{on prendra la limite cadr. } H_t = 1,15 H_o - \frac{H_w + H_e}{2}$$

$$\text{où } H_o = \frac{q l^2}{8} \text{ (Moment instatique).}$$

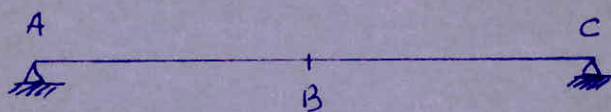
* -moments en tête et à la base des poteaux :

Poteaux	$M_{tête}$	M_{base}
1	0,572	-0,418
2	-0,572	0,418
3	0,470	0,460
4	-0,470	0,46
5	0,460	-0,46
6	-0,46	+0,46

* -Effets normaux des poteaux :

Poteau	P. Propre (t)	N (t)	Ncum. (t)
1	0,878	7,145	8,017
2	"	7,145	8,017
3	"	7,145	16,034
4	"	7,145	16,034
5	"	7,145	24,061
6	"	7,145	24,061

* -Ferraillage des différents sections dangereuses dans la partie.



Section	H t.m	A (cm²)	A' (cm²)	choix aciérs.
A	0,921	0,744	0	
B	6,368	5,474	0	
C	0,921	0,744	0	

Remarque :

Les différents vérifications sont satisfaites.

ARMATURES TRANSVERSALES.

*_ Les armatures transversales seront calculées à l'aide de l'effort tranchant max (parmi les pratiques d'un même étage). Pour chaque niveau.

Niveau III: $T = 7,48 t$, $M_{corr} = 2,42 t \cdot m$, $A = 2,26 \text{ cm}^2$

- $\bar{\sigma} = \frac{100A}{bh} = \frac{100 \cdot 2,26}{30 \times 46} = 0,1637 \rightarrow \begin{cases} \varepsilon = 0,9342 \\ K = 61,0 \end{cases} \quad \begin{matrix} \bar{\sigma}_b < \bar{\sigma}'_b \\ 45,9 < 137 \end{matrix}$
- $\bar{\tau}_b = \frac{7480}{30 \cdot \frac{7}{8} \cdot 46} = 6,194 \text{ kg/cm}^2$. $\bar{\tau}_{b_1} = 3,5 \bar{\sigma}_b = 20,65 \text{ kg/cm}^2$
- on a $\bar{\tau}_b < \bar{\tau}_{b_1}$ et $\bar{\sigma}_b < \bar{\sigma}'_{b_0}$. $\bar{\tau}_{b_2} = \left(4,5 - \frac{\bar{\sigma}_b}{\bar{\sigma}'_{b_0}}\right) \cdot \bar{\sigma}_b = 22,59 \text{ kg/cm}^2$

donc des cadres et des étriers verticaux seront utilisés.

*_ Contrainte admissible des armatures transversales.

- $\bar{\sigma}_{at} = \rho_a \cdot \sigma_{en}$; $\rho_a = \max \left\{ 1 - \frac{\bar{\tau}_b}{9\bar{\sigma}_b} = 0,88 \right\} = 0,88$
- $\bar{\sigma}_{at} = 0,88 \cdot 2400 = 2112 \text{ kg/cm}^2$
- on prend un cadre + 1 étrier $\phi 8 \rightarrow A_t = 2,01 \text{ cm}^2$
- $t_o = \frac{A_t \cdot \bar{\sigma}_{at} \cdot 3}{T_{max}} = \frac{2,01 \cdot 2112 \cdot 40,25}{7480} = 22,84 \text{ cm}$.
- Espacement admissible: $\bar{t} = \max \begin{cases} t_1 = 0,2h = 9,2 \text{ cm} \\ t_2 = \left(1 - 0,3 \frac{\bar{\tau}_b}{\bar{\sigma}_b}\right) h = 31,51 \text{ cm} \end{cases}$

*_ Compléments aux parois minimes (C.T.C.):

- Dans la zone nodale: $\bar{t} = \min \{ 0,3h_t, 12\phi \} = 9,6 \text{ cm}$
- Hors de la zone nodale: $\bar{t} = 0,5h_t = 25 \text{ cm}$

On prend $t = 9 \text{ cm}$ dans la zone nodale, ailleurs suivi de Cagnot.

*.- Pour les niveaux II et I, nous donnons les résultats de calcul seulement.

- Niveau II.

. $T_{max} = 10,52 t$; $\bar{\sigma}_b' = 40 \text{ kg/cm}^2$; $\bar{\tau}_b = 20,65 \text{ kg/cm}^2$

. $M_{con} = 5,61 t \cdot m$; $\bar{\tau}_b = 8,71 \text{ kg/cm}^2$; $\bar{\tau}_{b_2} = 20,52 \text{ kg/cm}^2$
 $A = 4,79 \text{ cm}^2$, $\bar{\sigma}_b' = 70 \text{ kg/cm}^2$.

C.T.C :

. zone nodale : $\bar{t} = \min \{ 0,3 h_f, 12 \phi \} = 9,6 \text{ cm}$

. en dehors : $\bar{t} = 0,5 h_f = 25 \text{ cm}$

mais $\bar{\tau}_b < \bar{\tau}_{b_1}$ et $\bar{\sigma}_{b_0}' < \bar{\sigma}_b < 2 \bar{\sigma}_{b_0}'$ (cadres et étiers verticaux).

. $\rho_a = 0,8359$; $\bar{\sigma}_{at} = 2006,16 \text{ kg/cm}^2$.

. On prend 1 cadre + 1 étier $\phi 6 \rightarrow A_f = 1,01 \text{ cm}^2$

. $t_0 = 15,42 \text{ cm}$; $\bar{t} = 25,62 \text{ cm}$.

. On prendra alors $t = 9 \text{ cm}$ dans la zone nodale, puis on suivra la tendance de capuchon ailleurs.

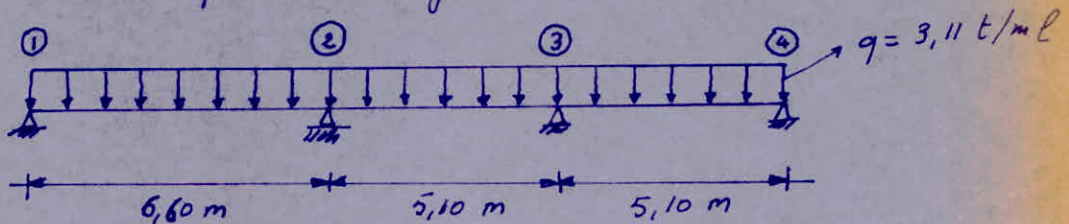
- Niveau I :

Dans ce niveau, on a $T_{max} = 10,50 t$, on peut donc utiliser le même ferrailage et les mêmes espacements de cadres que le niveau N° II.

ÉTUDE DES POUTRES TRANSVERSALES

1^o/ Poutre (A-A). 30x50 ; $h = 46 \text{ cm}$.

*- Schéma statique et chargement :



*- c) Méthode de Caquot :

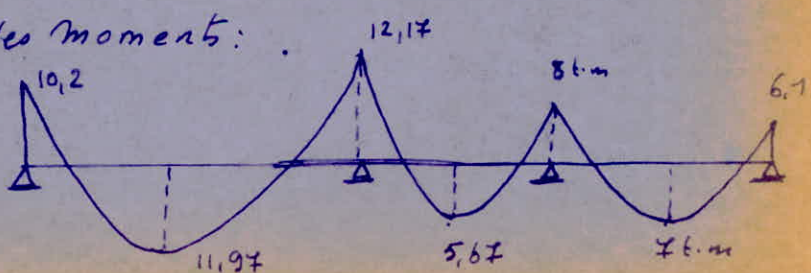
. Soit le tableau suivant donnant les moments dans la poutre.

Travée	sous G		sous $G+1,2P$			
	M_w	M_e	M_o	M_w	M_L	M_e
1-2	4,5	5,36	16,9	10,2	11,97	12,17
2-3	5,36	3,52	10,11	12,4	5,67	8
3-4	3,52	2,68	10,11	8	7	6,1

*- Effets tranchants : ($G+1,2P$)

Travée	l_i	$q \text{ t/m}$	M_w (t·m)	M_e	$T_{x=0}$ (t)	$T_{u=P}$ (t)
1-2	6,60	3,11	10,2	12,17	10,561	-9,964
2-3	5,10	3,11	12,4	8	7,008	-8,852
3-4	5,10	3,11	8	6,1	7,558	-8,303

*- Diagramme des moments :



*- Ferraillage: Méthode de PCHARON .

Armatures longitudinales :

. Poêud ① : $H = 10,2 \text{ t.m}$; $h = 46 \text{ cm}$

$$A = 8,98 \text{ cm}^2 \quad \sigma'_b < \bar{\sigma}'_b \rightarrow (A' = 0)$$

. Poêud ② : $H = 12,17 \text{ t.m}$.

$$A = 10,82 \text{ cm}^2 ; \quad \sigma'_b < \bar{\sigma}'_b \quad (A' = 0)$$

. Poêud ③ : $H = 8 \text{ t.m}$.

$$A = 6,95 \text{ cm}^2 \quad \sigma'_b < \bar{\sigma}'_b \quad (A' = 0)$$

. Poêud ④ : $H = 6,1 \text{ t.m}$.

$$A = 5,23 \text{ cm}^2 \quad \sigma'_b < \bar{\sigma}'_b \quad (A' = 0)$$

*- Aciers à mi-travée :

. $M_{t_1} = 11,97 \text{ t.m}$.

$$A = 10,63 \text{ cm}^2 ; \quad (A' = 0) \quad (\sigma'_b < \bar{\sigma}'_b)$$

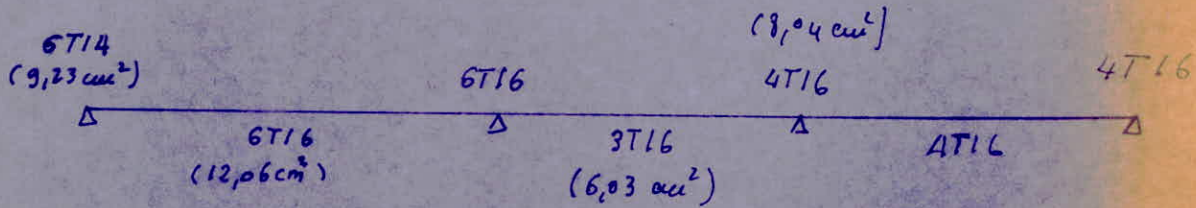
. $M_{t_2} = 5,67 \text{ t.m}$

$$A = 4,84 \text{ cm}^2 \quad (A' = 0)$$

. $M_{t_3} = 7 \text{ t.m}$

$$A = 6,04 \text{ cm}^2 \quad \sigma'_b < \bar{\sigma}'_b \quad (A' = 0)$$

*- Choix des aciers :



* Verifications :

1° Effets tranchants :

$$\begin{aligned} T_{\max} &= 10,561 t & \left\{ \text{appui N}^{\circ} 2, \text{Tracé (1-2).} \right. \\ M_{\text{corr}} &: 10,2 t \cdot m & \left. \right\} \end{aligned}$$

$$A \geq \left(T + \frac{M}{\frac{1}{3} \bar{\sigma}_a} \right) \frac{1}{\bar{\sigma}_a} = \left(10561 - \frac{1020000}{40,25} \right) \frac{1}{2800} < 0 \text{ (vérifiée)}$$

* Verifications à la flèche :

$$\cdot h_f \geq \frac{1}{10} l = \frac{6,6}{16} = 0,41 \text{ m} < h_f, \text{ on vérifie alors les deux vérifications :}$$

$$\cdot h_f \geq \frac{1}{16} \cdot \frac{1197000}{1690000} \cdot 660 = 46,74 \text{ cm} < 50 \text{ cm.}$$

$$\cdot \frac{A}{bh} \leq \frac{43}{5 \sigma_{en}} \Rightarrow \frac{12,06}{30 \times 46} = 0,0087 ; \quad \frac{43}{4120} = 0,01 \text{ (vérifiée)}$$

$\sigma_{en} = 4120 \text{ bars.}$

* Vérification à la fissuration :

$$\bar{\omega}_f = \frac{A}{B_f} = \frac{12,06}{(2d+\phi)b} = \frac{12,06}{(8+1,6)30} = 0,041$$

$$\sigma_1 = k_n \cdot \frac{\bar{\omega}_f}{\phi} \cdot \frac{1}{1+10\bar{\omega}_f} = \frac{10^6 \cdot 1,6}{16} \cdot \frac{0,041}{0,41+1} = 2907,80 \text{ kg/cm}^2$$

$$\sigma_2 = 2,4 \sqrt{\frac{k_n}{\phi} \cdot \bar{\sigma}_b} = 1827,78 \text{ kg/cm}^2$$

d'où alors :

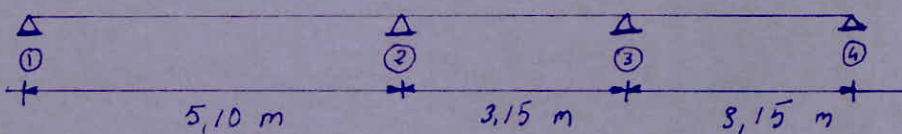
$$\bar{\sigma}_f = \min \left\{ \bar{\sigma}_a = 2800, \max \left(\frac{\sigma_1}{\sigma_2} \right) \right\} = 2800 \text{ kg/cm}^2$$

on a bien $\bar{\sigma}_a = 2800 \text{ kg/cm}^2$ à considérer dans les calculs.

2°/ Poutre Transversale (B-B)

- Dimension 30×50 , trois travée inégales avec charges différentes sur les trois travées.

*. Schéma statique et chargement :



. Charges permanents :

- travée (1-2) : $q_1 = 1,756 \text{ t/ml}$.

- travée (2-3) : $q_2 = 1,631 \text{ t/ml}$.

- Travée (3-4) : $q_3 = 1,706 \text{ t/ml}$.

. Surcharges :

- travée (1-2) : $s_1 = 0,632 \text{ t/ml}$. $q_1' = q_1 + 1,2s_1 = 2,515 \text{ t/ml}$

- Travée (2-3) : $s_2 = 0,575 \text{ t/ml}$. $q_2' = 2,322 \text{ t/ml}$

- Travée (3-4) : $s_3 = 0,426 \text{ t/ml}$. $q_3' = 1,818 \text{ t/ml}$

*. Calcul des moments : Méthode ffataine :

Sachant que le rapport $\frac{l_i}{l_{i+1}}$ n'est pas compris entre $[0,8, 1,25]$; mais conformément au C.C.B.A 68, Art. 55, 32 P. 106; on calcule séparément les moments (méthode ffataine) sous les charges permanents les plus défavorables, puis sous les surcharges les plus défavorables, on ferraillera avec les moments globaux dus à ces chargements.

* Calcul des effets Tranchants:

$$T_g = q_g \frac{\ell}{2} ; T_d = q_d \cdot \frac{\ell}{2}$$

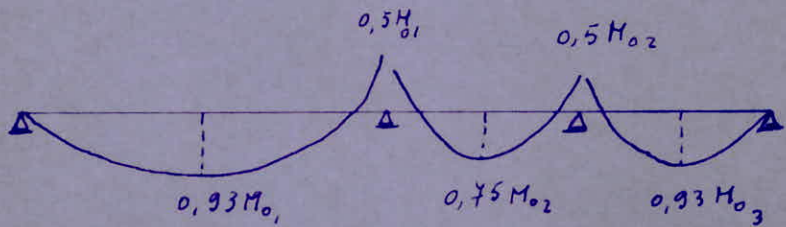
- Appuis de rives :

$$T = T_g \text{ ou } T_d$$

- Appuis intermédiaires

$$\bar{T}_i = \bar{T}_{g_i} + \bar{T}_{d_i} . \text{ En les majorant de } 10\%.$$

* Diagrammes des moments :



* Evaluation des moments isostatiques :

$$M_{01} = q_1 \frac{l_1^2}{8} = 2,515 \frac{5,10^2}{8} = 8,18 \text{ t.m.}$$

$$M_{02} = q_2 \frac{l_2^2}{8} = 2,89 \text{ t.m.}$$

$$M_{03} = q_3 \frac{l_3^2}{8} = 2,25 \text{ t.m.}$$

* Calcul des armatures longitudinales : (Méthode P. CHARON).

- Entrée :

$$\text{Travée (1-2)} : 8,18 \times 0,93 = 7,6 \text{ t.m.} = M_{t_1}$$

$$A = 6,6 \text{ cm}^2 ; \sigma'_b < \bar{\sigma}'_b \rightarrow (A' = 0)$$

$$\text{Travée (2-3)} : M_{t_2} = 0,75 \cdot 2,89 = 2,16 \text{ t.m.}$$

$$A = 1,78 \text{ cm}^2 , \sigma'_b < \bar{\sigma}'_b \rightarrow (A' = 0).$$

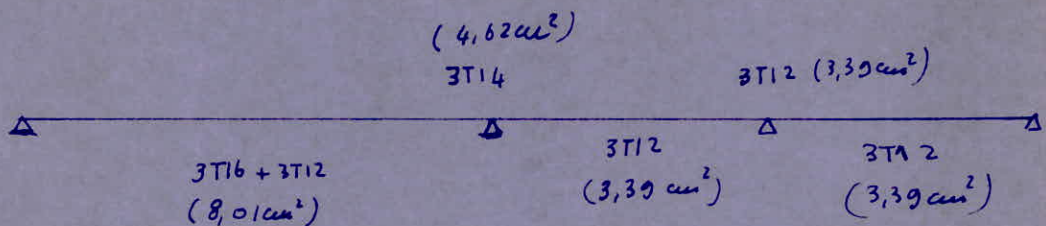
$$\text{Travée (3-4)} : M_{t_3} = 0,93 \cdot 2,25 = 2,095 \text{ t.m.} ; A = 1,72 \text{ cm}^2$$

- sorties appuis :

$$M_{a_1} = 4,09 \text{ t.m.} \rightarrow A = 3,45 \text{ cm}^2 \quad (A' = 0).$$

$$M_{a_3} = 1,44 \text{ t.m.} \rightarrow A = 1,17 \text{ cm}^2 \quad (A' = 0).$$

*. Choix des aciers :



*. Calcul des efforts tranchants :

on aura un effort tranchant max. au niveau du noeud N° 2.

$$T_2 = q_g \frac{l_y}{2} + q_d \frac{l_z}{2} = \frac{2,515 \cdot 5,10}{2} + \frac{9,322 \cdot 3,15}{2} = 10,070 \text{ t.}$$

* Les différentes vérifications sont satisfaites.

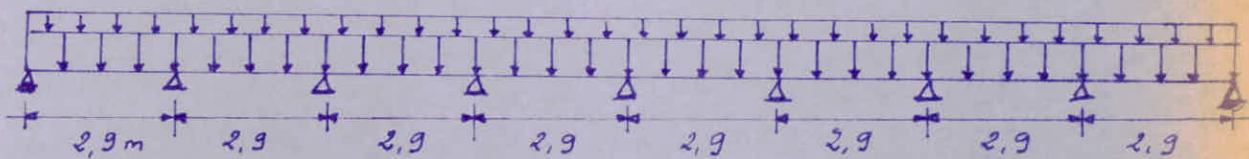
CALCUL DES POUTRES LONGITUDINALES DE CHAINAGE. (NON PORTEUSES).

1^o/ Poutre I-I

C'est une poutre à travées égales de dimension (30x50), de hauteur utile 46 cm.

* Schéma statique et chargement :

- charges permanentes : $G = 1714,45 \text{ kg/ml}$
- surcharges : $P = 97,5 \text{ kg/ml}$.



* Calcul des moments :

Les moments au travée et au appuis sont donnés par des formules (du aide mémoire RDH) relatives aux poutres à travées égales et charges uniformément réparties.

$$\cdot M_t = \frac{G l^2}{12,9} + \frac{P l^2}{10,1} = 1,2 t \cdot m. \quad (\text{en travée}).$$

$$\cdot M_a = \frac{G l^2}{9,8} - \frac{P l^2}{8,4} = 1,372 t \cdot m \quad (\text{sur appui}).$$

* Ferroillage de la poutre : (Méthode de H. P. CHARON)

1^o/ En travée : $M_t = 1,2 t \cdot m.$, $b = 30 \text{ cm.}$, $h = 46 \text{ cm.}$ $\bar{\sigma}_a = 2800 \text{ kg/cm}^2$

$$\therefore \mu = \frac{15 H}{\bar{\sigma}_a \cdot b \cdot h^2} = 0,0044 \xrightarrow{\text{Tabl.}} \begin{cases} E = 0,9563 \\ K = 99,5 \end{cases} \quad \bar{\sigma}'_b = \frac{\bar{\sigma}_a}{K} < \bar{\sigma}'_b = 137 \text{ kg/cm}^2$$

$$\cdot A = \frac{M}{\bar{\sigma}_a \cdot E \cdot h} = 1 \text{ cm}^2. \quad \Rightarrow (A' = 0)$$

. Sur appui : $M_a = -1342 \text{ t.m.}$

$$\mu = \frac{15 M_a}{\bar{\sigma}_a \cdot b \cdot h^2} = 0,0115 \rightarrow \begin{cases} \varepsilon = 0,9519 \\ K = 89 \end{cases} \quad \begin{array}{l} \bar{\sigma}'_b < \bar{\sigma}_b \\ (A' = 0) \end{array}$$

$$A = \frac{M_a}{\bar{\sigma}_a \cdot \varepsilon \cdot h} = 1,13 \text{ cm}^2$$

*- Vérifications :

1/ Condition de non fragilité :

$$A \geq A_{NI.f} = 0,69 \cdot b \cdot h \cdot \frac{\bar{\sigma}_b}{\bar{\sigma}_{en}} = 1,34 \text{ cm}^2$$

d'où alors A doit-être $> 1,34 \text{ cm}^2$.

2/ Effet tranchant

$$T = (G + 1,2P) l = 5,254 \text{ t.}$$

$$A \geq \frac{T}{\bar{\sigma}_a} + \frac{M_a}{Z \cdot \bar{\sigma}_a} = \frac{5,254}{2800} - \frac{134200}{\frac{Z}{8} \cdot 46 \cdot 2800} = 0,64 \text{ cm}^2$$

*- Choix des aciers :

. En travées : 3T12 ($2,35 \text{ cm}^2$).

. Aux appuis : 3T12 ($2,35 \text{ cm}^2$).

2°/ Poutre Longitudinale (II-II).

* Poutre à 2 travées inégales avec une charge concentrée sur la 2^e travée (qui est la réaction de la poutre transversale (B.B) sur celle-ci). Dimensions 30x70 ; h = 66 cm.

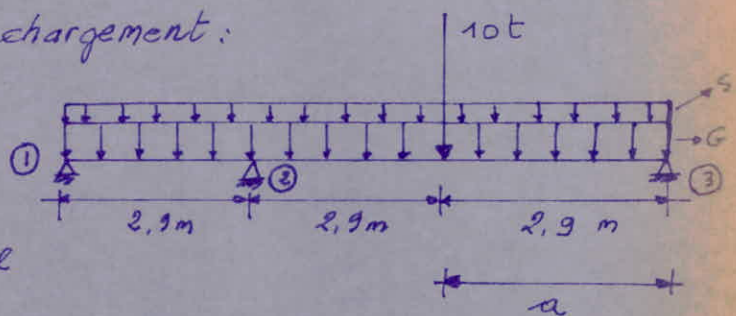
La méthode de calcul est celle de Caquot en négligeant la solidarité avec les poteaux ($K_s = K_u = 0$) CC BA 66 ANNEXES A (P.141)

* Schéma statique et chargement :

$$G = 2,5 \text{ t/ml.}$$

$$S = 1,03 \text{ t/ml.}$$

$$q = G + 1,2 S = 3,71 \text{ t/ml}$$



* Calcul des moments : ($G + 1,2 P$).

. Les moments aux appuis (M_e, M_w) sont donnés directement par les formules suivantes (CC BA 68 . AN.A . P.141).

$$\text{Nœud } ① : M_e = \frac{q_e l_e'^2}{8,5}$$

$$\text{Nœud } ③ : M_w = \frac{q_w \cdot l_w'^2}{8,5} + K \cdot P \cdot l_w' \quad \left(a = 0,5 \xrightarrow{\text{Ech. F.}} K = 0,176 \right)$$

$$\text{Nœud } ② : M_e = M_w = \frac{q_e l_e'^3 + q_w l_w'^3}{8,5(l_e' + l_w')} + \frac{l_e'^2 \cdot K \cdot P}{l_w' + l_e'}$$

Nœud ① :

$$\begin{aligned} l_e &= 2,9 \text{ m} & l_e' &= 2,32 \text{ m} \\ l_w &= 0 & l_w' &= 0 \end{aligned} \quad \left. \right\} - M_e = 3,71 \text{ t.m.}$$

Nœud ② :

$$\begin{aligned} l_w &= 2,9 \text{ m} & l_w' &= 2,9 \text{ m} \\ l_e &= 5,8 \text{ m} & l_e' &= 5,8 \text{ m} \end{aligned} \quad \left. \right\} \quad M_e = M_w = 17,57 \text{ t.m.}$$

$$\text{Nœud } ③ : l_w = 5,8 \text{ m}; l_w' = 4,64; M_w = 17,28 \text{ t.m.}$$

*- Calcul des moments sous G : $G = 2,5 \text{ t/m}$

Nœud ① : $M_e = \frac{q_e \cdot l'^2}{8,5} = 1,57 \text{ t.m.}$ $P_G = 6,98t$ (G de la partie B-B)

Nœud ② : $M_e = M_\omega = \frac{q}{8,5} \frac{(l'_e)^3 + (l'_\omega)^3}{(l'_e + l'_\omega)} + K \cdot P_G \cdot \frac{l'^2}{l'_\omega + l'_e} = 12 \text{ t.m.}$

Nœud ③ : $M_\omega = \frac{q_\omega l'^2}{8,5} - K P_G l'_\omega = 11,83 \text{ t.m.}$

*- Calcul des moments en travées:

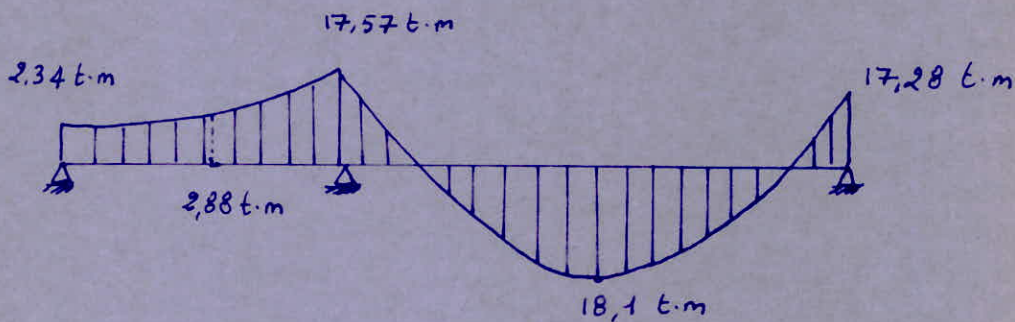
. $M_{o_1} = \frac{(G + 1,2P)l^2}{8}$ (Pour travée 1-2). } Moments isostatiques.

. $M_{o_2} = \frac{(G + 1,2P)l^2}{8} + \frac{P l}{4}$ (Pour travée 2-3)

. $M_{t_1} = M_{o_1} - \frac{M_G(\omega) + M_G(e)}{2} = -2,88 \text{ t.m}$ (Travée 1-2).

. $M_{t_2} = M_{o_2} - \frac{M_G(\omega) + M_G(e)}{2} = 18,1 \text{ t.m.}$ (travée 2-3).

*- Diagramme des moments:



*- Calcul des effets tranchants : ($G + 1,2 P$)

Travée	l_i (m)	M_w t.m	M_c	q t/mel	$T_{x=0}$ (t)	$T_{x=l}$ (t)
1-2	2,90	2,34	17,57	3,41	10,63	-0,127
2-3	5,80	17,57	17,28	3,71	16,70	-15,80

$$T_{x=0} = \pm \frac{q l}{2} + \frac{M_c - M_w}{l}$$

Pour la travée (2-3) $T_{x=0} = \pm \frac{q l}{2} \pm \frac{P}{2} + \frac{M_c - M_w}{l}$; ($P = 10 t$)

*- Ferrailage :

. Armatures longitudinales : (Méthode . P. CHARON)

1° aux appuis :

- Nœud ① : $M = 2,34$ t.m.

$$\mu = \frac{15 H}{\bar{\sigma}_a \cdot b \cdot h^2} = 0,0095 \rightarrow \begin{cases} \varepsilon = 0,9561 \\ k = 99 \end{cases} \quad \sigma'_b < \bar{\sigma}'_b \quad (A' = 0)$$

$$A = \frac{H}{\bar{\sigma}_a \cdot \varepsilon \cdot h} = 1,32 \text{ cm}^2$$

- Nœud ② : $M = 17,57$ t.m

$$\mu = 0,0420 \xrightarrow{\text{Tabl.}} \begin{cases} \varepsilon = 0,891 \\ k = 30,5 \end{cases} \quad \sigma'_b < \bar{\sigma}'_b \quad (A' = 0)$$

$$A = 10,67 \text{ cm}^2$$

- Nœud ③ : $M = 17,28$ t.m.

$$\mu = 0,0408 \rightarrow \begin{cases} \varepsilon = 0,8911 \\ k = 30,9 \end{cases} \quad \sigma'_b < \bar{\sigma}'_b \rightarrow (A' = 0)$$

$$A = 10,49 \text{ cm}^2$$

2° En travée :

- travée (1-2) : $M_t = -2,88$ t.m.

$$A = 1,63 \text{ cm}^2$$

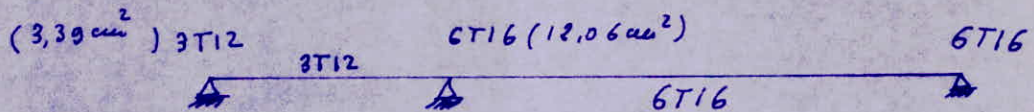
$$\begin{cases} \varepsilon = 0,9516 \\ k = 88 \end{cases} \quad \sigma'_b < \bar{\sigma}'_b \quad (A' = 0)$$

- travée (2-3) : $M_t = 18,1$ t.m

$$A = 11,02 \text{ cm}^2$$

$$\begin{cases} \varepsilon = 0,8889 \\ k = 30 \end{cases} \quad \sigma'_b < \bar{\sigma}'_b \quad (A' = 0)$$

* Choix des aciers :



* Vérifications :

1°/ Condition de non fragilité :

$$A_s \cdot 0,69 \cdot b \cdot h \cdot \frac{\bar{\sigma}_b}{\sigma_{en}} = 0,69 \cdot 30 \cdot 66 \cdot \frac{5,9}{4200} = 1,92 \text{ cm}^2$$

2°/ Effet touchant :

$$\frac{T_{max}}{M_{corr}} = \frac{15,80 \text{ t}}{14,28 \text{ t.m}} : A_s \geq \left(T + \frac{M}{\frac{1}{8} \bar{\sigma}_a} \right) \frac{1}{\bar{\sigma}_a} = \left(15800 - \frac{1428000}{57,75} \right) \frac{1}{2800} < 0$$

* Vérification de la flèche :

$$- h_t \geq \frac{1}{16} l \rightarrow 70 > \frac{580}{16} \text{ cm}$$

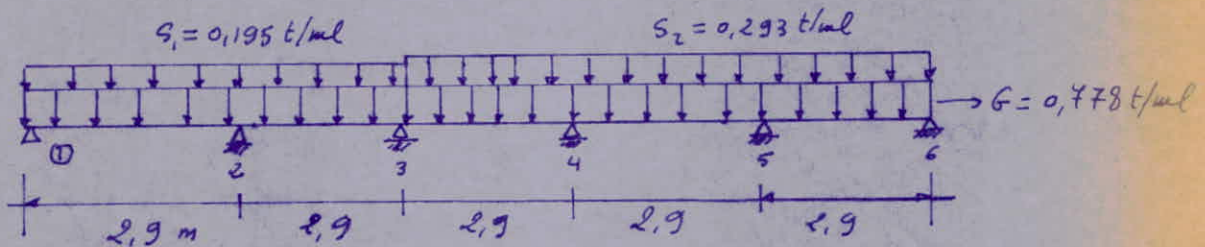
$$- h_t \geq \frac{1}{10} \cdot \frac{H_t}{H_0} l \rightarrow 70 > \frac{1810000 \cdot 580}{10 \cdot 3010055} = 34,87 \text{ cm}$$

$$* A_s \leq \frac{43}{4200} \cdot b \cdot h = \frac{43}{4200} \cdot 30 \cdot 66 = 20,27 \text{ cm}^2$$

*.- Poutre longitudinale III-III.

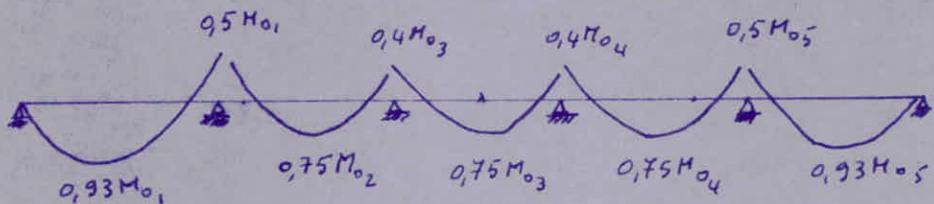
. Dimension (30 x 50), à travées égales.

*.- Schéma statique et chargement :



*.- Calcul des moments :

. On applique la méthode de foiafaine



*.- Calcul des moments isostatiques M_{oi} dûs aux charges et surcharges les plus défavorables.

$$\cdot q_{\max} = G + s_2 = 1,071 \text{ t/ml}$$

$$\cdot M_{o\max} = q_{\max} \cdot \frac{l^2}{8} = 1,125 \text{ t/ml}$$

$$\cdot M_{6\max} = 0,93 M_{o\max} = 1,047 \text{ t.m}$$

$$\cdot M_{a\max} = 0,75 M_{o\max} = 0,563 \text{ t.m.}$$

*.- Ferrailage .(acierts longitudinaux)

$$M_{\max} = M_6 = 1,047 \text{ t.m} \rightarrow A = 0,85 \text{ cm}^2 \quad (A \neq 0)$$

or $A_{N.f} > 1,34 \text{ cm}^2$, donc on adoptera le même ferrailage

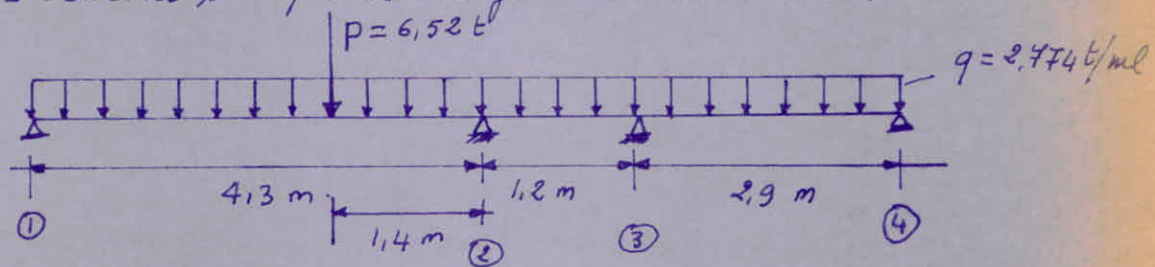
que la poutre (I-I), c'est : 3T12 en travées et aux appuis.

*.- Les vérifications sont satisfaites. (voir Poutre I-I)

*. Poutre longitudinale (IV-IV)

Poutre de dimensions 30×50 , travées inégales, avec charge concentrée sur la travée (1-2) qui est la réaction R_2 de la poutre transversale portante ($P = 6,52 t$)

*. Schéma statique et chargement : sous $G + 1,2P$:



*. La méthode de calcul est celle de M^e Caquot exposée dans la 1^{ère} Partie, ainsi nous donnerons tous les résultats sous forme de tableaux.

*. Calcul des moments aux appuis :

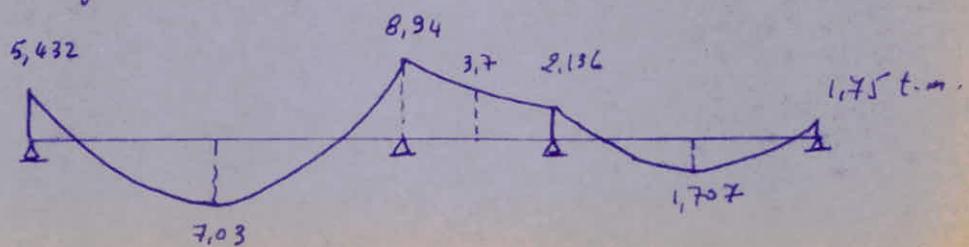
Soit le tableau suivant :

Noeud	1.	2.	3.	4.
M_w	/	4,3	0,96	2,32
M_e	3,44	0,96	2,9	/
M_{w_e} (t.m)	/	8,94	2,136	1,75
M_e	5,432	8,94	2,136	/

*. Moments en travées :

- $M_{t_1} = 7,03 t \cdot m$
- $M_{t_2} = -3,7 t \cdot m$
- $M_{t_3} = 1,707 t \cdot m$

*. Diagramme des moments :



*- Calcul des efforts tranchants :

Travée	l_i (m)	M_w	H_e	q_{tac}	$T_{x=0}$ (t)	$T_{x=l}$ (t)
1-2	4,3	5,432	8,94	2,444	10,039	-8,408
2-3	1,2	8,94	2,136	2,774	-4,005	-7,334
3-4	2,9	2,136	1,75	2,774	3,889	-4,155

$$\begin{aligned} P &= 6,52 t \\ \text{tr. (1-2)} \end{aligned}$$

*- Ferrailage :

- Armatures longitudinales : (Méthode de M² P.CHARON)

- Nœud ① : $M_a = 5,432 \text{ t.m}$; $h = 46 \text{ cm}$.

$$\mu = \frac{15 M}{\bar{\sigma}_a \cdot b \cdot h^2} = \frac{\text{Tabl}}{0,0458} \rightarrow \left\{ \begin{array}{l} \varepsilon = 0,9098 \\ K = 40,4 \end{array} \right. \quad \sigma'_b = \frac{\bar{\sigma}_a}{K} = 69,3 < \bar{\sigma}'_b \rightarrow (A' = 0)$$

$$A = \frac{M}{\bar{\sigma}_a \cdot \varepsilon \cdot h} = 4,64 \text{ cm}^2$$

- Nœud ② : $M_a = 8,94 \text{ t.m}$.

$$A = 7,82 \text{ cm}^2, \quad \sigma'_b = \frac{\bar{\sigma}_a}{K} = \frac{2800}{29,8} = 93,95 < 137 \quad (A' = 0)$$

- Nœud ③ : $M_a = 2,136 \text{ t.m}$.

$$A = 1,76 \text{ cm}^2, \quad K = 69,5 \rightarrow \sigma'_b < \bar{\sigma}'_b \rightarrow (A' = 0)$$

- Nœud ④ : $M_a = 1,75 \text{ t.m}$.

$$A = 1,43 \text{ cm}^2; \quad \sigma'_b < \bar{\sigma}'_b \rightarrow (A' = 0)$$

*- Travée (1-2) : $H_t = 7,03 \text{ t.m}$.

$$A = 6,071 \text{ cm}^2, \quad \sigma'_b < \bar{\sigma}'_b \rightarrow (A' = 0)$$

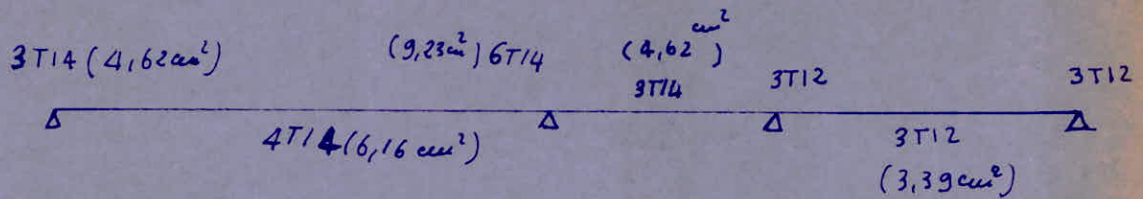
*- Travée (2-3) : $M_t = -3,46 \text{ t.m}$

$$A = 3,11 \text{ cm}^2; \quad (A' = 0)$$

*- Travée (3-4) : $M_t = 1,407 \text{ t.m}$

$$A = 1,4 \text{ cm}^2; \quad (A' = 0)$$

*- Echanc des aciers:



*- Verifications:

1^o/ Non fragilité:

$$A = 0,69 \cdot b \cdot h \cdot \frac{\bar{\sigma}_s}{\sigma_{en}} = 1,33 \text{ cm}^2 \quad (\text{Vérifiée}).$$

2^o/ Effort tranchant:

$$T_{max} = 10,039 \text{ t} ; M_{con} = 5,432 \text{ t} \cdot \text{m}$$

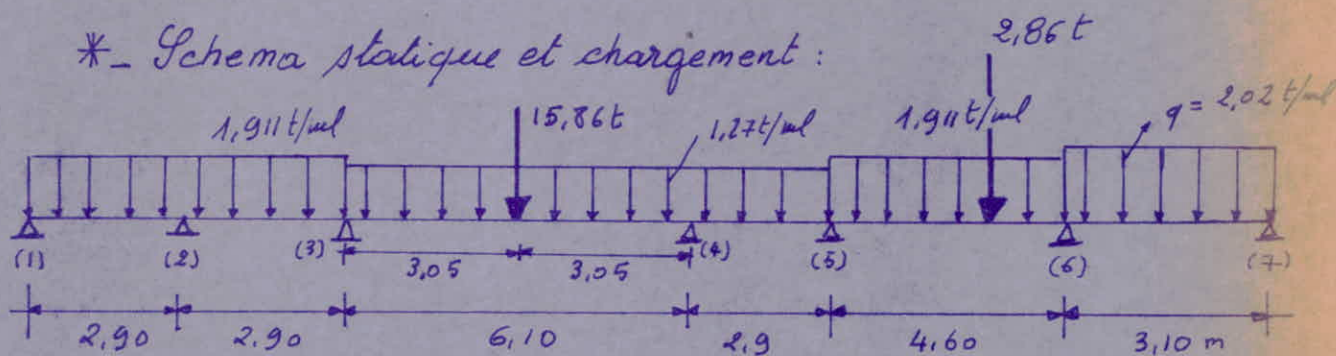
$$A \geq \left(T + \frac{M}{\delta} \right) \frac{1}{\bar{\sigma}_a} = \frac{10039}{2800} - \frac{543200}{2800 \cdot 40,15} = < 0 \quad (\text{vérifiée}).$$

. — o — o — .

*- POUTRE LONGITUDINALE (V-V)

Poutre à travées inégales, de 30×70 , avec 2 charges concentrées, l'une étant la 4^e réaction de la poutre transversale (A-A) appliquée au niveau de la travée (3-4), l'autre étant celle de la poutre transversale (B-B) appliquée en travée (5-6). voir schéma.

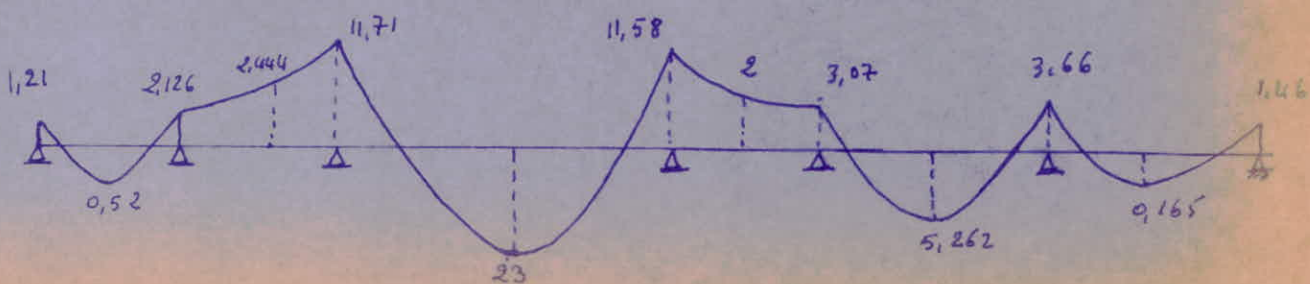
*- Schéma statique et chargement :



*- Calcul des moments. Méthode Caquot :

Les résultats sont donnés par le tableau suivant :

Travée	SOUS G .			SOUS G+1,2P.		
	M _W	M _E	M _o	M _W	M _E	M _E
1-2	1,48	2,018	2	1,21	0,519	2,126
2-3	2,078	7,075	2	2,126	-2,444	11,71
3-4	7,075	6,88	27,2	11,71	23,00	11,58
4-5	6,88	2,635	0,93	11,58	-2	3,07
5-6	2,635	3,20	8,68	3,07	5,262	3,66
6-7	3,20	1,31	2,42	3,66	0,165	1,46



*- Calcul des efforts tranchants :

Travée	l_i (m)	M_w t.m	M_e	$q \cdot l / 4$	$T_{x=0}$ (t)	$T_{x=L}$ (t)
1-2	2,90	1,21	2,126	1,911	3,086	-2,455
2-3	2,90	2,126	11,71	1,911	6,075	0,533
*. 3-4	6,10	11,71	11,58	1,27	11,782	11,824
4-5	2,9	11,58	3,07	1,27	-1,093	-4,476
*. 5-6	4,60	3,07	3,66	1,911	5,953	-5,697
6-7	3,10	3,66	1,46	2,02	2,421	-3,840

$$P_1 = 15,86 \text{ t sur trav. (3-4)}$$

$$P_2 = 2,86 \text{ t sur tr. (5-6)}$$

*- Armatures longitudinales :

. Nœud ② : $M = 2,126 \text{ t.m.}$, $h = 66 \text{ cm.}$

$$A = 1,2 \text{ cm}^2 \quad (A' = 0) \quad \text{du fait que } \sigma_b < \bar{\sigma}_b'.$$

. Nœud ③ : $M = 11,71 \text{ t.m.}$

$$A = 6,98 \text{ cm}^2. \quad (A' = 0)$$

$$M_{t_2} = 2,444 \text{ t.m.}$$

$$A = 1,38 \text{ cm}^2 \quad (A' = 0)$$

$$M_{t_3} = 23 \text{ t}$$

$$A = 14,19 \text{ cm}^2 \quad (A' = 0)$$

. Nœud ⑥ : $M_a = 3,66 \text{ t.m.}$

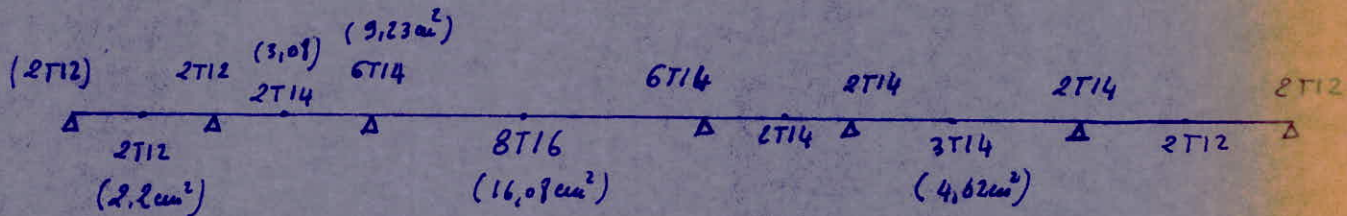
$$A = 2,09 \text{ cm}^2, \quad (A' = 0)$$

$$M_{t_5} = 5,262 \text{ t.m.}$$

$$A = 3,04 \text{ cm}^2$$

Remarque : Les autres sections sollicitées ayant des moments proches ou légèrement inférieurs seront ferraillees avec des séctions d'acier trouvées respectivement.

*- Choix des aciers :



*- Vérification :

- Effet tranchant:

$$T_{max} = 11,924 \text{ t}, M_{corr} = 11,58 \text{ t.m}$$

$$A \geq \left(T + \frac{M}{\bar{\sigma}_a} \right) \frac{1}{\bar{\sigma}_a} = \left(11824 - \frac{1158000}{57,75} \right) \frac{1}{\bar{\sigma}_a} < 0 \quad (\text{vérifiée})$$

*- Vérification à la flèche :

$$\cdot h_f \geq \frac{1}{16} l = \frac{610}{16} = 38,12 \text{ ou } h_f = 70 > 61 \quad (\text{vérifiée}).$$

$$\cdot h_f \geq \frac{1}{10} \cdot \frac{M_f}{M_0} l = \frac{1}{10} \cdot \frac{23 \cdot 10^5}{28,2 \cdot 10^5} \cdot 610 = 49 \quad (\text{vérifiée}).$$

~ o ~ o ~ o ~

*. Remarque :

La poutre longitudinale VI-VI sera ferrailée de la même façon que la poutre III-III.

o ARMATURES TRANSVERSALES o

*. Nous ferrailons la poutre longitudinale V qui est la plus sollicitée et nous adoptons le même ferrailage pour toutes poutres qu'elles soient transversales ou longitudinales.

* Pour la poutre V-V :

$$\cdot T_{max} = 11,824 t \quad (\text{appui ou noeud } ④).$$

$$\cdot M_{corr} = 11,58 t \cdot m ; A = 9,23$$

$$\cdot \% \text{ d'acier } \bar{\omega} = \frac{100 \cdot A}{b \cdot h} = \frac{923}{30 \cdot 66} = 0,466 \rightarrow \begin{cases} K = 33,3 \\ \varepsilon = 0,8965 \\ \mu = 0,0627 \end{cases}$$

$$\cdot \sigma_a' = \frac{15M}{\mu \cdot b \cdot h^2} = 2119,93 \text{ kg/cm}^2 < 2400 = \bar{\sigma}_a$$

$$\cdot \sigma_b' = \frac{\sigma_a}{K} = \frac{2119,93}{33,3} = 63,66 \text{ kg/cm}^2 < \bar{\sigma}_b' = 137.$$

$$\cdot \bar{\tau}_b = \frac{T}{b \cdot z} = \frac{11824}{30 \cdot 57,75} = 6,82 \text{ kg/cm}^2$$

$$\cdot \bar{\tau}_{b_1} = 3,5 \bar{\tau}_b = 20,65 \text{ kg/cm}^2.$$

$$\cdot \bar{\tau}_{b_2} = \left(4,5 - \frac{\sigma_b'}{\bar{\sigma}_{b_0}} \right) \bar{\tau}_b = 21,066 \text{ kg/cm}^2.$$

$$\cdot \text{On a } \bar{\tau}_b < \bar{\tau}_{b_1} \text{ et } \sigma_b' < \bar{\sigma}_{b_0}'$$

*. On utilisera donc des cadres + étriers $\left\{ A_t = 2,01 \text{ cm}^2 \right.$
 $\left. \phi 8 \right\}$

$$t_0 = \frac{A_t \cdot z \cdot \bar{\tau}_{at}}{T_{max}}$$

*- Contrainte admissible des armatures transversales :

$$\bar{\sigma}_{at} = f_a \cdot \sigma_{en} \quad \text{avec} \quad f_a = \max \left\{ 1 - \frac{\tau_b}{9\bar{\sigma}_b} = 0,87 \right\} = 0,871$$
$$\bar{\sigma}_{at} = 0,871 \cdot 2400 = 2090,4 \text{ kg/cm}^2$$

$$\text{d'où alors } t_0 = \frac{2,01 \cdot 57,45 \cdot 2090,4}{11824} = 20 \text{ cm.}$$

*- Espacement admissible :

$$\bar{t} = \max \left\{ t_1 = 0,2h = 13,2 \text{ cm.} \quad \right. \\ \left. t_2 = \left(1 - 0,3 \cdot \frac{\tau_b}{\bar{\sigma}_b} \right) h = 43,1 \right\} = 43 \text{ cm.}$$

*- Complément (C.T.C.)

. Zone nodale : $\bar{t} = \min (0,3h_f, 12\phi) = 9,6 \text{ cm}$

. En dehors de celle-ci : $\bar{t} = 0,5h_f = 35 \text{ cm}$

. De fait, on prend un espacement de $t = 9 \text{ cm}$ en zone nodale et la suite de la qu'il ailleurs, tout en gardant $t < 35 \text{ cm}$. dans cette zone.

Toutes les poutres étudiées seront ferrailées de la même sorte transversalement et auront les mêmes espacements calculés ci-dessus.

- ÉTUDE DE POTEAUX -

Notre bâtiment comprend des poteaux à section rectangulaire et deux poteaux circulaires de $\phi = 35$ sous la sollicitation $(\mathcal{E} + 1,2P)$

- Poteaux de 30×35 mais $\left\{ \begin{array}{l} N_{\max} \\ M_{\text{corr}} \end{array} \right.$ et M_{\max} $\left\{ \begin{array}{l} N_{\text{corr}} \end{array} \right.$
 - Tandis que les 2 poteaux circulaires sont calculés en compression simple N_{\max} et $M_{\text{corr}} = 0$
 - Notons que l'un des poteaux s'arrête au niveau du 1^{er} étage, et l'autre traversant toute la structure.
- * Nos calculs ont montré que le poteau le plus sollicité du bâtiment est le poteau circulaire traversant toute la structure, nous ferons les calculs en détail pour ce poteau :

*- $\left\{ \begin{array}{l} N' = 64,46t \\ M = 0 \end{array} \right.$ sous $\mathcal{E} + 1,2P$. (compression simple)

$S = B = 30 \times 30 = 900 \text{ cm}^2$ (Poteau carré inscrit dans le cercle).
 $H = 3,32 \text{ m}$

$l_c = 0,7 \cdot 3,32 = 2,324 \text{ m.}$

- La section d'armatures longitudinales doit vérifier les 3 conditions suivantes :

1°/ Section théorique : $A_L \geq \frac{1}{n} \left(\frac{N'}{\bar{\sigma}_{b0}} - B \right) = \frac{1}{15} \left(\frac{64460}{68,8} - 900 \right) = 2,46 \text{ cm}^2$

2°/ $A_L \leq \frac{B \times 5}{100} = \frac{900 \times 5}{100} = 45$ (C.C.B.A 68, ART 32, 26)

3°/ Section minimale d'acier :

$$A_L \geq \frac{1,025}{1000} \cdot \theta_1 \cdot \theta_2 \cdot \theta_3 \cdot \frac{N'}{\bar{\sigma}_{b0}}$$

où $\theta_1 = 1$ (Poteau intermédiaire).

$$\cdot \theta_2 = 1 + \frac{lc}{4a - 2c} = 1 + \frac{232,4}{4 \times 30 - 2 \times 3} = 3,038$$

$$\cdot \theta_3 = 1 + \frac{2160}{\sigma_{en}} = 1 + \frac{2160}{4200} = 1,514.$$

$$\text{d'où } A_L \geq \frac{1,25}{1000} \cdot \theta_1 \cdot \theta_2 \cdot \theta_3 \cdot \frac{64460}{68,8} = 5,86 \text{ cm}^2$$

*- Pourcentage minimal d'acier:

$$\frac{A_L}{B} = \omega_L \geq \frac{1,25}{1000} \cdot \theta_1 \cdot \theta_2 \cdot \theta_3 \cdot \frac{\sigma_m'}{\sigma_{bo}} \quad \text{où } \sigma_m' = \frac{N'}{B} = \frac{64460}{900} = 71,62$$

$$\text{ou } \frac{A_L}{B} = \frac{5,86}{900} = 0,0065.$$

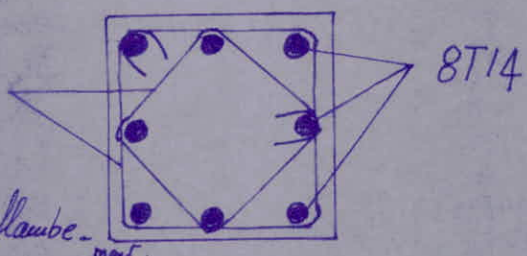
$$\text{et } \frac{1,25}{1000} \cdot \theta_1 \cdot \theta_2 \cdot \theta_3 \cdot \frac{71,62}{68,8} = 0,0059.$$

*- Le C.T.C impose un pourcentage minimal d'acier qui est de 1% de la section du béton sur du poteau, c'est $\frac{B}{100} = \frac{900}{100} = 9 \text{ cm}^2$

et que le diamètre minimal des barres en zone II est de 14 mm en acier tors, de ce fait notre poteau sera ferrailleé suivant le C.T.C., c'est $A_{min} = 9 \text{ cm}^2$

on prendra $8T14 \rightarrow S = 12,31 \text{ cm}^2$.

câbles $\phi 6$



*- Vérification au flambement.

$\frac{lc}{a} < 14,4$ pas de flambement.

a

$\frac{232,4}{30} = 7,74 < 14,4$ nos poteaux ne flambent pas

*- Notons que les aciers transversaux de ces poteaux seront identiques à ceux du bloc "A".

CALCUL SISMIQUE

I. Recherche des Coefficients sismiques:

$$\tilde{\sigma} = \alpha \cdot \beta \cdot \delta \cdot \delta \quad - \alpha = 1 \quad (\text{Zone II})$$

- $\delta = 1,15$ / Terrains de Consistance moyenne et fondations superficielles)

- Coeff. de Réponse β . $\beta = f(\tau)$

avec $\tau = 0,08 \frac{H}{\sqrt{L}} \sqrt{\frac{H}{L+H}}$ - Contreventement par Voiles

H: hauteur du Bâtiment

L: longueur — — (Transversal, Longitudinal).

$$H = 11,8 \text{ m.}$$

$$L_T = 17,4 \text{ m.}$$

$$L_L = 25,6 \text{ m}$$

$$\tau_L = 0,08 \cdot \frac{11,8}{\sqrt{25,6}} \sqrt{\frac{11,8}{25,6 + 11,8}} = 0,1045$$

$$\tau_T = 0,08 \cdot \frac{11,8}{\sqrt{17,4}} \sqrt{\frac{11,8}{17,4 + 11,8}} = 0,1788$$

Amortissement Moyen:

$$\beta_L = \frac{0,085}{\sqrt{\tau_L}} = 0,263 \quad \beta_T = 0,201$$

- Coeff. δ . (distribution)

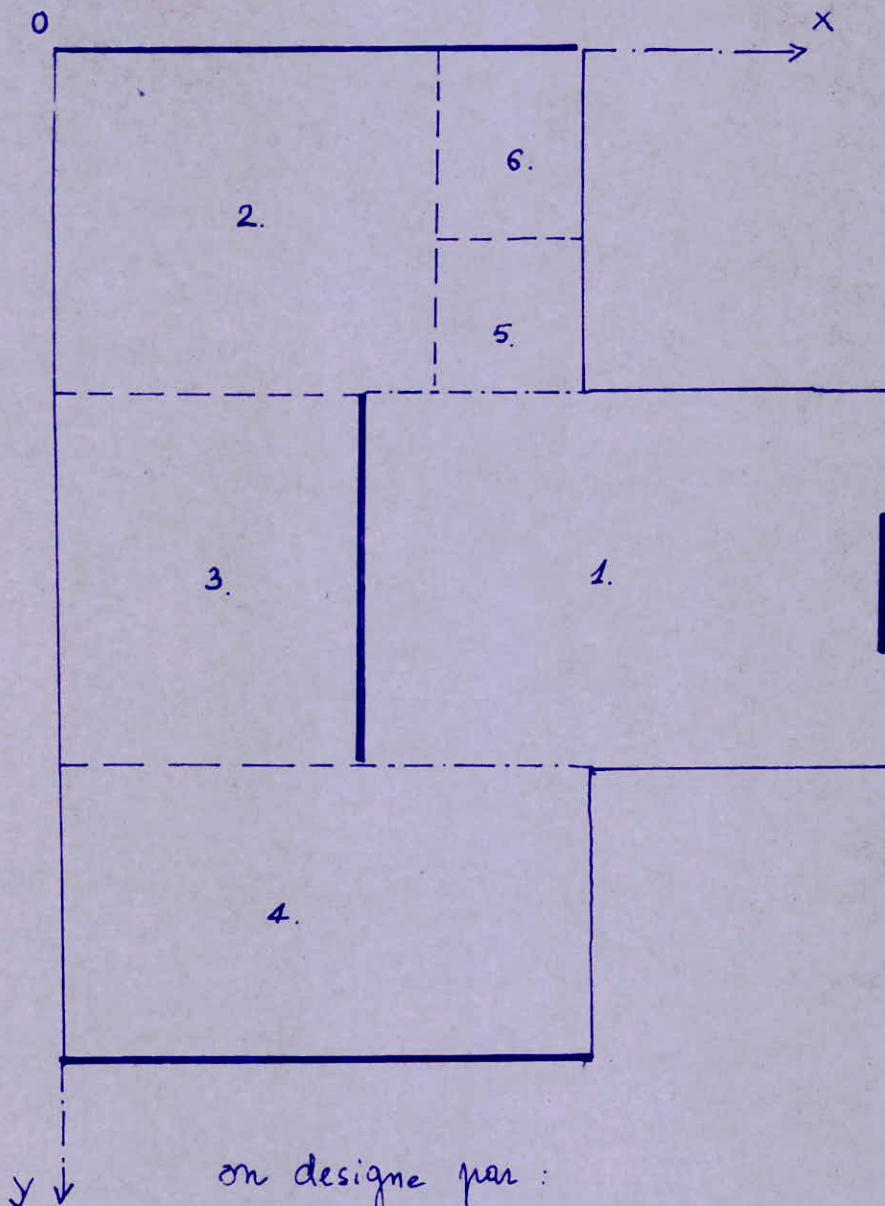
$$\delta_T = \frac{3\tau}{2n+1} = \frac{3\tau}{2 \cdot 3 + 1} = \frac{3}{7} \tau$$

r	0	I	II	III
δ_r	0	0,428	0,714	1,285

N	δ_T	δ_L	$\delta_V = \max(\delta_T, \delta_L)$
III	0,297	0,388	0,388
II	0,165	0,216	0,216
I	0,099	0,13	0,13

Determination des Centres de masses soumis aux efforts sismiques. (supposés concentrés au niveau du plancher)

On choisit un repère (\vec{Ox}, \vec{Oy}) dans lequel nous situeront nos éléments.



on désigne par :

$$\begin{cases} x_i: \text{l'abscisse de l'élément } i \\ y_i: \text{son ordonnée.} \\ M_i: \text{masse de l'élément } i \text{ soumise au séisme.} \end{cases}$$

Le Centre de masse G de tous les éléments considérés pour un niveau est donné par les coordonnées suivantes.

$$X_G = \frac{\sum M_i X_i}{\sum M_i} \quad Y_G = \frac{\sum M_i Y_i}{\sum M_i} \quad i=1,2, \dots$$

I. Calcul du Centre de masse de niveau II et I. (identiques)

1. Détermination des masses soumises au fléau: M_i

M_1 :	plancher : $465 \cdot 9,60 \cdot 10,5 = 46,87 t.$	$G_1 = 112,66 t.$
	poutres : $375 (4 \cdot 10,5 + 9,6 \cdot 3) = 26,55 t$	$P_1 = 50,4 t$
	Vitré : $5,976 \cdot 2,2 = 23,90 t.$	$M_1 = G_1 + \frac{P_1}{5}$
	meur : $11,852 t.$	$M_1 = 122,74 t$
	porteurs : $262,5 \times 3,32 \cdot 4 = 3,486 t$	$X_1 = 12,3 m$
	Surcharges : $500 \cdot 9,6 \cdot 10,5 = 50,4 t$	$Y_1 = 14,25 m$

L'évaluation des masses M_i se fait de la manière précédente.

TABLEAU DONNANT LES MASSES M_i
(avec leurs coordonnées respectives)

i	$G_i (t)$	$P_i (t)$	$M_i = G_i + \frac{P_i}{5} (t)$	$X_i (m)$	$Y_i (m)$
1	112,66	50,4	122,74	12,3	14,25
2	90,215	20,52	94,319	4,425	4,80
3	60,195	16,56	63,51	3,45	14,4
4	85,829	19,68	89,765	6,15	22,1
5	18,221	4,312	19,1	10,725	7,3
6	58,645	7,5	60,145	10,725	2,5

$$\sum_{i=1}^6 M_i = 445,58$$

$$X_G = \frac{X_1 M_1 + X_2 M_2 + \dots + X_6 M_6}{\sum M_i} = 7,923 \text{ m}$$

$$Y_G = \frac{Y_1 M_1 + Y_2 M_2 + \dots + Y_6 M_6}{\sum M_i} = 12,053 \text{ m}$$

Centre de masse:
N II; NI

$$G (7,923, 12,053)$$

pour le centre de masses du plancher terrasse on trouve :

$$G \quad (F, 458, 13m)$$

TABLEAU DONNANT LES MASSES SOUMISES AU SEISME.

N _{IV}	G (t)	P (t)	W = G + $\frac{P}{5} \cdot (t)$
III	360,3	35,98	367,5
II	424,93	103,22	445,58
I	424,93	103,22	445,58

Efforts sismiques :

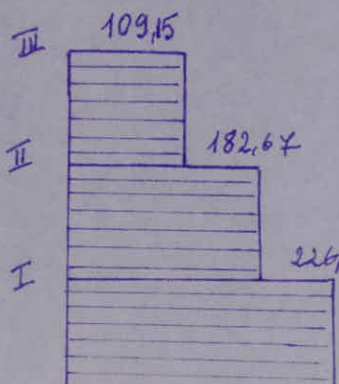
Longitudinalement : $F_{HL} = \bar{\sigma}_L \cdot W$

Transversalement : $F_{HT} = \bar{\sigma}_T \cdot W$. $\bar{\sigma}_V = \max(\bar{\sigma}_T, \bar{\sigma}_L)$

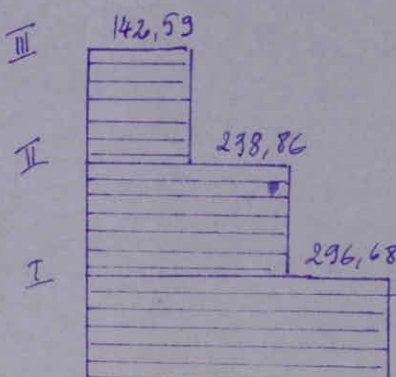
Verticalement : $S_{IV} = \bar{\sigma}_V \cdot W$

$$(\bar{\sigma}_V)$$

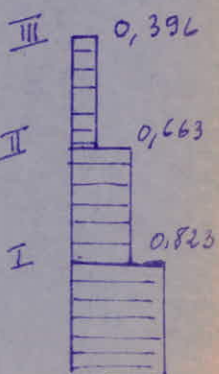
N	W (t)	$\bar{\sigma}_T$	$\bar{\sigma}_L$	$F_{HT(t)}$	$F_{HL(t)}$	$S_{IV} \downarrow$	$S_{IV} \uparrow t/m^2$	EFFORTS COMMUNES		
								F_{HT}	F_{HL}	S_{IV}
III	367,5	0,297	0,388	109,15	142,59	142,59	142,59	109,15	142,59	0,396
II	445,58	0,165	0,216	70,52	96,24	96,24	96,24	182,67	238,86	0,663
I	445,58	0,099	0,13	44,11	57,92	57,92	57,92	226,78	296,68	0,823



$$F_{HT}(t)$$



$$F_{HL}(t)$$



$$S_{IV}(t/m^2)$$

Centre de torsion (centre élastique)

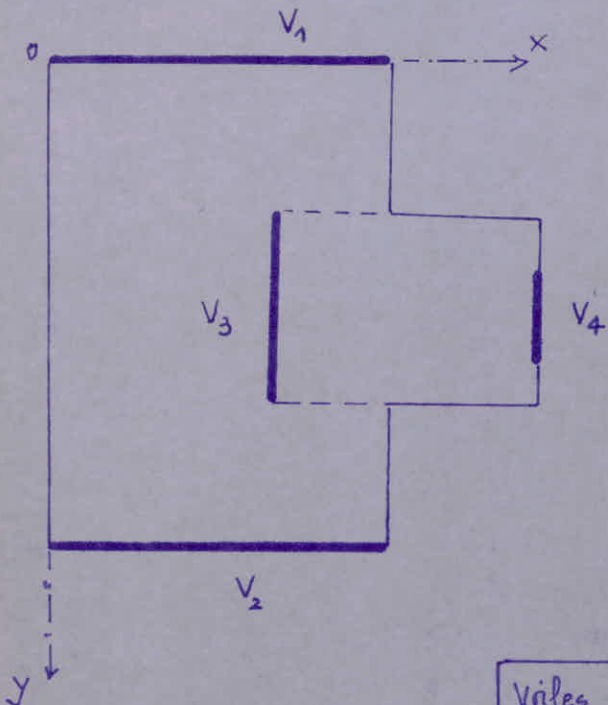
Pour déterminer le Centre de torsion (dans le repère choisi auparavant pour le calcul du centre de masse) on ne prendra en considération uniquement les voiles (2 longitudinaux, 2 transversaux) on négligera les poteaux car ($I_y \gg I_p$)

Les coordonnées du Centre de torsion sont données par :

$$T \begin{pmatrix} x_T \\ y_T \end{pmatrix}$$

$$\bullet \quad x_T = \frac{\sum I_{ei} x_i}{\sum I_{ei}}$$

$$\bullet \quad y_T = \frac{\sum I_{ei} y_i}{\sum I_{ei}}$$



. Voiles longitudinaux :

V_3, V_4 (voiles pleins)
 $I_e = I$

. Voiles transversaux :

V_1, V_2 (voiles avec une file d'ouvertures).

- Torsion longitudinale :

	(m^4)	(m)	(m^5)
Voiles	I_{xi}	x_i	$I_{xi} \cdot x_i$
V_3	8,694	7,2	62,596
V_4	0,82	18	14,76
Σ	9,514	Σ	77,356

$$x_T = \frac{\sum I_{xi} \cdot x_i}{\sum I_{xi}} = \frac{77,356}{9,514} = 8,13 \text{ m}$$

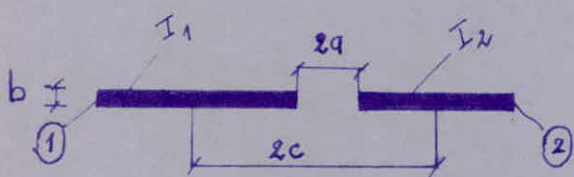
torsion transversale :

- CALCUL DES INERTIES EQUIVALENTES DES VOILES V_1 et V_2 .

Definition de l'Inertie équivalente, I_e
l'inertie équivalente d'un mur est l'inertie d'un mur plein
effectif de même hauteur et qui sous les mêmes forces
horizontales présente la même flèche en tête.

- Inertie équivalente pour un mur avec 1 file d'ouverture
(notre cas) V_1 et V_2 .

$$I_e = \frac{I}{\frac{16 M.C.}{I_1 + I_2} \cdot \frac{\varphi_0}{\alpha^2} + 1} \quad \text{ou} \quad I = I_1 + I_2 + 2m_c$$



Notations :

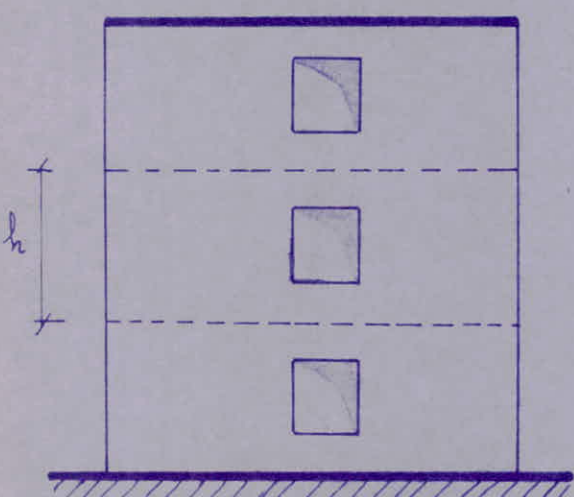
I_1, I_2 : m^t d'inertie de chaque trumeau (1,2).

I : m^t d'inertie du refend complet (en tenant compte de la présence d'ouverture)

m : moment statique de chacun des éléments par rapport au C.d.g. de l'ensemble.

c : demi-distance entre les 2 C.d.g. des 2 trumeaux.

φ_0 : coeff donné par l'abaque de M. directe.



on définit : $\alpha = w \cdot z$. (degré de concordance)

avec

$$w^2 = \frac{3 i E'}{(I_1 + I_2) E} \cdot \frac{I}{m} \cdot \frac{c}{a^3 \cdot h}$$

- E' : module d'élasticité du trumeau
- E : M. d'E du linteau

$$\left. \begin{array}{l} \\ \end{array} \right\} E = E' \quad (\text{Béton Armé})$$

• i : inertie du linteau. $i = b \cdot \frac{h^3}{12}$

h : hauteur du linteau

• h : hauteur d'étage

• z : hauteur totale du bâtiment.

$$m = \frac{2c}{\frac{1}{s_1} + \frac{1}{s_2}} \quad , \quad s_1, s_2 : \text{section des traîneaux}$$

1,2.

CALCUL de I_e pour V_1 .

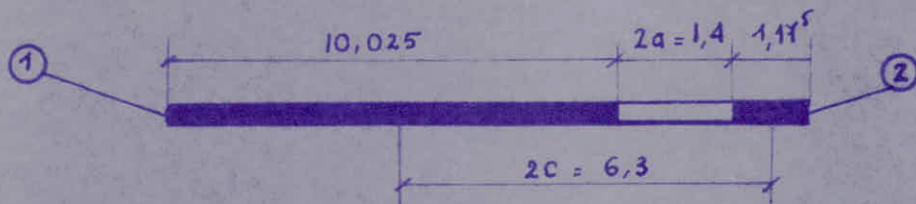
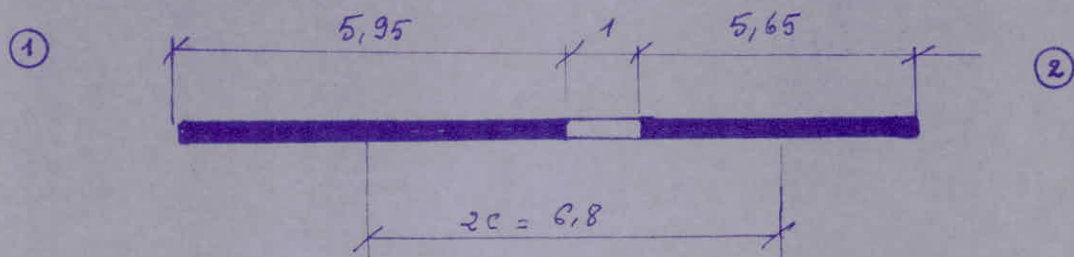


Tableau donnant les caractéristiques géométriques du refend V_1 .

(m^4)	(m^4)	(m)	(m)	(m^2)	(m^2)	(m^3)	(m^4)	(m^4)	(m)	(m^4)			
I_1	I_2	a	c	s_1	s_2	m	I	i	w	α	ψ_0	z	I_e
12,6	0,02	0,7	3,75	1,5	0,17	1	18,92	0,034	0,655	7,13	0,378	11,2	18,37

CALCUL de I_e pour V_2 .



(m^4)	(m^4)	(m)	(m)	(m^2)	(m^2)	(m^3)	(m^4)	(m^4)	(m)	(m^4)			
I_1	I_2	a	c	s_1	s_2	m	I	i	w	α	ψ_0	z	I_e
2,63	2,25	0,5	3,4	0,89	0,84	2,95	24,94	0,012	0,364	4,08	0,31	11,2	15,5

Torsion transversale:

Valees	I_{ei}	y_i	$I_{ei} \cdot y_i$
V_1	18,37	0,15	2,755
V_2	15,5	25,90	401,45
Σ	33,87	Σ	404,205

$$y_T = 11,934 \text{ m}$$

Excentricité du bâtiment :

L'excentricité est donnée par :

$$e_x = X_G - X_T$$

$$e_y = Y_G - Y_T$$

.

N	X_G	X_T	Y_G	Y_T	e_x	e_y
III	7,458	8,13	13	11,934	-0,672	1,066
II	7,923	8,13	12,053	11,934	-0,207	0,119
I	7,923	8,13	12,053	11,934	-0,207	0,119

$$e_b = \max(e_x, e_y) = 1,066 \text{ m.}$$

Excentricité minimale à prendre en compte préconisée par le C.T.C.

$$e_m = 5\% L$$

L : longueur totale du bâtiment dans l'axe considéré.

Excentricité maximale :

$$e_M = 20\% L$$

Donc l'excentricité à prendre en compte pour le calcul de notre bâtiment doit être faite à :

$$5\% L \leq e < 20\% L$$

$$e_m = 0,05 \cdot 25,9 = 1,295 \text{ m}$$

$$e_M = 0,2 \cdot 25,9 = 5,18 \text{ m.}$$

$$e_b = 1,066 \text{ m.}$$

D'où :

$$e = 1,295 \text{ m.}$$

Répartition des efforts

Sismiques horizontaux sur les "Voiles"

I. Introduction: Le centre de torsion d'un groupe de refends est le point caractérisé par les propriétés suivantes:

- Une force dont la ligne d'action passe par le Cdt engendre uniquement une translation des refends la direction de cette (force) translation est parallèle à la direction de la force.
- Un moment dont l'axe vertical passe par le Cdt engendre uniquement une rotation des refends le sens de cette rotation sera le même que celui du moment.

Hypothèses de calcul:

1. Les planchers sont inéformables horizontalement
2. Les refends sont parfaitement élastiques à leur base.
3. L'inertie des refends est constante sur toute la hauteur, ou bien la variation d'inertie suit la même loi pour tous les refends.
4. Les axes propres des refends et les axes $X-X$, $Y-Y$ sont parallèles et à 2.

II. Exposé de la méthode:

Les notations sont définies sur le schéma ci.

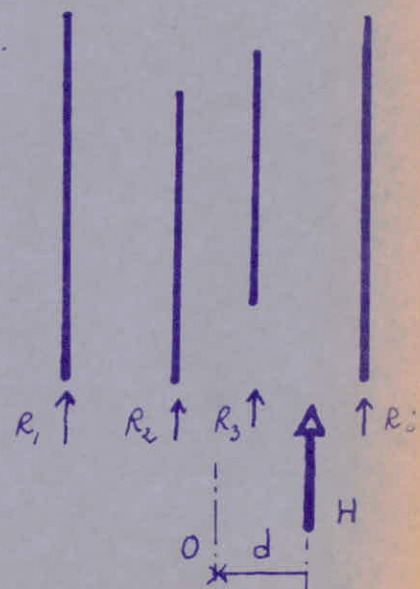
O: origines des axes, choisi au centre de gravité des inerties des Voiles
(centre de Torsion)

I_i : inertie du refend i

z_i : son abscisse

d : excentricité / H.

L'effort dans chaque refend est à la fois proportionnel à son inertie et au déplacement qu'il subit par suite des hypothèses posées, il est évident que le problème posé est équivalent à un problème de flexion par l'ensemble des refends chaque refend étant affecté d'un coeff. égal à sa inertie propre.



par ces hypothèses, qui correspondent à celles de Navier-Bernoulli et la loi de Hooke dans la théorie des poutres.
la formule classique de la flexion Composé s'écrira avec une analogie remarquable:

$$n = \frac{F}{S} + \frac{M v^2}{I} - \frac{R_i}{I_i} = \frac{H}{\sum I_i} + \frac{H \cdot d \cdot x_i}{\sum I_i \cdot x_i^2}$$

analogie:

F	\equiv	H
M	\equiv	$H \cdot d$
v	\equiv	x_i
S	\equiv	$\sum I_i$
I	\equiv	$\sum I_i \cdot x_i^2$
n	\equiv	$\frac{R_i}{I_i}$

D'une manière générale si on a des refends dans les 2 directions, la réaction des refends parallèles à H est donnée par :

$$R_i = H I_i \left[\underbrace{\frac{1}{\sum I_i}}_{\text{translation}} \pm \underbrace{\frac{d \cdot v_i}{\sum I_i \cdot v_i^2 + \sum I_i \cdot u_i^2}}_{\text{rotation}} \right]$$

et la réaction des refends perpendiculaires à H :

$$R_i = \pm H I_i \frac{d \cdot u_i^2}{\sum I_i \cdot v_i^2 + \sum I_i \cdot u_i^2}$$
rotation
" "

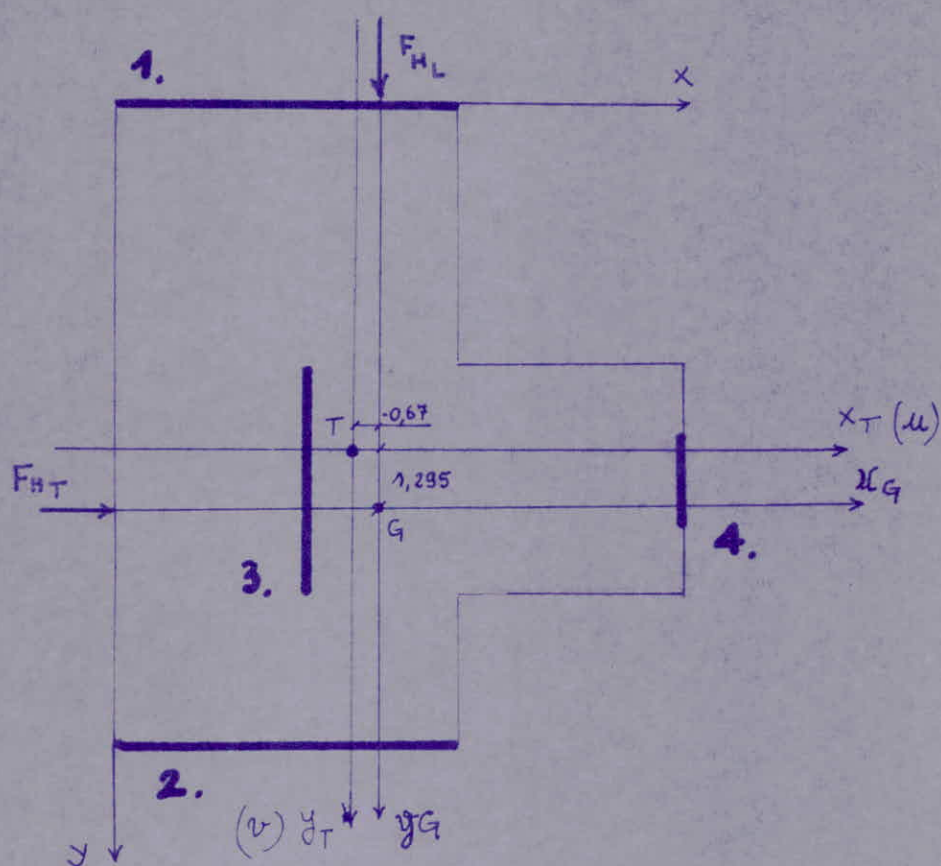
Application:

Dans notre cas la résultante des forces due au séisme peut agir dans le sens transversal et dans le sens longitudinal.

$$R_{ix} = H \left[\frac{I_{ix}}{\sum I_{ix}} + \frac{d \cdot u_i}{\sum I_i \cdot v_i^2 + \sum I_i \cdot u_i^2} \right]$$

$$R_{iy} = H \left[\frac{I_{iy}}{\sum I_{iy}} + \frac{d \cdot v_i}{\sum I_i \cdot v_i^2 + \sum I_i \cdot u_i^2} \right]$$

Distribution des F_H :



I_{ix}	I_{iy}	u_i	v_i	$I_{ix}U_i^2$	$I_{iy}V_i^2$	$d \cdot u_i$	$d \cdot v_i$	J	$\frac{I_{ix}U_i V_i}{\sum I_i}$	$\frac{I_i d}{J}$	A_i	$V_{eff,i}$
18,37			-11,784		2560,9		-15,26	$\sqrt{\sum I_{ix} U_i^2 + \sum I_{iy} V_i^2}$	0,542	-0,05	0,492	V_1
	15,5		13,966		3023,26		18,08		0,457	0,05	0,507	V_2
8,694		-0,93		7,519		-1,204		$\sqrt{\sum I_{ix} U_i^2 + \sum I_{iy} V_i^2}$	0,913	-0,001	0,911	V_3
0,82		9,87		79,88		12,78			0,086	0,001	0,088	V_4
9,614	33,87		Σ	87,399	5574,16			$5661,559$				

$$A_i = \frac{I_i}{\sum I_i} + \frac{I_i d}{J}$$

Repartition des Efforts sur les Voiles. ($R_i = A_i \cdot F_H$)
VOILES. LONG.

Niveau	III	II	I	0
F_{HL}	143,59	96,24	57,92	0
Voiles	$R_i(t)$	$R_i(t)$	$R_i(t)$	$R_i(t)$
V_3	129,9	87,67	52,76	0
V_4	12,54	8,47	5,09	0

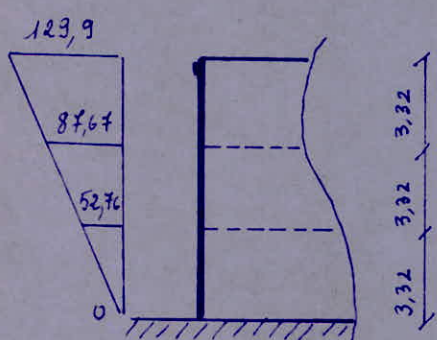
VOILES. TRANS.

Niveau	III	II	I	0
F_{HT}	109,15	73,52	44,11	0
Voiles	$R_i(t)$	$R_i(t)$	$R_i(t)$	$R_i(t)$
V_1	53,7	36,17	21,7	0
V_2	55,34	37,27	22,35	0

CALCUL DES EFFORTS A LA BASE DES REFENDS:

A) Refends plein (refends longitudinaux). V_3, V_4 .

A1) Voile V_3 :



Le moment à la base vaut:

$$M = [129,9 \cdot (3) + 87,67 \cdot (2) + 52,76 \cdot (1)] \cdot 3,32$$

$$\therefore M = 2051 \text{ t.m.}$$

L'effort tranchant à la base:

$$T = 129,9 + 87,67 + 52,76$$

$$\therefore T = 270,33 \cdot t$$

A₂] Voile V₄: tableau donnant le moment et l'effort tranchant à la base.

M (t.m)	198
T (t)	26,1

B. Refends Avec ouvertures (voiles transversaux) V₁, V₂ pour les voiles avec ouvertures, ils seront calculés par la méthode décrite dans le livre;

CALCUL PRATIQUE DES OSSATURES DE B^t.
EN. Béton ARME de: M. A. Fluente.

le linteau subit une déformation

$$\frac{\Delta h}{2} = F \cdot \left(\frac{b}{2}\right)^3 \cdot \frac{1}{3Ei} \quad (\text{flèche})$$

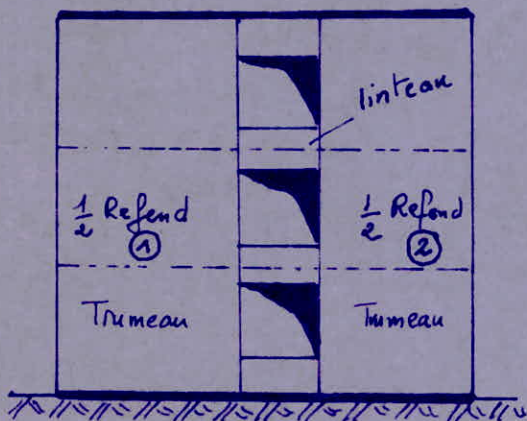
d'où

$$F = 12 \cdot Ei \cdot \frac{\Delta h}{b^3}$$

F: effort tranchant dans le linteau

i: inertie du linteau.

b: longueur du linteau.



le moment (à l'enca斯特rement) du linteau est:

$$M_p = F \cdot \frac{b}{2} = 6Ei \cdot \frac{\Delta h}{b^2}$$

Δh s'exprime en fonction de la rotation y' des deux refends:

b: longueur du
1/2 Refend

$$\Delta h = (b+l) \cdot y'$$

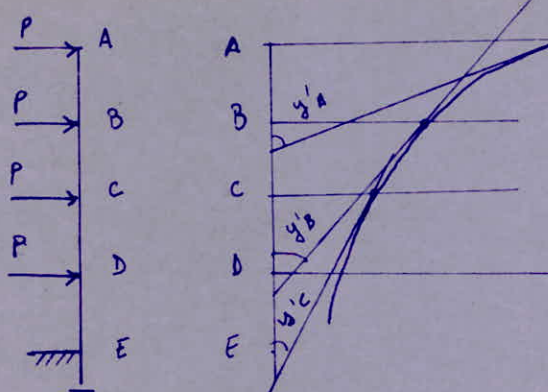
$$\text{d'où: } M_p = 6Ei \cdot \frac{(b+l)}{b^2} \cdot y'$$

Moment par rapport à la fibre neutre des 1/2 Refends:

$$M_{R_1} = F \cdot \frac{l+b}{2}$$

$$- M_{R_1} = \frac{6Ei (l+b)^2}{b^3} \cdot y'$$

Application :



P: charge horizontale concentrée à chaque niveau.

I: inertie de chaque $\frac{1}{2}$ étage
a: hauteur d'étage.

On a:

$$M_B = P.a - \frac{6EI(l+b)}{b^3} \cdot y'_A \\ = P.a - K y'_A.$$

$$K = \frac{6EI(l+b)}{b^3}.$$

$$\text{et } y'_A = y'_B + \frac{P.a^2}{2EI} - K.y'_A \cdot \frac{a}{EI} \quad \text{donc: } y'_B = f(y'_A)$$

de même on a:

$$M_C = (2Pa + Pa) - K(y'_A + y'_B)$$

avec:

$$y'_B = y'_C + 2P \cdot \frac{a^2}{2EI} + P.a \cdot \frac{a}{EI} - K(y'_A + y'_B) \cdot \frac{a}{EI}$$

$$\text{d'où } y'_B \Rightarrow f(y'_B) = f(y'_A) = y'_C$$

d'une façon gl^e on a donc:

$$y'_{n-1} = y'_n + M^E \text{ corde en } (n-1) \cdot \frac{a}{EI} + \text{eff. Tranchant en } (n-1) \cdot \frac{a^2}{2EI} \\ - K(y'_1 + y'_2 + \dots + y'_{n-1}) \cdot \frac{a}{EI}.$$

et la valeur du moment à l'étage n:

$$M_n = M_{n-1} + T_{n-1} \cdot a - K(y'_1 + y'_2 + \dots + y'_{n-1})$$

Cas des refends avec ouverture excentrée ($R_1 \neq R_2$)

Les formules deviennent:

$$y'_{n-1} = y'_n + \frac{M_{n-1} \cdot h}{\sum EI} + T_{n-1} \cdot \frac{h^2}{\sum 2EI} - (K + K') \frac{h}{\sum EI} \sum_{i=1}^{n-1} y'_i.$$

la valeur du moment à l'étage n sera:

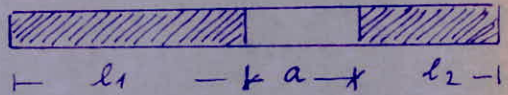
$$M_n = M_{n-1} + T_{n-1} \cdot h - (K + K') \sum_{i=1}^{n-1} y'_i$$

$$K = \frac{3EI}{a^3} (l_1 + 2a + l_2)(a + l_1)$$

$$K' = \frac{3EI}{a^3} (l_1 + 2a + l_2)(a + l_2)$$

- La valeur de l'effort tranchant dans le linteau est :

$$T_i = \frac{6EI}{a^3} (l_1 + 2a + l_2) \cdot y'_i.$$



- L'effort normal sur chacun des $\frac{1}{2}$ refends est $N = \sum T_i$

- Le moment sur chacun des $\frac{1}{2}$ refends est le moment courbé max reporté sur les 2 inerties des $\frac{1}{2}$ refends.

on traitera ici le voile V_1 avec détails, on ne donnera que les résultats pour le voile V_2 .

VOILE V_1 :

On a: $h = 3,32 \text{ m}$
(hauteur d'étage)

$$\begin{aligned} I_1 &= 12,594 \text{ m}^4 \\ I_2 &= 0,0203 \text{ m}^4 \\ i &= 0,0343 \text{ m}^4 \\ E &= 3,45 \cdot 10^6 \\ a &= 1,40 \end{aligned}$$

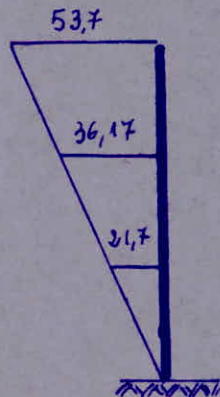
$$\sum EI = 45,52 \cdot 10^6.$$

$$K_1 = \frac{3EI}{a^3} (l_1 + 2a + l_2)(a + l_1) = 20,69 \cdot 10^6$$

$$K_2 = \frac{3EI}{a^3} (l_1 + 2a + l_2)(a + l_2) = 4,66 \cdot 10^6$$

$$K_1 + K_2 = 25,35 \cdot 10^6.$$

$$\begin{array}{ll} \text{Effort tranchant} & \text{Moment Courbure} \\ \therefore T_1 = 53,7 \text{ t} & \therefore M_1 = 0 \end{array}$$



$$\therefore T_2 = 89,87 \text{ t} \quad \therefore M_2 = 178,28 \text{ t.m}$$

$$\therefore T_3 = 111,59 \text{ t} \quad \therefore M_3 = 476,64 \text{ t.m}$$

$$\therefore T_4 = 111,59 \text{ t} \quad \therefore M_4 = 847,06 \text{ t.m.}$$

$$\text{On: } y'_{n-1} = y'_n + \frac{M_{n-1} \cdot h}{\sum EI} + T_{n-1} \cdot \frac{h^2}{\sum 2EI} - (K_1 + K_2) \frac{h}{\sum EI} (y'_1 + y'_2 + \dots + y'_{n-1})$$

$$\Rightarrow y'_n = -M_{n-1} \frac{h}{\sum EI} - T_{n-1} \frac{h^2}{\sum 2EI} + y'_{n-1} + (K_1 + K_2) \frac{h}{\sum EI} \sum_{i=1}^{n-1} y'_i.$$

on a: $\frac{h}{\sum EI} = \frac{3,32}{45,52 \cdot 10^6} = 0,723 \cdot 10^{-7}$

$$\frac{h^2}{\sum 2EI} = \frac{(3,32)^2}{2 \cdot 45,52 \cdot 10^6} = 0,121 \cdot 10^{-6}$$

Pour calculer les rotations y'_1, y'_2, \dots, y'_n on pose les équations:

$$n=2: y'_2 = - \frac{M_1 \cdot h}{\sum EI} - T_1 \cdot \frac{h^2}{\sum 2EI} + y'_1 + (K_1 + K_2) \frac{h}{\sum EI} \cdot y'_1$$

en remplaçant les valeurs connues dans cette équation on obtient:

$$y'_2 = - 6,497 \cdot 10^{-6} + y'_1 + 1,848 y'_1. \quad ①$$

de la même façon on trouve les équations des rotations pour les autres niveaux.

$$y'_3 = - 13,18 \cdot 10^{-6} + 1,848 y'_1 + 2,848 y'_2. \quad ②$$

$$y'_4 = 0 \quad (\text{rotation nulle au niveau de l'ancêtre})$$

$$0 = - 48,2 \cdot 10^{-6} + 1,848 y'_1 + 1,848 y'_2 + 2,848 y'_3.$$

$$10^{-6} 26,08 = y'_1 + y'_2 + 1,541 y'_3 \quad ③$$

$$① \quad 2,848 y'_1 - y'_2 = 6,497 \cdot 10^{-6}$$

$$② \quad y'_1 + y'_2 + 1,541 y'_3 = 26,08 \cdot 10^{-6}$$

$$③ \quad 1,848 y'_1 + 2,848 y'_2 - y'_3 = 13,18 \cdot 10^{-6}$$

on a 3 équations avec 3 inconnues
résolution simple qui donne:

$$y'_1 = 4,24 \cdot 10^{-6}$$

$$y'_2 = 5,58 \cdot 10^{-6}$$

$$y'_3 = 10,55 \cdot 10^{-6}$$

pour le nœud V2 on a les résultats suivants:

$$y'_1 = 4,85 \cdot 10^{-6}$$

$$y'_2 = 9,65 \cdot 10^{-6}$$

$$y'_3 = 11,5 \cdot 10^{-6}$$

Pour chaque niveau, nous calculerons la valeur de 2 moments.

- L'un au droit du parement supérieur du niveau

$$M_{ns} = m_{ext}^t - (K_1 + K_2)(y'_1 + y'_2 + y'_3)$$

$$M_{ns} = M_{n-1} + T_{n-1} \cdot h - (K_1 + K_2)(y'_1 + y'_2 + y'_3)$$

- L'autre au droit du parement inférieur du niveau

$$M_{ni} = M_{n-1} + T_{n-1} \cdot h - (K_1 + K_2)(y'_1 + \dots + y'_n)$$

- Valeur de l'effort tranchant du niveau:

$$F_n = \frac{6EI}{a^3} (l_1 + l_2 + 2a) y'_n.$$

Les résultats sont résumés sur les tableaux ci-dessous.

niveau	Eff. tranchant T_n (t)	ME console M_n (t.m)	$y'_n \cdot 10^{-6}$	M_{ns} (t.m)	M_{ni} (t.m)	F_n (t)
1	53,7	0	4,24	0	-107,48	15,36
2	89,87	178,28	5,58	70,80	-70,65	20,21
3	111,57	476,64	10,56	227,71	-39,73	38,21
4		847,06	0	330,67	+330,68	0
1	55,34	0	4,85	0	-116	17,07
2	92,61	183,728	9,65	67,71	-161,91	33,96
3	114,96	491,194	11,5	144,35	-130,73	40,48
4		872,86	0	250,94	+250,94	0

\forall_1 : Les efforts revenant à chaque trouau à la base du Rofend, le moment est réparti suivant les inerties :

$$M_1 = \rho_1 M \quad \text{et} \quad M_2 = \rho_2 M$$

$$M = 330,68 \text{ t.m. avec } \rho_1 = \frac{I_1}{I} = \frac{12,594}{12,614} = 0,998$$

$$\rho_2 = \frac{I_2}{I} = \frac{0,0203}{12,614} = 0,0016$$

- $M_1 = 330 \text{ t.m}$ trouau 1.

- $M_2 = 0,532 \text{ t.m}$ trouau 2.

effort normal pour chaque trumeau:

$$N_1 = N_2 = \sum_{i=1}^{i=4} F_n = 73,78 \text{ t}$$

effort tranchant pour chacun des trumeaux:

$$T_1 = T_2 = \sum_{i=1}^{i=4} S_{H,i} = 111,57 \text{ t.}$$

VOILE V_2 :

	M (t.m)	N (t)	T (t)
TRUMEAU. 1	115,68	91,51	114,96
TRUMEAU. 2	135,00	91,51	114,96

* R: Le calcul de déformation n'est pas nécessaire étant donné le nombre réduit d'étages ($R+2$). Les déformations des voiles restent toujours inférieures aux déformations admissibles.

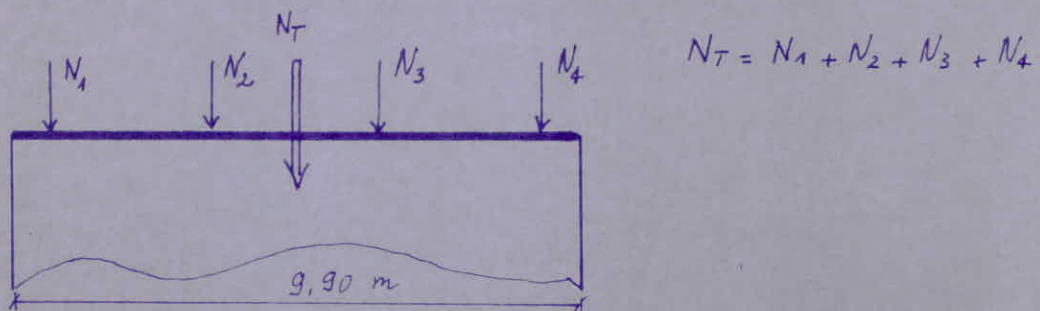
EFORTS SOUS LES CHARGES (↓)

Les voiles sont soumis à des charges verticales suivantes :

- charges permanentes
- surcharges d'exploitation
- séisme vertical.

A / Voiles pleins ($V_3 ; V_4$) - voiles longitudinaux

∇_3 . Détermination des efforts
(D'après la descente de charges sur le poteau)



1°) Charges permanentes :

$$G = N_{Tg} + \text{poids propre du Voile.}$$

2°) Surcharges d'exploitation :

$$P = N_{Tp} .$$

3°) Séisme Vertical :

$$S_{IV} = \left(G + \frac{P}{5} \right) \bar{\sigma}_v .$$

TABLEAU DONNANT (N) DU AUX CHARGES VERTICALES
(pour chaque Niveau)

Niveau	G (t)	P (t)	$G + \frac{P}{5} \cdot (t)$	$\bar{\sigma}_v$	$N S_{IV} \downarrow (t)$
III	54,42	11,67	56,75	0,388	22
II	53,47	32,19	59,90	0,216	12,93
I	53,47	32,19	59,90	0,13	7,78
N _b _c	0	161,36	166,05	0	42,71

V₄.

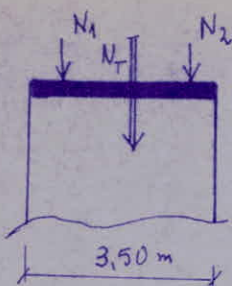


TABLEAU DONNANT (N) DU AUX CHARGES (↓)

Niveau	G (t)	P (t)	G+P/5 (t)	σ_v'	$NS_{IV}^V (t)$
III	25,58	1,728	25,92	0,388	10
II	29,54	8,64	31,26	0,216	6,75
I	29,54	8,64	31,26	0,13	4
Nb _{min}	0	84,66	19	0	20,75

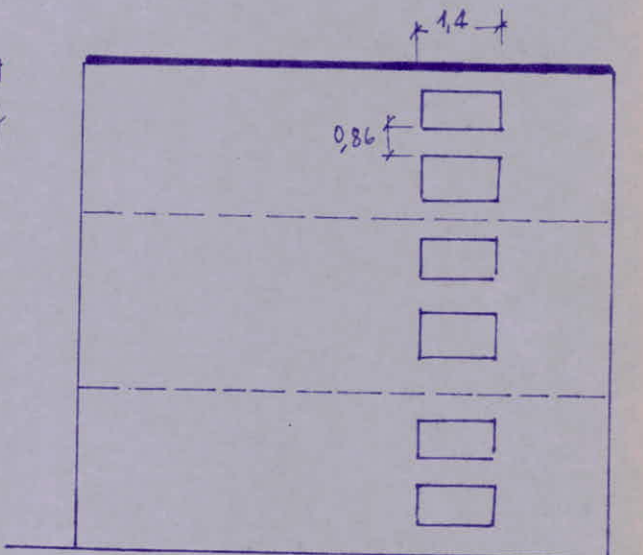
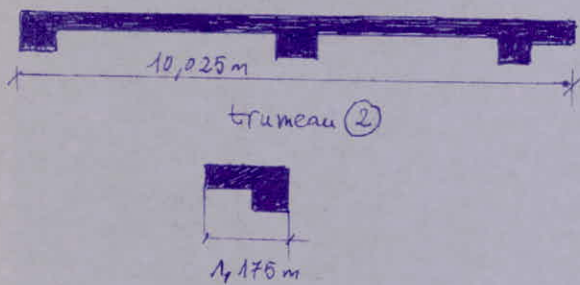
B/ Voiles avec ouvertures (1 file) . V₁; V₂ (V. Transversaux).

Chaque élément d'un voile est soumis à des charges verticales qui peuvent engendrer des moments suite au présence d'une certaine excentricité qui est due à la charge des linteaux. (Chaque élément prend 1/2 de la charge qui revient au linteau).

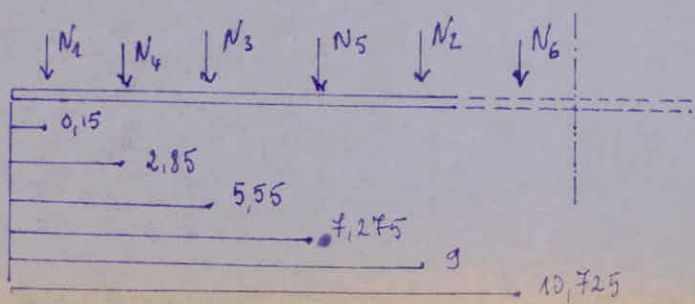
Voile V₁:

Determination des efforts:

trumeau ①



Trumeau 1.



Niveau terrasse : charges permanentes :

N_1, N_2, N_3 } poids propre des poutres.

$$375 \times \frac{2,9}{2} = N_1 = N_2 = 0,543 \text{ t}$$

$$N_3 = 525 \times \frac{2,9}{2} = 0,761 \text{ t.}$$

- poids propre du plancher revenant au refend ①.

$$N_4 = 0,546 \cdot 5,10 \times 1,45 = 4,03 \text{ t.}$$

$$N_5 = 0,546 \cdot 3,15 \times 1,45 = 2,493 \text{ t.}$$

- poids propre du plancher revenant au linteau :

$$N_6 = 0,546 \cdot \frac{1,4 \times 3,15}{2} = 0,821 \text{ t.}$$

calcul de l'excentricité :

$$d = \frac{\sum d_i \cdot N_i}{\sum N_i} = \frac{(0,15 + 9,9) \cdot 0,543 + 5,55 \cdot 0,761 + 2,85 \cdot 4,03}{+ 7,275 \cdot 2,493 + 10,725 \cdot 0,821}$$

$$e = d - \frac{l_1}{2} = 5,18 - \frac{10,025}{2} = 0,168 \quad 9,191$$

d'où le moment : $M = 9,191 \times 0,168 = 1,54 \text{ t.m.}$

niveau courant :

$$N_1 = 0,543 \text{ t}$$

$$N_4 = 0,465 \cdot 5,10 \cdot 1,45 = 3,438 \text{ t}$$

$$N_2 = 0,543 \text{ t}$$

$$N_5 = 0,465 \cdot 3,15 \cdot 1,45 = 2,123 \text{ t}$$

$$N_3 = 0,761 \text{ t}$$

$$N_6 = \frac{0,465 \cdot 1,4 \cdot 2,15}{2} = 0,7 \text{ t}$$

$$d = \frac{\sum d_i \cdot N_i}{\sum N_i} = \frac{41,94}{8,108} = 5,172$$

$$e = d - \frac{l_1}{2} = 5,172 - \frac{10,025}{2} = 0,159$$

d'où le moment $M = 8,108 \cdot 0,159 = 1,29 \text{ t.m.}$

Refend ①

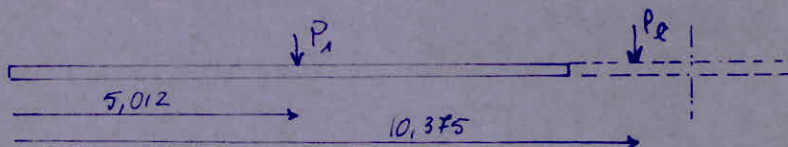
Ref. 1 (G)					
N	$e (m)$	$N (t)$	$M (t.m)$	$N_c (t)$	$N_c (t.m)$
III	0,168	9,191	1,54	9,191	1,54
II	0,159	8,108	1,29	17,299	2,83
I	0,159	8,108	1,29	25,407	4,12
O	—	—	—	—	—

surcharges d'exploitation :

Surface qui revient au refend: $S_r = 10,025 \cdot 1,45 = 14,536 \text{ m}^2$
 $\frac{1}{2}$ Surface qui revient au linteau: $S_l = \frac{1,4 \cdot 1,45}{2} = 1,015 \text{ m}^2$

Niveau Terrasse: III.

SurchARGE renvoyant au refend: $P_r = 14,536 \times 0,1 = 1,453 \text{ t}$
 $\frac{1}{2}$ linteau: $P_e = 1,015 \times 0,1 = 0,101 \text{ t}$



$$P = P_r + P_e = 1,453 + 0,101 = 1,554 \text{ t}$$

$$d = \frac{\sum P_i \cdot d_i}{P} = \frac{1,453 \cdot 5,012 + 10,375 \cdot 0,101}{1,554} = 5,3605.$$

$$e = 5,0125 - 5,3605 = -0,348.$$

$$H = 1,554 \cdot 0,348 = 0,546 \text{ t.m.}$$

Niveau Courant. (II, I)

$$P_r = 14,536 \times 0,25 = 3,634 \text{ t}$$

$$P_e = 1,015 \times 0,25 = 0,253 \text{ t}$$

$$d = \frac{5,012 \cdot 3,634 + 10,375 \cdot 0,253}{3,634 + 0,253} = \frac{20,84}{3,887} = 5,361$$

$$e = 0,348 \quad H = 3,887 \cdot 0,348 = 1,352 \text{ t.m.}$$

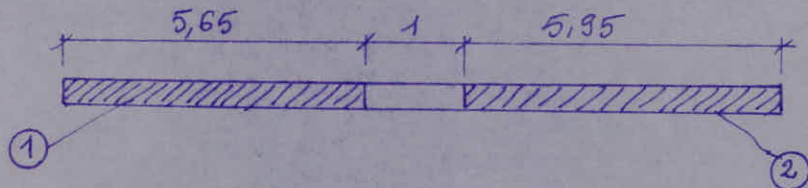
Ref. 1 (P)					
N	e (m)	N (t)	M (t.m)	Nc (t)	Mc (t.m)
III	0,348	1,554	0,54	1,554	0,54
II	0,348	3,887	1,352	5,441	1,892
I	0,348	3,887	1,352	9,328	3,244

on aura pour le refend. 2. les résultats suivants:

N	G					P				
	e (m)	N (t)	M (t.m)	Nc (t)	Mc (t.m)	e (m)	N (t)	M (t.m)	Nc (t)	Mc (t.m)
III	0,252	2,36	0,596	2,36	0,596	0,349	0,241	0,094	0,271	0,094
II	0,169	2,253	0,38	4,613	0,976	0,349	0,679	0,236	0,95	0,33
I	0,169	2,253	0,38	6,866	1,356	0,349	0,679	0,236	1,689	0,566

Voile . V₂

pour ce voile on ne donnera que les résultats trouvés de la même manière que le voile V₁



REFEND. ①

NIV.	G e(m)	REFEND. ①					P e(m)	REFEND. ②				
		N(t)	M(tm)	Nc(t)	Mc(tm)	N(t)		M(tm)	Nc(t)	Mc(tm)		
III	0,015	5,173	0,07	5,173	0,07		0,315	0,8915	0,28	0,8915	0,28	
II	0,034	4,479	0,152	9,652	0,222		0,315	2,229	0,702	3,12	0,982	
I	0,034	4,479	0,152	14,131	0,374		0,315	2,229	0,702	5,35	1,684	

REFEND. ②

NIV.	G e(m)	REFEND. ②					P e(m)	REFEND. ②				
		N(t)	M(tm)	Nc(t)	Mc(tm)	N(t)		M(tm)	Nc(t)	Mc(tm)		
III	0,135	6,053	0,817	6,053	0,817		0,325	0,913	0,296	0,913	0,296	
II	0,114	5,349	0,61	11,402	1,427		0,325	2,283	0,742	3,196	1,038	
I	0,114	5,349	0,61	16,751	2,037		0,325	2,283	0,742	5,479	1,478	

SEISME VERTICAL :

De même le séisme vertical peut engendrer des efforts (M et N) dans les refend. qu'on peut calculer d'après le PS. 69 pour les formules suivantes:

$$N_{SIV} = \left(N_G + \frac{N_P}{5} \right) \tilde{G}_V$$

$$M_{SIV} = \left(M_G + \frac{M_P}{5} \right) \tilde{G}_V$$

On réalise les calculs pour les différents voiles (refends) dans des tableaux.

Voile - V₁

REFEND. 1											
Nir.	Ng	Mg	Np	Mp	Ng + Np/5	Mg + Mp/5	5V	Nsiv	Msiv	Nsiv ^(c)	Msiv ^(c)
III	9,191	1,54	1,554	0,54	9,5	1,648	0,388	3,686	0,639	3,686	0,639
II	8,108	1,29	3,887	1,352	8,885	1,56	0,216	1,919	0,336	5,605	0,975
I	8,108	1,29	3,887	1,352	8,885	1,56	0,13	1,155	0,202	6,76	1,178

REFEND. 2											
Nir.	Ng	Mg	Np	Mp	Ng + Np/5	Mg + Mp/5	5V	Nsiv	Msiv	Nsiv ^(c)	Msiv ^(c)
III	2,36	0,596	0,271	0,094	2,414	0,614	0,388	0,936	0,238	0,936	0,238
II	2,253	0,38	0,679	0,236	2,388	0,427	0,216	0,515	0,092	1,451	0,33
I	2,253	0,38	0,679	0,236	2,388	0,427	0,13	0,310	0,055	1,761	0,385

Voile - V₂

REFEND. 1.											
Nir.	Ng	Mg	Np	Mp	Ng + Np/5	Mg + Mp/5	5V	Nsiv	Msiv	Nsiv ^(c)	Msiv ^(c)
III	5,173	0,07	0,891	0,28	5,351	0,126	0,388	2,076	0,048	2,076	0,048
II	4,479	0,152	2,229	0,702	4,924	0,292	0,216	1,063	0,063	3,14	0,111
I	4,479	0,152	2,229	0,702	4,924	0,292	0,13	0,640	0,038	3,78	0,149

REFEND. 2											
Nir.	Ng	Mg	Np	Mp	Ng + Np/5	Mg + Mp/5	5V	Nsiv	Msiv	Nsiv ^(c)	Msiv ^(c)
III	6,053	0,817	0,913	0,296	6,235	0,876	0,388	2,42	0,34	2,42	0,34
II	5,349	0,61	2,283	0,742	5,8	0,758	0,216	1,252	0,163	3,672	0,503
I	5,349	0,61	2,283	0,742	5,8	0,758	0,13	0,454	0,098	4,426	0,601

SUPERPOSITION
DES
EFFORTS .

Superposition des efforts :

les sollicitations à prendre en compte pour les voiles seront : (sollicitation du 2^e genre)

- $G + P + S_{IV} \downarrow + \overset{\rightarrow}{S_{IH}}$
- $G + P + S_{IV} \downarrow + \overset{\leftarrow}{S_{IH}}$
- $G + \frac{P}{5} + S_{IV} \uparrow + \overset{\rightarrow}{S_{IH}}$
- $G + \frac{P}{5} + S_{IV} \uparrow + \overset{\leftarrow}{S_{IH}}$

Les effets horizontaux et verticaux dus au séisme sont pris simultanément une fois avec la sollicitation due à $G + \frac{P}{5}$ et une fois avec $G + P$.

On fera les combinaisons des sollicitations à la base de chaque voile.

Convention de signe : $S_{IV} \downarrow$ (+) $\overset{\rightarrow}{S_{IH}}$ (+)

Voile - V₃ :

Sollicit.	G	P	S_{IV}	S_{IH}	$G+P+S_{IV} \downarrow + \overset{\rightarrow}{S_{IH}}$	$G+P+S_{IV} \downarrow + \overset{\leftarrow}{S_{IH}}$	$G+\frac{P}{5} + S_{IV} \uparrow + \overset{\rightarrow}{S_{IH}}$	$G+\frac{P}{5} + S_{IV} \uparrow + \overset{\leftarrow}{S_{IH}}$
N (t)	161,36	76,05	42,41	0	280,12	280,12	133,86	133,86
M (t.m)	0	0	0	2051	2051	-2051	2051	-2051

Voile - V₄ :

Sollicit.	G	P	S_{IV}	S_{IH}	$G+P+S_{IV} \downarrow + \overset{\rightarrow}{S_{IH}}$	$G+P+S_{IV} \downarrow + \overset{\leftarrow}{S_{IH}}$	$G+\frac{P}{5} + S_{IV} \uparrow + \overset{\rightarrow}{S_{IH}}$	$G+\frac{P}{5} + S_{IV} \uparrow + \overset{\leftarrow}{S_{IH}}$
N (t)	84,66	19	20,75	0	124,41	124,41	67,71	67,71
M (t.m)	0	0	0	198	198	-198	198	-198

Voile - V₂ :

REFEND - 1								
Sollicit.	G	P	S_{IV}	S_{IH}	$G+P+S_{IV} \downarrow + \overset{\rightarrow}{S_{IH}}$	$G+P+S_{IV} \downarrow + \overset{\leftarrow}{S_{IH}}$	$G+\frac{P}{5} + S_{IV} \uparrow + \overset{\rightarrow}{S_{IH}}$	$G+\frac{P}{5} + S_{IV} \uparrow + \overset{\leftarrow}{S_{IH}}$
N (t)	14,131	5,35	3,78	91,51	114,77	-68,25	102,93	-80,09
M (t.m)	0,374	1,624	0,149	116,68	117,18	-113,48	116,24	-115,118

REFEND. 2

Sollent.	G	P	S_{IV}	S_{IH}	$G + P + S_{IV}^{\uparrow} + \vec{S}_{IH}$	$G + P + S_{IV}^{\uparrow} + \vec{S}_{IH}$	$G + P_5 + S_{IV}^{\uparrow} + \vec{S}_{IH}$	$G + P_5 + S_{IV}^{\uparrow} + \vec{S}_{IH}$
N(t)	16,451	5,479	4,426	91,51	118,16	- 64,86	104,93	- 78,08
M(t.m)	2,037	1,78	0,601	135	139,418	- 130,58	136,79	- 133,208

Voile - V₁ :

REFEND. 1

Sollent.	G	P	S_{IV}	S_{IH}	$G + I + S_{IV}^{\uparrow} + \vec{S}_{IH}$	$G + P + S_{IV}^{\leftarrow} + \vec{S}_{IH}$	$G + P_5 + S_{IV}^{\uparrow} + \vec{S}_{IH}$	$G + P_5 + S_{IV}^{\uparrow} + \vec{S}_{IH}$
N(t)	25,407	9,328	6,76	73,78	115,27	- 32,29	94,29	- 53,26
M(t.m)	4,12	3,244	1,178	330	338,54	- 321,46	333,53	- 326,4

REFEND. 2.

Sollent.	G	P	S_{IV}	S_{IH}	$G + P + S_{IV}^{\uparrow} + \vec{S}_{IH}$	$G + P + S_{IV}^{\leftarrow} + \vec{S}_{IH}$	$G + P_5 + S_{IV}^{\uparrow} + \vec{S}_{IH}$	$G + P_5 + S_{IV}^{\uparrow} + \vec{S}_{IH}$
N(t)	6,866	1,629	1,761	73,78	84,036	- 63,524	79,21	- 68,35
M(t.m)	1,356	0,566	0,385	0,532	2,454	1,39	1,616	0,552

= FERRAILLAGE DES VOILES =

1. Introduction : Sous l'action des forces verticales (G, P, S_{IV}) et les forces horizontales (S_{IH}), un renflement est sollicité à la flexion combinée.

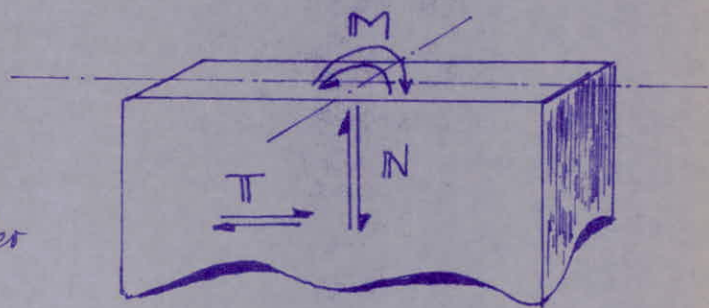
Les sollicitations à considérer pour la détermination des actions d'acier nécessaires sont les résultats de la superposition des efforts en prenant la sollicitation la plus défavorable.

Nous considérerons donc les 2 combinaisons suivantes.

- 1^e M, N_{max} .
- 2^e M, N_{min}

$$M = \pm M_{max}$$

On aura 3 types d'armatures à calculer



- Armatures verticales.
- Armatures horizontales.
- Armatures transversales.

2. Prescriptions du C.T.C Relatives aux Voiles de contreventement :

- La vérification de la résistance aux sollicitations de l'effort tranchant doit être effectuée avec :

$$T = 1,4 T_c \quad (\text{effort tranchant de calcul} : T_c)$$

$$\sigma_b = 0,12 \sigma_{28}'$$

$$\sigma_{at} = \sigma_{en}$$

- Les armatures de la section transversale résistant à l'effort tranchant de calcul par :

$$(\text{pourcentage min}) \bar{\omega}_t = \frac{\sigma_b - 8}{\sigma_{en}} \cdot 100 \quad \text{avec} \quad \sigma_b = 1,54 \frac{T}{bh}$$

- Les parties courantes doivent être armées par un couplage d'armatures en double nippel, dont le pourcentage minimale est donné par :

Pour $T_b \leq 0,025 \frac{t}{28}$ ---- $0,15\%$
 pour $0,025 \leq T_b \leq 0,12 \frac{t}{28}$ ---- $0,25\%$ } dans chaque direction.

- lorsque une partie du voile est tendue le pourcentage minimum des courbures est de 0,5 %. Sur toute la zone tendue
 - Espacement des barres horizontales et verticales:
 $t \leq 1,5 b$ ou $t \leq 30 \text{ cm.}$
 - A chaque extrémité du voile, l'espacement des barres doit être réduit de moitié sur $\frac{1}{10}$ de la largeur du voile.
 - Les barres verticales des zones extrêmes devraient être ligaturées avec des cadres horizontaux, dont l'espacement ne doit pas être supérieur à l'épaisseur du voile.
 Si des efforts importants de compression agissent sur l'extrémité, les barres horizontales doivent respecter les conditions énoncées aux paragraphes.
 - Les barres horizontales doivent être munies de crochets à 135° ayant une longueur de 10 φ. Dans le cas où il existe des talons de rigidité ces talons permettent la réalisation d'un ancrage droit.
 - Les longueurs de recouvrement doivent être égale à :
 - 50 φ pour les barres situées dans les zones où le renversement du signe des efforts est possible
 - 20 φ pour les barres situées dans les zones comprimées sous l'action de toutes les combinaisons possibles de charges.
 - le diamètre max des barres (horiz., vert.) $\leq \frac{1}{10} e$.
-

3. CALCUL DES ARMATURES

d'après les combinaisons les plus défavorables on distingue 2 cas sous (N, N_{max}) et (M, N_{min}) : le calcul des armatures se fait sous (N_{min}, M) et la vérification du béton sous (N_{max}, N) .

3a. Calcul des contraintes : on utilise la formule de Navier

$$\sigma_{1,2} = \frac{N}{S} \pm \frac{M}{I} \cdot v.$$

où :

N : effort normal appliquée.

S : section transversale de l'élément de refend.

M : moment fléchissant appliquée.

v : distance du centre de gravité à la fibre la plus éloignée.

I : moment d'inertie de l'élément de refend (considéré)

3b. Marche à suivre pour le calcul des aciers :

- des tableaux précédents (superposition des sollicitations) on détermine N_{max} , N_{min} et M

- on calcule l'excentricité max: $e_0^{\max} = \frac{M}{N_{min}}$

- on détermine d'après la formule de Navier σ_{max} , σ_{min} à ce niveau 2 cas peuvent se présenter:

1^e cas: σ_{max} , σ_{min} de même signe (section entièrement comprimée).

Le calcul nous a montré que le pourcentage d'acier calculé dans ce cas est négatif.

On arrêtera avec le % minimal donné par les compléments aux règles parisiennes, C.T.C. 81 (ce % est supérieur à celui donné par le D.R.U. 23.1 relatif au ferrailage des voiles).

2^e cas: si σ_{max} et σ_{min} sont de signes contraires cela signifie que la section est partiellement comprimée. On calculera le volume des contraintes de traction exprimé en kg en divisant ce volume par la contrainte de l'acier ($\sigma_a = 650$) - SPZ. On obtient la section d'acier nécessaire pour équilibrer les efforts de traction dans cette zone en la comparant à la section minimale d'acier donné par les compléments C.T.C. 81.

On prendra la plus grande des 2 sections

$$A = \max(A_c, A_{min})$$

d'où la section nécessaire d'armatures verticales, on adoptera ensuite le nombre de barres / ml.

on calcul le % réel à partir des aciers adoptés puis on vérifie le béton, pour cela on calcul de nouveau σ_{max} et σ_{min} sous N_{max} et M , on conserve σ_{max} qu'on compare à σ_b .

Calcul de $\bar{\sigma}_b'$ en flexion Composée (sollicit. SP2)

$$\bar{\sigma}_b' = 1,25 \alpha \cdot \beta \cdot \gamma \cdot E \bar{\sigma}_{280}'$$

le coeff. 1,25 préconisé par C.T.C.

$$\text{avec : } \delta = \min^2 \begin{cases} 0,6 \\ 0,3 \left(1 + \frac{e_0}{3e_1}\right) \end{cases} - e_0 = \frac{M}{N_{max}}$$

$$- e_1 = \frac{l}{6}$$

1) Voiles longitudinaux (voiles plein)

On a 2 voiles longitudinaux on étudiera un voile en détail et on donnera les résultats sous forme de tableau pour l'autre voile.

Voile V4 :

D'après les superpositions de sollicitations on a:

$$\begin{cases} N^{max} = 124,41 \text{ t} \\ N^{min} = 67,71 \text{ t} \\ M = 198 \text{ t.m} \end{cases} - \text{à la base du voile}$$

A. Calcul des armatures sous (N_{min} , M)

* Caractéristique du voile :

$$I = 0,82 \text{ m}^4$$

$$V = 160 \text{ cm}$$

$$S = 9600 \text{ cm}^2$$

* Contraintes extrêmes

$$\sigma_1 = \sigma_{max} = \frac{N^{min}}{S} + \frac{M}{I} \cdot v = \frac{67710}{9600} + \frac{198 \cdot 10^5}{0,82 \cdot 10^8} \cdot 160$$

$$\sigma_1 = 45,68 \text{ Kg/cm}^2$$

$$\sigma_2 = \frac{N^{\min}}{S} - \frac{M}{I} \cdot v = \frac{67710}{9600} - \frac{198 \cdot 10^5}{0,82 \cdot 10^8} \cdot 160.$$

$$\sigma_2 = -31,58 \text{ Kg/cm}^2.$$

Section partiellement Comprimée.

- Contrainte admissible du béton:

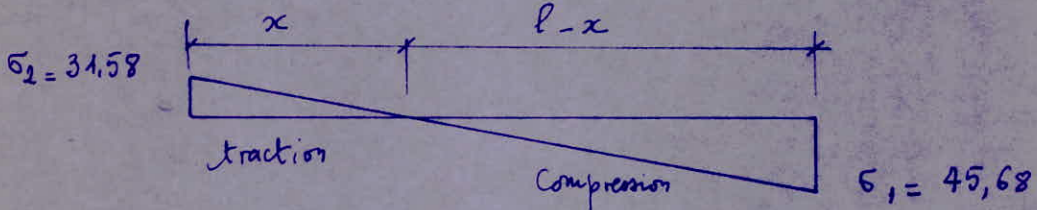
$$c_0^{\min} = \frac{M}{N^{\max}} = \frac{198}{124,41} = 1,591 \text{ m.}$$

$$c_1 = \frac{l}{6} = 0,533 \text{ m.}$$

$$\delta = \min \left\{ \begin{array}{l} 0,6 \\ 0,3 \left(1 + \frac{1,591}{3 \cdot 0,533} \right) = 0,598 \end{array} \right.$$

$$\bar{\sigma}'_b = 281,25 \cdot \delta = 281,25 \cdot 0,598 = 168,18 \text{ Kg/cm}^2.$$

* Détermination de la position de l'axe neutre du béton



$$\frac{\sigma_1}{\sigma_2} = \frac{l-x}{x} = \frac{45,68}{31,58} \rightarrow \begin{cases} x = 1,308 \text{ m} \\ l-x = 1,892 \text{ m} \end{cases}$$

le béton Comprimé résiste ($\sigma_1 < \bar{\sigma}'_b$) un ferrailage minimum suffit.

* CALCUL DES ARMATURES tendues:

- Volume des contraintes : F

$$F = \frac{1}{2} \sigma_1 \cdot b \cdot x = \frac{1}{2} 31,58 \cdot 30 \cdot 130,8 = 61959,96 \text{ kg}$$

- section d'aciers tendus:

$$A = \frac{F}{\bar{\sigma}_a} = \frac{61959,96}{4200} = 14,75 \text{ cm}^2.$$

$$A/m = \frac{14,75}{1,308} = 11,276 \text{ cm}^2/\text{m}.$$

Pourcentage minimum d'aciés pour la zone tendue:

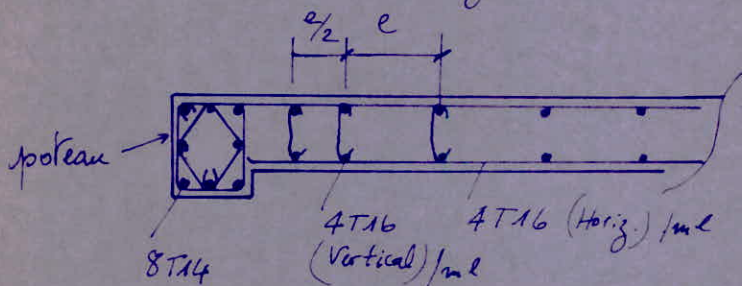
$$A_m = \frac{w \cdot S_b}{ml} = \frac{0,5 \cdot 30 \cdot 100}{100} = 15 \text{ cm}^2/\text{ml.}$$

$$A = \max (A_{\text{calculée}}, A_m) = 15 \text{ cm}^2/\text{ml.}$$

ce qui donne :

$$4T16/\text{ml/face} - (e = 25\text{cm})$$

Vu que le moment peut changer de sens et la zone comprimée devient tendue, on adoptera le même ferrailage sur toute la largeur du valé



Vérification de la contrainte du béton:

$$\sigma_{\text{max}} = \frac{N_{\text{max}}}{S} + \frac{M}{I} \cdot v = \frac{124,41 \cdot 10^3}{9600} + \frac{198 \cdot 10^5}{0,82 \cdot 10^8} \cdot 160$$

$$\sigma_{\text{max}} = 51,59 \text{ kg/cm}^2 < \bar{\sigma}_b$$

Vérification à l'effort tranchant

$$\tau_b = 1,54 \frac{T}{bh} = 1,54 \cdot \frac{21600}{9600} = 3,465 \text{ kg/cm}^2 < \bar{\tau}_b$$

$$\bar{\tau}_b = 0,125 \bar{\sigma}_b = 32,88 \text{ kg/cm}^2.$$

Voile - V₃

Results	
M (N)	2051
N _t ^{max}	280,12
N _t ^{min}	133,86
e ₀ ^{min} (m)	7,32
C ₀ ^{max} (m)	15,3
e ₁ (m)	1,47
G ₁ (kg/m)	114,58
G ₂ (kg/m)	-94,43
Sollicit.	sect. partiel. Comprimée
A' (cm ²)	—
A (cm ²)	64,45 (torse la section 2 faces)
André	—
Ae ^{eff} /el	5 T 12 / face
G _b (kg/m)	< 32,88
A _b (m ²)	cadre T 6
G _b ¹	168,75
G _{max}	125,58

2°) Voiles transversaux. V_1, V_2 (une file d'ouverture)

Voile V_1 : Trumeau ①

$$\left\{ \begin{array}{l} N^{\max} = 115,27 \text{ t} \\ N^{\min} = -53,26 \text{ t} \quad (\text{traction}) \quad M^{\text{corr}} = -326,4 \text{ t.m.} \\ M = 338,54 \text{ t.m} \end{array} \right.$$

Caractéristiques géométriques:

$$\left\{ \begin{array}{l} S = 10,025 \cdot 0,15 = 1,5037 \text{ m}^2 = 15037,5 \text{ cm}^2 \\ V = 501,25 \text{ cm.} \\ I = 12,6 \text{ m}^4. \end{array} \right.$$

L'effort N^{\min} est une traction qui doit être totalement reposée par les aciers excentrée:

$$e_0^{\max} = \frac{M^{\text{corr}}}{N^{\min}} = \frac{326,4}{53,26} = 6,128 \text{ m}$$

bras de levier: $\beta = \frac{\pi}{8} h$

$$d_1 = d_2 = 0,13 \rightarrow \beta = 0,875 \cdot 989,5 = 865,81 \text{ cm}$$

$$l_1 = V - e_0 - d_2 = 501,25 - 612,8 - 13 = -110,55$$

$$l_2 = V + e_0 - d_2 = 501,25 + 612,8 - 13 = 1101,05$$

d'où les aciers:

$$A_1 = \frac{N \cdot l_2}{Z \bar{\sigma}_a} = \frac{53260 \cdot 1101,05}{865,81 \cdot 4200} = 16,12 \text{ cm}^2$$

$$A_2 = \frac{N \cdot l_1}{Z \bar{\sigma}_a} = \frac{53260 \cdot 124,55}{865,81 \cdot 4200} = 1,824 \text{ cm}^2$$

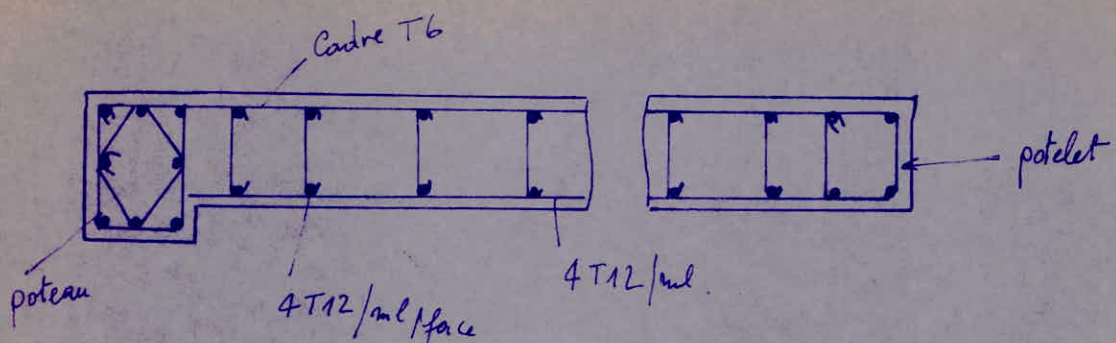
le C.T.C exige un ferrailage minimal de

- 4 T12 aux extrémités du trumeau (•)

- de 0,5% (S6) en zone courante

sont $8 \text{ cm}^2 \rightarrow 4 \text{ T12 / ml / face}$

donc on adoptera un ferrailage comme suit :



Ce voile peut subir un moment double d'une compression : soit :

$$N^{max} = 115,27 t \quad M = 338,54 t.m.$$

Vérification de la section :

$$\sigma_{max} = \frac{N^{max}}{S} + \frac{M}{I} \cdot v$$

$$\sigma_{max} = \frac{115270}{15037,5} + \frac{338,54 \cdot 10^5}{12,6 \cdot 10^8} 501,25 = 21,13 \text{ kg/cm}^2$$

$$\sigma_{max} < \bar{\sigma}_b = 143 \text{ kg/cm}^2.$$

(et cela sans faire intervenir les acciers)

Trumeau ②.

$$\begin{cases} N^{max} = 84,036 t \\ N^{mini} = -68,35 t \quad (M_{corr} = 0,552 t.m) \\ M = 2,454 \end{cases}$$

Vu la sollicitation faible du trumeau ②

Les calculs on donné une section très faible d'où on adoptera la section minimale C.T.C. Le ferrailage sera conforme au trumeau ①.

Voile - V₂

	TRUMEAU . 1	TRUMEAU . 2
H (tm)	117,88	139,418
N ^{max} (t)	114,77	118,16
N ^{min} (t)	- 80,09 (H ^{com} : - 115,1 t.m)	- 78,08 (M ^{com} : - 133,2 t.m)
e ₀ ^{min} (m)	1,43	1,7.
e ₀ ^{max} (m)	1,02	1,18
e ₁ (m)	0,941	0,991
G ₁ (kg/km ²)	43,14	44,78
G ₂ (kg/km ²)	—	—
Sollicit.	S.E. Fendue	S.E.T.
A'(cm ²)	—	—
A (cm ²)	9,08	9,08.
A _{use}	8T12 /ml	8T12 /ml
A ml/p	4T12 /ml /Face	4T12 /ml /Face
G _b kg/m ²	20,8 < G _b	19,8 < G _b
At.	Cadres T6	Cadres T6
G' _b	127,11	132,6
G _{max}	43,14	44,78.

FERRAILLAGE DES LINTEAUX

I. Introduction : Les linteaux sont les éléments entre ouvertures en élévation du voiles qui lient les trumeaux.

Les linteaux travaille sous les charges suivantes :

- q_{G1} (t/m) • Son poids propre
- q_p (t/m) • le poids propre du plancher
- q_{sv} (t/m) • La surcharge d'exploitation due au plancher
- q_{sh} (t/m) • La surcharge due au séisme Vertical.
- q_{sh} (t/m) • La surcharge due au séisme horizontal

2. Effort tranchant dans le linteau :

L'effort tranchant total sollicitant le linteau est la combinaison de tous les efforts agissant sur le linteau cités ci-dessus.

$$T = T_G + T_P + T_{sv} + T_{sh}$$

avec

$$T_G = q_G \cdot \frac{l}{2} \quad l: \text{longueur du linteau}$$

$$T_P = q_P \cdot \frac{l}{2} \quad q_{sv} = \left(q_G + \frac{q_P}{5} \right) G_V$$

$$T_{sv} = q_{sv} \cdot \frac{l}{2}$$

$$T_{sh} = 1,5 \pi \quad (\text{augmentation de } 50\% \text{ prescrite})$$

3. Moment fléchissant dans le linteau :

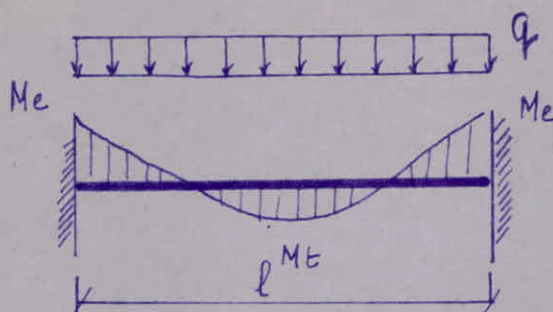
Le moment fléchissant total sollicitant le linteau résulte de la combinaison de toute les actions citées ci-dessus

$$M = M_G + M_P + M_{sv} + M_{sh}$$

- Le linteau sera supposé encastré à ses deux extrémités :

- Le moment à l'encastrément est: $M_e = -\frac{q l^2}{12}$

- Le moment en travée est: $M_t = \frac{q l^2}{24}$



Π : effort tranchant dans le lianteau

Avec: $q = q^G + q^P + q_{sv} + q_{sh}$ $q_{sh} = 9\Pi$

finalement:

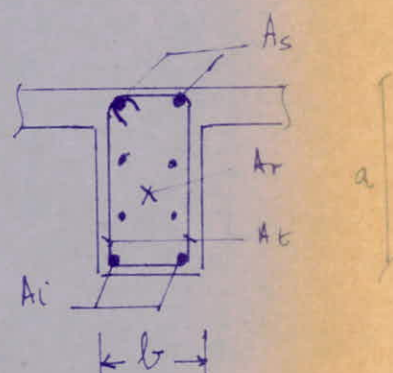
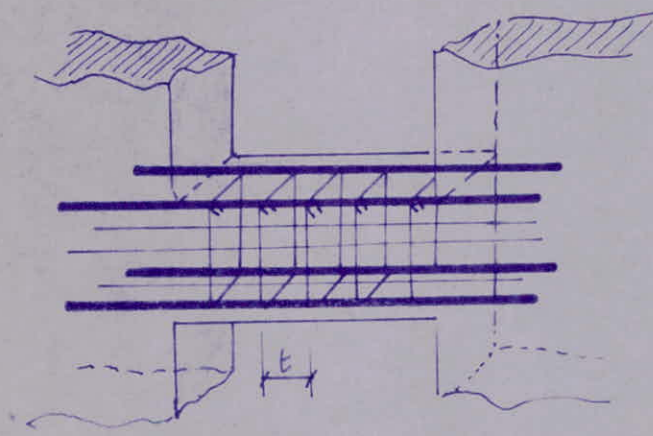
$$M_e = \left(\frac{q_G + q_P + q_{sv}}{12} \right)^2 + 1,5\Pi \frac{l}{2}$$

4. ferrailage du lianteau:

Le lianteau sera ferrable en flexion simple sous l'effet du moment fléchissant et de l'effort tranchant.

5. Prescriptions relatives au ferrailage des lianteaux (CFC 89)

Les armatures doivent être ancrées et disposées dans les fourreaux suivant le croquis ci-dessous.



Les sections minimales d'aciéres sont données par:

Aciéres supérieurs et inférieurs $(A_s \text{ et } A_i)_{\min} = 0,0015 b \cdot a$

Aciéres de répartition : $(A_r)_{\min} = 0,002 b \cdot a$.

Aciéres transversaux $(A_t)_{\min} = 0,0025 b \cdot t$.

$$\text{Pour } Z = 1,5 \frac{I}{b_3} \geq 0,066 \text{ b}'$$

Outre les linteaux de petite portée ferrailleés
forfaitairement

notre construction comporte 2 types de linteaux

Dans le voile 1 (V_1)

Type 1: $1,4 \times 0,86 \times 0,15$

Type 2: $\frac{1}{l} \times \frac{1}{h} \times 0,15$. (Voile V_2)
($l \cdot h \cdot e$)

Ferraillage:

Linteau : type 1 : $1,4 \cdot 0,86 \cdot 0,15$.

1. Charges.

- poids propre du linteau:

$$0,15 \cdot 0,86 \cdot 2,5 = 0,3225 \text{ t/ml.}$$

- poids propre du plancher

$$1,45 \cdot 0,546 = 0,7917 \text{ t/ml.}$$

$$q_g = 1,1142 \text{ t/ml.}$$

- sur charges d'exploitation :

$$q_p = 0,25 \cdot 1,45 = 0,3625 \text{ t/ml.}$$

- Seisme Vertical:

$$q_{SIV} = \left(q_g + \frac{q_p}{5} \right) b_V$$

$$q_{SIV} = \left(1,1142 + \frac{0,3625}{5} \right) \cdot 0,734 = 0,871 \text{ t/ml.}$$

$$- S.H.: q_{SH} = 9 \cdot \pi = 9 \cdot 3,81 = 342,9 \text{ t/ml.}$$

2. Efforts dans le lestage:

à l'enca斯特ment: $T = 5,8 t.$

$$M_e = (q_a + q_p + q_{sv}) \cdot \frac{1}{12} \cdot + 1,5\pi \frac{\ell}{2}$$

$$M_e = 4,04 \text{ t.m.}$$

Ferrailage aciers supérieurs

$$\gamma_s = \frac{15 \cdot M_e}{\bar{f}_a \cdot b \cdot h^2} = \frac{15 \cdot 4,04 \cdot 10^5}{4200 \cdot 15 \cdot 86^2} = 0,013$$

$$\bar{w} = 0,09\% < 0,15\% = \bar{w}_s$$

$$A = 0,0015 b \cdot h = 1,935 \text{ cm}^2$$

on prendra: 2T14 ($3,078 \text{ cm}^2$)

Aciers inférieurs $M_t < M_e$ $A_i < A_s$ (A_s)_{CTC}

on prendra aussi A_i ($3,078 \text{ cm}^2$) 2T14

Aciers transversaux A_t :

on prendra des cadres T_c uniformément
sur toute la longueur du lestage

$$A_t = 0,565 \text{ cm}^2.$$

Épaisseur: $t \leq \frac{A_t \cdot \bar{f}_{at} \cdot z}{T}$

$$\bar{f}_{at} = f_a \cdot \sigma_{en}$$

$$f_a = 1 - \frac{\bar{f}_b}{9 \bar{f}_b} = 1 - \frac{6,96}{9 \cdot 5,9} = 0,86 > \frac{2}{3}$$

$$\bar{f}_{at} = 0,86 \cdot 4200 = 3612 \text{ kg/cm}^2$$

$$\bar{f}_b = \frac{T}{b \cdot z} = \frac{5800}{15 \cdot \frac{7}{8} \cdot 86} = 6,96 \text{ kg/cm}^2.$$

$$\bar{f}_b = 0,12 \bar{f}_{28} = 32,4 \text{ kg/cm}^2.$$

$$\bar{f}_b < \bar{f}_{at}$$

$$t \leq \frac{0,565 \cdot 3612 \cdot \frac{7}{8} \cdot 86}{5800} = 26,47 \text{ cm}$$

$$\bar{t} = \max \left\{ \begin{array}{l} 0,2h \\ h \left[1 - \frac{0,386}{\bar{\sigma}_b} \right] \end{array} \right\}$$

$$= \max \left\{ \begin{array}{l} 0,2 \cdot \frac{7}{8} 86 = 15,05 \\ \frac{7}{8} 86 \left[1 - \frac{0,36,96}{5,9} \right] = 48,6 \text{ cm.} \end{array} \right.$$

$$\text{Or } (A_t)_{\min} = 0,0025 b \cdot t = 0,0025 \cdot 15 \cdot 25 \\ = 0,937 \text{ cm}^2.$$

On adoptera ce ferrailage minimum (C.T.C.)

Ainsi 1 cadre T10 $A_t = 1,57 \text{ cm}^2$.

Acier de renfortion A_r :

$$(C.T.C.) \quad A_{r_m} = 0,002 b \cdot a = 0,002 \cdot 15 \cdot 140$$

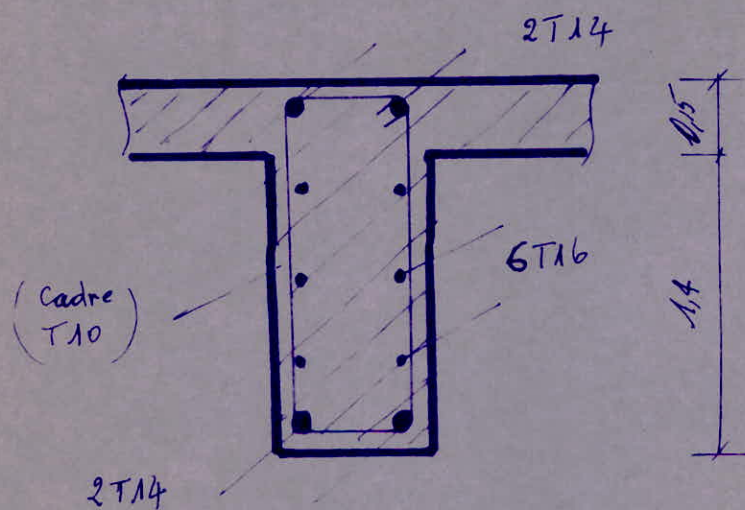
$$A_{r_m} = 4,2 \text{ cm}^2.$$

On prendront 6 T10 = 4,71 cm² (3 au
chaque face)

. Aciers obliques dans les angles:

$$\gamma_b = 6,96 \text{ kg/cm}^2 \angle 0,066 \delta_{28}' = 17,82 \text{ kg/cm}^2$$

donc pas d'aciérs obliques.

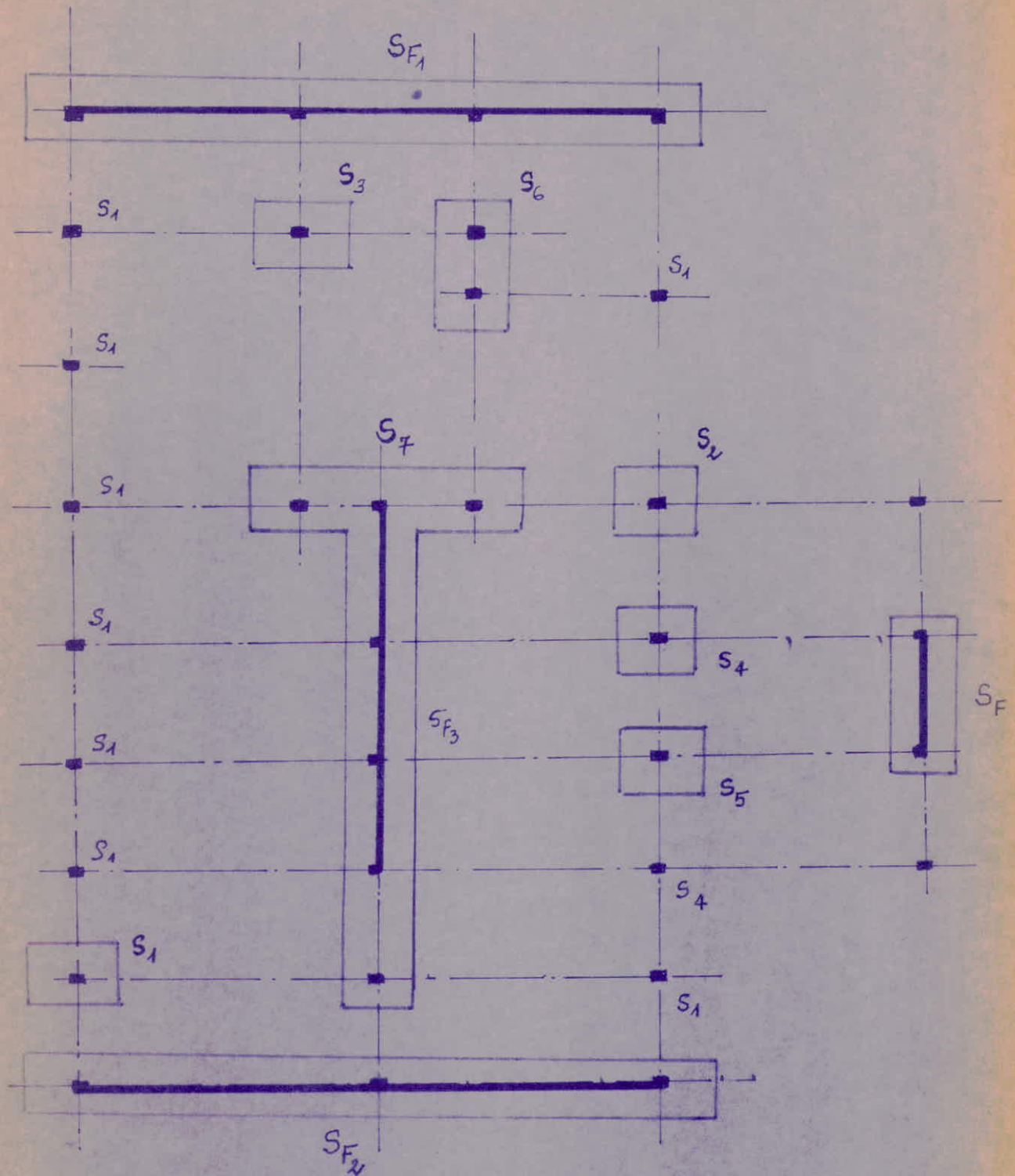


R Ce linteau est le plus défavorable point de vue dimensions et charges le linteau type 2 est moins défavorable. De ce fait son ferrailage sera identique à celui du type 1.

FONDATIONS

- FONDATIONS -

- PLAN -



Les fondations de notre bâtiment sont des fondations superficielles.

La contrainte admissible du sol est de : $\bar{\sigma}_s = 1,5 \text{ Kg/cm}^2$. (SP₁)
à 1,5 m d'ancrage.

sous (SP₂) $\bar{\sigma}_s = 2 \text{ Kg/cm}^2$.

Dans nos fondations on a :

1^e type: semelle isolée sous Poteau.

2^e type: semelle continue sous 2 poteaux

3^e type: semelle filante sous voile.

4^e type: semelle combinée sous 3 poteaux liée à une semelle filante sous voile.

Les semelles du type 1 et 2 seront ferrailées sous les sollicitations de 1^e genre ($G + 1,2P$) SP₁ (max).

Les semelles du type 3, 4 seront ferrailées sous la plus défavorable des sollicitations du 2^e genre.

avec $\bar{\sigma}_s = 2 \text{ Kg/cm}^2$. et $\bar{\sigma}_a = \sigma_{cu} = 4200 \text{ Kg/cm}^2$.

Les semelles reposent sur une couche de béton de propriété de 5 à 10 cm d'épaisseur closé à 150 kg/cm³ de chaux hydrolique ou de ciment laitier.

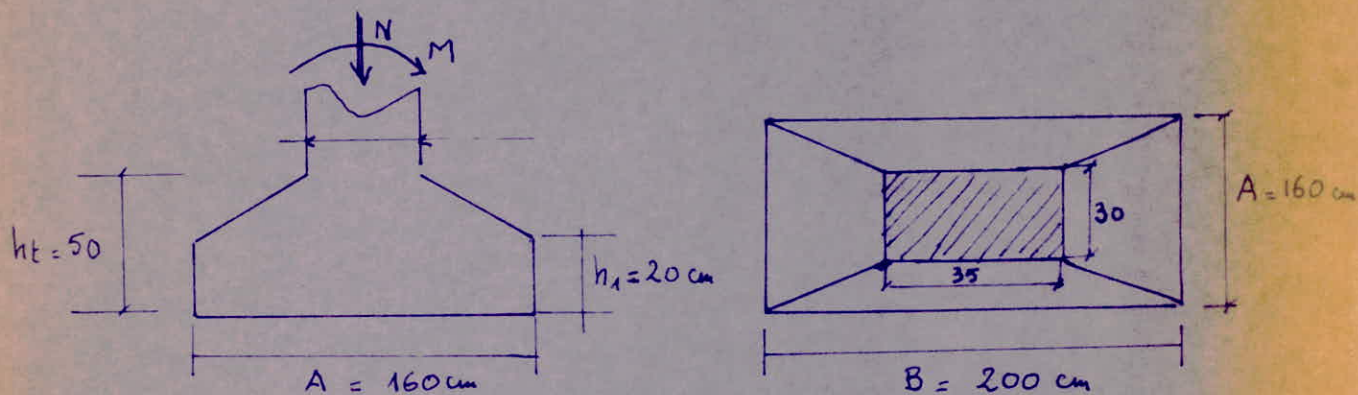
Pour chaque type de semelle on exposera le calcul en détail pour 1 semelle et on donnera uniquement les résultats pour les autres semelles.

Semelle du 1^{er} type:

$$S_1: \quad N_{max} = 36,5 t \\ M = 2,875 t.m.$$

On utilisera la méthode des bieles, on supposant que les semelles sont rigide et qu'elles sont homothétiques avec les poteaux.

1. Dimensionnement:



$$\bar{\sigma}_s \geq \frac{N}{S} + \frac{M \cdot v}{I} \quad k = \frac{b}{a} = \frac{B}{A} = \frac{3,5}{3}$$

$$\left. \begin{aligned} I &= \frac{B \cdot A^3}{12} = \frac{7}{6} \cdot A \cdot \frac{A^3}{12} = \frac{7}{72} \cdot A^4 \\ v &= \frac{A}{4} \end{aligned} \right\} \quad S = \frac{7}{6} A^2 \quad \frac{v}{I} = - A^{-3}$$

$$\bar{\sigma}_s \geq \frac{36500}{\frac{7}{6} A^2} + \frac{287500 \cdot 18}{\frac{7}{72} A^3} = \frac{6}{7 A^2} \left(36500 + \frac{287500 \cdot 3}{A} \right)$$

$$1,5 \geq \frac{0,857}{A^2} \left(3,65 + \frac{86,25}{A} \right) \cdot 10^4$$

Equation du 3^{er} degrés : qui donne

$$A = 160 \text{ cm.}$$

$$\rightarrow B = 200 \text{ cm.}$$

$$\cdot \quad ht \geq \max \left(\frac{A-a}{4}, \frac{B-b}{4} \right) + 5 = 38,75 \text{ cm} \quad \rightarrow \cdot \quad ht = 50 \text{ cm} \\ \cdot \quad h = 45 \text{ cm}$$

épaisseur de la semelle.

$$h_1 = \left(\frac{ht}{2} \text{ à } \frac{ht}{3} \right) = 20 \text{ cm.}$$

$$h_1 \geq 6\phi + 6$$

FERRAILLAGE / méth. des bielles

poids propre de la semelle:

$$G_s = \left(A \cdot h_1 + \frac{(A+a)(ht-h_1)}{2} \right) B \cdot p_b$$

$$G_s = \left(1,6 \cdot 0,2 + \frac{(1,6+0,3)(0,5-0,2)}{2} \right) 2 \cdot 2,5 = 3,025 \text{ t}$$

$$N_T = 36,5 + 3,025 = 39,525 \text{ t}$$

$$M = 2,875 \text{ t.m.}$$

on doit vérifier que $\bar{\sigma}_{(A/4)} \leq \bar{\sigma}_s$.

$$\bar{\sigma}_{(A/4)} = \frac{3\bar{\sigma}_1 + \bar{\sigma}_2}{4}$$

Calcul des contraints extrêmes :

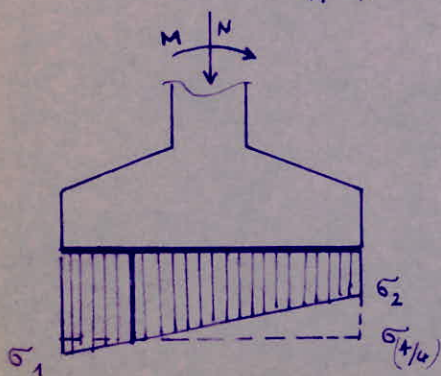
$$\sigma_0 = \frac{M}{N} = \frac{287500}{39525} = 7,27 \text{ cm.}$$

$$\sigma_1 = \frac{ht}{6} = \frac{160}{6} = 26,66 \text{ cm}$$

Section Entièrement Comportée.

$$\bar{\sigma}_1 = \frac{N}{S} \left(1 + \frac{6\sigma_0}{A} \right) = \frac{39525}{160 \cdot 200} \left(1 + \frac{6 \cdot 7,27}{160} \right) = 1,64 \text{ kg/cm}^2$$

$$\bar{\sigma}_2 = \frac{N}{S} \left(1 - \frac{6\sigma_0}{A} \right) = \frac{39525}{160 \cdot 200} \left(1 - \frac{6 \cdot 7,27}{160} \right) = 0,827 \text{ kg/cm}^2$$



$$\bar{\sigma}_{(1/4)} = \frac{3\bar{\sigma}_1 + \bar{\sigma}_2}{4} = 1,436 \text{ kg/cm}^2 < \bar{\sigma}_s$$

• on admet que la répartition des pressions dans les semelles est linéaire -

On peut remplacer la sollicitation (M, N) par une sollicitation équivalente à N' avec la contrainte moyenne $\bar{\sigma}_{(A_4)}$. On peut écrire :

$$N' = \bar{\sigma}_{(A_4)} \cdot S = 1,436 \cdot 160 \times 200 = 45952 \text{ Kg}$$

d'où les armatures :

$$A_A = \frac{N' (A - a)}{8 \bar{\sigma}_a \cdot h} = \frac{45952 \cdot 130}{8 \cdot 2800 \cdot 45} = 5,92 \text{ cm}^2.$$

$$A_B = \frac{N' (B - b)}{8 \bar{\sigma}_a \cdot h} = \frac{45952 \cdot 165}{8 \cdot 2800 \cdot 45} = 7,53 \text{ cm}^2.$$

- Vérification au poinçonnement : $\bar{\sigma}_b < \bar{\sigma}_b$

$$\bar{\sigma}_b = \frac{1,5 N}{P_c \cdot h t} \quad P_c = 2 [a + b + 2ht]$$

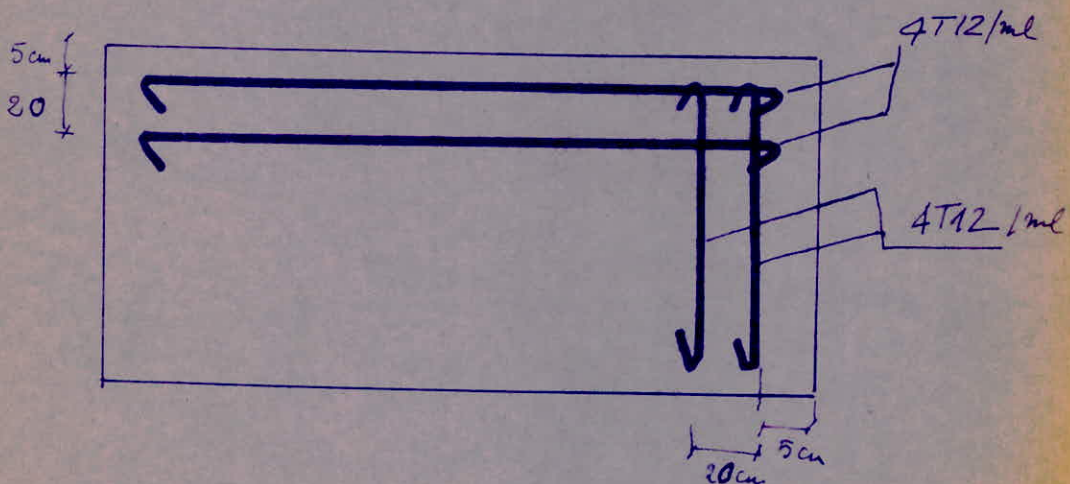
$$\bar{\sigma}_b = \frac{1,5 \cdot 36500}{330 \cdot 50} = 3,31 \text{ kg/cm}^2 \quad P_c = 330.$$

$$(\bar{\sigma}_b < \bar{\sigma}_b = 5,9 \text{ kg/cm}^2)$$

Choix des Aciers :

dans les 2 sens on a : $A = 3,76 \text{ cm}^2/\text{ml}$.

$4T12/\text{ml}$ ($4,52 \text{ cm}^2$)



Semelles type : 1

Résultats

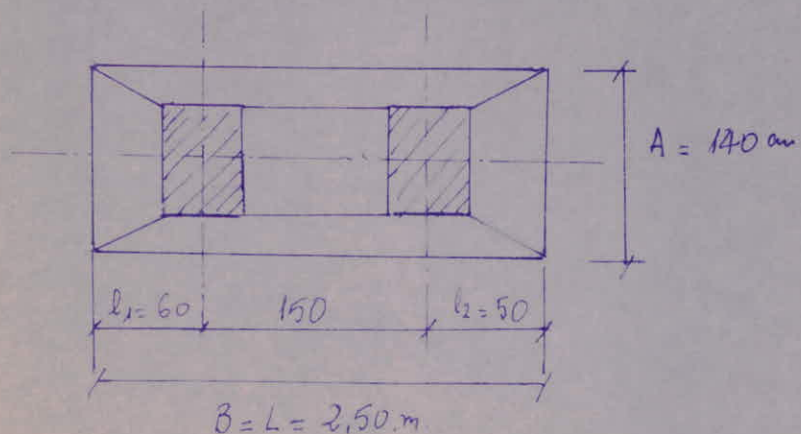
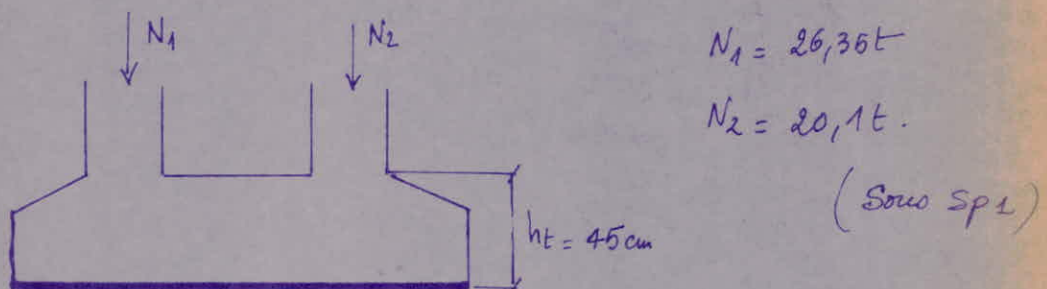
- adoptées -

Sem.	N (t)	M (t.m)	A (cm)	B (cm)	ht (cm)	$A_A \text{ m}^2/\text{mL}$	$A_B \text{ m}^2/\text{mL}$
S ₁	36,5	2,875	160	200	50	4T12/mL	4T12/mL
S ₂	55	0,6	190	220	55	4T12/mL	4T12/mL
S ₃	63,38	0,37	200	230	55	4T14/mL	4T14/mL
S ₄	65,65	0	200	230	55	4T14/mL	4T14/mL
S ₅	21,15	0	120	140	40	4T10/mL	4T10/mL

- $4T12/\text{mL} = 4,52 \text{ cm}^2$
- $4T14/\text{mL} = 6,16 \text{ cm}^2$
- $4T10/\text{mL} = 3,14 \text{ cm}^2$

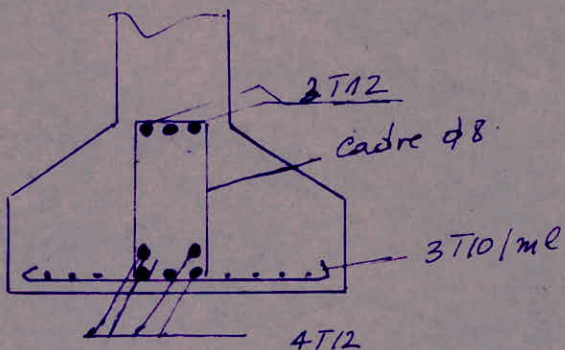
Semelle du type 2. (1 semelle continue sous 2 poteaux)

le calcul se fait comme pour le Bloc A. on se limitera de donner les résultats



FERRAILLAGE :

Sur appuis : 4T12 ($4,52 \text{ cm}^2$)
 en travée : 3T12 ($2,26 \text{ cm}^2$).
 trous versalement : 3T10/mé. ($2,35 \text{ cm}^2$).



Semelle du type: 3 (Semelle filantes sous Voile.)

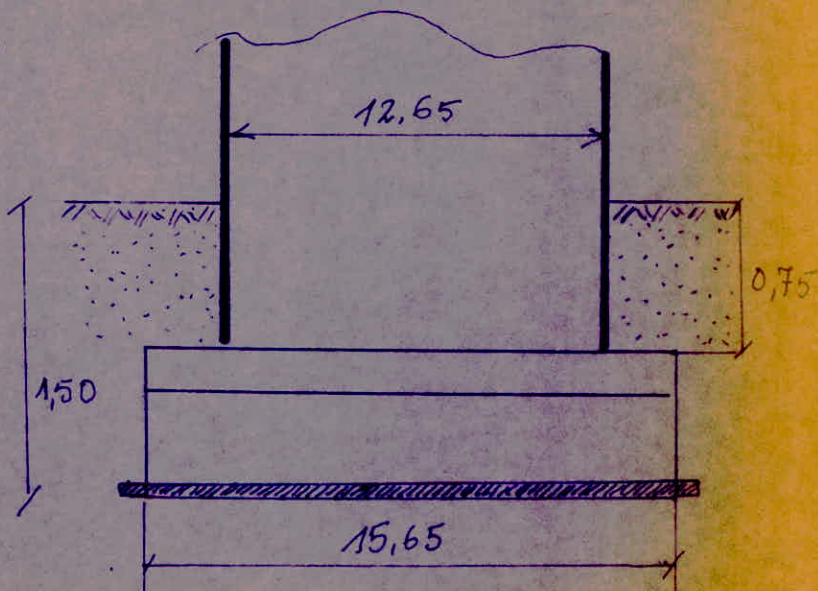
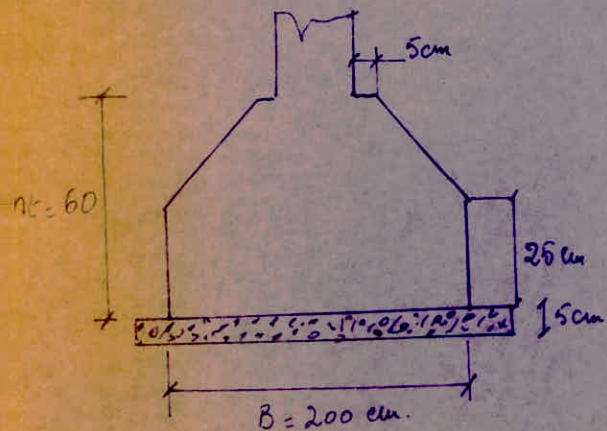
$$SF_1: \quad N = 115,27 \text{ t.} \\ M = 338,54 \text{ t.m.}$$

en plus on ajoute à N.

poids du voile au dessous du R.D.C.

$$P_V = 0,15 \cdot 12,65 \cdot 0,75 = 3,55 \text{ t}$$

$$N = 118,82 \text{ t.}$$



Dimensionnement:

- Hauteur B : Soit $L = 15,65 \text{ m}$. (longueur de la semelle)

$$B \geq \frac{N_T}{\bar{\sigma}_s \cdot L} = \frac{118820}{2 \cdot 1565} = 38 \text{ cm.}$$

Soit $B = 200 \text{ cm.}$

- hauteur ht :

$$ht \geq \frac{B-b}{4} + 5$$

Pour semelle rigide et vérifier la vérification à l'effort tranchant.

$$ht \geq \frac{200 - 30}{4} + 5 = 47,5 \text{ cm.}$$

Soit : $ht = 60 \text{ cm.}$

$$R_1 = \left(\frac{ht}{2} \text{ à } \frac{ht}{3} \right) = (30, 20) \text{ Soit } h_1 = 25 \text{ cm}$$

- poids propre de la semelle :

$$G_s = \left(2 \cdot 0,25 + \frac{(2+0,3+0,1)(0,6-0,25)}{2} \right) \cdot 15,65 \cdot 2,5.$$

$$G_s = 40,7 \text{ t}$$

- poids propre des terres au dessus de la semelle :

$$\gamma_s = 1,8 \text{ t/m}^3.$$

$$N_t = ((2-0,3) \cdot 12,65 + 2 \cdot 0,75 \cdot 2) \cdot 1,5 \cdot 1,8 = 32 \text{ t.}$$

$$N_{T_{max}} = 118,82 + 40,7 + 32 = 191,52 \text{ t.}$$

- Vérification à la Stabilité :

Le C.T.C recommande dans le cas des fondations superficielles de vérifier :

$$e = \frac{M}{N} \leq \frac{L}{4}$$

$$e = \frac{338,54}{191,52} = 1,76 \text{ m.} \leq \frac{15,65}{4} = 3,91 \text{ m.}$$

Verification Des Contraintes :

$$S = B \cdot L = 200 \cdot 1565 = 313000 \text{ cm}^2$$

$$\sigma_1 = \frac{N}{S} \left(1 + \frac{6e}{L} \right) = \frac{191520}{313000} \left(1 + 6 \cdot \frac{176}{1565} \right) = 1,02 \text{ kg/cm}^2$$

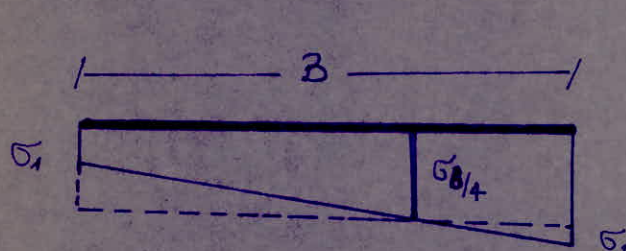
$$\sigma_2 = \frac{N}{S} \left(1 - \frac{6e}{L} \right) = \frac{191520}{313000} \left(1 - 6 \cdot \frac{176}{1565} \right) = 0,2 \text{ kg/cm}^2$$

$$\sigma_1 = \sigma_{\max} = 1,02 \text{ kg/cm}^2 < \bar{\sigma}_s (2 \text{ kg/cm}^2)$$

FERRAILAGE

longitudinalement (pour 1ml).

determination de la charge répartie q (t/ml)



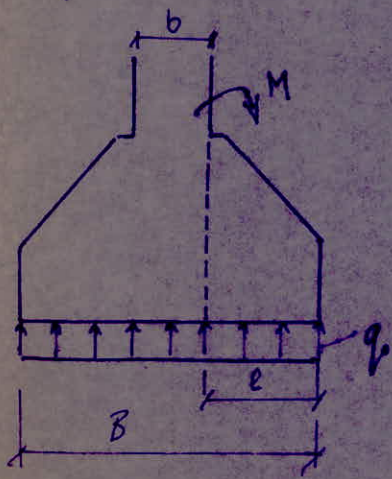
$$\bar{\sigma}_{(B/A)} = \frac{3\sigma_2 + \sigma_1}{4}$$

$$\bar{\sigma}_{(B/4)} = \frac{3 \cdot 1,02 + 0,2}{4}$$

$$\bar{\sigma}_{(B/4)} = 0,815 \text{ kg/cm}^2$$

$$q = \bar{\sigma}_{(B/4)} \cdot 1,00 = 8,15 \text{ t/ml.}$$

• partie sous voile :



Moment à l'enca斯特rement :

$$M = \frac{q l^2}{12} \quad \text{avec } l = \frac{B-a}{2}$$

$$l = \frac{2,00 - 0,3}{2} = 0,85 \text{ m}$$

$$M = 8,15 \cdot \frac{(0,85)^2}{12} = 0,490 \text{ t.m}$$

Armatures :

$$A = \frac{M}{3 \bar{\sigma}_a} = \frac{490,69}{3 \cdot 55 \cdot 4200} = 0,24 \text{ cm}^2$$

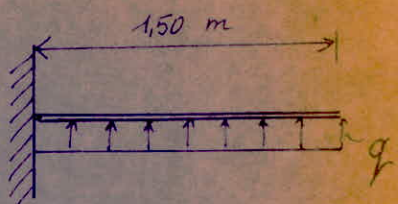
on prendra 4T12 / ml ($4,52 \text{ cm}^2$) . $e = 25 \text{ cm}$

Parties extrêmes en consoles:

$$\text{on a : } q = 8,15 \text{ t/ml.}$$

$$M = q \cdot \frac{l^2}{12} = \frac{8,15 \cdot (1,5)^2}{12} = 1,53 \text{ t.m}$$

$$A = \frac{M}{\delta \bar{\sigma} a} = \frac{1,53 \cdot 10^5}{0,875 \cdot 55 \cdot 4200} = 0,95 \text{ cm}^2$$



soit $4T12/\text{ml}$ ($4,62 \text{ cm}^2$). $e = 25 \text{ cm}$.

On prendra pour les armatures longitudinales trois fils

$$A_\ell = 4T8/\text{ml.} \quad (e = 25 \text{ cm})$$

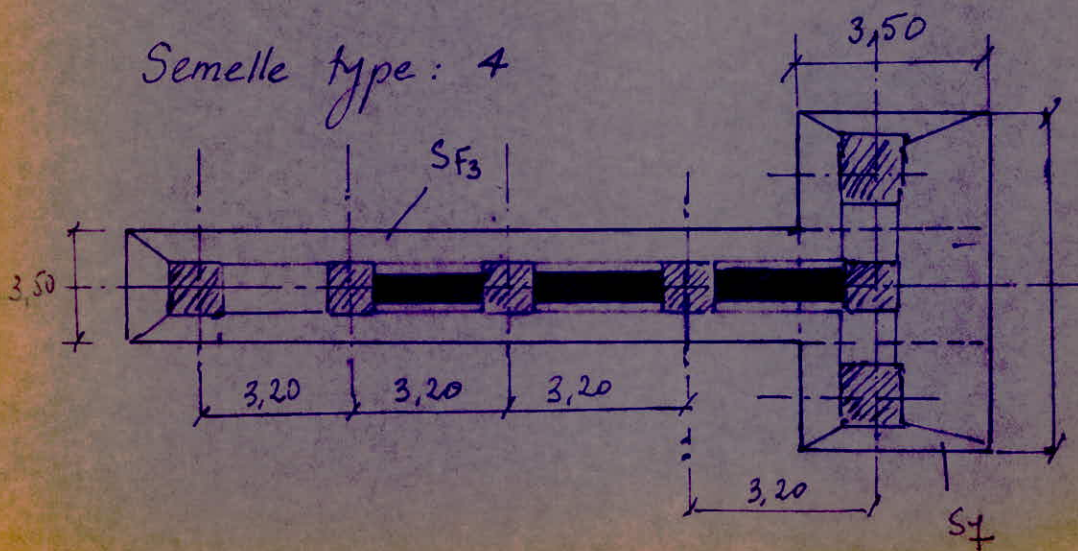
et les armature transversales de la console extrême

$$A_t = 4T8/\text{ml.} \quad (e = 25 \text{ cm})$$

- On applique la même méthode pour la semelle SF_2 , pratiquement elle est sollicitée par les mêmes efforts, elle est moins défavorable que SF_1 .

On adoptera le même ferrailage et le même dimensionnement que SF_1 . (les calcul on donné des résultats très proches).

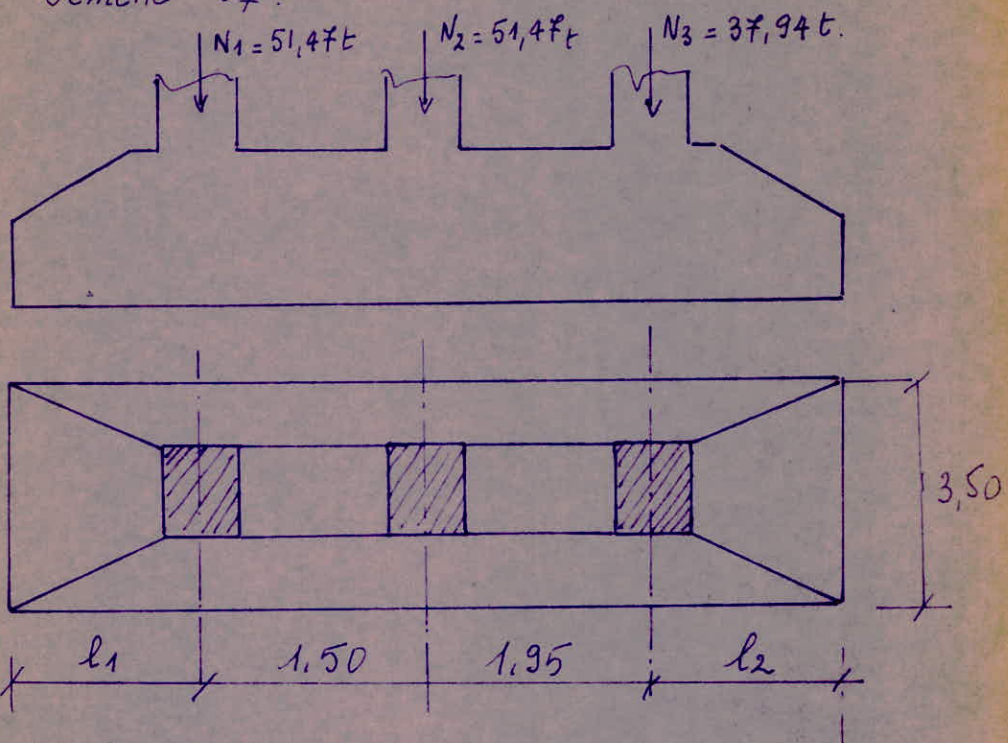
Semelle type: 4



On étudiera notre Semelle en 2 parties :

1^{ère} partie : S_7 . (semelle continue sous 3 poteaux)
 2^{ème} partie : SF_3 (semelle filante sous pile $\sqrt{3}$).)

1. Semelle S_7 :



Résultante R :

$$R = \sum N_i = 51.47 + 51.47 + 37.94 = 140.88 t$$

Calcul de l'excentricité e de R à l'axe Vertical.

$$\sum M_{yy} = 0 \Leftrightarrow N_3 \cdot 1.725 - N_2(0.225) - N_2 1.725 = R e$$

$$e = \frac{37.94 \cdot 1.725 - 51.47(1.95)}{140.88} = -0.247 \text{ m}$$

$e \approx 25 \text{ cm}$.

$$\text{on a: } l_1 - l_2 = 0.25$$

Condition de résistance: $\sigma_s = \frac{N_t}{S} \leq 1.5$

$$\frac{140.88 \cdot 10^3}{350(l_1 + l_2 + 345)} \leq 1.5$$

$$\text{d'où : } l_1 + l_2 + 345 \geq \frac{140880}{390 \cdot 1,5}$$

$$l_1 + l_2 \geq 124,6 \text{ cm.}$$

$$\begin{aligned} \text{on prend } l_1 + l_2 &= 175 & l_1 &= 100 \text{ cm} \\ \text{et } l_1 - l_2 &= 25 & l_2 &= 75 \text{ cm.} \end{aligned}$$

* hauteur totale :

$$ht \geq \left(\frac{L}{6} + \frac{L}{3} \right) = (86,57) \quad ht = 75 \text{ cm} \\ h = 70 \text{ cm.}$$

* épaisseur de la semelle :

$$h_s \approx \left(\frac{ht}{2}, \frac{ht}{3} \right) = (35, 23, 3) \quad h_1 = 25 \text{ cm.}$$

* Poids de la semelle :

$$G_s = \left[(A h_1 + \frac{(A+a)(ht-h_1)}{2}) \right] B. 2,5$$

$$G_s = \left[2 \times 0,25 + \frac{(2+0,3)/0,4}{2} \right] \cdot 5,2 \cdot 2,5 = 12,48 t$$

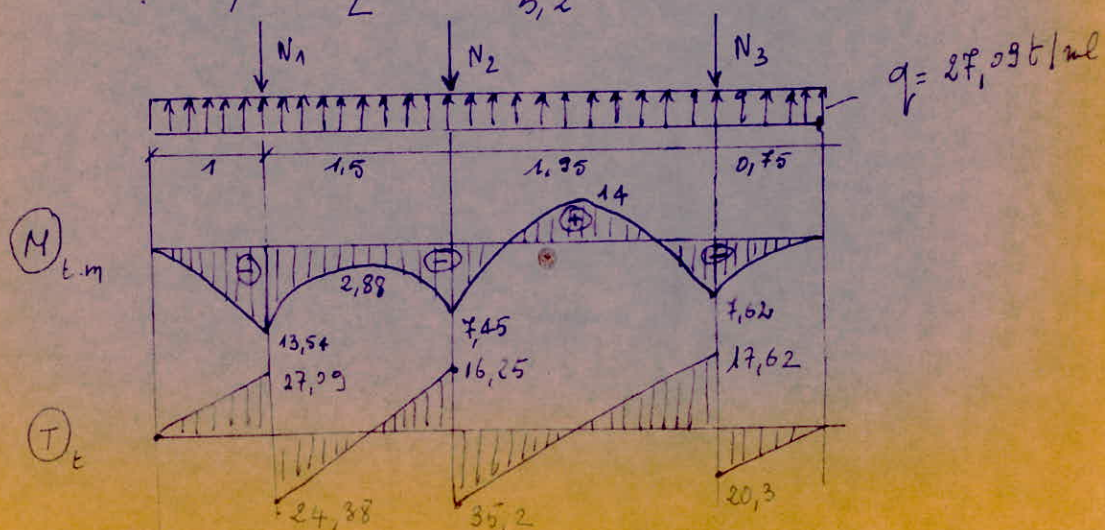
Vérification des contraintes :

$$\sigma_s = \frac{N_r + G_s}{S} = \frac{140880 + 12480}{200 \cdot 520} = 1,47 \text{ kg/cm}^2$$

$$\sigma_s < \bar{\sigma}_s (1,5 \text{ kg/cm}^2)$$

Détermination des efforts :

$$q_r = \frac{N_r}{L} = \frac{140,88}{5,2} = 27,09 \text{ t/mel.}$$



Calcul des Armatures:

en appuis : $M_a = 13,54 \text{ t.m.}$

$$\mu = \frac{15 \cdot M}{\bar{\sigma}_a \cdot b \cdot h^2} = \frac{15 \cdot 13,54 \cdot 10^5}{4200 \cdot 50 \cdot 55^2} = 0,0319.$$

$$\varepsilon = 0,9231$$

$$K = 50 \quad \bar{\sigma}'_b = \frac{\bar{\sigma}_a}{K} = \frac{4200}{50} = 84 \text{ kg/cm}^2 < 103,2 \text{ kg/cm}^2$$

$$A = \frac{M}{\bar{\sigma}_a \cdot \varepsilon h} = \frac{13,54 \cdot 10^5}{4200 \cdot 0,9231 \cdot 55} \quad (A' = 0)$$

$$A = 6,35 \text{ cm}^2.$$

On prendra: $4T12 \quad (7,96 \text{ cm}^2)$

en travée: $M_t = 14 \text{ t.m.}$

$$\gamma = \frac{15 \cdot 14 \cdot 10^5}{\bar{\sigma}_a \cdot b \cdot h^2} = \frac{15 \cdot 1400000}{4200 \cdot 50 \cdot 55^2} = 0,0330$$

$$\varepsilon = 0,9219$$

$$K = 49 \quad (\bar{\sigma}'_b < \bar{\sigma}'_b) \quad A' = 0$$

$$A = \frac{14 \cdot 10^5}{4200 \cdot 0,9219 \cdot 55} = 6,57 \text{ cm}^2$$

On prendra: $4T16 \cdot (8,04 \text{ cm}^2)$

Transversalement:

$$q = \frac{\sum N_i}{AL} = \frac{140,88}{2 \cdot 5,2} = 13,54 \text{ t/m}$$

$$M = q \frac{l^2}{R} = 13,54 \cdot \frac{(0,85)^2}{42} = 4,89 \text{ t.m.}$$

$$\mu = 0,0115$$

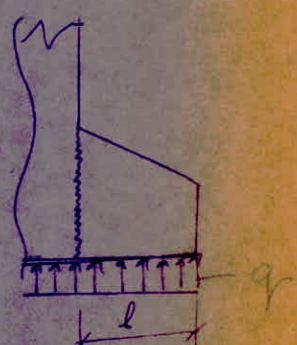
$$A = 2,22 \text{ cm}^2$$

on prendra: $A = 8T12 = (9,05 \text{ cm}^2)$

Armatures transversales:

Cadres + étriers avec $t = 12 \text{ cm.}$
 $(\phi 10)$

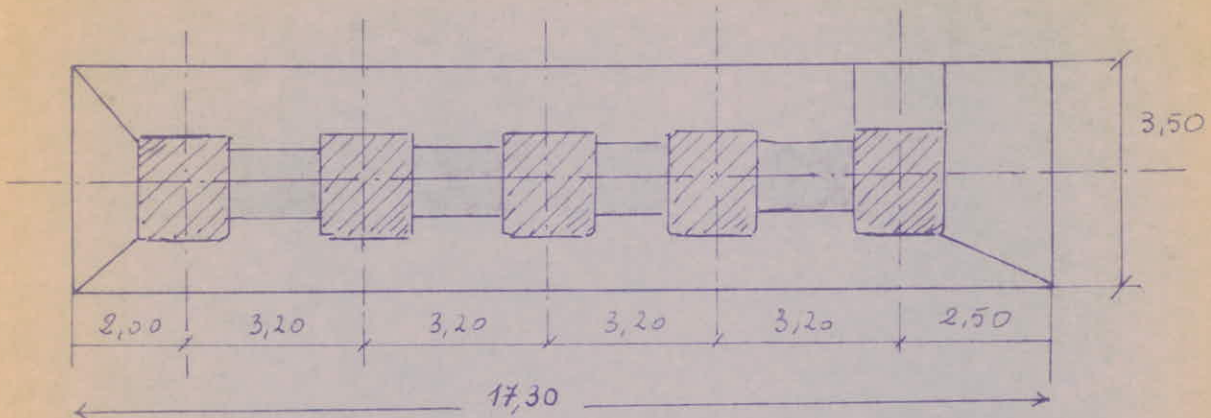
Remarque: On a fait une majoration pour les armatures
à cause de l'effet de la jonction des 3 semelles.



Semelle. SF₃:

$$M = 2051 \text{ t.m.}$$

$$N = 353,74 \text{ t.m.}$$



I. Dimensionnement:

$$B \geq \frac{N}{O.S.L} = \frac{353,740}{2 \cdot 1730} = 102,23 \text{ cm.}$$

On prendra: $B = 350 \text{ cm.}$

$$\bullet \quad h_t \geq \frac{B - b}{4} + 5 = \frac{350 - 30}{4} + 5 = 80.$$

$$h_t = 85 \text{ cm.}$$

$$\bullet \quad h_1 \approx \left(\frac{h_t}{2}, \frac{h_t}{3} \right) = \left(42,5, 28,33 \right) = 35 \text{ cm.}$$

poids de la semelle: G_s .

$$G_s = \left(3,5 \cdot 0,35 + \frac{(3+0,3)(0,85-0,35)}{2} \right) \cdot 17,3 \cdot 2,5$$

$$G_s = 138,66 \text{ t}$$

$$N_T = N + G_s = 353,74 + 138,66$$

Poids du voile au dessous du sol:

$$P_v = 0,15 \times 12,8 \times 0,75 \times 2,5 = 3,6 \text{ t.}$$

Poids total max:

$$N_{T\max} = 353,74 + 138,66 + 3,6 = 496 \text{ t}$$

II₁. Vérification à la Stabilité

Le C.R.C recommande de vérifier :

$$e \leq \frac{L}{4}$$

$$\text{avec } e = \frac{M}{N} = \frac{2051}{496} = 4,13 \text{ m.}$$

$$\frac{L}{4} = \frac{17,3}{4} = 4,32 \text{ m.}$$

La stabilité est vérifiée.

II₂. Vérification des Contraintes :

$$\sigma_1 = \sigma_{\max} = \frac{N}{S} \left(1 + \frac{6e}{L} \right) = \frac{496000}{1730,350} \left(1 + 6 \cdot \frac{4,13}{17,3} \right)$$

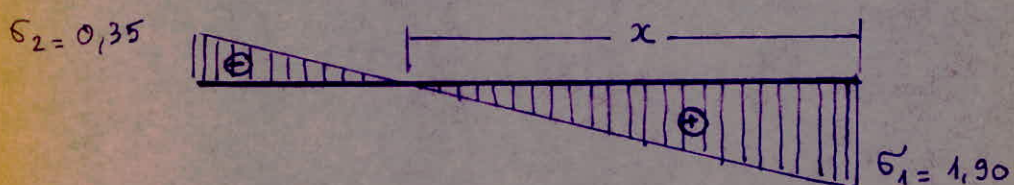
$$\sigma_2 = \sigma_{\min} = \frac{N}{S} \left(1 - \frac{6e}{L} \right) = \frac{496000}{1730,350} \left(1 - 6 \cdot \frac{4,13}{17,3} \right)$$

$$\begin{cases} \sigma_1 = 1,90 \text{ kg/cm}^2 \\ \sigma_2 = -0,354 \text{ kg/cm}^2 \end{cases}$$

$$\sigma_{\max} < \bar{\sigma}_s = 2 \text{ kg/cm}^2.$$

III FERRAILLAGE :

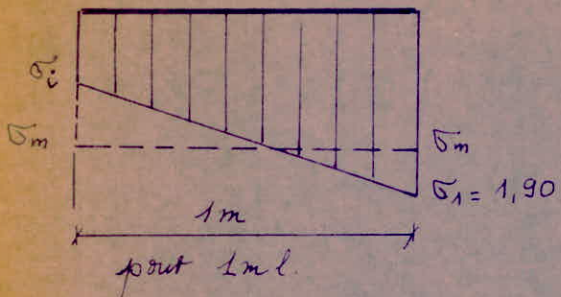
1- Diagramme des Contraintes :



Le ferrailage se fait suivant la méthode des Coordonnées polaires où l'on considère la bande extrême la plus sollicitée.

Calcul de la Contrainte Moyenne.

Calcul de x :



$$\frac{\sigma_i}{\sigma_1} = \frac{x}{L-x}$$

$$x = \frac{\sigma_1 \cdot L}{\sigma_1 + \sigma_2}$$

$$x = \frac{1.9 \cdot 17.3}{1.9 + 0.35} = 14.6 \text{ m.}$$

$$\frac{\sigma_i}{\sigma_1} = \frac{x-1}{x} \rightarrow \sigma_i = \left(1 - \frac{1}{x}\right) \sigma_1.$$

$$\sigma_i = \left(1 - \frac{1}{14.6}\right) \cdot 1.9 = 1.77 \text{ kg/cm}^2.$$

$$\sigma_m = \frac{\sigma_1 + \sigma_i}{2} = \frac{1.77 + 1.9}{2} = 1.835 \text{ kg/cm}^2.$$

Charge uniformément répartie:

$$\sigma_f = \sigma_m \cdot 1 \text{ m.} = 18.35 \text{ t/m.}$$

partie sous voile:

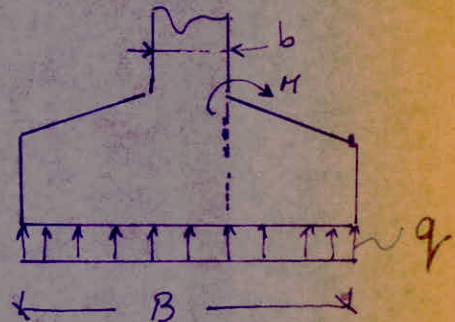
à l'encastrement on a:

$$M = q \frac{l^2}{2}$$

$$\text{avec } l = \frac{B-b}{2}.$$

$$l = \frac{3.5 - 0.35}{2} = 1.575 \text{ m.}$$

$$M = 18.35 \cdot \frac{(1.575)^2}{2} = 22.75 \text{ t.m.}$$



$$A = \frac{M}{2 \bar{\sigma}_a} = \frac{2275000}{4200 \cdot 80 \cdot \frac{7}{8}} = 7.73 \text{ cm}^2.$$

Soit 5 T 16 /m. avec $e = 20 \text{ cm.}$

Pautas Extremas en Consoles.

$$q_r = 18,35 \text{ t/mel}$$

$$M = q \cdot \frac{l^2}{2} = 18,35 \cdot \frac{(2,5)^2}{2}$$

$$M = 57,34 \text{ t.m.}$$

$$\delta = \frac{\pi}{8} \cdot \bar{\rho}_a \quad A = \frac{M}{3 \bar{\rho}_a} = \frac{5734000}{\frac{\pi}{8} \cdot 80 \cdot 4200} = 19,5 \text{ cm}^2$$

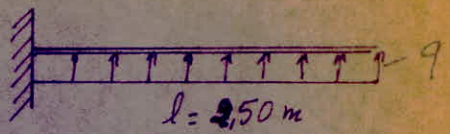
$$h = 80 \text{ cm.}$$

$$\bar{\rho}_a = 4200.$$

Chaviz: $\text{F T20 /mel } (e = 15 \text{ cm})$
 $(21,89 \text{ cm}^2)$

Atmature transversales:

$$A_L : 6 \text{ T14 /mel. } (9,23 \text{ cm}^2).$$



... BIBLIOGRAPHIE ...

- * - Le calcul et la vérification des ouvrages en béton armé, théorie et applications . (Pierre Charon) . Edition Eyrolles.
- * - Règles techniques de conception et de calcul des ouvrages et constructions en béton armé (Règles CC-B.A.68), collection UTI . Edition Eyrolles.
- * - Les fondations G.A. Leonard (DUNOD).
- * - Règles parasiomiques 1969 et annexes D.T.U. , Edition Eyrolles . (Règles P.S 1969).
- * - Complément C.T.C. (R.P.A).
- * - Cours et travaux dirigés des modules (béton III); (RDM. III)
- * - cfslide mémoire béton-armé.
- * - cfslide mémoire (RDM).

